

**SANACE NESTABILNÍHO ÚSEKU VALAŠSKÁ
POLANKA - HORNÍ LIDEČ V KM 20,019 – 21,248**

PŘEDBĚŽNÝ INŽENÝRSKOGEOLOGICKÝ PRŮZKUM




PŘÍLOHA Č. 3

**DOKUMENTACE
PRŮZKUMNÝCH SOND**

GeoTec-GS, a.s.										GEOLOGICKÁ DOKUMENTACE VRTU										Označení vrtu			
Název akce																				HG116			
Valašská Polanka - Horní Lideč, IG průzkum																							
Zakázka číslo				Vrtáno				Výška (m n. m.) B.p.v.				Souřadnice S-JTSK											
2022-165				03. 08. 2022				Z = 459.45				Y = 493 223.33 X = 1170 196.19											
Objednatel						HPV naražená				HPV ustálená				Stránka									
MORAVIA CONSULT Olomouc a.s.						7.50 m (451.95 m n. m.)				6.65 m (452.80 m n. m.)				1 z 1									
														GEOLOGICKÝ POPIS ZEMIN A HORNIN									
Stratigrafie																							
Nadmořská výška (m)																							
Vrtný profil																							
Hloubka (Mocnost) (m)																							
Hladina podzemní vody (m)																							
Vzorek Lab. číslo																							
Zařazení ČSN 73 1005																							
Těžitelost ČSN 73 6133																							
Konzistence /ulehlost																							
Geotyp																							
0														Humózní vrstva, písčito-prachovitá hlína, z počátku s drnem, hnědá, pevná, při bázi přechod do jílu									
1														Jíl s vysokou plasticitou, hnědý a okrově hnědý, pevný, prachovitý, s proměnlivou písčitou příměsí, v intervalu 0,60-1,00 m s opracovanými úlomky prachovce a jílovce velikosti až 5 cm, místy s opracovaným štěrkem velikosti do 2 cm, o obsahu cca 10 %, při bázi s narůstající písčitou příměsí, deluviofluvialní									
2																							
3														Jíl s nízkou plasticitou, hnědý, šedě a béžově smouhovaný, pevný, se silnou příměsí jemnozrnného písku, s drobnými opracovanými úlomky velikosti do 1-2 cm, ojediněle s opracovanými úlomky až do 5 cm, o obsahu cca 10-15 %, deluvium									
4														Jíl se střední plasticitou, šedé a slabě narezlé barvy, pevný, silně vápnitý, prachovitý, lokálně se silnou písčitou příměsí se střípkovitě rozpadavými úlomky jílovce velikosti do 0,5 cm, obsahem do 15 %, svrchu ojedinělý opracovaný valoun velikosti až 5 cm, eluvium									
5														Pískovec/písčitý vápenec navětralý, šedý, s zoxidovanými plochami na úlomcích, deskovitě rozpadavý, vodorovně laminovaný, výnos v podobě úlomků horniny velikosti až 8 cm, které lze lehce až středně těžce rozbít kladivem, silně vápnitý, deskovitě odlučný, místy nažloutlý									
6														Jílovec zcela zvětralý, hnědo-šedý a rezavý, pevné konzistence, charakteru jílu s nízkou plasticitou, silně prachovitěho, se slabou písčitou příměsí, se střípkovitým rozpadem, na úlomky velikosti do 0,5-1,0 cm; které lze lamat v prstech, o obsahu do 15 %, slabě vápnitý, vodorovně až lehce šikmé zvrstvení, drobný									
7														Pískovec/písčitý vápenec mírně zvětralý, světle šedý až namodralý, s zoxidovanými plochami na úlomcích, vodorovně laminovaný, výnos v podobě úlomků horniny velikosti až 8 cm, které lze lehce až středně těžce rozbít kladivem, silně vápnitý, deskovitě odlučný									
8														Jílovec zcela zvětralý, šedý až namodralý, silně vápnitý, prachovitý, drobný, charakteru prachovitěho jílu se střední plasticitou, se střípkovitě rozpadavými úlomky horniny velikosti maximálně 1,5 cm, které lze rozmělnit v prstech, ojediněle lehce rozbít kladivem, v intervalu 5,8-6,0 m viditelné lehké lesklé ohlasy na úlomcích, může se jednat o prohnětenou, proklouzanou polohu, s vodorovným, místy lehce šikmým zvrstvením, ojediněle s úlomky třídy R5-R4, do velikosti 2-3 cm, celkový obsah úlomků cca 10-15 %									
9														Jílovec zcela zvětralý, šedý až namodralý, silně vápnitý, prachovitý, drobný, charakteru prachovitěho jílu se střední plasticitou, se střípkovitě rozpadavými úlomky horniny velikosti maximálně 1,5 cm; které lze rozmělnit v prstech, ojediněle lehce rozbít kladivem, viditelné ohlazené plochy na úlomcích-prohnětená poloha, v hloubce 8,0-8,5 m výskyt pevnějších úlomků horniny třídy R4-R5, velikosti 2-6 cm									
10														Jílovec zcela zvětralý, šedý až namodralý, silně vápnitý, prachovitý, drobný, charakteru prachovitěho jílu s nízkou plasticitou, se střípkovitě rozpadavými úlomky horniny velikosti maximálně 1,5 cm; které lze rozmělnit v prstech, ojediněle lehce rozbít kladivem, v hloubce 9,-9,2 m výskyt pevnějších úlomků horniny třídy R4-R5, velikosti 2-6 cm									
11														Jílovec silně zvětralý, šedý, namodralý, vápnitý, prachovitý, drobný, charakteru prachovitěho jílu s nízkou plasticitou až jílu štěrkovitého, s obsahem 30-40 % ostrohranných úlomků horniny velikosti 2-6 cm, které lze lehce až středně těžce rozbít kladivem, s jílovito-prachovitou výplní									
12														Jemnozrnný pískovec až droba, navětralý až zdravý, šedý, výnos v podobě celého kusu vrtného jádra, úlomky o velikosti 8 cm, lze jej otloukat až těžce rozbít, vápnitý									
13														Vrt byl ukončen v hloubce 15.00 m.									
14																							
15																							
Legenda														POZNÁMKA									
Vzorky														Vzorek									
Neporušený vzorek														Vzorek vody									
Porušený vzorek														Jádrový vzorek horniny									
Všechny rozměry jsou v metrech.														Souprava									
Měřítko 1 : 100														Vrtmistr									
HVS 248														Dokumentoval(a)									
P.Bžatek														M. Láska									
														Zpracoval(a)									
														M. Láska									

GeoTec-GS, a.s.					GEOLOGICKÁ DOKUMENTACE VRTU					Označení vrtu HG133	
Název akce Valašská Polanka - Horní Lideč, IG průzkum											
Zakázka číslo 2022-165		Vrtáno 16. 08. 2022		Výška (m n. m.) B.p.v. Z = 481.32		Souřadnice S-JTSK Y = 493 057.59 X = 1170 057.69					
Objednatel MORAVIA CONSULT Olomouc a.s.				HPV naražená 6.30 m (475.02 m n. m.)		HPV ustálená 3.00 m (478.32 m n. m.)		Stránka 1 z 1			

	Stratigrafie	Nadmořská výška (m)	Vrtný profil	Hloubka (Mocnost) (m)	Hladina podzemní vody (m)	Vzorek Lab. číslo	Zařazení ČSN 73 1005	Těžitelnost ČSN 73 6133	Konzistence /ulehlost	Geotyp	GEOLOGICKÝ POPIS ZEMIN A HORNIN
0		481.12		0.20			F3 MSQ	I	-	Q0	Humusový pokryv charakteru hlíny písčité, tmavě hnědý, se shora krytý drnem, pevný, vlhký
		480.62		0.70			F4 CS	I	P	Q1	Jíl písčitý, žlutohnědý s příměsí úlomků hornin, úlomky tvořeny pískovcem o velikosti 2-10 cm, obsahu do 20 %, písčitá plastická složka jemnozrná (zvětralý pískovec), pevný, vlhký, deluviální sediment
1	Paleogén			(1.40)			F6 Cl	I	P	Q1	Jíl se střední plasticitou, pevný, hnědý s úlomky jílovce o velikosti 0,5-2 cm, úlomky třídy R5, vlhký, nevápnitý, deluviální sediment
2			479.22	2.10							Jílovec zcela zvětralý, světle hnědý, rezavě smouhovaný, pevný, rozvrtaný na zeminu charakteru třídy R5, suchý, lokálně s úlomky jílovce R5 o velikosti 2-5 cm, viditelná původní stavba jílovce, nevápnitý (eluvium)
3				(1.60)			R6 (F8)	I	-	P1	
			477.62	3.70							Jílovec zcela zvětralý, světle šedý až namodralý, od 4,3 m silně vápnitý, prachovitý, suchý s úlomky (ostrohranné) jílovce o vel. 2-8 cm, v hloubce 3,7-4,3 rezavě smouhovaný, lokálně s úlomky jílovce třídy R4 o velikosti 5-12 cm, v hloubce 6,3 štěrkovitě rozpadající se jílovec - zvodnělá poloha
4				(5.10)			R6 (F6)	I	-	P1	
5											
6											
7											
8											
9		472.52		8.80			R4	I	-	P2	Jílovec navětralý, tmavě šedý rozvrtaný v úlomky o vel. 5-12 cm, silně vápnitý, ostrohranný
10		471.32		10.00							Vrt byl ukončen v hloubce 10.00 m.

Legenda		POZNÁMKA
 Naražená hladina podzemní vody  Ustálená hladina podzemní vody	Vzorky  Porušený vzorek	

Všechny rozměry jsou v metrech. Měřítko 1 : 100	Souprava Vrtmistr HVS 382 J. Slácala	Dokumentoval(a) Bc. E. Žáček	Zpracoval(a) Bc. E. Žáček
---	--	--	-------------------------------------

GeoTec-GS, a.s.										GEOLOGICKÁ DOKUMENTACE VRTU										Označení vrtu									
Název akce										Valašská Polanka - Horní Lideč, IG průzkum										JV100									
Zakázka číslo				Vrtáno				Výška (m n. m.) B.p.v.				Souřadnice S-JTSK																	
2022-165				18. 07. 2022				Z = 460.19				Y = 493 262.50 X = 1170 319.36																	
Objednatel						HPV naražená				HPV ustálená				Stránka															
MORAVIA CONSULT Olomouc a.s.						4.40 m (455.79 m n. m.)				2.70 m (457.49 m n. m.)				1 z 1															
														GEOLOGICKÝ POPIS ZEMIN A HORNIN															
Stratigrafie		Nadmořská výška (m)		Vrtný profil		Hloubka (Mocnost) (m)		Hladina podzemní vody (m)		Vzorek Lab. číslo		Zařídění ČSN 73 1005		Těžitelnost ČSN 73 6133		Konzistence /ulehlost		Geotyp											
0						(0.90)						G4 GMY		I		-		Y3		Navážka, drážní štěrk - štěrkové lože, drcené kamenivo do velikosti 4-5 cm zcela zanesené hlinito-písčitou, při bázi až jílovitou výplní s horninovou drtí									
1		459.29				0.90						F6 CL		I		T		Q1		Jíl se střední plasticitou, hnědý, tuhý, se silnou příměsí jemně až středně zrnitého písku, slabě slídnatý, ojediněle s ostrohrannými klasty pískovce do velikosti 2-5 cm, obsahem do 30 %, deluviální sediment									
2		458.29				1.90						F4 CS		I		P		P1		Jíl písčitý, hnědý, pevný, místy tmavě hnědě skvrnitý s jemnozrnnou písčitou příměsí, slaběji slídnatý, s ostrohrannými úlomky jílovce do velikosti 2-3 cm; obsahem cca 10 %, které lze zcela rozmělnit v prstech - při bázi narůstající obsah klasitických zrn jílovce, eluvium									
3		457.39				2.80		2.70				R6 (F8)		I		-		P1		Jílovec zcela zvětralý, tmavě šedý, silně prachovitý, silně vápnitý, charakteru vysoce plastického jílu pevné konzistence, se střípkovitě rozpadavými úlomky do vel. 3 cm, které lze zcela rozdrtit v prstech až lehce rozbít kladivem, s obsahem cca 20 %,									
4		456.69				3.50		4.4												Jílovec silně zvětralý, vápnitý, s prachovitou příměsí, tmavě šedý, drobně střípkovitě rozpadavý, charakteru středně plastické hlíny až jílu štěrkovitého s úlomky jílovce o velikosti 2-3 cm, které lze lehce rozbít kladivem, celkového obsahu cca 30 - 35 %, s polohami navětralých jílovců třídy R4, úlomky do vel. 4 cm, (v intervalech - 5,3-5,5 m, 6,5-6,7 m, 8,5-8,7 m, 9,7-9,9 m)									
5								6.5				R5		I		-		P2											
6																													
7																													
8																													
9																													
10		450.19				10.00		8.6												Vrt byl ukončen v hloubce 10.00 m.									
Legenda																						POZNÁMKA							
<div><div><div><div><div>1</div><div>Naražená hladina podzemní vody</div></div><div><div>2</div><div>Ustálená hladina podzemní vody</div></div></div><div><div><div>Vzorky</div><div><div><div><div></div><div>Vzorek vody</div></div><div><div></div><div>Porušený vzorek</div></div></div><div><div></div><div>Neporušený vzorek</div></div></div></div></div></div></div>																													
Všechny rozměry jsou v metrech. Měřítko 1 : 100										Souprava Vrtmistr Kamaz J. Vinterlík				Dokumentoval(a) M. Láska				Zpracoval(a) M. Láska											

GeoTec-GS, a.s.										GEOLOGICKÁ DOKUMENTACE VRTU										Označení vrtu	
Název akce																				JV103	
Valašská Polanka - Horní Lideč, IG průzkum																					
Zakázka číslo			Vrtáno			Výška (m n. m.) B.p.v.			Souřadnice S-JTSK												
2022-165			19. 07. 2022			Z = 454.42			Y = 493 279.24 X = 1170 274.46												
Objednatel						HPV naražená			HPV ustálená							Stránka					
MORAVIA CONSULT Olomouc a.s.						7.00 m (447.42 m n. m.)			4.85 m (449.57 m n. m.)							1 z 1					
												GEOLOGICKÝ POPIS ZEMIN A HORNIN									
Stratigrafie																					
Nadmořská výška (m)																					
Vrtný profil																					
Hloubka (Mocnost) (m)																					
Hladina podzemní vody (m)																					
Vzorek Lab. číslo																					
Zatřídění ČSN 73 1005																					
Těžitelost ČSN 73 6133																					
Konzistence /úlehlost																					
Geotyp																					
0												Jíl se střední, místy až s vysokou plasticitou, pevné konzistence, tmavě hnědý se světle hnědým a rezavým smouhováním, místy se slabou jemnozrnnou příměsí, slabě vápnitý, svrchu s drnem, v intervalu 0,0-1,0 m prorostlý kořeny, organický, s cca 10 - 15 % obsahem drobných opracovaných a ostrohranných zrn šterku vel. 2 - 4 mm; v intervalu 0,8-1,00 šterková opracovaná zrna o velikosti až 3 cm, deluviální sediment									
1												Hlína se střední plasticitou, hnědá až rezavě hnědá, místy béžová, silně prachovitá, lokálně se slabou jemnozrnnou písčitou příměsí, se střípkovitě rozpadými úlomky jílovce do vel. 2 - 3 cm, o obsahu cca 15 -20 %, které lze zcela rozdrtit v prstech, eluvium									
2												Jílovec zcela zvětralý, šedý, silně vápnitý, prachovitý, charakteru pevného středně plastickeho jílu s úlomky horniny střípkovitěho rozpadu do vel. 1 cm, lze je zcela rozdrtit v prstech, celkového obsahu cca 20 - 30 %, v polohách obsahuje silně až slabě zvětralé úlomky třídy R5-R4 (v intervalech 2,70 - 3,00 m a 3,80 - 4,00 m)									
3												Jílovec silně zvětralý, šedý až tmavě šedý, silně prachovitý, silně vápnitý, charakteru pevného prachovitěho jílu až středně plasticke hlíny se střípkovitými úlomky horniny do velikosti 3-4 cm, které lze lehce rozbít kladivem, s obsahem do 20-25 %, v intervalech 4,80 - 5,10 m, 5,60 - 6,00 m a 6,30 - 7,00 m s náznaky ohlazených klastických ploch na úlomích - může se jednat o prohnětenou polohu									
4																					
5																					
6																					
7																					
8																					
9																					
10																					

GeoTec-GS, a.s.										GEOLOGICKÁ DOKUMENTACE VRTU										Označení vrtu																			
Název akce										Valašská Polanka - Horní Lideč, IG průzkum										JV104																			
Zakázka číslo																						Vrtáno										Výška (m n. m.) B.p.v.							
2022-165										18. 07. 2022										Z = 459.94										Y = 493 260.82 X = 1170 270.75									
Objednatel										HPV naražená										HPV ustálená										Stránka									
MORAVIA CONSULT Olomouc a.s.										7.50 m (452.44 m n. m.)										8.70 m (451.24 m n. m.)										1 z 1									
												GEOLOGICKÝ POPIS ZEMIN A HORNIN																											
Stratigrafie												Ant																											
Nadmořská výška (m)												459.54																											
Vrtný profil																																							
Hloubka (Mocnost) (m)												0.40																											
Hladina podzemní vody (m)																																							
Vzorek Lab. číslo																																							
Zatřídění ČSN 73 1005												G4 GMY																											
Těžitelnost ČSN 73 6133												I																											
Konzistence /ulehlost												-																											
Geotyp												Y3																											
												Navážka, drážní štěrk - štěrkové lože, drcené kamenivo zcela zanesené drtí, prachovitopísčitou místy až jílovitou výplní																											
												Navážka charakteru škváry, černá, ulehlá, charakteru písku s příměsí jemnozrnné zeminy, v polohách s drceným a ostrohraným štěrkem o velikosti do 2-4 cm, obsahem do 15 %																											
												F8 CHY																											
												I																											
												T																											
												Y2																											
												F4 CS																											
												I																											
												P																											
												P1																											
												Jíl písčitý, hnědý, pevný, jemně zrnitě písčitý, slabě slídnatý, s prachovitou příměsí s cca 20 % obsahem ostrohranných klastů pískovce o průměrné velikosti 2-3 cm, eluvium																											
												R2																											
												II																											
												-																											
												P4																											
												Pískovec zdravý, hnědý, místy šedé barvy, jemně zrnitý, slabě vápnitý, v podobě ostrohranných úlomků horniny o velikosti do 5-6 cm, obsahem cca 50-60 %, které lze středně těžce až obtížně rozbít kladivem, s písčito-hlinitou až jílovitou výplní; při bázi přechází do šedé barvy, v intervalu 5,4-5,7 m navětralá poloha třídy až R3 (úlomky až 7-8 cm)																											
												R6 (F5)																											
												I																											
												-																											
												P1																											
												Jílovec zcela zvětralý, šedý - tmavě šedý, silně vápnitý, charakteru pevného prachu se střípkovitě rozpadavými úlomky horniny velikosti 1-2 cm, obsahem cca 10 - 15 %, lze je rozbít lehce kladivem až rozdrtit v prstech, silně vápnitý R6 (F6 Cl)																											
												R6 (F5)																											
												I																											
												-																											
												P1																											
												Jílovec zcela zvětralý se silně zvětralými polohami, charakteru pevného silně prachovitěho jílu, s úlomky střípkovitě rozpadavé horniny o velikosti do 1-2 cm a obsahem cca 15 - 20 %, v intervalu 8,5-9,4 ohlazené - prohnětené plochy na úlomcích místy s náznaky rýhování, může se jednat o prohnětenou polohu																											
												R5-R6																											
												I																											
												-																											
												P1																											
												Jílovec zcela až silně zvětralý, šedý, prachovitý, silně vápnitý, střípkovitě a deskovitě odlučný, rozvrtán na zeminu charakteru hlinitého až jílovitého štěrku, v podobě ostrohranných úlomků horniny velikosti 4 cm, místy až 6 cm, celkového obsahu 50-60 %, vyplněných prachovitou hlínou se závalky pevného jílu, v intervalu 12,7-14,4 s vyšším stupněm zvětřání - R6																											
												R3																											
												II																											
												-																											
												P4																											
												Pískovec/písčitý vápenec navětralý, světle šedý, prachovitý, silně vápnitý, rozvrtán na ostrohranné úlomky do vel. 4 cm a kameny přes průměr vrtu, lze je jen otloukat, obtížný postup vrtné soupravy																											
												Vrt byl ukončen v hloubce 15.00 m.																											

GeoTec-GS, a.s.										GEOLOGICKÁ DOKUMENTACE VRTU										Označení vrtu JV107			
Název akce Valašská Polanka - Horní Lideč, IG průzkum																							
Zakázka číslo 2022-165			Vrtáno 25. 07. 2022			Výška (m n. m.) B.p.v. Z = 479.84			Souřadnice S-JTSK Y = 493 149.85 X = 1170 277.56														
Objednatel MORAVIA CONSULT Olomouc a.s.						HPV naražená 5.20 m (474.64 m n. m.)			HPV ustálená 1.50 m (478.34 m n. m.)						Stránka 1 z 1								
Stratigrafie														GEOLOGICKÝ POPIS ZEMIN A HORNIN									
0														Humózní pokryv, hlína písčitá, organická, drn									
1														Hlína se střední plasticitou, světle hnědá, pevná, suchá, rozpadavá, prachovitá, slabě písčitá, lokálně s úlomky jemnozrného pískovce o průměrné velikosti 2-10 cm (polopracované); deluviofluviální s									
2														Jílovec zcela zvětralý charakteru jílu se střední plasticitou, pevný, šedohnědý, zavlhlý s ostrohrannými úlomky jílovce o průměru 1-6 cm, silně vápnitý; úlomky často oranžovočerného zbarvení, místy i šedo zelené, po vyschnutí se rozpadají na prach									
3																							
4																							
5														Jílovec zcela až silně zvětralý charakteru šterkovitého jílu, s úlomky (hojné) o pevnosti tř. R5, šedorezavohnědé, ostrohranné, mokré, silně vápnité									
6														Jílovec zcela zvětralý, prachovitý, charakteru jílu se střední plasticitou, šedý, pevný, s úlomky R5 (lze drobit rukou), ostrohranné o průměrné velikosti 2-8 cm do 5 % celkového obsahu, zcela zřetelná struktura původní horniny, silně vápnitý, "slídnatý", suchý, lokálně s jemnozrnými písčitými vložkami									
7																							
8																							
9														Pískovec/písčitý vápenec, zdravý až navětralý, stříbřité šedý, silicifikovaný, úlomky a kusy jádra o délce až 15 cm, horninu lze špatně rozbít geol. kladivem (5-8 úderů), místy pískovec/písčitý vápenec, obsahuje matné šedé klasty jílovce (R5), silně vápnitý									
10																							
Vrt byl ukončen v hloubce 10.20 m.																							
Legenda																							
POZNÁMKA																							
Vzorky																							
Naražená hladina podzemní vody																							
Ustálená hladina podzemní vody																							
Porušený vzorek																							
Jádrový vzorek horniny																							
Všechny rozměry jsou v metrech.																							
Měřítko 1 : 100																							
Souprava Vrtmistr																							
HVS 248 P.Bžatek																							
Dokumentoval(a) Bc. E. Žáček																							
Zpracoval(a) Bc. E. Žáček																							

Valašská Polanka - Horní Lideč, IG průzkum

1 z 1

Vrt byl ukončen v hloubce 9.00 m.

Bc. E. Žáček

GeoTec-GS, a.s.										GEOLOGICKÁ DOKUMENTACE VRTU										Označení vrtu	
Název akce																				JV112	
Valašská Polanka - Horní Lideč, IG průzkum																					
Zakázka číslo			Vrtáno			Výška (m n. m.) B.p.v.			Souřadnice S-JTSK												
2022-165			19. 07. 2022			Z = 459.45			Y = 493 250.97 X = 1170 211.43												
Objednatel						HPV naražená			HPV ustálená					Stránka							
MORAVIA CONSULT Olomouc a.s.						8.20 m (451.25 m n. m.)			9.70 m (449.75 m n. m.)					1 z 1							
												GEOLOGICKÝ POPIS ZEMIN A HORNIN									
0												Navázka, drážní štěr - štěrkové lože silně znečištěné, drcené kamenivo o velikosti do 4-5 cm a obsahu 60-70 % s prachovito-hlinitou výplní									
1												S3 S-FY I - Y1 Navázka charakteru škváry, ulehlá, černá, charakteru písku s příměsí jemnozrnné zeminy, s úlomky štěrku a cihel o velikosti až 3 cm, obsahu cca 10 - 15 %									
2												F2 CGY I T Y4 Navázka charakteru štěrkovitého jílu, hnědošedý, tuhý, vysoce plasticky jíl se silnou písčitou příměsí, s ostrohrannými úlomky a kameny pískovce o průměrné velikosti do 5 cm, lokálně až 8 cm, o obsahu cca 40 %, místy až dominantní klastická příměs, ojediněle s úlomky cihel, při bázi štěrku ubývá,									
3																					
4												F6 CI I T Q1 Jíl se střední plasticitou, tmavě hnědý, tuhý, slabě slídnatý, bývalý humózní horizont									
5												F2 CG I T Q1 Štěrkovitý jíl, hnědošedé barvy, tuhé konzistence, středně až vysoce plastický jíl, se silnou písčitou příměsí, s ostrohrannými klasty převážně pískovce o velikosti do 4 cm, obsahem cca 40 %									
6												F6 CI I P Q1 Jíl se střední plasticitou, hnědý až tmavě hnědý, světle hnědý smouhovaný, pevný, slabě slídnatý, se silnou prachovitou příměsí, místy až s jemnozrnnou písčitou příměsí, místy s drobnými střípky hornin do velikosti 0,5 cm a méně, s celkovým obsahem do 10 %, lokální poloha s úlomky jemnozrnného pískovce a prachovce o velikosti až 2-3 cm, deluvium									
7												F5 MI I P P1 Jíl silně prachovitý, hnědý až tmavě hnědý, pevný, charakteru nížce plastického jílu až středně plastické hlíny, s dominantní prachovitou vložkou přecházející v polohách do jemnozrnného písku, s ostrohrannými střípky - úlomky (které lze drtit v prstech) jílovce do velikosti 3 cm, celkového obsahu do 15 %, lokálně polohy s vyšším podílem úlomků v intervalu 6,0-6,2; 7,1-7,5, eluvium									
8												R6 (F6) I - P1 Jílovec zcela zvětralý, tmavě šedý, silně prachovitý, silně vápnitý, slídnatý, drobivý, charakteru silně prachovitěho tuhého jílu se střípkovitými úlomky horniny o velikosti do 2 cm, průměrně do 20 %, lze je lamat a drolit v prstech, se silně zvětralými polohami třídy R5, celkového obsahu do 10 %, vrstva v celé délce nese znaky prohnětení, s vyhlazenými plochami na úlomcích, viditelné různorodé směry ohlazů na úlomcích, pravděpodobně se jedná o prohnětenou polohu									
9																					
10																					
11																					
12												R5-R6 I - P1 Jílovec zcela až silně zvětralý, silně prachovitý, silně vápnitý, drobivý, slabě slídnatý, charakterem zeminy štěrkovitého jílu, pevné konzistence, s úlomky, horniny sřípkovitěho rozpadu velikosti do 4 cm, ojediněle až 6 cm, které lze lehce až středně těžce rozbít kladivem, celk. obsahu 30 - 40 %, stále nese znaky prohnětené polohy - ohlazené plochy na úlomcích, různorodě ohlazených úlomků									
13												R5-R4 I - P2 Jílovec silně zvětralý, místy navětralý, tmavě šedý, silně prachovitý, silně vápnitý, drobivý, charakteru štěrku jílovitého, v podobě ostrohranných klastů horniny velikosti až 5-6 cm a obsahem cca 60 %, úlomky lze středně těžce rozbít kladivem, mezerní výplň tvoří pevný jíl s vysokým podílem prachu									
14																					
15																					
Vrt byl ukončen v hloubce 15.00 m.																					
Legenda												POZNÁMKA									
Vzorky												Porušený vzorek									
Naražená hladina podzemní vody												Neporušený vzorek									
Ustálená hladina podzemní vody																					
Všechny rozměry jsou v metrech.						Souprava						Dokumentoval(a)						Zpracoval(a)			
Měřítko 1 : 100						Kamaz						M. Láska						M. Láska			
Vrtmistr						J. Vinterlík															

GeoTec-GS, a.s.										GEOLOGICKÁ DOKUMENTACE VRTU				Označení vrtu JV118																																																											
Název akce Valašská Polanka - Horní Lideč, IG průzkum																																																																									
Zakázka číslo 2022-165		Vrtáno 14. 09. 2022		Výška (m n. m.) B.p.v. Z = 452.18			Souřadnice S-JTSK Y = 493 253.55 X = 1170 178.79																																																																		
Objednatel MORAVIA CONSULT Olomouc a.s.				HPV naražená Nezastižena			HPV ustálená Nezastižena			Stránka 1 z 1																																																															
<table><thead><tr><th></th><th>Stratigrafie</th><th>Nadmořská výška (m)</th><th>Vrtný profil</th><th>Hloubka (Mocnost) (m)</th><th>Hladina podzemní vody (m)</th><th>Vzorek Lab. číslo</th><th>Zatřídění ČSN 73 1005</th><th>Těžitelnost ČSN 73 6133</th><th>Konzistence /ulehlost</th><th>Geotyp</th><th>GEOLOGICKÝ POPIS ZEMIN A HORNIN</th></tr></thead><tbody><tr><td>0</td><td rowspan="2">Q</td><td>452.08</td><td rowspan="2"></td><td rowspan="2">0.10</td><td rowspan="2"></td><td rowspan="2"></td><td>R3 MS0</td><td>I</td><td>-</td><td>Q0</td><td>Travní drn s hlínou prachovitou, slabě písčitou</td></tr><tr><td>1</td><td>F8 CH</td><td>I</td><td>P</td><td>Q1</td><td>Jíl s vysokou plasticitou, světle hnědý, pevný, zavlhlý, slabě písčitý, nevápnitý s ojedinělými poloopracovanými úlomky pískovce o průměru do 5 cm a obsahu do 5 %; deluvium</td></tr><tr><td>2</td><td rowspan="3">Paleogén</td><td>450.18</td><td rowspan="3"></td><td rowspan="3">2.00</td><td rowspan="3"></td><td rowspan="3"></td><td>R2</td><td>II</td><td>-</td><td>P4</td><td>Pískovec, zdravý, šedozelený, jádro o délce 15 cm, ostrohranné úlomky do 5 cm, černé tečky o velikosti 1 mm (biodetrit), štípe se podle vrstevnatosti (10° od vertikály); možná balvan, DP na stejném místě se zastavila až ve 4,0 m</td></tr><tr><td>3</td><td>449.88</td><td>2.30</td><td>R5</td><td>I</td><td>-</td><td>P2</td><td>Jílovec silně zvětralý, černý, postupem vrtání se střípkovitě rozpadá na úlomky o průměru 2- 3 cm, alterovaný, místy narezlý, lze rýpat nehtem, těžce lámat v ruce</td></tr><tr><td>4</td><td>448.18 447.98</td><td>4.00 4.20</td><td>R3</td><td>II</td><td>-</td><td>P4</td><td>Pískovec, navětralý, šedý, jemnozrný, deskovitě odlučný, lze rozbít 2-3 údery kladiva, nevápnitý Vrt byl ukončen v hloubce 4.20 m.</td></tr></tbody></table>																	Stratigrafie	Nadmořská výška (m)	Vrtný profil	Hloubka (Mocnost) (m)	Hladina podzemní vody (m)	Vzorek Lab. číslo	Zatřídění ČSN 73 1005	Těžitelnost ČSN 73 6133	Konzistence /ulehlost	Geotyp	GEOLOGICKÝ POPIS ZEMIN A HORNIN	0	Q	452.08		0.10			R3 MS0	I	-	Q0	Travní drn s hlínou prachovitou, slabě písčitou	1	F8 CH	I	P	Q1	Jíl s vysokou plasticitou, světle hnědý, pevný, zavlhlý, slabě písčitý, nevápnitý s ojedinělými poloopracovanými úlomky pískovce o průměru do 5 cm a obsahu do 5 %; deluvium	2	Paleogén	450.18		2.00			R2	II	-	P4	Pískovec, zdravý, šedozelený, jádro o délce 15 cm, ostrohranné úlomky do 5 cm, černé tečky o velikosti 1 mm (biodetrit), štípe se podle vrstevnatosti (10° od vertikály); možná balvan, DP na stejném místě se zastavila až ve 4,0 m	3	449.88	2.30	R5	I	-	P2	Jílovec silně zvětralý, černý, postupem vrtání se střípkovitě rozpadá na úlomky o průměru 2- 3 cm, alterovaný, místy narezlý, lze rýpat nehtem, těžce lámat v ruce	4	448.18 447.98	4.00 4.20	R3	II	-	P4	Pískovec, navětralý, šedý, jemnozrný, deskovitě odlučný, lze rozbít 2-3 údery kladiva, nevápnitý Vrt byl ukončen v hloubce 4.20 m.
	Stratigrafie	Nadmořská výška (m)	Vrtný profil	Hloubka (Mocnost) (m)	Hladina podzemní vody (m)	Vzorek Lab. číslo	Zatřídění ČSN 73 1005	Těžitelnost ČSN 73 6133	Konzistence /ulehlost	Geotyp	GEOLOGICKÝ POPIS ZEMIN A HORNIN																																																														
0	Q	452.08		0.10			R3 MS0	I	-	Q0	Travní drn s hlínou prachovitou, slabě písčitou																																																														
1		F8 CH					I	P	Q1	Jíl s vysokou plasticitou, světle hnědý, pevný, zavlhlý, slabě písčitý, nevápnitý s ojedinělými poloopracovanými úlomky pískovce o průměru do 5 cm a obsahu do 5 %; deluvium																																																															
2	Paleogén	450.18		2.00			R2	II	-	P4	Pískovec, zdravý, šedozelený, jádro o délce 15 cm, ostrohranné úlomky do 5 cm, černé tečky o velikosti 1 mm (biodetrit), štípe se podle vrstevnatosti (10° od vertikály); možná balvan, DP na stejném místě se zastavila až ve 4,0 m																																																														
3		449.88					2.30	R5	I	-	P2	Jílovec silně zvětralý, černý, postupem vrtání se střípkovitě rozpadá na úlomky o průměru 2- 3 cm, alterovaný, místy narezlý, lze rýpat nehtem, těžce lámat v ruce																																																													
4		448.18 447.98					4.00 4.20	R3	II	-	P4	Pískovec, navětralý, šedý, jemnozrný, deskovitě odlučný, lze rozbít 2-3 údery kladiva, nevápnitý Vrt byl ukončen v hloubce 4.20 m.																																																													
Legenda											POZNÁMKA																																																														
<div> Naražená hladina podzemní vody</div> <div> Ustálená hladina podzemní vody</div> <div>Vzorky Porušený vzorek</div>																																																																									
Všechny rozměry jsou v metrech. Měřítko 1 : 100		Souprava Vrtmistr		Cedima F.Lacko			Dokumentoval(a) Bc. E. Žáček			Zpracoval(a) Bc. E. Žáček																																																															

GeoTec-GS, a.s.										GEOLOGICKÁ DOKUMENTACE VRTU										Označení vrtu									
Název akce										Valašská Polanka - Horní Lideč, IG průzkum										JV122									
Zakázka číslo					Vrtáno					Výška (m n. m.) B.p.v.					Souřadnice S-JTSK														
2022-165					20. 07. 2022					Z = 447.70					Y = 493 251.39 X = 1170 136.78														
Objednatel										HPV naražená					HPV ustálená					Stránka									
MORAVIA CONSULT Olomouc a.s.										4.40 m (443.30 m n. m.)					3.20 m (444.50 m n. m.)					1 z 1									
															GEOLOGICKÝ POPIS ZEMIN A HORNIN														
															Navážka charakteru štěrkovitého jílu, tmavě hnědá a šedé barvy, tuhý, se silnou písčitou příměsí s ostrohranným štěrkem o velikosti do 4 cm, s obsahem cca 40 %														
															Navážka charakteru jílu písčitého, tmavě a světle hnědý, tuhý, s měkkými polohami, lokálně vysoce plastický jíl, se středně zrnitou písčitou příměsí a ostrohrannými zrny štěrku velikosti až 4-5 cm a obsahem cca do 15 %														
															Hlína s vysokou plasticitou, převážně tuhé konzistence, svrchu prvních 40 cm měkké konzistence (slabý přítok vody), hnědošedá, světle hnědá a písčité a okrově hnědě smouhovaná, v intervalu 3,60 - 3,80 další měkká poloha, lokálně s organickou příměsí, místy i slabě jemně písčité, s drobným opracovaným štěrkem o velikosti do 3-5 mm, ojediněle až 2 cm, z celkového obsahu 15-20 %, fluvialní sediment														
															Vysoce plastický jíl, šedé až namodralé barvy, místy okrově hnědě smouhovaný, měkké konzistence, fluvialní sediment														
															Štěrka hlinitý, šedý, středně uhlý, zvodnělý, opracovaná zrna štěrku o průměrné velikosti do 4 cm, místy ostrohranná zrna velikosti až 6 cm, štěrka celkového obsahu cca 60 %, s písčitou a hlinito-jílovitou výplní - charakteru až jílovitého písku														
															Jílovec zcela zvětralý, šedý a tmavě šedý, s horizontálním zvrstvením, charakteru prachovitého jílu až pevného prachu, s cca 15 - 20 % obsahem drobných úlomků horniny, které lze zcela rozmělit v prstech, od hloubky 6,2 m se objevují pevnější úlomky vel. 1-2 cm, které lze lehce rozbít kladivem, v intervalu 6,00 - 7,00 m viditelné ohlazené plochy na úlomcích, může se jednat o prohnětenou polohu														
															Vrt byl ukončen v hloubce 7.00 m.														

GeoTec-GS, a.s.										GEOLOGICKÁ DOKUMENTACE VRTU										Označení vrtu JV126	
Název akce Valašská Polanka - Horní Lideč, IG průzkum																					
Zakázka číslo 2022-165				Vrtáno 20. 07. 2022				Výška (m n. m.) B.p.v. Z = 447.87				Souřadnice S-JTSK Y = 493 235.70 X = 1170 094.78									
Objednatel MORAVIA CONSULT Olomouc a.s.								HPV naražená 4.00 m (443.87 m n. m.)				HPV ustálená 4.30 m (443.57 m n. m.)				Stránka 1 z 1					
												GEOLOGICKÝ POPIS ZEMIN A HORNIN									
0 1 2 3 4 5 6 7	Stratigrafie Ant Q Paleogén	Nadmořská výška (m)	Vrtný profil	Hloubka (Mocnost) (m)	Hladina podzemní vody (m)	Vzorek Lab. číslo	Zatřídění ČSN 73 1005	Těžitelnost ČSN 73 6133	Konzistence /ulehlost	Geotyp	Navážka charakteru štěrku s příměsí jemnozrné zeminy, středně ulehlá, šedohnědé úlomky pražcového štěrku a pískovce o průměru 4-8 cm s hlinitopísečnou výplní Jíl se střední plasticitou, světle hnědý, pevný (Op 200 kPa), šedohnědý smouhovaný, lokálně písčitý, střednězrný písek, napadávká štěrku z horní polohy; deluviální až deluviofluviální sediment Jíl s vysokou plasticitou, hnědý rezavo smouhovaný, tuhý až pevný (OP 100 kPa), lokálně úlomky pískovce o průměru až do 2 cm; v hloubce 2,7 písčitá poloha (10 cm mocná) střednězrného písku; deluviofluviální sediment Jíl se střední plasticitou, šedý, tuhý (Op 80 kPa), směrem do hloubky více písčitý (jemnozrný písek), u báze až 10 cm písčitého jílu (měkký, nasycený), deluviofluviální sediment Štěr hlinitý, šedý, středně ulehlý, moký, obsah štěrku do 60 %, poloopracované až opracované úlomky hornin, lokálně i ostrohranné, průměrně 2-8 cm, písek je špatně tříděný, místy hrubozrný a křemenný; fluviální sediment Jílovec zcela zvětralý, charakteru jílu se střední plasticitou, tmavě hnědý, prachovitý, tvrdý (Op>500 kPa), místy lasturnatý lom se střípkovitým rozpadem, silná reakce na HCl										
		447.17	0.70				G3 G-FY	I	-	Y4											
			(1.50)				F6 Cl	I	P	Q1											
		445.67	2.20				F8 CH	I	P	Q1											
		444.27	(1.40)				F6 Cl	I	T	Q1											
		443.87	4.00				G4 GM	I	M	Q2											
		441.87	(2.00)				R6 (F6)	I	-	P1											
440.87	(1.00)																				
	7.00																				
<div><div><div></div><div>1</div></div><div><div></div><div>4.0</div></div><div><div></div><div>4.30</div></div></div>												Vrt byl ukončen v hloubce 7.00 m.									
Vzorky												POZNÁMKA									
<div><div><div></div><div>Naražená hladina podzemní vody</div></div><div><div></div><div>Ustálená hladina podzemní vody</div></div></div>												<div><div><div></div><div>Porušený vzorek</div></div></div>									
Všechny rozměry jsou v metrech. Měřítko 1 : 100				Souprava Vrtmistr				Kamaz J. Vinterlík				Dokumentoval(a) Bc. E. Žáček				Zpracoval(a) Bc. E. Žáček					

Název akce

Valašská Polanka - Horní Lideč, IG průzkum

Zakázka číslo

Vrtáno	08. 08. 2022
	- 09. 08. 2022

Výška (m n. m.) B.p.v.

$$Z = 458.64$$

Souřadnice S-JTSK

$$Y = 493\,217.54 \quad X = 1170\,099.36$$

Objednatel

MORAVIA CONSULT Olomouc a.s.

HPV naražená

14.00 m (444.64 m n. m.)

HPV ustálená

11.60 m (447.04 m n. m.)

Stránka

1 z 2

[illegible]

Legenda

 Naražená hladina podzemní vody

↓ Ustálená hladina podzemní vody

Vzorky



☒ Porušený vzorek



↑ Jádrový vzorek
+ horniny



■ Neporušený vzorek

POZNÁMKA

Všechny rozměry jsou v metrech.

Měřítko 1 : 100

Souprava
Vrtmistr

HVS 382
J. Sláčala

Dokumentoval(a)

M. Láska

Zpracoval(a)	
--------------	--


M. Lásková

GeoTec-GS, a.s.										GEOLOGICKÁ DOKUMENTACE VRTU		Označení vrtu JV127
Název akce Valašská Polanka - Horní Lideč, IG průzkum												
Zakázka číslo 2022-165		Vrtáno 08. 08. 2022 - 09. 08. 2022		Výška (m n. m.) B.p.v. Z = 458.64		Souřadnice S-JTSK Y = 493 217.54 X = 1170 099.36						
Objednatel MORAVIA CONSULT Olomouc a.s.				HPV naražená 14.00 m (444.64 m n. m.)		HPV ustálená 11.60 m (447.04 m n. m.)				Stránka 2 z 2		
	Stratigrafie	Nadmořská výška (m)	Vrtný profil	Hloubka (Mocnost) (m)	Hladina podzemní vody (m)	Vzorek Lab. číslo	Zatřídění ČSN 73 1005	Těžitelost ČSN 73 6133	Konzistence /ulehlost	Geotyp	GEOLOGICKÝ POPIS ZEMIN A HORNIN	
18	Paleogén	438.64		(3.20)			R4-R5	I	-	P3	<p>Pískovec mírně až silně zvětralý, šedý, jemnozrný, silně vápnitý, drobový, glaukonitický, slabě slídnatý, postupem vrtné soupravy rozpadavý na ostrohranné úlomky (lze je středně těžce až lehce rozbít kladivem) velikosti do 4 cm, ojediněle přes průměr vrtu (112 mm), obsah úlomků cca 70 %, mezerní výplň tvoří jemnozrný písek až prach, v intervalu 19,00 - 19,80 m silně zvětralá poloha R5 - úlomků cca 30 %, s písčito-jílovitou výplní, úlomky lze drtit v prstech až lehce rozbít kladivem (pokračování z předchozí strany)</p> <p>Vrt byl ukončen v hloubce 20.00 m.</p>	
19												
20												
Legenda											POZNÁMKA	
<div> Naražená hladina podzemní vody</div> <div> Ustálená hladina podzemní vody</div> <div>Vzorky<div> Porušený vzorek<div> Jádrový vzorek horniny</div></div><div> Neporušený vzorek</div></div>												
Všechny rozměry jsou v metrech. Měřítko 1 : 100				Souprava Vrtmistr HVS 382 J. Slácala		Dokumentoval(a) M. Láska				Zpracoval(a) M. Láska		

GeoTec-GS, a.s.										GEOLOGICKÁ DOKUMENTACE VRTU										Označení vrtu JV129																																																																																																										
Název akce Valašská Polanka - Horní Lideč, IG průzkum																																																																																																																														
Zakázka číslo 2022-165				Vrtáno 20. 07. 2022				Výška (m n. m.) B.p.v. Z = 445.26				Souřadnice S-JTSK Y = 493 238.17 X = 1170 057.49																																																																																																																		
Objednatel MORAVIA CONSULT Olomouc a.s.								HPV naražená 2.40 m (442.86 m n. m.)				HPV ustálená 1.10 m (444.16 m n. m.)				Stránka 1 z 1																																																																																																														
<table><tr><td>Stratigrafie</td><td>Nadmořská výška (m)</td><td>Vrtný profil</td><td>Hloubka (Mocnost) (m)</td><td>Hladina podzemní vody (m)</td><td>Vzorek Lab. číslo</td><td>Zařídění ČSN 73 1005</td><td>Těžitelnost ČSN 73 6133</td><td>Konzistence /ulehlost</td><td>Geotyp</td><td colspan="3" rowspan="7">GEOLOGICKÝ POPIS ZEMIN A HORNIN</td></tr><tr><td>0</td><td>444.66</td><td></td><td>0.60</td><td></td><td></td><td>F6 CLO</td><td>I</td><td>-</td><td>Q0</td></tr><tr><td rowspan="3">1</td><td>443.96</td><td></td><td>1.30</td><td rowspan="3">1.10</td><td rowspan="3"></td><td>F8 CH</td><td>I</td><td>M-T</td><td>Q1a</td></tr><tr><td>443.61</td><td></td><td>1.65</td><td>F4 CS</td><td>I</td><td>M</td><td>Q1a</td></tr><tr><td>443.06</td><td></td><td>2.20</td><td>S3 S-F</td><td>I</td><td>SU</td><td>Q2</td></tr><tr><td>2</td><td></td><td></td><td>(1.10)</td><td></td><td></td><td>G3 G-F</td><td>I</td><td>SU</td><td>Q2</td></tr><tr><td>3</td><td>441.96</td><td></td><td>3.30</td><td></td><td></td><td></td><td></td><td></td><td></td></tr><tr><td rowspan="3">4</td><td></td><td></td><td>(1.40)</td><td></td><td></td><td>R6 (F5)</td><td>I</td><td>-</td><td>P1</td></tr><tr><td>440.56</td><td></td><td>4.70</td><td></td><td></td><td></td><td></td><td></td><td></td></tr><tr><td></td><td></td><td>(1.30)</td><td></td><td></td><td>R5</td><td>I</td><td>-</td><td>P2</td></tr><tr><td>5</td><td></td><td></td><td></td><td></td><td></td><td></td><td></td><td></td><td></td></tr><tr><td>6</td><td>439.26</td><td></td><td>6.00</td><td></td><td></td><td></td><td></td><td></td><td></td></tr></table>												Stratigrafie	Nadmořská výška (m)	Vrtný profil	Hloubka (Mocnost) (m)	Hladina podzemní vody (m)	Vzorek Lab. číslo	Zařídění ČSN 73 1005	Těžitelnost ČSN 73 6133	Konzistence /ulehlost	Geotyp	GEOLOGICKÝ POPIS ZEMIN A HORNIN			0	444.66		0.60			F6 CLO	I	-	Q0	1	443.96		1.30	1.10		F8 CH	I	M-T	Q1a	443.61		1.65	F4 CS	I	M	Q1a	443.06		2.20	S3 S-F	I	SU	Q2	2			(1.10)			G3 G-F	I	SU	Q2	3	441.96		3.30							4			(1.40)			R6 (F5)	I	-	P1	440.56		4.70									(1.30)			R5	I	-	P2	5										6	439.26		6.00						
Stratigrafie	Nadmořská výška (m)	Vrtný profil	Hloubka (Mocnost) (m)	Hladina podzemní vody (m)	Vzorek Lab. číslo	Zařídění ČSN 73 1005	Těžitelnost ČSN 73 6133	Konzistence /ulehlost	Geotyp	GEOLOGICKÝ POPIS ZEMIN A HORNIN																																																																																																																				
0	444.66		0.60			F6 CLO	I	-	Q0																																																																																																																					
1	443.96		1.30	1.10		F8 CH	I	M-T	Q1a																																																																																																																					
	443.61		1.65			F4 CS	I	M	Q1a																																																																																																																					
	443.06		2.20			S3 S-F	I	SU	Q2																																																																																																																					
2			(1.10)			G3 G-F	I	SU	Q2																																																																																																																					
3	441.96		3.30																																																																																																																											
4			(1.40)			R6 (F5)	I	-	P1																																																																																																																					
	440.56		4.70																																																																																																																											
			(1.30)			R5	I	-	P2																																																																																																																					
5																																																																																																																														
6	439.26		6.00																																																																																																																											
<p>Jíl s nízkou plasticitou, tmavě hnědý pevné konzistence, svrchu s drnem, se slabou písčitou příměsí, prorostlý kořeny</p> <p>Jíl s vysokou plasticitou, tuhý až měkký, zpočátku hnědorezavé barvy, dále pak šedý, okrově hnědě smouhovaný deluviofluviální sediment</p> <p>Písčitý jíl, měkký, šedé až rezavě hnědé barvy, plastický jíl se silnou písčitou příměsí - 40 až 50 %, deluviofluviální sediment</p> <p>Písek s příměsí jemnozrnné zeminy, šedý, místy hnědý, středně a jemně zrnitý se silnou prachovitou příměsí, v polohách jílovitý, fluviální sediment</p> <p>Štěrk s příměsí jemnozrnné zeminy, středně uhlý, šedý, silně slídnatý, opracované klasty o průměrné velikosti do 2-3 cm, místy až 5-6 cm a obsahu cca 70 %; mezerní výplň tvoří jemně středně zrnitý písek silně zahliněný až jílovitý a prach, fluviální sediment</p> <p>Jílovec zcela zvětralý, šedý, tmavě šedý, prachovitý, silně vápnitý, charakteru středně plastické hlíny, se střípkovitými úlomky horniny velikosti do 2 cm, které lze lámat a drolit v prstech, celkového obsahu do 15 %</p> <p>Jílovec silně zvětralý, šedý, prachovitý, silně vápnitý, charakteru pevného jílu štěrkovitého, s úlomky se střípkovitým rozpadem velikosti o 2 -4 cm, které lze drolit v prstech až lehce rozbít kladivem, celkový obsah úlomků je cca 40 %, při bázi výskyt úlomků slabě zvětralých R4</p> <p>Vrt byl ukončen v hloubce 6.00 m.</p>																																																																																																																														
Legenda												POZNÁMKA																																																																																																																		
<div><div><div><div></div><div>Naražená hladina podzemní vody</div></div><div><div></div><div>Ustálená hladina podzemní vody</div></div></div><div><div>Vzorky</div><div><div></div><div>Porušený vzorek</div></div></div></div>																																																																																																																														
Všechny rozměry jsou v metrech. Měřítko 1 : 100						Souprava Vrtmistr		Kamaz J. Vinterlík				Dokumentoval(a) M. Láska				Zpracoval(a) M. Láska																																																																																																														

GeoTec-GS, a.s.										GEOLOGICKÁ DOKUMENTACE VRTU										Označení vrtu JV130											
Název akce																															
Valašská Polanka - Horní Lideč, IG průzkum																															
Zakázka číslo				Vrtáno				Výška (m n. m.) B.p.v.				Souřadnice S-JTSK																			
2022-165				15. 08. 2022				Z = 452.94				Y = 493 218.80 X = 1170 060.38																			
Objednatel						HPV naražená				HPV ustálená				Stránka																	
MORAVIA CONSULT Olomouc a.s.						10.50 m (442.44 m n. m.)				5.20 m (447.74 m n. m.)				1 z 1																	
												GEOLOGICKÝ POPIS ZEMIN A HORNIN																			
0												Navážka charakteru hlíny písčité, světle hnědá, suchá, pevná, rozpadavá s cca 20 % podílu štěrku o průměru 2-8 cm, úlomky horniny tvoří uhelnatý jílovec (navážka haldovina z ostravských dolů z r. 1984), přítěžovací lavice																			
1												Ant										F3 MSY I - Y4									
2												451.14 1.80										Navážka charakteru štěrku hlinitého, tmavě černý, zavhlý, lesklý (kousky uhlí), úlomky od 0,5-4 cm, haldovina, středně ulehlý, přítěžovací lavice									
3												2										G4 GMY I - Y4									
4												448.74 4.20																			
5												447.24 5.70										F2 CG I T-P Q1									
6																						Jíl štěrkovitý, světle hnědý, tuhý až pevný (Op 100-150 kPa), místy polohy středně plastického jílu, vlhký, písčitý, písek špatně vytríděný, s úlomky pískovce a jílovce o velikosti 2-10 cm o obsahu do 20%, nevápnitý, deluviofluviální sediment									
7																															
8																						F6 CI I M-T Q1a									
9																															
10												443.24 9.70																			
11												441.94 11.00										R6 (F5) I - P1									
																						Jílovec zcela zvětralý charakteru hlíny se střední plasticitou, šedý, pevný, lokálně s pozůstatky původní struktury, na ojedinělých úlomcích rezavé povlaky, vápnitý, prachovitý, v intervalu 10,5-11,0 střípkovitý rozpad, v 10,5 hrubozrnější zvodnělá poloha R5 0,5-1 cm									
																						Vrt byl ukončen v hloubce 11.00 m.									

GeoTec-GS, a.s.										GEOLOGICKÁ DOKUMENTACE VRTU										Označení vrtu	
Název akce										JV131											
Valašská Polanka - Horní Lideč, IG průzkum																					
Zakázka číslo			Vrtáno			Výška (m n. m.) B.p.v.			Souřadnice S-JTSK							Stránka					
2022-165			09. 08. 2022 - 10. 08. 2022			Z = 458.43			Y = 493 207.92 X = 1170 065.83												
Objednatel						HPV naražená			HPV ustálená							1 z 2					
MORAVIA CONSULT Olomouc a.s.						10.40 m (448.03 m n. m.)			6.95 m (451.48 m n. m.)												
Stratigrafie												GEOLOGICKÝ POPIS ZEMIN A HORNIN									
Nadmořská výška (m)												Navážka, drážní štěrk - štěrkové lože, šedé, středně uhlělé, štěrk vel. do 6 cm, o obsahu do 60%, v intervalu 0.0-0.30 m slabě znečištěné, od 0.30 m s vysokým podílem prachovité frakce s jemným pískem, od intervalu 2.0 m mezní výplň až jílovitá, tmavé barvy (znečištění)									
Vrtný profil																					
Hloubka (Mocnost) (m)												(3.10)									
Hladina podzemní vody (m)																					
Vzorek Lab. číslo												G4 GMY I - Y3									
Zatřídění ČSN 73 1005																					
Těžitelnost ČSN 73 6133																					
Konzistence /ulehlost																					
Geotyp												Y3									
Ant												Navážka charakteru jílu se střední plasticitou, šedohnědá, pevná, střídání poloh hlinitých a písčitých, lokálně menší polohy jílovitých zemin tuhé konzistence, s ostrohrannými úlomky a kameny hornin o velikosti do 4 cm, o obsahu cca 20 %									
												F6 CIY I - Y2									
												</									

GeoTec-GS, a.s.				GEOLOGICKÁ DOKUMENTACE VRTU		Označení vrtu JV131																							
Název akce Valašská Polanka - Horní Lideč, IG průzkum																													
Zakázka číslo 2022-165	Vrtáno 09. 08. 2022 - 10. 08. 2022	Výška (m n. m.) B.p.v. Z = 458.43	Souřadnice S-JTSK Y = 493 207.92 X = 1170 065.83																										
Objednatel MORAVIA CONSULT Olomouc a.s.		HPV naražená 10.40 m (448.03 m n. m.)	HPV ustálená 6.95 m (451.48 m n. m.)	Stránka 2 z 2																									
<table><tr><td>Stratigrafie</td><td>Nadmožská výška (m)</td><td>Vrtný profil</td><td>Hloubka (Mocnost) (m)</td><td>Hladina podzemní vody (m)</td><td>Vzorek Lab. číslo</td><td>Zatřídění ČSN 73 1005</td><td>Těžitelnost ČSN 73 6133</td><td>Konzistence /ulehlost</td><td>Geotyp</td><td colspan="2">GEOLOGICKÝ POPIS ZEMIN A HORNIN</td></tr><tr><td colspan="10"></td><td colspan="2">tvořící tenké polohy, které se střídají s jílovcem, špatný výnos jádra Vrt byl ukončen v hloubce 18.00 m.</td></tr></table>						Stratigrafie	Nadmožská výška (m)	Vrtný profil	Hloubka (Mocnost) (m)	Hladina podzemní vody (m)	Vzorek Lab. číslo	Zatřídění ČSN 73 1005	Těžitelnost ČSN 73 6133	Konzistence /ulehlost	Geotyp	GEOLOGICKÝ POPIS ZEMIN A HORNIN												tvořící tenké polohy, které se střídají s jílovcem, špatný výnos jádra Vrt byl ukončen v hloubce 18.00 m.	
Stratigrafie	Nadmožská výška (m)	Vrtný profil	Hloubka (Mocnost) (m)	Hladina podzemní vody (m)	Vzorek Lab. číslo	Zatřídění ČSN 73 1005	Těžitelnost ČSN 73 6133	Konzistence /ulehlost	Geotyp	GEOLOGICKÝ POPIS ZEMIN A HORNIN																			
										tvořící tenké polohy, které se střídají s jílovcem, špatný výnos jádra Vrt byl ukončen v hloubce 18.00 m.																			
Legenda										POZNÁMKA																			
<div><div><div> Naražená hladina podzemní vody</div><div> Ustálená hladina podzemní vody</div></div><div>Vzorky<div><div> Porušený vzorek</div><div> Jádrový vzorek horniny</div></div></div></div>																													
Všechny rozměry jsou v metrech. Měřítko 1 : 100		Souprava Vrtmistr	HVS 382 J. Slácala		Dokumentoval(a) M. Láska, 'Bc. E. Žáček		Zpracoval(a) Bc. E. Žáček																						

Valašská Polanka - Horní Lideč, IG průzkum

Souřadnice S-JTSK

$$Y = 493\,223.89 \quad X = 1170\,005.03$$

Stránka

1 z 1

Vrt byl ukončen v hloubce 6.00 m.

 Jádrový vzorek
horniny

Bc. E. Žáček

GeoTec-GS, a.s.										GEOLOGICKÁ DOKUMENTACE VRTU										Označení vrtu																																																																																																																																																																																																																																																																																																																																																																																																																																																																																																																																																																																																																																																																																																																																																																																																																																																																																																																																																																																																																																																																																																																																																																																																																																																																																																																																																																																																																																																																																																																																																																																																																																																																																																																																																																																																																																																																																																																																																																																																																																																																																																																																																																																																																																																																																																																																																																																																																																																																																																																																																																																																																																																																																																																																																																																																																																																																																																																																																																																																																																																																																																																																																																																																																																																																																																																																																																																																																																																																																																																																																																																																																																																																																																																																																																																																																																																																																																																																																																																																																																																																																																																																																																																																																																																																																																																																																																																																																																																																																																																																																																																																																																																																																																																																																																																																																																																																																																																																																																																																																																																																																																																																																					
Název akce										Valašská Polanka - Horní Lideč, IG průzkum										JV137																																																																																																																																																																																																																																																																																																																																																																																																																																																																																																																																																																																																																																																																																																																																																																																																																																																																																																																																																																																																																																																																																																																																																																																																																																																																																																																																																																																																																																																																																																																																																																																																																																																																																																																																																																																																																																																																																																																																																																																																																																																																																																																																																																																																																																																																																																																																																																																																																																																																																																																																																																																																																																																																																																																																																																																																																																																																																																																																																																																																																																																																																																																																																																																																																																																																																																																																																																																																																																																																																																																																																																																																																																																																																																																																																																																																																																																																																																																																																																																																																																																																																																																																																																																																																																																																																																																																																																																																																																																																																																																																																																																																																																																																																																																																																																																																																																																																																																																																																																																																																																																																																																																																																					
Zakázka číslo																						Vrtáno										Výška (m n. m.) B.p.v.										Souřadnice S-JTSK																																																																																																																																																																																																																																																																																																																																																																																																																																																																																																																																																																																																																																																																																																																																																																																																																																																																																																																																																																																																																																																																																																																																																																																																																																																																																																																																																																																																																																																																																																																																																																																																																																																																																																																																																																																																																																																																																																																																																																																																																																																																																																																																																																																																																																																																																																																																																																																																																																																																																																																																																																																																																																																																																																																																																																																																																																																																																																																																																																																																																																																																																																																																																																																																																																																																																																																																																																																																																																																																																																																																																																																																																																																																																																																																																																																																																																																																																																																																																																																																																																																																																																																																																																																																																																																																																																																																																																																																																																																																																																																																																																																																																																																																																																																																																																																																																																																																																																																																																																																																																																																																																																																															
2022-165										11. 08. 2022										Z = 458.02										Y = 493 194.45 X = 1170 004.93																																																																																																																																																																																																																																																																																																																																																																																																																																																																																																																																																																																																																																																																																																																																																																																																																																																																																																																																																																																																																																																																																																																																																																																																																																																																																																																																																																																																																																																																																																																																																																																																																																																																																																																																																																																																																																																																																																																																																																																																																																																																																																																																																																																																																																																																																																																																																																																																																																																																																																																																																																																																																																																																																																																																																																																																																																																																																																																																																																																																																																																																																																																																																																																																																																																																																																																																																																																																																																																																																																																																																																																																																																																																																																																																																																																																																																																																																																																																																																																																																																																																																																																																																																																																																																																																																																																																																																																																																																																																																																																																																																																																																																																																																																																																																																																																																																																																																																																																																																																																																																																																																																																																											
Objednatel										HPV naražená										HPV ustálená										Stránka																																																																																																																																																																																																																																																																																																																																																																																																																																																																																																																																																																																																																																																																																																																																																																																																																																																																																																																																																																																																																																																																																																																																																																																																																																																																																																																																																																																																																																																																																																																																																																																																																																																																																																																																																																																																																																																																																																																																																																																																																																																																																																																																																																																																																																																																																																																																																																																																																																																																																																																																																																																																																																																																																																																																																																																																																																																																																																																																																																																																																																																																																																																																																																																																																																																																																																																																																																																																																																																																																																																																																																																																																																																																																																																																																																																																																																																																																																																																																																																																																																																																																																																																																																																																																																																																																																																																																																																																																																																																																																																																																																																																																																																																																																																																																																																																																																																																																																																																																																																																																																																																																																																																											
MORAVIA CONSULT Olomouc a.s.										Nezastižena										10.30 m (447.72 m n. m.)										1 z 1																																																																																																																																																																																																																																																																																																																																																																																																																																																																																																																																																																																																																																																																																																																																																																																																																																																																																																																																																																																																																																																																																																																																																																																																																																																																																																																																																																																																																																																																																																																																																																																																																																																																																																																																																																																																																																																																																																																																																																																																																																																																																																																																																																																																																																																																																																																																																																																																																																																																																																																																																																																																																																																																																																																																																																																																																																																																																																																																																																																																																																																																																																																																																																																																																																																																																																																																																																																																																																																																																																																																																																																																																																																																																																																																																																																																																																																																																																																																																																																																																																																																																																																																																																																																																																																																																																																																																																																																																																																																																																																																																																																																																																																																																																																																																																																																																																																																																																																																																																																																																																																																																																																																											
Stratigrafie										Nadmořská výška (m)										Vrtný profil										Hloubka (Mocnost) (m)										Hladina podzemní vody (m)										Vzorek Lab. číslo										Zatřídění ČSN 73 1005										Těžitelnost ČSN 73 6133										Konzistence /ulehlost										Geotyp										GEOLOGICKÝ POPIS ZEMIN A HORNIN																																																																																																																																																																																																																																																																																																																																																																																																																																																																																																																																																																																																																																																																																																																																																																																																																																																																																																																																																																																																																																																																																																																																																																																																																																																																																																																																																																																																																																																																																																																																																																																																																																																																																																																																																																																																																																																																																																																																																																																																																																																																																																																																																																																																																																																																																																																																																																																																																																																																																																																																																																																																																																																																																																																																																																																																																																																																																																																																																																																																																																																																																																																																																																																																																																																																																																																																																																																																																																																																																																																																																																																																																																																																																																																																																																																																																																																																																																																																																																																																																																																																																																																																																																																																																																																																																																																																																																																																																																																																																																																																																																																																																																																																																																																																																																																																																																																																																																																																																																																																																																																																					
0																																																																																																																																																																																																																																																																																																																																																																																																																																																																																																																																																																																																																																																																																																																																																																																																																																																																																																																																																																																																																																																																																																																																																																																																																																																																																																																																																																																																																																																																																																																																																																																																																																																																																																																																																																																																																																																																																																																																																																																																																																																																																																																																																																																																																																																																																																																																																																																																																																																																																																																																																																																																																																																																																																																																																																																																																																																																																																																																																																																																																																																																																																																																																																																																																																																																																																																																																																																																																																																																																																																																																																																																																																																																																																																																																																																																																																																																																																																																																																																																																																																																																																																																																																																																																																																																																																																																																																																																																																																																																																																																																																																																																																																																																																																																																																																																																																																																																																																																																																																																																																																																																																																																																																									

GeoTec-GS, a.s.					GEOLOGICKÁ DOKUMENTACE VRTU					Označení vrtu JV141																																																																										
Název akce Valašská Polanka - Horní Lideč, IG průzkum																																																																																				
Zakázka číslo 2022-165		Vrtáno 21. 07. 2022		Výška (m n. m.) B.p.v. Z = 457.66		Souřadnice S-JTSK Y = 493 192.78 X = 1169 965.92																																																																														
Objednatel MORAVIA CONSULT Olomouc a.s.				HPV naražená Nezastižena		HPV ustálená Nezastižena		Stránka 1 z 1																																																																												
<table><thead><tr><th></th><th>Stratigrafie</th><th>Nadmořská výška (m)</th><th>Vrtný profil</th><th>Hloubka (Mocnost) (m)</th><th>Hladina podzemní vody (m)</th><th>Vzorek Lab. číslo</th><th>Zatřídění ČSN 73 1005</th><th>Těžitelnost ČSN 73 6133</th><th>Konzistence /ulehlost</th><th>Geotyp</th><th>GEOLOGICKÝ POPIS ZEMIN A HORNIN</th></tr></thead><tbody><tr><td>0</td><td rowspan="5">Ant</td><td>457.16</td><td rowspan="5"></td><td>0.50</td><td rowspan="5"></td><td rowspan="5"></td><td>G3 G-FY</td><td>I</td><td>-</td><td>Y3</td><td>Navážka, drážní štěrk - štěrkové lože, do velikosti 4-5 cm slabě znečištěný prachem a jemným pískem</td></tr><tr><td>1</td><td>456.46</td><td>1.20</td><td>F1 MGY</td><td>I</td><td>-</td><td>Y3</td><td>Navážka charakteru štěrkovité hlíny, pevná, hnědošedá až černá, drcené kamenivo velikosti do 4 cm a obsahem 30 %, s úlomky cihel, vyplněné škvárou a prachovitou hlínou a kusy dřeva (0,9 m - celistvý kus dřeva, téměř přes průměr vrtu)</td></tr><tr><td>2</td><td>455.06</td><td>(1.40)</td><td>2.60</td><td>F6 CIY</td><td>I</td><td>-</td><td>Y2</td><td>Navážka charakteru jílu se střední plasticitou, hnědé barvy, místy šedý, tuhý až pevný, silně prachovitý s opracovanými klasty o velikosti do 3cm, místy až 4-5 cm a celkového obsahu do 20-30 %</td></tr><tr><td>3</td><td rowspan="3">Paleogén</td><td rowspan="3"></td><td>(2.20)</td><td>F5 MI</td><td>I</td><td>P</td><td>P1</td><td>Hlína se střední plasticitou, hnědá, pevná, se silně prachovitou příměsí, místy slabě písčité poloha s opracovanými klasty o velikosti do 2-3 cm a obsahu cca 10-15 % střípkovitého rozpadu, lze je drtit v prstech až slabě rozbít kladivem, eluvium</td></tr><tr><td>4</td><td>452.86</td><td>4.80</td><td rowspan="2">R6 (F6)</td><td rowspan="2">I</td><td rowspan="2">-</td><td rowspan="2">P1</td><td rowspan="2">Jílovec zcela zvětralý, hnědý, místy šedý, charakteru silně prachovitého jílu se střípkovitými úlomky jílovce velikosti do 2-3 cm a obsahem cca 20-30 %, které lze lehce rozbít kladivem až drtit v prstech, drobný</td></tr><tr><td>5</td><td>(1.20)</td><td>6.00</td></tr><tr><td>6</td><td></td><td>451.66</td><td></td><td></td><td></td><td></td><td></td><td></td><td></td><td></td><td>Vrt byl ukončen v hloubce 6.00 m.</td></tr></tbody></table>													Stratigrafie	Nadmořská výška (m)	Vrtný profil	Hloubka (Mocnost) (m)	Hladina podzemní vody (m)	Vzorek Lab. číslo	Zatřídění ČSN 73 1005	Těžitelnost ČSN 73 6133	Konzistence /ulehlost	Geotyp	GEOLOGICKÝ POPIS ZEMIN A HORNIN	0	Ant	457.16		0.50			G3 G-FY	I	-	Y3	Navážka, drážní štěrk - štěrkové lože, do velikosti 4-5 cm slabě znečištěný prachem a jemným pískem	1	456.46	1.20	F1 MGY	I	-	Y3	Navážka charakteru štěrkovité hlíny, pevná, hnědošedá až černá, drcené kamenivo velikosti do 4 cm a obsahem 30 %, s úlomky cihel, vyplněné škvárou a prachovitou hlínou a kusy dřeva (0,9 m - celistvý kus dřeva, téměř přes průměr vrtu)	2	455.06	(1.40)	2.60	F6 CIY	I	-	Y2	Navážka charakteru jílu se střední plasticitou, hnědé barvy, místy šedý, tuhý až pevný, silně prachovitý s opracovanými klasty o velikosti do 3cm, místy až 4-5 cm a celkového obsahu do 20-30 %	3	Paleogén		(2.20)	F5 MI	I	P	P1	Hlína se střední plasticitou, hnědá, pevná, se silně prachovitou příměsí, místy slabě písčité poloha s opracovanými klasty o velikosti do 2-3 cm a obsahu cca 10-15 % střípkovitého rozpadu, lze je drtit v prstech až slabě rozbít kladivem, eluvium	4	452.86	4.80	R6 (F6)	I	-	P1	Jílovec zcela zvětralý, hnědý, místy šedý, charakteru silně prachovitého jílu se střípkovitými úlomky jílovce velikosti do 2-3 cm a obsahem cca 20-30 %, které lze lehce rozbít kladivem až drtit v prstech, drobný	5	(1.20)	6.00	6		451.66									Vrt byl ukončen v hloubce 6.00 m.
	Stratigrafie	Nadmořská výška (m)	Vrtný profil	Hloubka (Mocnost) (m)	Hladina podzemní vody (m)	Vzorek Lab. číslo	Zatřídění ČSN 73 1005	Těžitelnost ČSN 73 6133	Konzistence /ulehlost	Geotyp	GEOLOGICKÝ POPIS ZEMIN A HORNIN																																																																									
0	Ant	457.16		0.50			G3 G-FY	I	-	Y3	Navážka, drážní štěrk - štěrkové lože, do velikosti 4-5 cm slabě znečištěný prachem a jemným pískem																																																																									
1		456.46		1.20			F1 MGY	I	-	Y3	Navážka charakteru štěrkovité hlíny, pevná, hnědošedá až černá, drcené kamenivo velikosti do 4 cm a obsahem 30 %, s úlomky cihel, vyplněné škvárou a prachovitou hlínou a kusy dřeva (0,9 m - celistvý kus dřeva, téměř přes průměr vrtu)																																																																									
2		455.06		(1.40)			2.60	F6 CIY	I	-	Y2	Navážka charakteru jílu se střední plasticitou, hnědé barvy, místy šedý, tuhý až pevný, silně prachovitý s opracovanými klasty o velikosti do 3cm, místy až 4-5 cm a celkového obsahu do 20-30 %																																																																								
3		Paleogén					(2.20)	F5 MI	I	P	P1	Hlína se střední plasticitou, hnědá, pevná, se silně prachovitou příměsí, místy slabě písčité poloha s opracovanými klasty o velikosti do 2-3 cm a obsahu cca 10-15 % střípkovitého rozpadu, lze je drtit v prstech až slabě rozbít kladivem, eluvium																																																																								
4							452.86	4.80	R6 (F6)	I	-	P1	Jílovec zcela zvětralý, hnědý, místy šedý, charakteru silně prachovitého jílu se střípkovitými úlomky jílovce velikosti do 2-3 cm a obsahem cca 20-30 %, které lze lehce rozbít kladivem až drtit v prstech, drobný																																																																							
5	(1.20)		6.00																																																																																	
6		451.66									Vrt byl ukončen v hloubce 6.00 m.																																																																									
Legenda										POZNÁMKA																																																																										
<div><div> Naražená hladina podzemní vody</div><div> Ustálená hladina podzemní vody</div></div> <div><div>Vzorky</div><div> Neporušený vzorek</div><div> Porušený vzorek</div></div>																																																																																				
Všechny rozměry jsou v metrech. Měřítko 1 : 100		Souprava Vrtmistr		Kamaz J. Vinterlík		Dokumentoval(a) Bc. E. Žáček		Zpracoval(a) Bc. E. Žáček																																																																												

DYNAMICKÁ PENETRACE

akce : Valašská Polanka - Horní Lideč, IG průzkum
zak.č. : 2022 - 165
lokalizace : X=1170319.36 Y=493262.5 Z=460.18

sonda : DP101

TABULKA Č. 1.1

souřadnice :

X =	1 170 319.36
0 Y =	493 262.50
Z =	460.18
hladina podzemní vody pod terénem	1.90
kužel (hrot) na ztraceno	

doplňující informace :

datum provedení penetrační sondy : 27.7.2022

provedl : Luboš Holub

vyhodnotil : Luboš Holub

hmotnost beranu (kg) 50.00

výška pádu beranu 0.50 m

hloubka (m)	N _x	N _{xred}	q _d (MPa)	hloubka (m)	N _x	N _{xred}	q _d (MPa)	hloubka (m)	N _x	N _{xred}	q _d (MPa)	hloubka (m)	N _x	N _{xred}	q _d (MPa)	hloubka (m)	N _x	N _{xred}	q _d (MPa)
0.1	9	9.0	11.1	3.2	8	8.0	7.9	6.3	28	27.8	21.8	9.4	75	74.8	49.0				
0.2	15	15.0	18.2	3.3	6	6.0	6.1	6.4	23	22.8	18.0	9.5	138	137.8	89.6				
0.3	20	20.0	24.1	3.4	6	6.0	6.1	6.5	22	21.8	17.2								
0.4	22	22.0	26.5	3.5	7	7.0	7.0	6.6	31	30.8	24.1								
0.5	25	25.0	30.1	3.6	7	7.0	7.0	6.7	18	17.8	14.2								
0.6	10	10.0	12.3	3.7	12	12.0	11.6	6.8	23	22.8	18.0								
0.7	4	4.0	5.1	3.8	11	11.0	10.7	6.9	31	30.8	24.1								
0.8	4	4.0	5.1	3.9	16	16.0	15.3	7.0	28	27.8	21.8								
0.9	3	3.0	3.9	4.0	21	21.0	20.0	7.1	25	24.8	18.5								
1.0	2	2.0	2.8	4.1	25	25.0	22.1	7.2	29	28.8	21.3								
1.1	3	3.0	3.7	4.2	21	21.0	18.7	7.3	28	27.8	20.6								
1.2	2	2.0	2.6	4.3	24	24.0	21.3	7.4	31	30.8	22.8								
1.3	2	2.0	2.6	4.4	27	27.0	23.9	7.5	27	26.8	19.9								
1.4	1	1.0	1.5	4.5	25	25.0	22.1	7.6	30	29.8	22.0								
1.5	2	2.0	2.6	4.6	25	25.0	22.1	7.7	25	24.8	18.5								
1.6	1	1.0	1.5	4.7	23	23.0	20.4	7.8	26	25.8	19.2								
1.7	1	1.0	1.5	4.8	12	12.0	10.9	7.9	24	23.8	17.7								
1.8	1	1.0	1.5	4.9	20	20.0	17.8	8.0	29	28.8	21.3								
1.9	3	3.0	3.7	5.0	23	23.0	20.4	8.1	35	34.8	24.4								
2.0	4	4.0	4.7	5.1	20	19.9	16.7	8.2	54	53.8	37.3								
2.1	3	3.0	3.5	5.2	10	9.9	8.6	8.3	56	55.8	38.6								
2.2	3	3.0	3.5	5.3	16	15.9	13.5	8.4	34	33.8	23.7								
2.3	3	3.0	3.5	5.4	27	26.9	22.4	8.5	31	30.8	21.7								
2.4	3	3.0	3.5	5.5	20	19.9	16.7	8.6	30	29.8	21.0								
2.5	3	3.0	3.5	5.6	17	16.9	14.3	8.7	25	24.8	17.6								
2.6	4	4.0	4.5	5.7	20	19.9	16.7	8.8	35	34.8	24.4								
2.7	4	4.0	4.5	5.8	21	20.9	17.5	8.9	33	32.8	23.0								
2.8	5	5.0	5.5	5.9	22	21.9	18.3	9.0	33	32.8	23.0								
2.9	6	6.0	6.5	6.0	22	21.9	18.3	9.1	37	36.8	24.5								
3.0	6	6.0	6.5	6.1	24	23.8	18.7	9.2	103	102.8	67.0								
3.1	8	8.0	7.9	6.2	26	25.8	20.3	9.3	80	79.8	52.2								

DYNAMICKÁ PENETRACE

(počet redukovaných úderů N_{red} ; specifický dynamický odpor q_d)

sonda : DP101

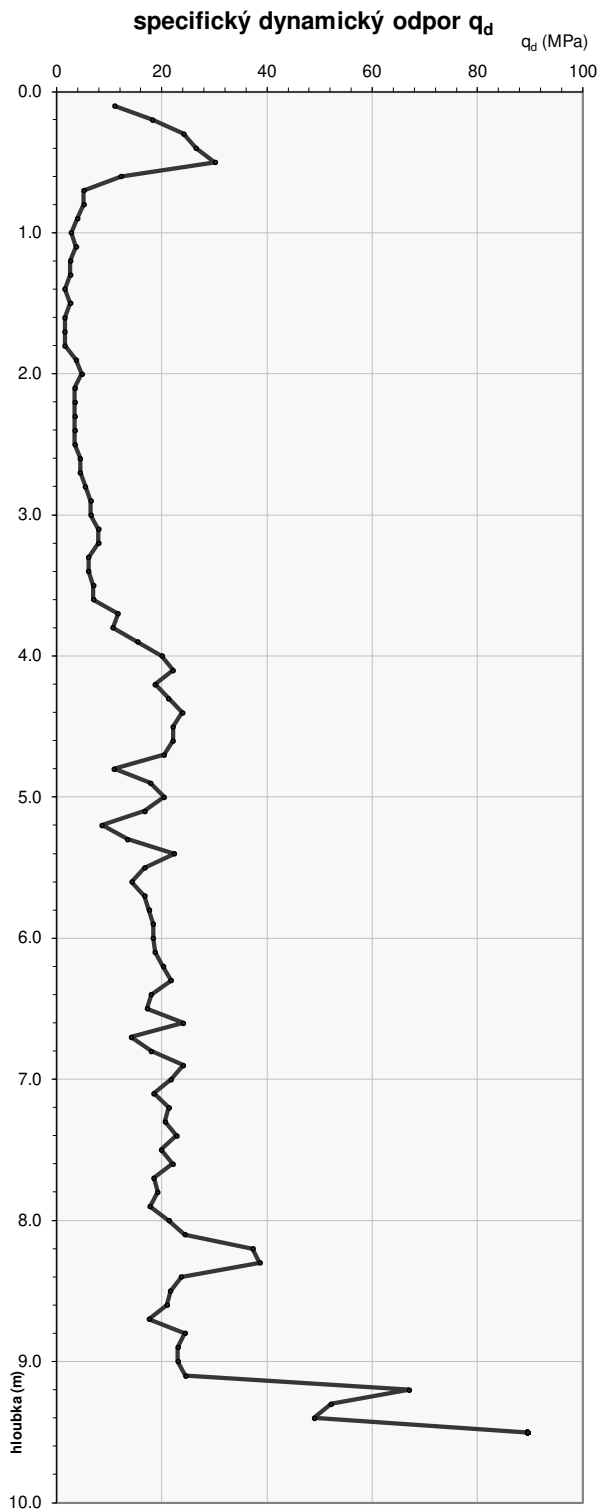
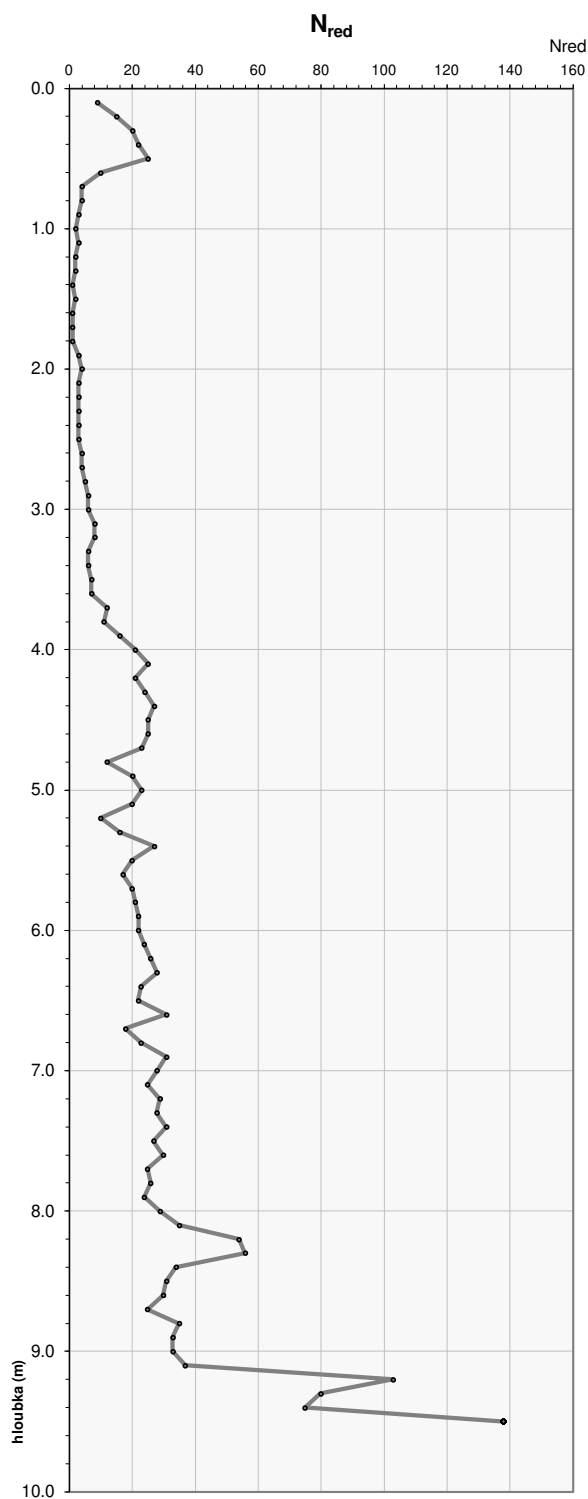
OBR. 1.1

akce : Valašská Polanka - Horní Lideč, IG průzkum
zak.č. : 2022 - 165
lokalizace : X=1170319.36 Y=493262.5 Z=460.18

doplňující informace :

hladina podzemní vody pod terénem 1.90 m

0



KOMENTÁŘ

-

DYNAMICKÁ PENETRACE

akce : Valašská Polanka - Horní Lideč, IG průzkum
zak.č. : 2022 - 165
lokalizace : X=1170291.06 Y=493262.66 Z=460.05

sonda : DP102

TABULKA Č. 1.1

doplňující informace :

datum provedení penetrační sondy : 27.7.2022

provedl : Luboš Holub

vyhodnotil : Luboš Holub

hmotnost beranu (kg) 50.00

výška pádu beranu 0.50 m

souřadnice :

X = 1 170 291.06
0 Y = 493 262.66
Z = 460.05

hladina podzemní vody pod terénem <nezastižena> m

kužel (hrot) na ztraceno

hloubka (m)	N _x	N _{xred}	q _d (MPa)	hloubka (m)	N _x	N _{xred}	q _d (MPa)	hloubka (m)	N _x	N _{xred}	q _d (MPa)	hloubka (m)	N _x	N _{xred}	q _d (MPa)	hloubka (m)	N _x	N _{xred}	q _d (MPa)
0.1	4	4.0	5.2	3.2	5	4.9	5.1												
0.2	11	11.0	13.5	3.3	4	3.9	4.2												
0.3	9	9.0	11.1	3.4	5	4.9	5.1												
0.4	9	9.0	11.1	3.5	4	3.9	4.2												
0.5	25	25.0	30.1	3.6	5	4.9	5.1												
0.6	30	30.0	36.0	3.7	6	5.9	6.0												
0.7	23	23.0	27.7	3.8	8	7.9	7.9												
0.8	18	18.0	21.8	3.9	10	9.9	9.7												
0.9	11	11.0	13.5	4.0	9	8.9	8.8												
1.0	5	5.0	6.3	4.1	8	7.9	7.4												
1.1	2	2.0	2.6	4.2	10	9.9	9.2												
1.2	2	2.0	2.6	4.3	8	7.9	7.4												
1.3	2	2.0	2.6	4.4	9	8.9	8.3												
1.4	2	2.0	2.6	4.5	14	13.9	12.6												
1.5	1	1.0	1.5	4.6	12	11.9	10.9												
1.6	1	1.0	1.5	4.7	12	11.9	10.9												
1.7	2	2.0	2.6	4.8	10	9.9	9.2												
1.8	2	2.0	2.6	4.9	13	12.9	11.7												
1.9	2	2.0	2.6	5.0	21	20.9	18.7												
2.0	2	2.0	2.6	5.1	23	22.9	19.1												
2.1	2	1.9	2.4	5.2	22	21.9	18.3												
2.2	2	1.9	2.4	5.3	33	32.9	27.2												
2.3	4	3.9	4.4	5.4	33	32.9	27.2												
2.4	5	4.9	5.4	5.5	32	31.9	26.4												
2.5	4	3.9	4.4	5.6	40	39.9	32.9												
2.6	3	2.9	3.4	5.7	100	99.9	81.4												
2.7	3	2.9	3.4																
2.8	4	3.9	4.4																
2.9	4	3.9	4.4																
3.0	5	4.9	5.4																
3.1	5	4.9	5.1																

DYNAMICKÁ PENETRACE

(počet redukováných úderů N_{red} ; specifický dynamický odpor q_d)

sonda : DP102

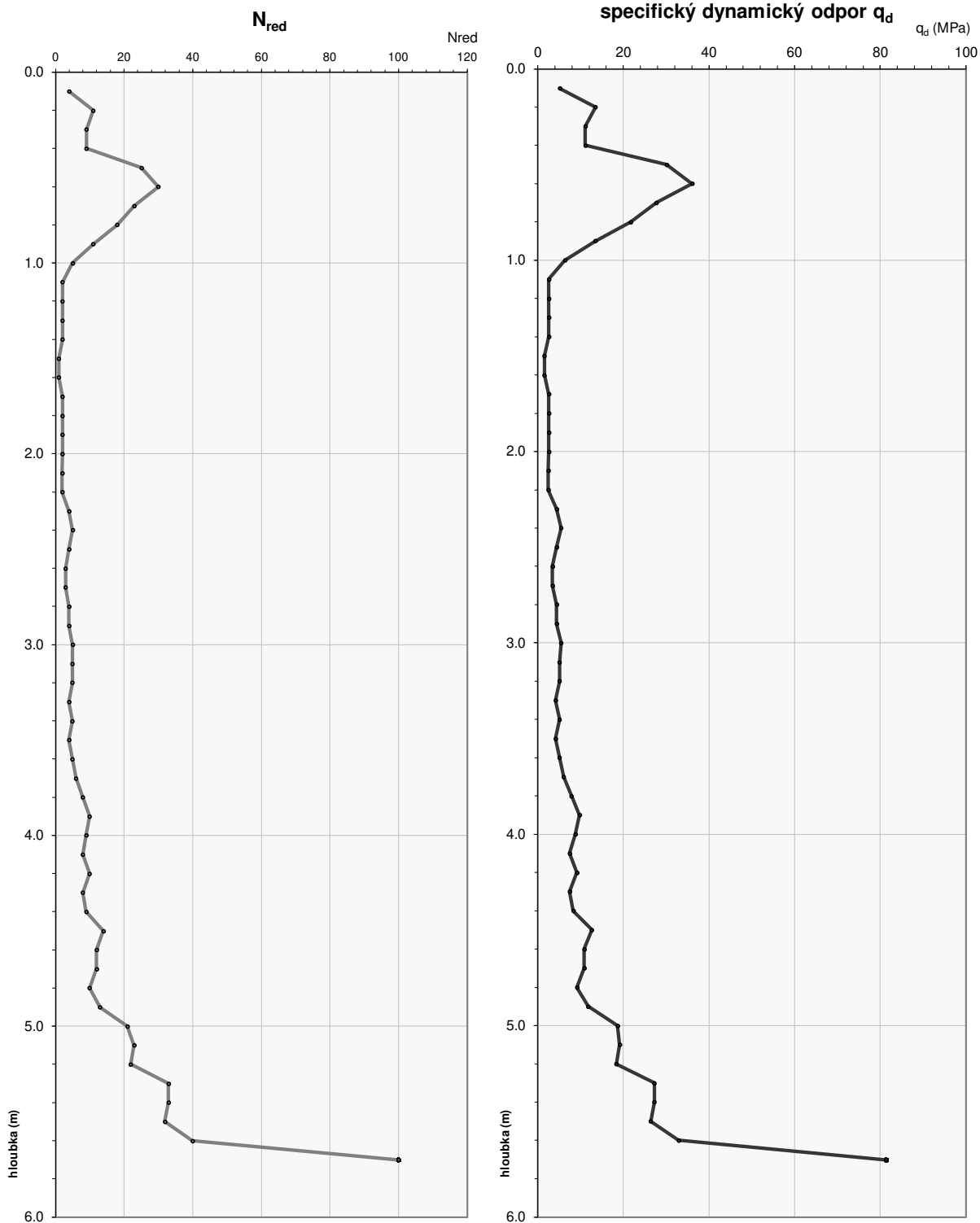
OBR. 1 .1

akce : Valašská Polanka - Horní Lideč, IG průzkum
zak.č. : 2022 - 165
lokalizace : X=1170291.06 Y=493262.66 Z=460.05

doplňující informace :

hladina podzemní vody pod terénem <nezastižena> m

0



KOMENTÁŘ

-

DYNAMICKÁ PENETRACE

akce : Valašská Polanka - Horní Lideč, IG průzkum
zak.č. : 2022 - 165
lokalizace : X=1170270.69 Y=493260.84 Z=459.92

sonda : DP105

TABULKA Č. 1.1

doplňující informace :

datum provedení penetrační sondy : 27.7.2022

provedl : Luboš Holub

vyhodnotil : Luboš Holub

hmotnost beranu (kg) 50.00

výška pádu beranu 0.50 m

souřadnice :

X = 1 170 270.69
0 Y = 493 260.84
Z = 459.92

hladina podzemní vody pod terénem <nezastižena> m

kužel (hrot) na ztraceno

hloubka (m)	N _x	N _{xred}	q _d (MPa)	hloubka (m)	N _x	N _{xred}	q _d (MPa)	hloubka (m)	N _x	N _{xred}	q _d (MPa)	hloubka (m)	N _x	N _{xred}	q _d (MPa)	hloubka (m)	N _x	N _{xred}	q _d (MPa)
0.1	11	10.9	13.4	3.2	4	3.9	4.1												
0.2	16	15.9	19.3	3.3	5	4.9	5.1												
0.3	17	16.9	20.5	3.4	5	4.9	5.1												
0.4	30	29.9	36.0	3.5	150	149.9	139.5												
0.5	36	35.9	43.1																
0.6	29	28.9	34.8																
0.7	24	23.9	28.8																
0.8	8	7.9	9.8																
0.9	6	5.9	7.5																
1.0	6	5.9	7.5																
1.1	5	4.9	5.8																
1.2	4	3.9	4.7																
1.3	5	4.9	5.8																
1.4	4	3.9	4.7																
1.5	4	3.9	4.7																
1.6	4	3.9	4.7																
1.7	5	4.9	5.8																
1.8	5	4.9	5.8																
1.9	5	4.9	5.8																
2.0	2	1.9	2.5																
2.1	2	1.9	2.4																
2.2	2	1.9	2.4																
2.3	3	2.9	3.4																
2.4	2	1.9	2.4																
2.5	3	2.9	3.4																
2.6	2	1.9	2.4																
2.7	2	1.9	2.4																
2.8	6	5.9	6.4																
2.9	5	4.9	5.4																
3.0	3	2.9	3.4																
3.1	4	3.9	4.1																

DYNAMICKÁ PENETRACE

(počet redukovaných úderů N_{red} ; specifický dynamický odpor q_d)

sonda : DP105

OBR. 1.1

akce : Valašská Polanka - Horní Lideč, IG průzkum

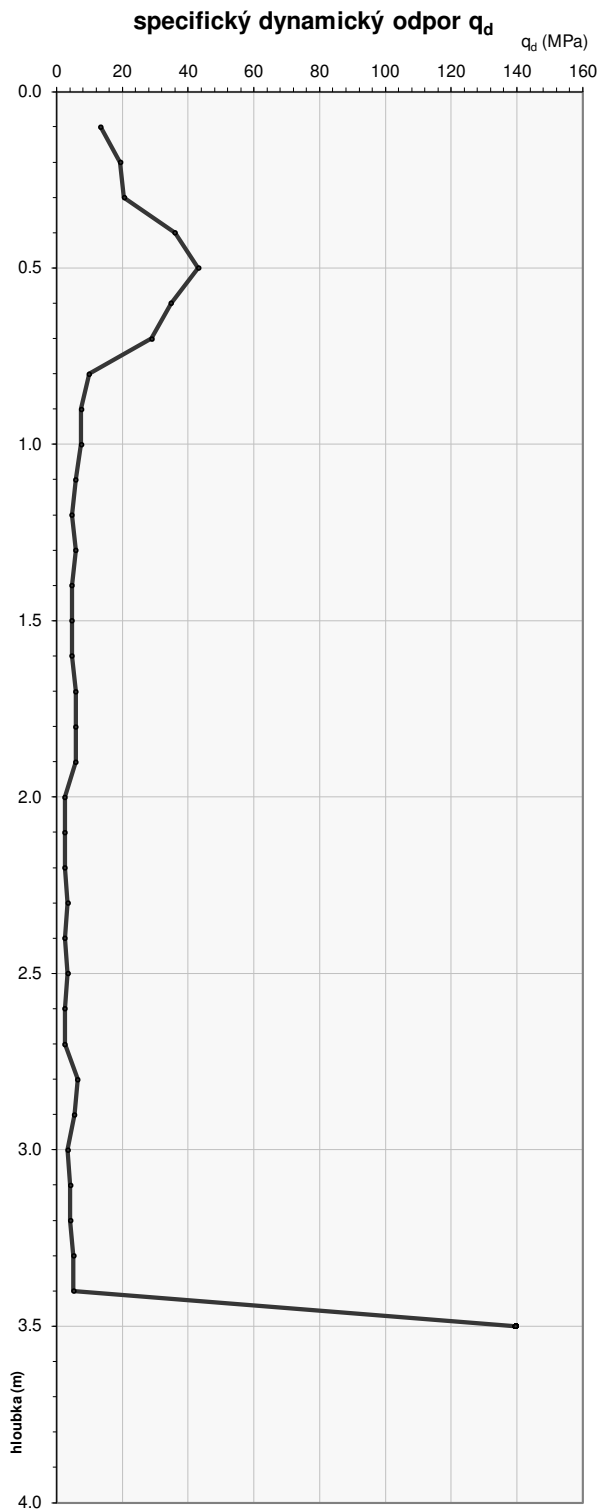
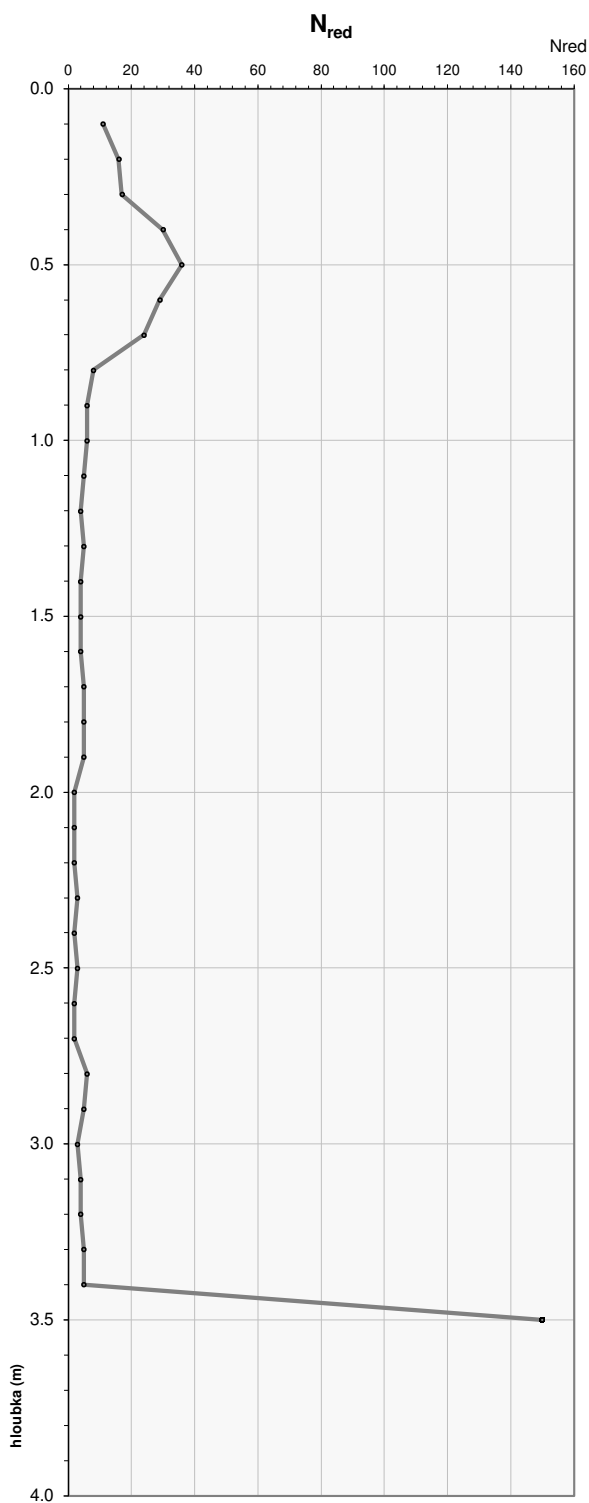
zak.č. : 2022 - 165

lokalizace : X=1170270.69 Y=493260.84 Z=459.92

doplňující informace :

hladina podzemní vody pod terénem <nezastižena> m

0



KOMENTÁŘ

-

akce : Valašská Polanka - Horní Lideč, IG průzkum
zak.č. : 2022 - 165
lokalizace : X=1170277.54 Y=493196.36 Z=470.85

TABULKA Č. 1.1

X =	1 170 277.54
Y =	493 196.36
Z =	470.85

doplňující informace :

datum provedení penetrační sondy :	8.8.2022
provedl :	Luboš Holub
vyhodnotil :	Luboš Holub
hmotnost beranu (kg)	50.00
	výška pádu (m)

GeoTec-GS, a.s.

DYNAMICKÁ PENETRACE

(počet redukováných úderů N_{red} ; specifický dynamický odpor q_d)

sonda : DP106

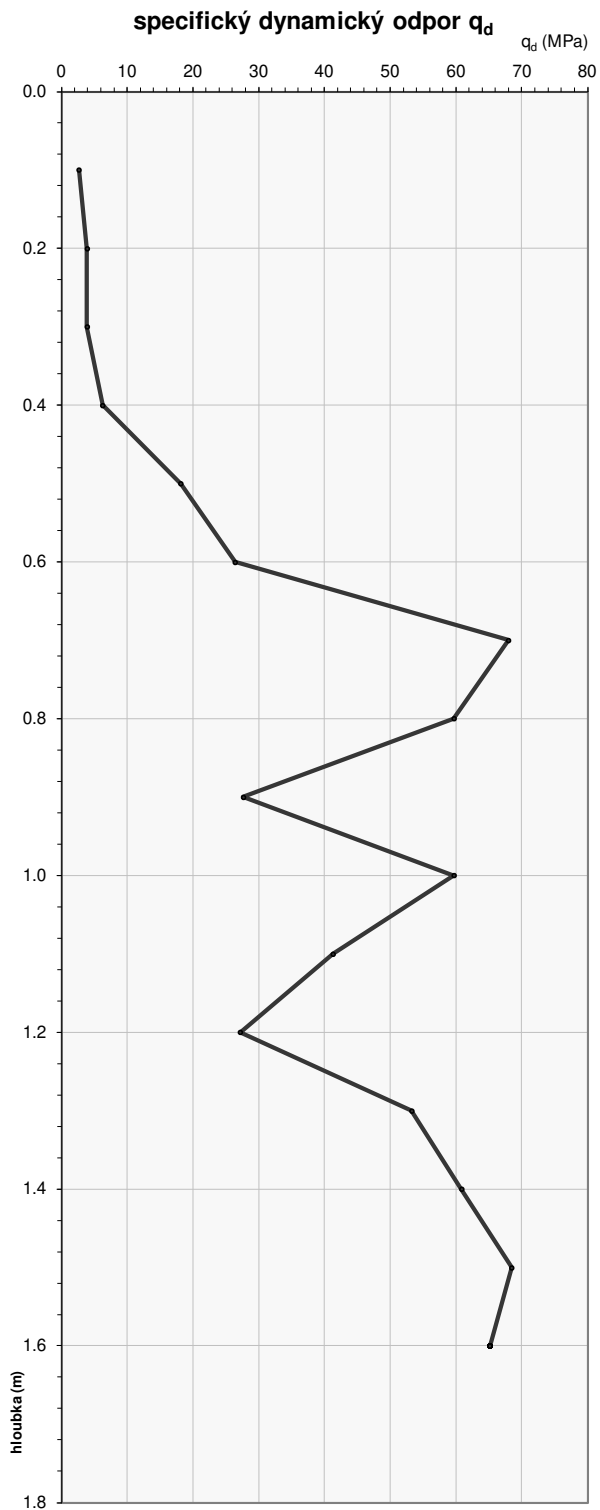
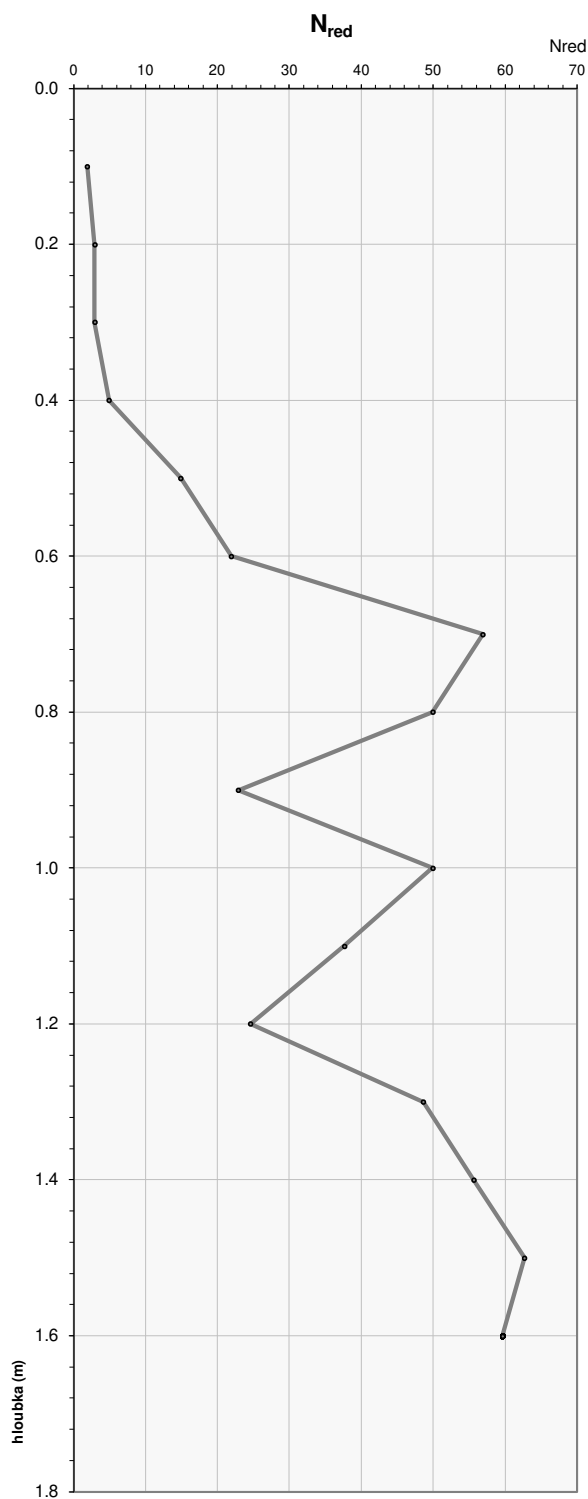
OBR. 1.1

akce : Valašská Polanka - Horní Lideč, IG průzkum
zak.č. : 2022 - 165
lokalizace : X=1170277.54 Y=493196.36 Z=470.85

doplňující informace :

hladina podzemní vody pod terénem <nezastižena> m

0



KOMENTÁŘ

-

DYNAMICKÁ PENETRACE

akce : Valašská Polanka - Horní Lideč, IG průzkum
zak.č. : 2022 - 165
lokalizace : X=1170242.85 Y=493257.16 Z=459.67

sonda : DP109

TABULKA Č. 1.1

souřadnice :

X =	1 170 242.85
0 Y =	493 257.16
Z =	459.67
hladina podzemní vody pod terénem	7.30

kužel (hrot) na ztraceno

doplňující informace :

datum provedení penetrační sondy : 27.7.2022

provedl : Miroslav Láska

vyhodnotil : Luboš Holub

hmotnost beranu (kg) 50.00

výška pádu beranu 0.50 m

hloubka (m)	N _x	N _{xred}	q _d (MPa)	hloubka (m)	N _x	N _{xred}	q _d (MPa)	hloubka (m)	N _x	N _{xred}	q _d (MPa)	hloubka (m)	N _x	N _{xred}	q _d (MPa)	hloubka (m)	N _x	N _{xred}	q _d (MPa)
0.1	6	6.0	7.5	3.2	3	3.0	3.3	6.3	20	20.0	15.8	9.4	2	1.9	2.0				
0.2	13	13.0	15.8	3.3	3	3.0	3.3	6.4	19	19.0	15.1	9.5	1	0.9	1.3				
0.3	11	11.0	13.4	3.4	4	4.0	4.2	6.5	17	17.0	13.6	9.6	15	14.9	10.4				
0.4	14	14.0	17.0	3.5	4	4.0	4.2	6.6	18	18.0	14.3	9.7	61	60.9	40.0				
0.5	16	16.0	19.4	3.6	4	4.0	4.2	6.7	16	16.0	12.8	9.8	43	42.9	28.4				
0.6	19	19.0	22.9	3.7	4	4.0	4.2	6.8	17	17.0	13.6	9.9	23	22.9	15.5				
0.7	23	23.0	27.7	3.8	4	4.0	4.2	6.9	14	14.0	11.3	10.0	27	26.9	18.1				
0.8	18	18.0	21.7	3.9	4	4.0	4.2	7.0	15	15.0	12.0	10.1	11	10.7	7.4				
0.9	10	10.0	12.2	4.0	4	4.0	4.2	7.1	17	17.0	12.9	10.2	4	3.7	3.1				
1.0	5	5.0	6.3	4.1	4	4.0	4.0	7.2	16	16.0	12.1	10.3	3	2.7	2.5				
1.1	4	3.9	4.7	4.2	4	4.0	4.0	7.3	13	13.0	10.0	10.4	4	3.7	3.1				
1.2	4	3.9	4.7	4.3	4	4.0	4.0	7.4	12	12.0	9.3	10.5	9	8.7	6.1				
1.3	5	4.9	5.8	4.4	5	5.0	4.9	7.5	13	13.0	10.0	10.6	13	12.7	8.6				
1.4	4	3.9	4.7	4.5	5	5.0	4.9	7.6	11	11.0	8.5	10.7	20	19.7	12.9				
1.5	5	4.9	5.8	4.6	6	6.0	5.7	7.7	13	13.0	10.0	10.8	32	31.7	20.2				
1.6	5	4.9	5.8	4.7	8	8.0	7.5	7.8	16	16.0	12.1								
1.7	3	2.9	3.6	4.8	8	8.0	7.5	7.9	18	18.0	13.6								
1.8	2	1.9	2.6	4.9	12	12.0	10.9	8.0	16	16.0	12.1								
1.9	2	1.9	2.6	5.0	12	12.0	10.9	8.1	14	13.9	10.2								
2.0	2	1.9	2.6	5.1	12	12.0	10.3	8.2	13	12.9	9.5								
2.1	3	3.0	3.4	5.2	12	12.0	10.3	8.3	13	12.9	9.5								
2.2	2	2.0	2.4	5.3	11	11.0	9.5	8.4	13	12.9	9.5								
2.3	6	6.0	6.4	5.4	14	14.0	11.9	8.5	15	14.9	10.9								
2.4	3	3.0	3.4	5.5	16	16.0	13.5	8.6	17	16.9	12.2								
2.5	2	2.0	2.4	5.6	15	15.0	12.7	8.7	38	37.9	26.5								
2.6	3	3.0	3.4	5.7	15	15.0	12.7	8.8	52	51.9	36.0								
2.7	3	3.0	3.4	5.8	13	13.0	11.1	8.9	45	44.9	31.2								
2.8	2	2.0	2.4	5.9	15	15.0	12.7	9.0	32	31.9	22.4								
2.9	5	5.0	5.4	6.0	19	19.0	16.0	9.1	28	27.9	18.7								
3.0	2	2.0	2.4	6.1	18	18.0	14.3	9.2	15	14.9	10.4								
3.1	4	4.0	4.2	6.2	16	16.0	12.8	9.3	4	3.9	3.3								

DYNAMICKÁ PENETRACE

(počet redukovaných úderů N_{red} ; specifický dynamický odpor q_d)

sonda : DP109

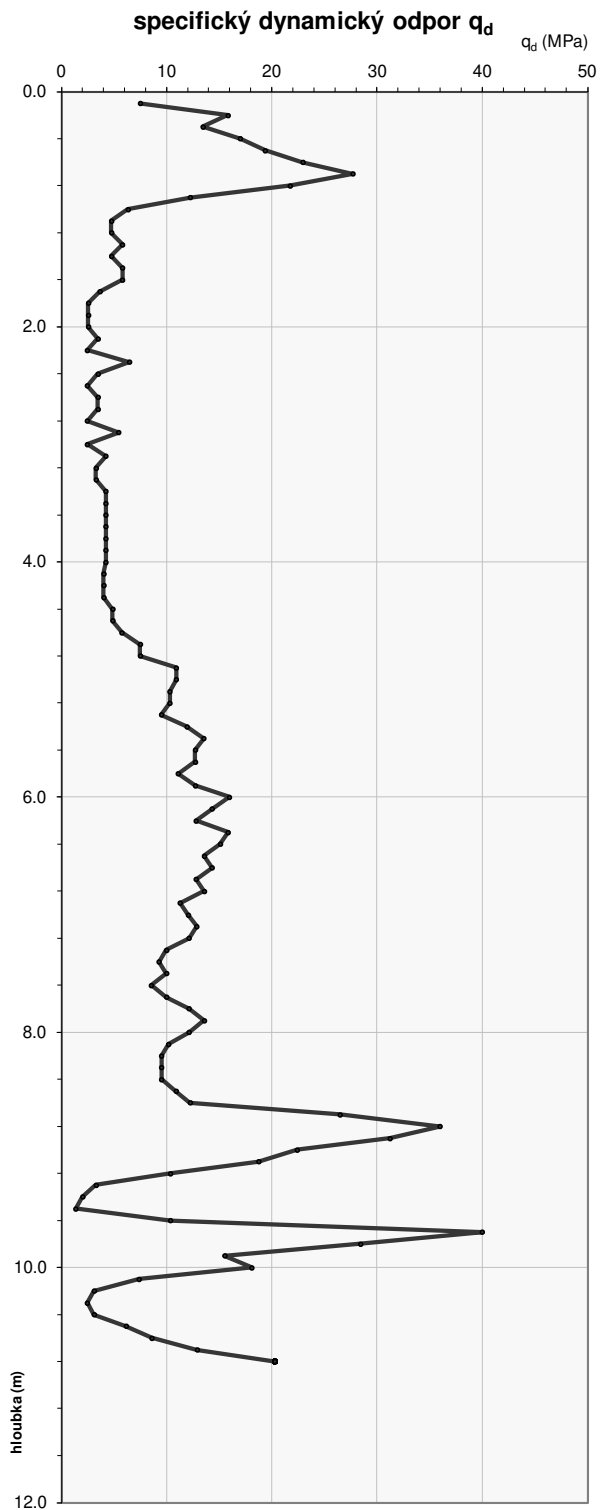
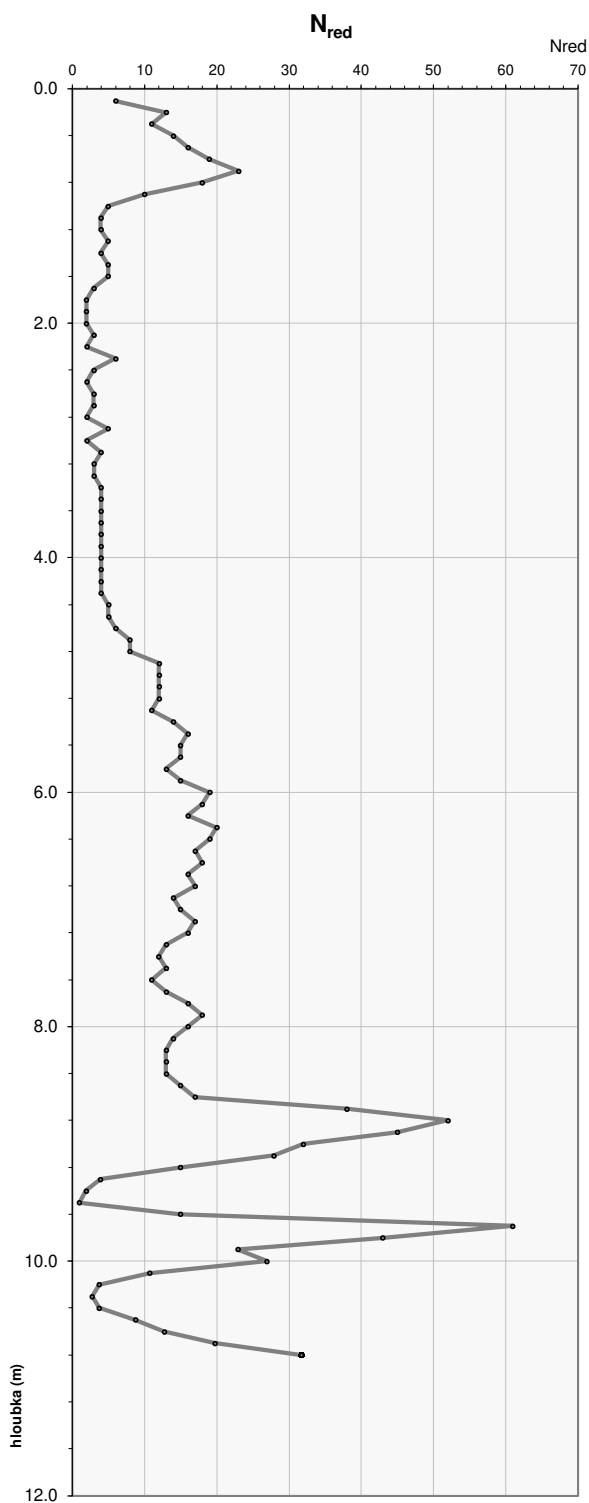
OBR. 1.1

akce : Valašská Polanka - Horní Lideč, IG průzkum
zak.č. : 2022 - 165
lokalizace : X=1170242.85 Y=493257.16 Z=459.67

doplňující informace :

hladina podzemní vody pod terénem 7.30 m

0



KOMENTÁŘ

-

DYNAMICKÁ PENETRACE

akce : Valašská Polanka - Horní Lideč, IG průzkum
zak.č. : 2022 - 165
lokalizace : X=1170253.16 Y=493208.65 Z=466.4

sonda : DP110

TABULKA Č. 1.1

souřadnice :

X = 1 170 253.16
0 Y = 493 208.65
Z = 466.40

doplňující informace :

datum provedení penetrační sondy : 8.8.2022

provedl : Luboš Holub

vyhodnotil : Luboš Holub

hmotnost beranu (kg) 50.00

výška pádu beranu 0.50 m

hladina podzemní vody pod terénem <nezastižena> m
kužel (hrot) na ztraceno

hloubka (m)	N _x	N _{xred}	q _d (MPa)	hloubka (m)	N _x	N _{xred}	q _d (MPa)	hloubka (m)	N _x	N _{xred}	q _d (MPa)	hloubka (m)	N _x	N _{xred}	q _d (MPa)	hloubka (m)	N _x	N _{xred}	q _d (MPa)
0.1	2	2.0	2.8	3.2	9	8.9	8.8	6.3	13	12.9	10.5								
0.2	2	2.0	2.8	3.3	7	6.9	7.0	6.4	12	11.9	9.7								
0.3	5	5.0	6.4	3.4	6	5.9	6.0	6.5	14	13.9	11.2								
0.4	5	5.0	6.4	3.5	8	7.9	7.9	6.6	14	13.9	11.2								
0.5	3	3.0	4.0	3.6	8	7.9	7.9	6.7	15	14.9	12.0								
0.6	3	3.0	4.0	3.7	9	8.9	8.8	6.8	18	17.9	14.3								
0.7	3	3.0	4.0	3.8	13	12.9	12.5	6.9	20	19.9	15.8								
0.8	3	3.0	4.0	3.9	12	11.9	11.6	7.0	20	19.9	15.8								
0.9	3	3.0	4.0	4.0	13	12.9	12.5	7.1	20	19.9	15.0								
1.0	3	3.0	4.0	4.1	11	10.9	10.0	7.2	20	19.9	15.0								
1.1	3	3.0	3.7	4.2	8	7.9	7.4	7.3	18	17.9	13.5								
1.2	2	2.0	2.6	4.3	11	10.9	10.0	7.4	20	19.9	15.0								
1.3	3	3.0	3.7	4.4	10	9.9	9.1	7.5	20	19.9	15.0								
1.4	2	2.0	2.6	4.5	10	9.9	9.1	7.6	20	19.9	15.0								
1.5	3	3.0	3.7	4.6	9	8.9	8.3	7.7	20	19.9	15.0								
1.6	3	3.0	3.7	4.7	8	7.9	7.4	7.8	18	17.9	13.5								
1.7	5	5.0	5.9	4.8	10	9.9	9.1	7.9	20	19.9	15.0								
1.8	4	4.0	4.8	4.9	8	7.9	7.4	8.0	46	45.9	33.6								
1.9	6	6.0	7.0	5.0	9	8.9	8.3	8.1	39	38.9	27.1								
2.0	7	7.0	8.0	5.1	8	7.9	7.0	8.2	45	44.9	31.2								
2.1	9	9.0	9.5	5.2	8	7.9	7.0	8.3	43	42.9	29.8								
2.2	10	10.0	10.5	5.3	7	6.9	6.2	8.4	42	41.9	29.1								
2.3	9	9.0	9.5	5.4	7	6.9	6.2	8.5	56	55.9	38.6								
2.4	9	9.0	9.5	5.5	6	5.9	5.4	8.6	60	59.9	41.4								
2.5	15	15.0	15.5	5.6	6	5.9	5.4	8.7	80	79.9	54.9								
2.6	18	18.0	18.5	5.7	6	5.9	5.4												
2.7	18	18.0	18.5	5.8	8	7.9	7.0												
2.8	15	15.0	15.5	5.9	8	7.9	7.0												
2.9	13	13.0	13.5	6.0	8	7.9	7.0												
3.0	12	12.0	12.5	6.1	11	10.9	9.0												
3.1	14	13.9	13.4	6.2	12	11.9	9.7												

DYNAMICKÁ PENETRACE

(počet redukovaných úderů N_{red} ; specifický dynamický odpor q_d)

sonda : DP110

OBR. 1.1

akce : Valašská Polanka - Horní Lideč, IG průzkum

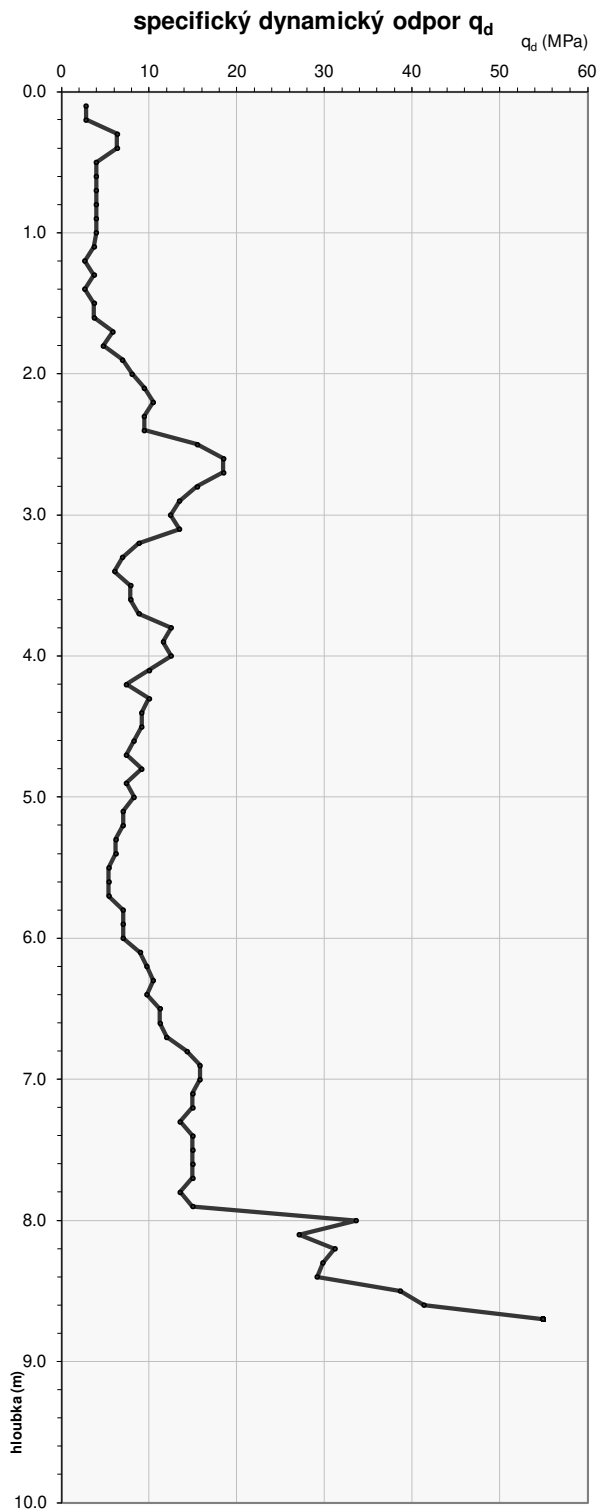
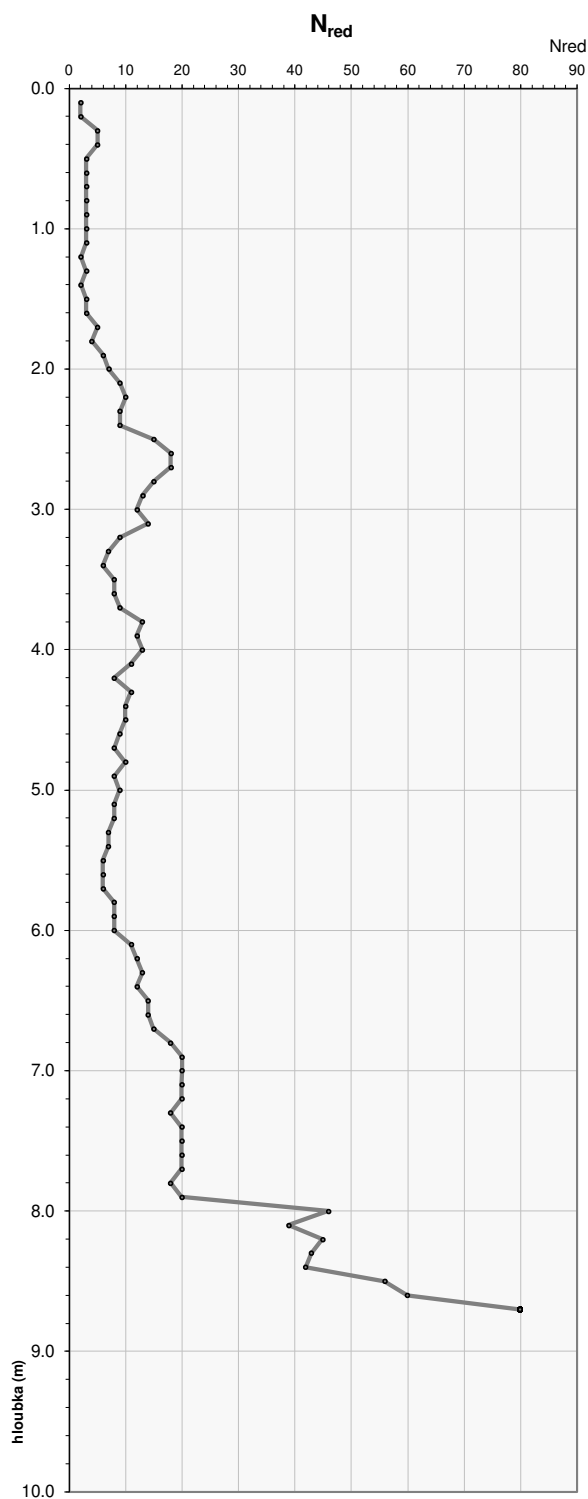
zak.č. : 2022 - 165

lokalizace : X=1170253.16 Y=493208.65 Z=466.4

doplňující informace :

hladina podzemní vody pod terénem <nezastižena> m

0



KOMENTÁŘ

-

DYNAMICKÁ PENETRACE

akce : Valašská Polanka - Horní Lideč, IG průzkum
zak.č. : 2022 - 165
lokalizace : X=1170206.63 Y=493259.48 Z=453.82

sonda : DP111

TABULKA Č. 1.1

doplňující informace :

datum provedení penetrační sondy : 11.8.2022

provedl : Luboš Holub

vyhodnotil : Luboš Holub

hmotnost beranu (kg) 50.00

výška pádu beranu 0.50 m

souřadnice :

X = 1 170 206.63
Y = 493 259.48
Z = 453.82
hladina podzemní vody pod terénem 7.00 m
kužel (hrot) na ztraceno

hloubka (m)	N _x	N _{xred}	q _d (MPa)	hloubka (m)	N _x	N _{xred}	q _d (MPa)	hloubka (m)	N _x	N _{xred}	q _d (MPa)	hloubka (m)	N _x	N _{xred}	q _d (MPa)	hloubka (m)	N _x	N _{xred}	q _d (MPa)
0.1	4	4.0	5.2	3.2	25	24.6	23.4	6.3	22	21.7	17.1								
0.2	2	2.0	2.8	3.3	16	15.6	15.0	6.4	22	21.7	17.1								
0.3	3	3.0	4.0	3.4	16	15.6	15.0	6.5	17	16.7	13.3								
0.4	2	2.0	2.8	3.5	16	15.6	15.0	6.6	18	17.7	14.1								
0.5	5	5.0	6.4	3.6	16	15.6	15.0	6.7	25	24.7	19.4								
0.6	2	2.0	2.8	3.7	12	11.6	11.3	6.8	24	23.7	18.6								
0.7	1	1.0	1.6	3.8	11	10.6	10.4	6.9	20	19.7	15.6								
0.8	1	1.0	1.6	3.9	11	10.6	10.4	7.0	18	17.7	14.1								
0.9	2	2.0	2.8	4.0	10	9.6	9.5	7.1	18	17.6	13.3								
1.0	2	2.0	2.8	4.1	12	11.7	10.6	7.2	12	11.6	9.0								
1.1	3	3.0	3.7	4.2	12	11.7	10.6	7.3	12	11.6	9.0								
1.2	2	2.0	2.6	4.3	14	13.7	12.4	7.4	14	13.6	10.4								
1.3	4	4.0	4.8	4.4	14	13.7	12.4	7.5	18	17.6	13.3								
1.4	2	2.0	2.6	4.5	15	14.7	13.2	7.6	23	22.6	16.9								
1.5	3	3.0	3.7	4.6	15	14.7	13.2	7.7	24	23.6	17.6								
1.6	4	4.0	4.8	4.7	16	15.7	14.1	7.8	35	34.6	25.5								
1.7	3	3.0	3.7	4.8	29	28.7	25.3	7.9	37	36.6	26.9								
1.8	6	6.0	6.9	4.9	20	19.7	17.5	8.0	37	36.6	26.9								
1.9	4	4.0	4.8	5.0	22	21.7	19.3												
2.0	19	19.0	21.1	5.1	24	23.7	19.7												
2.1	46	45.8	46.3	5.2	29	28.7	23.8												
2.2	25	24.8	25.3	5.3	30	29.7	24.6												
2.3	15	14.8	15.3	5.4	31	30.7	25.4												
2.4	15	14.8	15.3	5.5	36	35.7	29.4												
2.5	15	14.8	15.3	5.6	32	31.7	26.2												
2.6	14	13.8	14.3	5.7	29	28.7	23.8												
2.7	14	13.8	14.3	5.8	25	24.7	20.6												
2.8	15	14.8	15.3	5.9	23	22.7	18.9												
2.9	19	18.8	19.3	6.0	21	20.7	17.3												
3.0	19	18.8	19.3	6.1	21	20.7	16.4												
3.1	22	21.6	20.6	6.2	21	20.7	16.4												

DYNAMICKÁ PENETRACE

(počet redukovaných úderů N_{red} ; specifický dynamický odpor q_d)

sonda : DP111

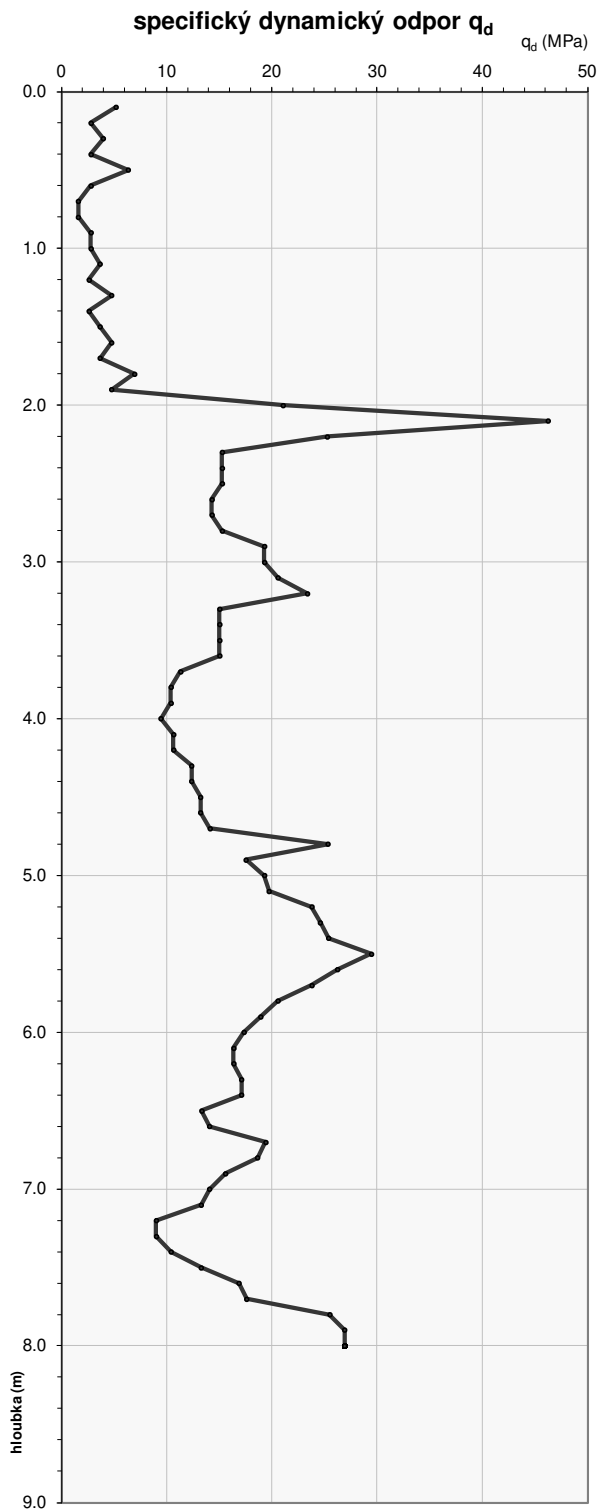
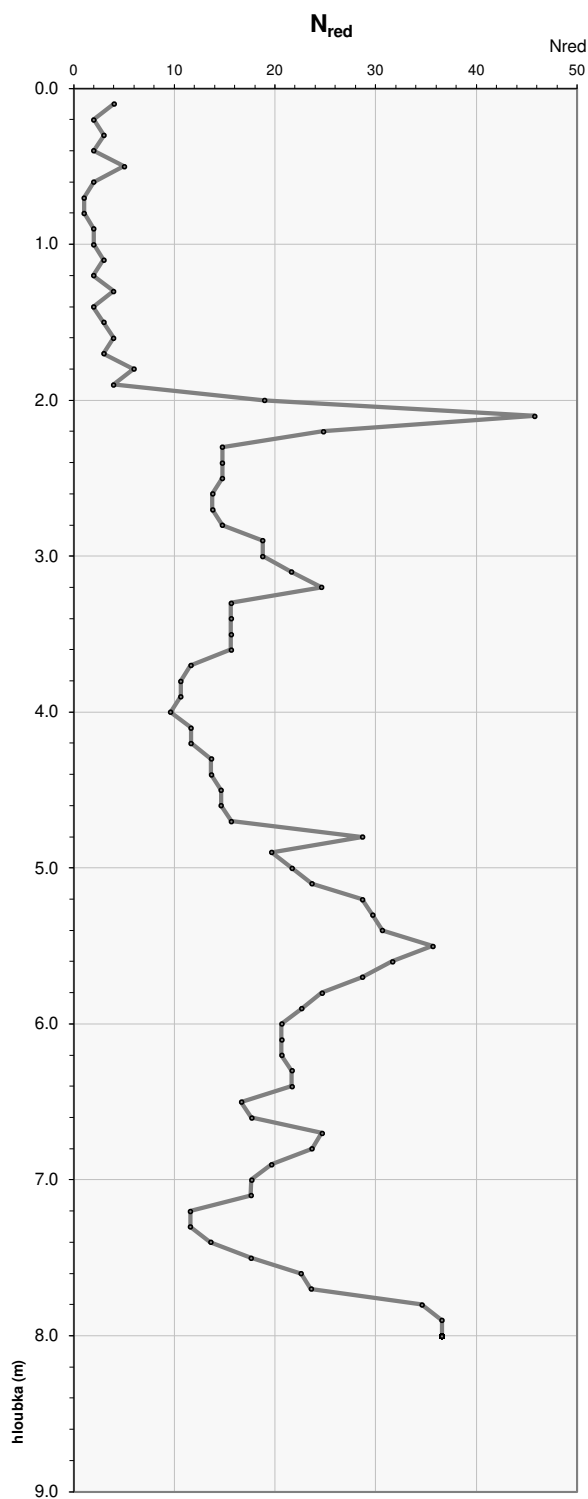
OBR. 1.1

akce : Valašská Polanka - Horní Lideč, IG průzkum
zak.č. : 2022 - 165
lokalizace : X=1170206.63 Y=493259.48 Z=453.82

doplňující informace :

hladina podzemní vody pod terénem 7.00 m

0



KOMENTÁŘ

-

DYNAMICKÁ PENETRACE

akce : Valašská Polanka - Horní Lideč, IG průzkum
zak.č. : 2022 - 165
lokalizace : X=1170217.77 Y=493235.42 Z=459.73

sonda : DP113

TABULKA Č. 1.1

doplňující informace :

datum provedení penetrační sondy : 8.8.2022

provedl : Luboš Holub

vyhodnotil : Luboš Holub

hmotnost beranu (kg) 50.00

výška pádu beranu 0.50 m

souřadnice :

X = 1 170 217.77

0 Y = 493 235.42

Z = 459.73

hladina podzemní vody pod terénem <nezastižena> m

kužel (hrot) na ztraceno

hloubka (m)	N _x	N _{xred}	q _d (MPa)	hloubka (m)	N _x	N _{xred}	q _d (MPa)	hloubka (m)	N _x	N _{xred}	q _d (MPa)	hloubka (m)	N _x	N _{xred}	q _d (MPa)	hloubka (m)	N _x	N _{xred}	q _d (MPa)
0.1	2	2.0	2.8	3.2	77	76.9	71.8												
0.2	2	2.0	2.8	3.3	100	99.9	93.2												
0.3	4	4.0	5.2																
0.4	4	4.0	5.2																
0.5	4	4.0	5.2																
0.6	4	4.0	5.2																
0.7	5	5.0	6.4																
0.8	5	5.0	6.4																
0.9	5	5.0	6.4																
1.0	5	5.0	6.4																
1.1	4	3.9	4.7																
1.2	3	2.9	3.6																
1.3	3	2.9	3.6																
1.4	5	4.9	5.8																
1.5	5	4.9	5.8																
1.6	10	9.9	11.2																
1.7	36	35.9	39.4																
1.8	12	11.9	13.4																
1.9	9	8.9	10.1																
2.0	4	3.9	4.7																
2.1	4	3.8	4.3																
2.2	5	4.8	5.3																
2.3	4	3.8	4.3																
2.4	8	7.8	8.3																
2.5	19	18.8	19.3																
2.6	12	11.8	12.3																
2.7	18	17.8	18.3																
2.8	17	16.8	17.3																
2.9	26	25.8	26.3																
3.0	25	24.8	25.3																
3.1	48	47.9	45.0																

DYNAMICKÁ PENETRACE

(počet redukovaných úderů N_{red} ; specifický dynamický odpor q_d)

sonda : DP113

OBR. 1.1

akce : Valašská Polanka - Horní Lideč, IG průzkum

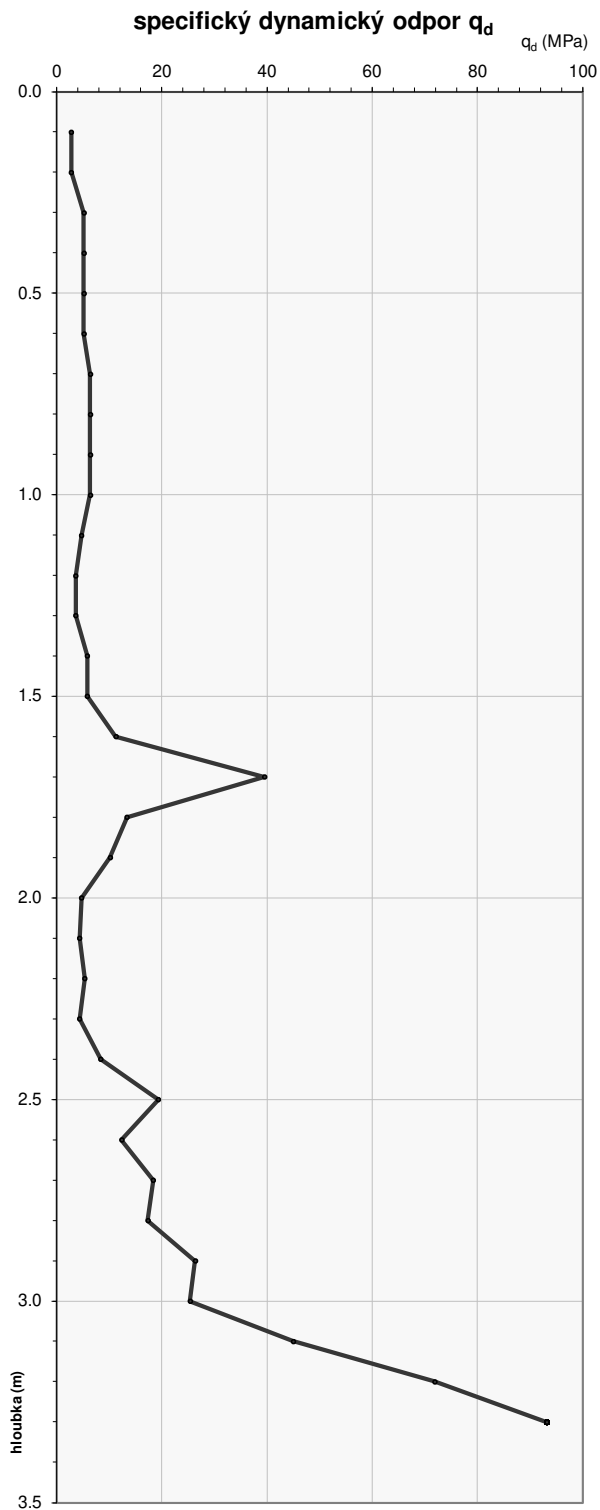
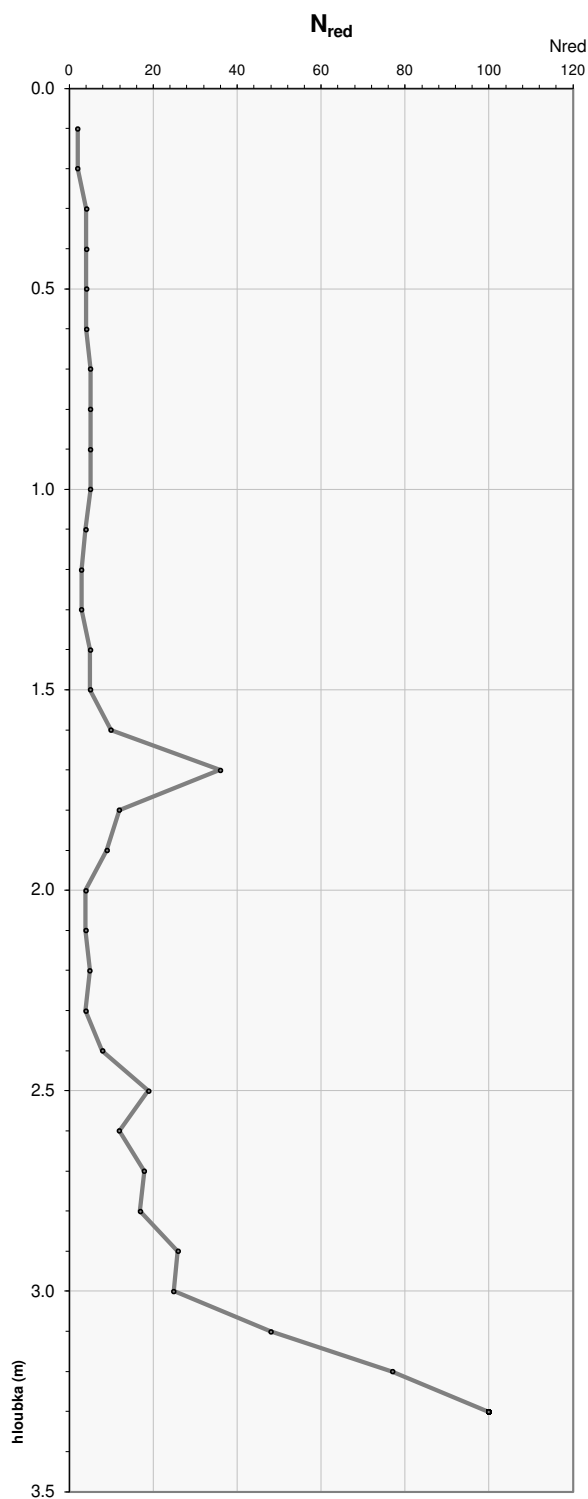
zak.č. : 2022 - 165

lokalizace : X=1170217.77 Y=493235.42 Z=459.73

doplňující informace :

hladina podzemní vody pod terénem <nezastižena> m

0



KOMENTÁŘ

-

DYNAMICKÁ PENETRACE

akce : Valašská Polanka - Horní Lideč, IG průzkum
zak.č. : 2022 - 165
lokalizace : X=1170217.77 Y=493235.42 Z=459.73

sonda : DP113a

TABULKA Č. 1.1

souřadnice :

X = 1 170 217.77
0 Y = 493 235.42
Z = 459.73

doplňující informace :

datum provedení penetrační sondy : 8.8.2022

provedl : Luboš Holub

vyhodnotil : Luboš Holub

hmotnost beranu (kg) 50.00

výška pádu beranu 0.50 m

hladina podzemní vody pod terénem <nezastižena> m
kužel (hrot) na ztraceno

hloubka (m)	N _x	N _{xred}	q _d (MPa)	hloubka (m)	N _x	N _{xred}	q _d (MPa)	hloubka (m)	N _x	N _{xred}	q _d (MPa)	hloubka (m)	N _x	N _{xred}	q _d (MPa)	hloubka (m)	N _x	N _{xred}	q _d (MPa)
0.1	3	3.0	4.0	3.2	36	35.8	33.8												
0.2	2	2.0	2.8	3.3	47	46.8	43.9												
0.3	3	3.0	4.0	3.4	54	53.8	50.4												
0.4	3	3.0	4.0	3.5	42	41.8	39.3												
0.5	3	3.0	4.0	3.6	22	21.8	20.8												
0.6	4	4.0	5.2	3.7	15	14.8	14.3												
0.7	4	4.0	5.2	3.8	80	79.8	74.5												
0.8	4	4.0	5.2	3.9	100	99.8	93.1												
0.9	6	6.0	7.5																
1.0	6	6.0	7.5																
1.1	7	7.0	8.0																
1.2	3	3.0	3.7																
1.3	2	2.0	2.6																
1.4	3	3.0	3.7																
1.5	4	4.0	4.8																
1.6	3	3.0	3.7																
1.7	3	3.0	3.7																
1.8	2	2.0	2.6																
1.9	4	4.0	4.8																
2.0	6	6.0	7.0																
2.1	5	4.9	5.4																
2.2	7	6.9	7.4																
2.3	5	4.9	5.4																
2.4	4	3.9	4.4																
2.5	5	4.9	5.4																
2.6	11	10.9	11.4																
2.7	16	15.9	16.4																
2.8	17	16.9	17.4																
2.9	17	16.9	17.4																
3.0	22	21.9	22.4																
3.1	25	24.8	23.6																

DYNAMICKÁ PENETRACE

(počet redukovaných úderů N_{red} ; specifický dynamický odpor q_d)

sonda : DP113a

OBR. 1.1

akce : Valašská Polanka - Horní Lideč, IG průzkum

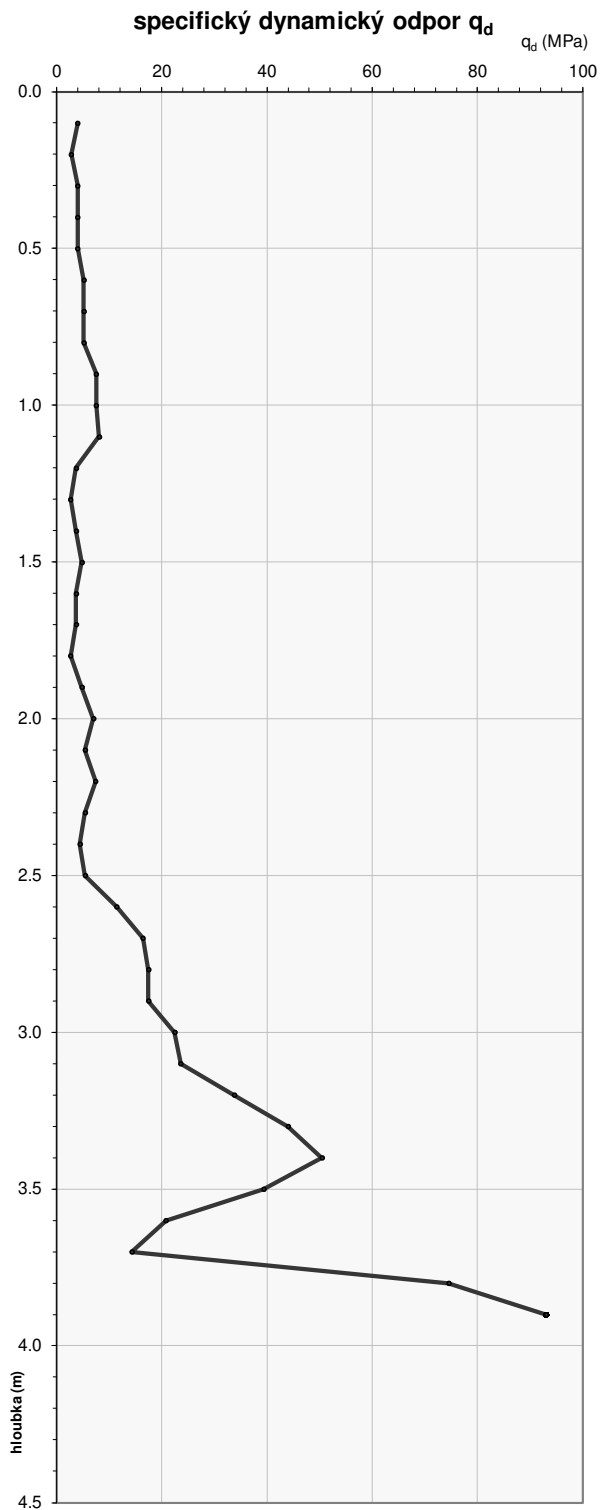
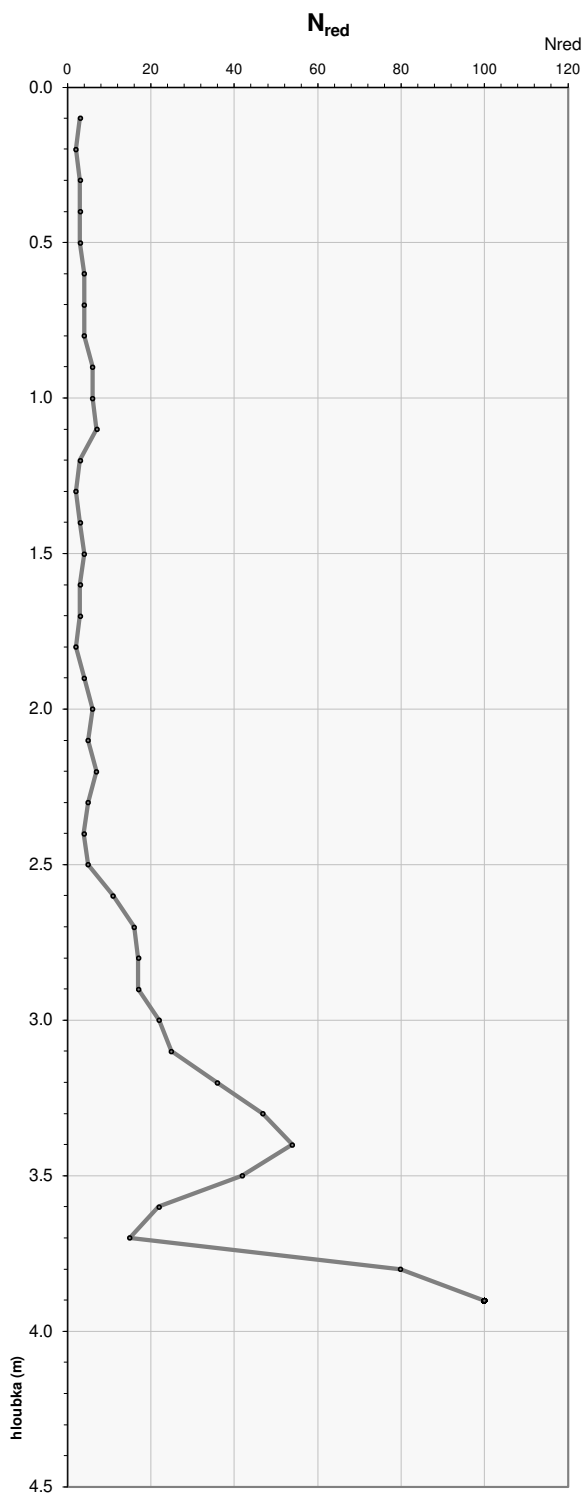
zak.č. : 2022 - 165

lokalizace : X=1170217.77 Y=493235.42 Z=459.73

doplňující informace :

hladina podzemní vody pod terénem <nezastižena> m

0



KOMENTÁŘ

-

akce : Valašská Polanka - Horní Lideč, IG průzkum
zak.č. : 2022 - 165
lokalizace : X=1170224.58 Y=493199.41 Z=466.39

TABULKA Č. 1.1

0	X =	1 170 224.58
	Y =	493 199.41
	Z =	466.39

hladina podzemní vody pod terénem <nezastižena> m
kužel (hrot) na ztraceno

hmotnost beranu (kg)

50.00

[illegible]

DYNAMICKÁ PENETRACE

(počet redukovaných úderů N_{red} ; specifický dynamický odpor q_d)

sonda : DP114

OBR. 1.1

akce : Valašská Polanka - Horní Lideč, IG průzkum

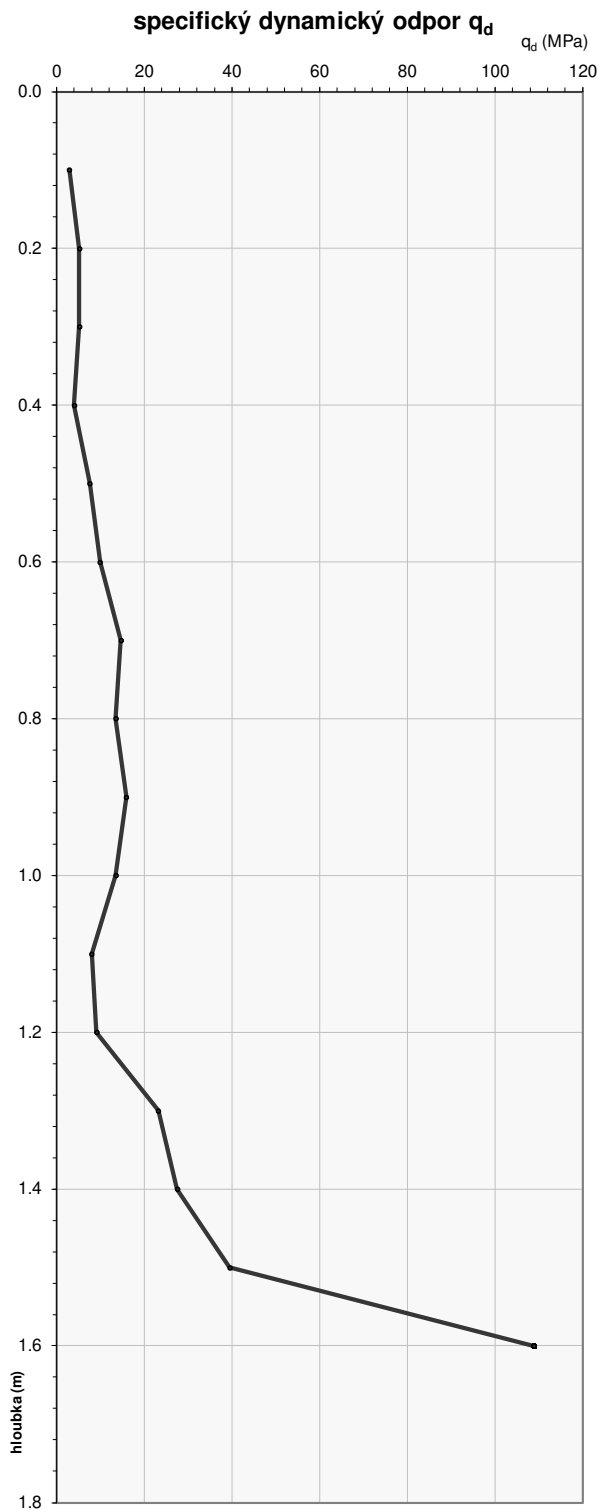
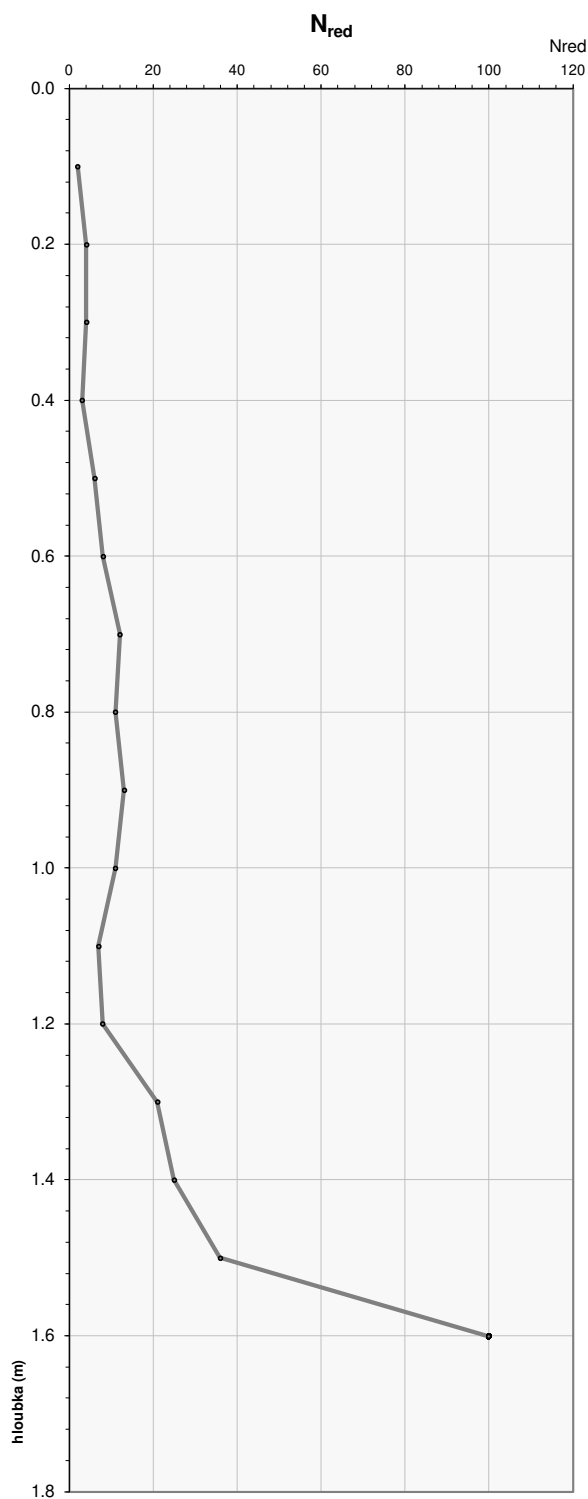
zak.č. : 2022 - 165

lokalizace : X=1170224.58 Y=493199.41 Z=466.39

doplňující informace :

hladina podzemní vody pod terénem <nezastižena> m

0



KOMENTÁŘ

-

akce : Valašská Polanka - Horní Lideč, IG průzkum
zak.č. : 2022 - 165
lokalizace : X=1170224.58 Y=493199.41 Z=466.39

TABULKA Č. 1.1

0	X =	1 170 224.58
	Y =	493 199.41
	Z =	466.39

doplňující informace :
 datum provedení penetrační sondy : 8.8.2022
 provedl : Bc. Eduard Žáček
 vyhodnotil : Luboš Holub
 hmotnost beranu (kg) 50.00 výška pádu (m) 1.50

GeoTec-GS, a.s.

DYNAMICKÁ PENETRACE

(počet redukovaných úderů N_{red} ; specifický dynamický odpor q_d)

sonda : DP114a

OBR. 1.1

akce : Valašská Polanka - Horní Lideč, IG průzkum

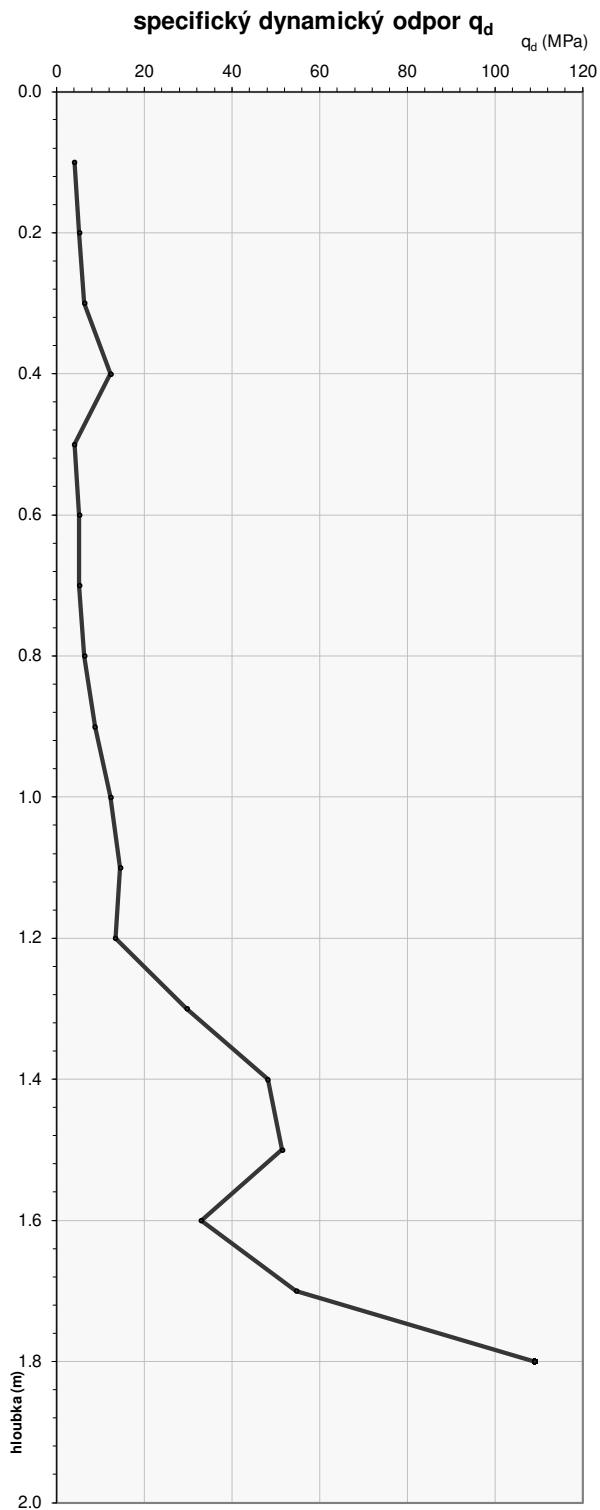
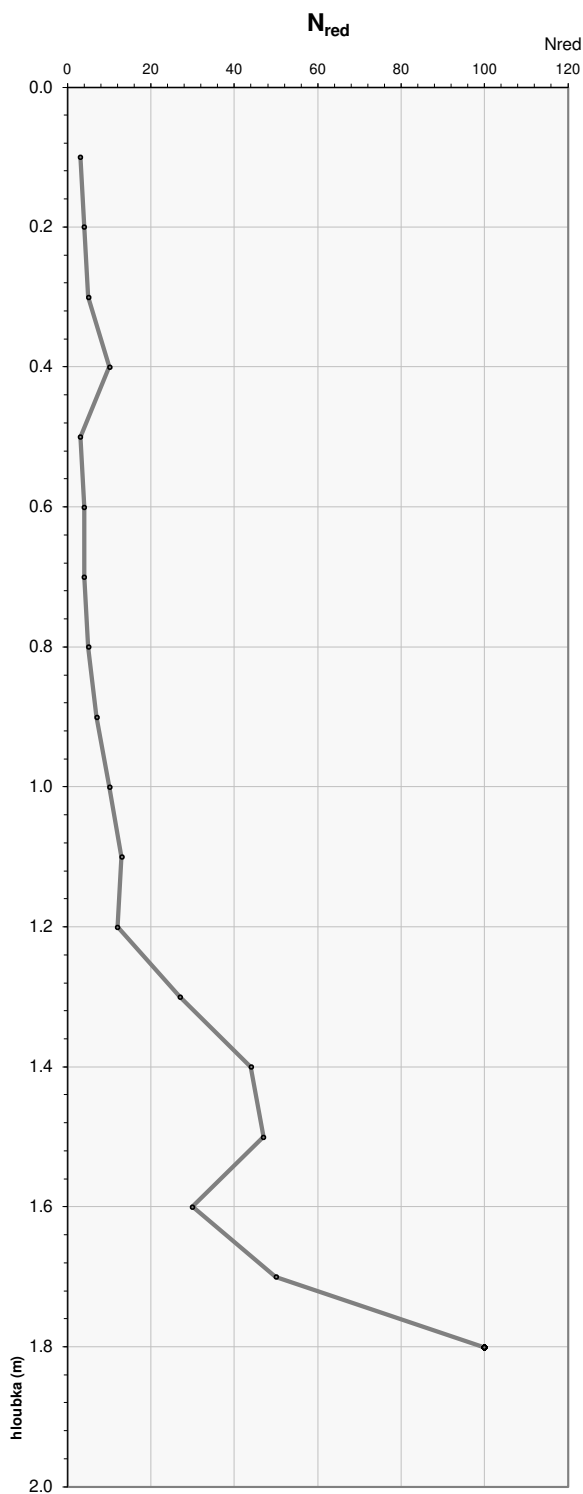
zak.č. : 2022 - 165

lokalizace : X=1170224.58 Y=493199.41 Z=466.39

doplňující informace :

hladina podzemní vody pod terénem <nezastižena> m

0



KOMENTÁŘ

-

DYNAMICKÁ PENETRACE

akce : Valašská Polanka - Horní Lideč, IG průzkum
zak.č. : 2022 - 165
lokalizace : X=1170186.33 Y=493252.95 Z=453.88

sonda : DP115

TABULKA Č. 1.1

doplňující informace :

datum provedení penetrační sondy : 11.8.2022

provedl : Luboš Holub

vyhodnotil : Luboš Holub

hmotnost beranu (kg) 50.00

výška pádu beranu 0.50 m

souřadnice :

X = 1 170 186.33
Y = 493 252.95
Z = 453.88

hladina podzemní vody pod terénem <nezastižena> m

kužel (hrot) na ztraceno

hloubka (m)	N _x	N _{xred}	q _d (MPa)	hloubka (m)	N _x	N _{xred}	q _d (MPa)	hloubka (m)	N _x	N _{xred}	q _d (MPa)	hloubka (m)	N _x	N _{xred}	q _d (MPa)	hloubka (m)	N _x	N _{xred}	q _d (MPa)
0.1	1	1.0	1.6	3.2	5	5.0	5.1	6.3	15	14.9	12.0								
0.2	1	1.0	1.6	3.3	6	6.0	6.1	6.4	15	14.9	12.0								
0.3	0	0.0	0.4	3.4	6	6.0	6.1	6.5	15	14.9	12.0								
0.4	1	1.0	1.6	3.5	7	7.0	7.0	6.6	16	15.9	12.8								
0.5	1	1.0	1.6	3.6	8	8.0	7.9	6.7	16	15.9	12.8								
0.6	1	1.0	1.6	3.7	9	9.0	8.8	6.8	17	16.9	13.5								
0.7	1	1.0	1.6	3.8	9	9.0	8.8	6.9	18	17.9	14.3								
0.8	1	1.0	1.6	3.9	9	9.0	8.8	7.0	23	22.9	18.1								
0.9	3	3.0	4.0	4.0	9	9.0	8.8	7.1	23	23.0	17.2								
1.0	2	2.0	2.8	4.1	8	8.0	7.4	7.2	20	20.0	15.0								
1.1	2	2.0	2.6	4.2	8	8.0	7.4	7.3	21	21.0	15.7								
1.2	3	3.0	3.7	4.3	11	11.0	10.0	7.4	33	33.0	24.3								
1.3	3	3.0	3.7	4.4	15	15.0	13.5	7.5	40	40.0	29.4								
1.4	4	4.0	4.8	4.5	22	22.0	19.5	7.6	100	100.0	72.4								
1.5	4	4.0	4.8	4.6	19	19.0	16.9												
1.6	5	5.0	5.9	4.7	19	19.0	16.9												
1.7	5	5.0	5.9	4.8	16	16.0	14.4												
1.8	4	4.0	4.8	4.9	16	16.0	14.4												
1.9	5	5.0	5.9	5.0	18	18.0	16.1												
2.0	5	5.0	5.9	5.1	19	18.9	15.9												
2.1	21	21.0	21.5	5.2	21	20.9	17.6												
2.2	8	8.0	8.5	5.3	22	21.9	18.4												
2.3	7	7.0	7.5	5.4	21	20.9	17.6												
2.4	5	5.0	5.5	5.5	23	22.9	19.2												
2.5	4	4.0	4.5	5.6	26	25.9	21.6												
2.6	3	3.0	3.5	5.7	22	21.9	18.4												
2.7	4	4.0	4.5	5.8	21	20.9	17.6												
2.8	4	4.0	4.5	5.9	20	19.9	16.7												
2.9	4	4.0	4.5	6.0	22	21.9	18.4												
3.0	4	4.0	4.5	6.1	12	11.9	9.7												
3.1	4	4.0	4.2	6.2	17	16.9	13.5												

DYNAMICKÁ PENETRACE

(počet redukovaných úderů N_{red} ; specifický dynamický odpor q_d)

sonda : DP115

OBR. 1.1

akce : Valašská Polanka - Horní Lideč, IG průzkum

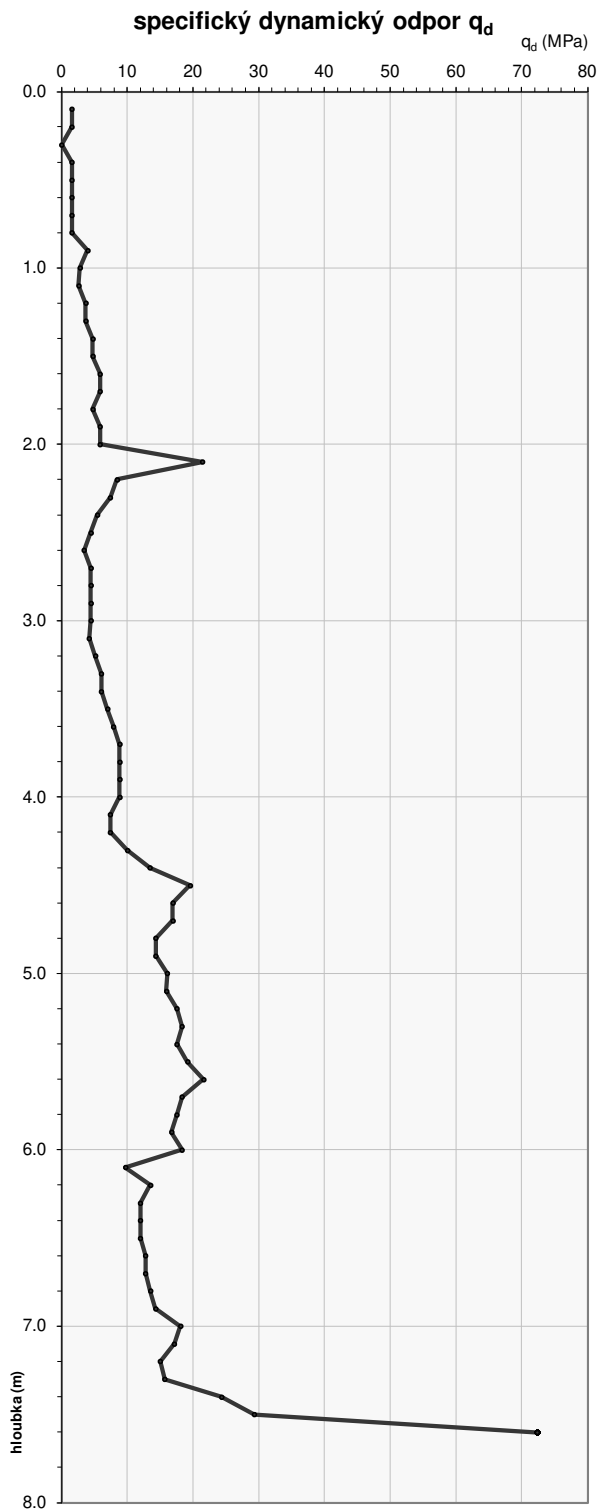
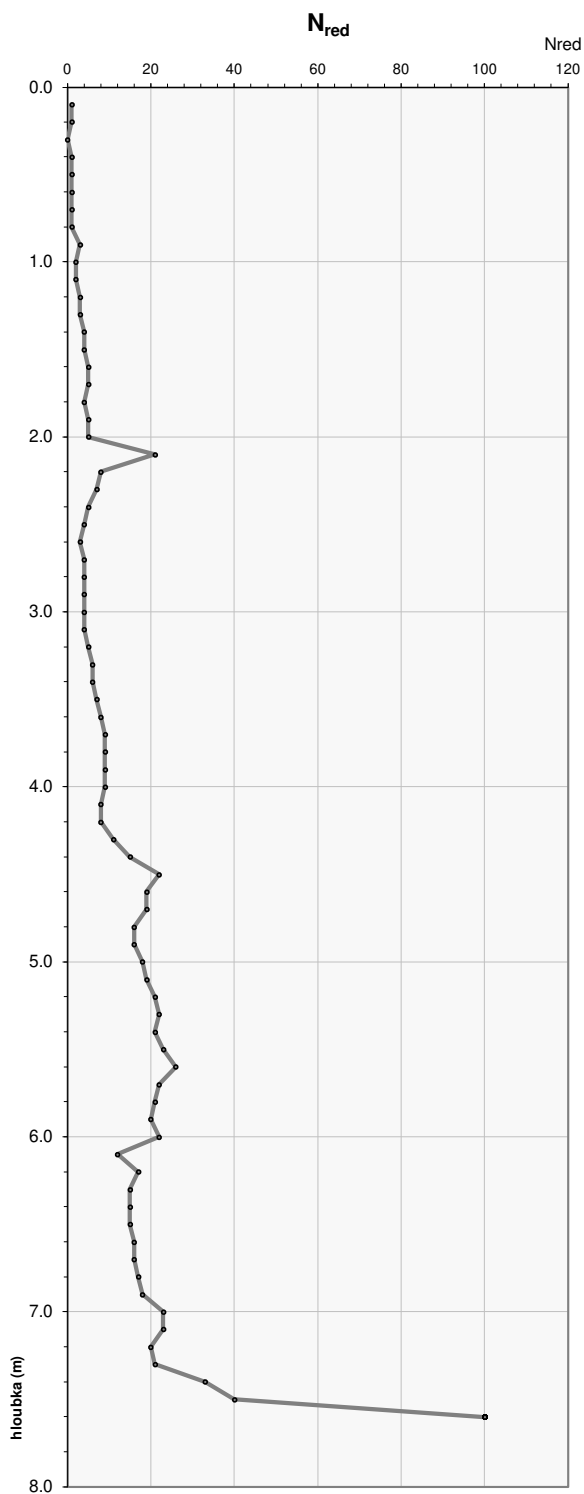
zak.č. : 2022 - 165

lokalizace : X=1170186.33 Y=493252.95 Z=453.88

doplňující informace :

hladina podzemní vody pod terénem <nezastižena> m

0



KOMENTÁŘ

-

DYNAMICKÁ PENETRACE

akce : Valašská Polanka - Horní Lideč, IG průzkum
zak.č. : 2022 - 165
lokalizace : X=1170198.03 Y=493198.74 Z=465.03

sonda : DP117

TABULKA Č. 1.1

doplňující informace :

datum provedení penetrační sondy : 8.8.2022

provedl : 0

vyhodnotil : Luboš Holub

hmotnost beranu (kg) 50.00

výška pádu beranu 0.50 m

souřadnice :

X = 1 170 198.03
0 Y = 493 198.74
Z = 465.03

hladina podzemní vody pod terénem <nezastižena> m
kužel (hrot) na ztraceno

hloubka (m)	N _x	N _{xred}	q _d (MPa)	hloubka (m)	N _x	N _{xred}	q _d (MPa)	hloubka (m)	N _x	N _{xred}	q _d (MPa)	hloubka (m)	N _x	N _{xred}	q _d (MPa)	hloubka (m)	N _x	N _{xred}	q _d (MPa)
0.1	2	2.0	2.8	3.2	20	19.9	18.9	6.3	44	43.8	34.0	9.4	26	25.8	17.4				
0.2	3	3.0	4.0	3.3	21	20.9	19.9	6.4	46	45.8	35.5	9.5	28	27.8	18.6				
0.3	7	7.0	8.7	3.4	20	19.9	18.9	6.5	76	75.8	58.3	9.6	30	29.8	19.9				
0.4	8	8.0	9.9	3.5	21	20.9	19.9	6.6	36	35.8	27.9	9.7	28	27.8	18.6				
0.5	8	8.0	9.9	3.6	23	22.9	21.7	6.7	35	34.8	27.1	9.8	28	27.8	18.6				
0.6	6	6.0	7.5	3.7	23	22.9	21.7	6.8	35	34.8	27.1								
0.7	12	12.0	14.7	3.8	23	22.9	21.7	6.9	21	20.8	16.5								
0.8	11	11.0	13.5	3.9	27	26.9	25.4	7.0	30	29.8	23.3								
0.9	9	9.0	11.1	4.0	25	24.9	23.6	7.1	40	39.8	29.2								
1.0	6	6.0	7.5	4.1	29	28.8	25.5	7.2	38	37.8	27.8								
1.1	6	5.9	6.9	4.2	28	27.8	24.6	7.3	34	33.8	24.9								
1.2	6	5.9	6.9	4.3	30	29.8	26.4	7.4	30	29.8	22.0								
1.3	8	7.9	9.0	4.4	28	27.8	24.6	7.5	28	27.8	20.6								
1.4	10	9.9	11.2	4.5	29	28.8	25.5	7.6	28	27.8	20.6								
1.5	10	9.9	11.2	4.6	26	25.8	22.9	7.7	26	25.8	19.2								
1.6	10	9.9	11.2	4.7	24	23.8	21.2	7.8	28	27.8	20.6								
1.7	9	8.9	10.1	4.8	29	28.8	25.5	7.9	22	21.8	16.3								
1.8	7	6.9	7.9	4.9	23	22.8	20.3	8.0	24	23.8	17.7								
1.9	8	7.9	9.0	5.0	26	25.8	22.9	8.1	35	34.8	24.3								
2.0	8	7.9	9.0	5.1	36	35.8	29.6	8.2	34	33.8	23.6								
2.1	10	9.8	10.3	5.2	33	32.8	27.2	8.3	35	34.8	24.3								
2.2	11	10.8	11.3	5.3	30	29.8	24.7	8.4	28	27.8	19.6								
2.3	12	11.8	12.3	5.4	50	49.8	40.9	8.5	29	28.8	20.2								
2.4	11	10.8	11.3	5.5	50	49.8	40.9	8.6	28	27.8	19.6								
2.5	10	9.8	10.3	5.6	52	51.8	42.5	8.7	35	34.8	24.3								
2.6	14	13.8	14.3	5.7	38	37.8	31.2	8.8	34	33.8	23.6								
2.7	13	12.8	13.3	5.8	80	79.8	65.2	8.9	34	33.8	23.6								
2.8	17	16.8	17.3	5.9	78	77.8	63.5	9.0	39	38.8	27.0								
2.9	20	19.8	20.3	6.0	60	59.8	49.0	9.1	40	39.8	26.4								
3.0	17	16.8	17.3	6.1	60	59.8	46.1	9.2	38	37.8	25.1								
3.1	18	17.9	17.1	6.2	50	49.8	38.5	9.3	34	33.8	22.5								

DYNAMICKÁ PENETRACE

(počet redukovaných úderů N_{red} ; specifický dynamický odpor q_d)

sonda : DP117

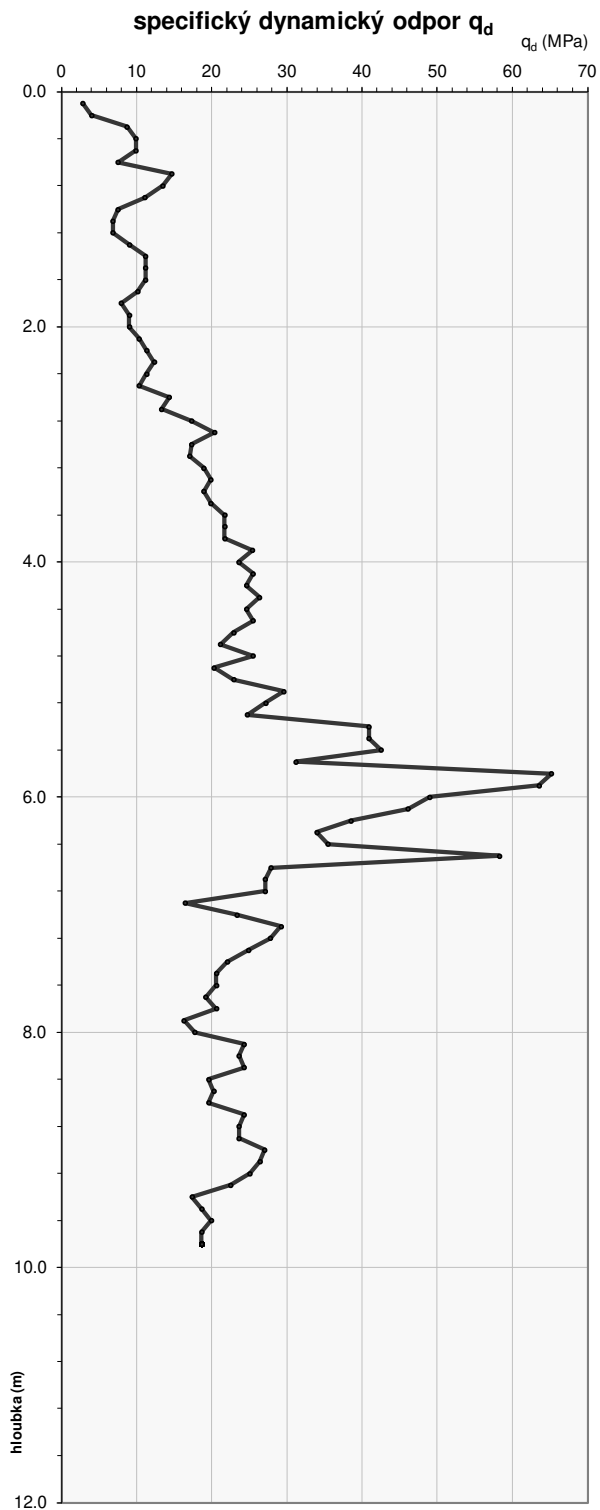
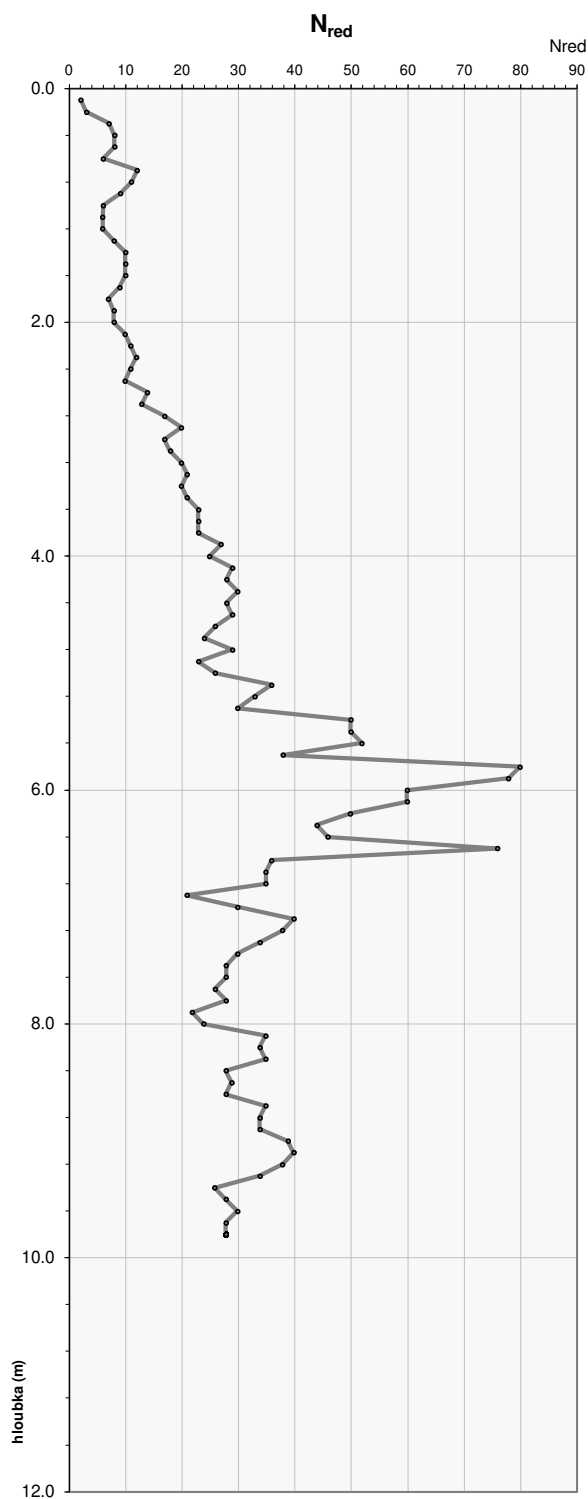
OBR. 1.1

akce : Valašská Polanka - Horní Lideč, IG průzkum
zak.č. : 2022 - 165
lokalizace : X=1170198.03 Y=493198.74 Z=465.03

doplňující informace :

hladina podzemní vody pod terénem <nezastižena> m

0



KOMENTÁŘ

-

DYNAMICKÁ PENETRACE

akce : Valašská Polanka - Horní Lideč, IG průzkum
zak.č. : 2022 - 165
lokalizace : X=1170163.68 Y=493246.38 Z=454.28

sonda : DP119

TABULKA Č. 1.1

souřadnice :

X = 1 170 163.68
0 Y = 493 246.38
Z = 454.28

doplňující informace :

datum provedení penetrační sondy : 12.8.2022

provedl : Luboš Holub

vyhodnotil : Luboš Holub

hmotnost beranu (kg) 30.00

výška pádu beranu 0.50 m

hladina podzemní vody pod terénem <nezastižena> m
kužel (hrot) na ztraceno

hloubka (m)	N _x	N _{xred}	q _d (MPa)	hloubka (m)	N _x	N _{xred}	q _d (MPa)	hloubka (m)	N _x	N _{xred}	q _d (MPa)	hloubka (m)	N _x	N _{xred}	q _d (MPa)	hloubka (m)	N _x	N _{xred}	q _d (MPa)
0.1	0	0.0	0.3	3.2	5	5.0	2.6	6.3	25	24.9	9.0	9.4	64	63.8	18.3				
0.2	1	1.0	0.9	3.3	3	3.0	1.7	6.4	25	24.9	9.0	9.5	35	34.8	10.3				
0.3	1	1.0	0.9	3.4	7	7.0	3.4	6.5	28	27.9	10.0	9.6	38	37.8	11.1				
0.4	2	2.0	1.5	3.5	6	6.0	3.0	6.6	31	30.9	11.0	9.7	61	60.8	17.5				
0.5	2	2.0	1.5	3.6	4	4.0	2.1	6.7	45	44.9	15.8	9.8	60	59.8	17.2				
0.6	2	2.0	1.5	3.7	5	5.0	2.6	6.8	61	60.9	21.2	9.9	32	31.8	9.5				
0.7	1	1.0	0.9	3.8	3	3.0	1.7	6.9	86	85.9	29.7	10.0	33	32.8	9.7				
0.8	2	2.0	1.5	3.9	7	7.0	3.4	7.0	63	62.9	21.9	10.1	54	53.9	14.8				
0.9	2	2.0	1.5	4.0	6	6.0	3.0	7.1	44	43.9	14.4	10.2	42	41.9	11.6				
1.0	2	2.0	1.5	4.1	4	3.9	2.0	7.2	34	33.9	11.3	10.3	44	43.9	12.2				
1.1	4	4.0	2.5	4.2	4	3.9	2.0	7.3	24	23.9	8.1	10.4	66	65.9	17.9				
1.2	2	2.0	1.4	4.3	4	3.9	2.0	7.4	19	18.9	6.5	10.5	38	37.9	10.6				
1.3	2	2.0	1.4	4.4	4	3.9	2.0	7.5	13	12.9	4.6	10.6	46	45.9	12.7				
1.4	1	1.0	0.9	4.5	4	3.9	2.0	7.6	16	15.9	5.6	10.7	44	43.9	12.2				
1.5	5	5.0	3.0	4.6	6	5.9	2.8	7.7	15	14.9	5.3	10.8	37	36.9	10.3				
1.6	5	5.0	3.0	4.7	8	7.9	3.6	7.8	11	10.9	4.0								
1.7	5	5.0	3.0	4.8	9	8.9	4.0	7.9	13	12.9	4.6								
1.8	3	3.0	1.9	4.9	12	11.9	5.2	8.0	16	15.9	5.6								
1.9	3	3.0	1.9	5.0	14	13.9	6.0	8.1	24	23.9	7.7								
2.0	3	3.0	1.9	5.1	22	21.9	8.5	8.2	26	25.9	8.3								
2.1	3	3.0	1.8	5.2	22	21.9	8.5	8.3	28	27.9	8.8								
2.2	4	4.0	2.3	5.3	26	25.9	10.0	8.4	37	36.9	11.5								
2.3	4	4.0	2.3	5.4	30	29.9	11.4	8.5	33	32.9	10.3								
2.4	5	5.0	2.8	5.5	30	29.9	11.4	8.6	34	33.9	10.6								
2.5	4	4.0	2.3	5.6	24	23.9	9.2	8.7	29	28.9	9.1								
2.6	5	5.0	2.8	5.7	26	25.9	10.0	8.8	26	25.9	8.3								
2.7	3	3.0	1.8	5.8	24	23.9	9.2	8.9	28	27.9	8.8								
2.8	2	2.0	1.3	5.9	20	19.9	7.8	9.0	26	25.9	8.3								
2.9	4	4.0	2.3	6.0	22	21.9	8.5	9.1	30	29.8	8.9								
3.0	8	8.0	4.2	6.1	24	23.9	8.6	9.2	30	29.8	8.9								
3.1	8	8.0	3.9	6.2	25	24.9	9.0	9.3	41	40.8	12.0								

DYNAMICKÁ PENETRACE

(počet redukovaných úderů N_{red} ; specifický dynamický odpor q_d)

sonda : DP119

OBR. 1.1

akce : Valašská Polanka - Horní Lideč, IG průzkum

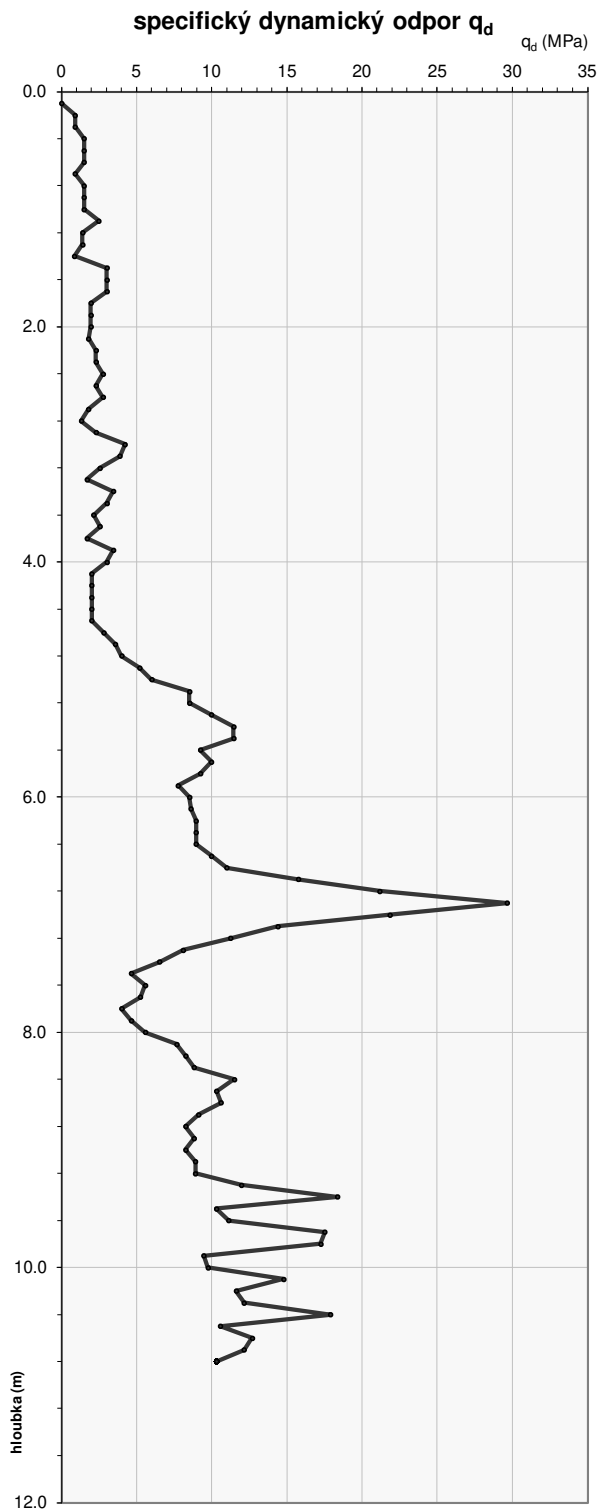
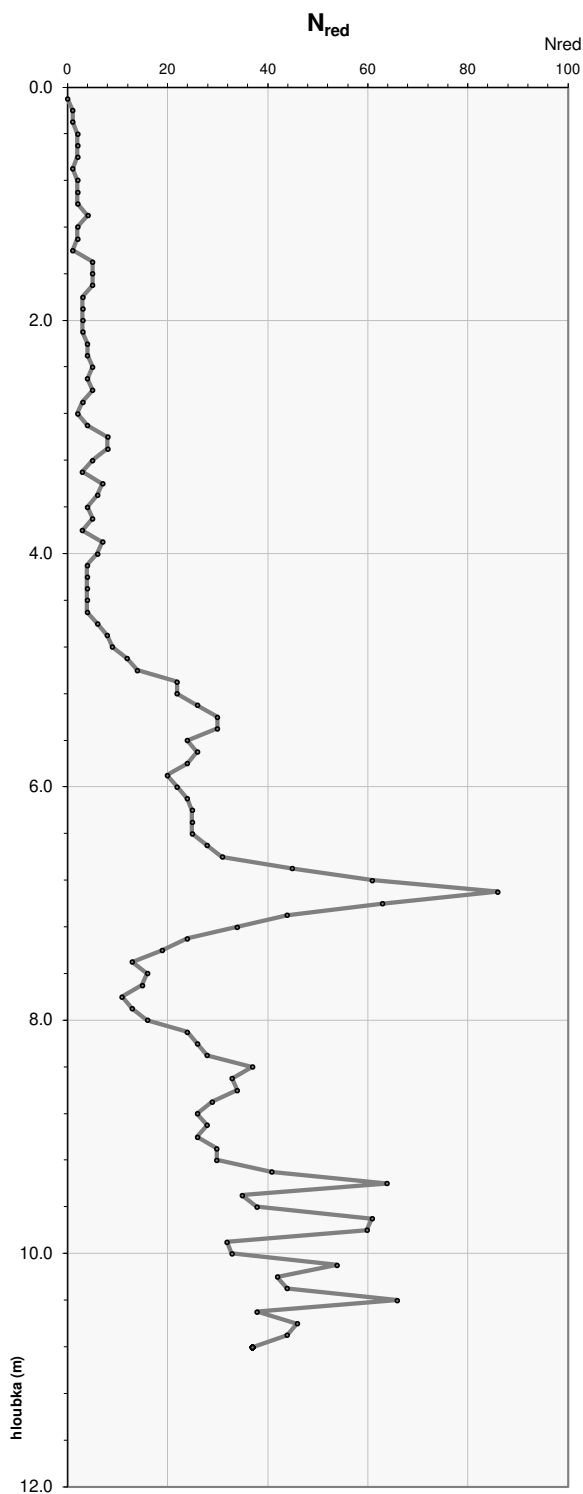
zak.č. : 2022 - 165

lokalizace : X=1170163.68 Y=493246.38 Z=454.28

doplňující informace :

hladina podzemní vody pod terénem <nezastižena> m

0



KOMENTÁŘ

-

DYNAMICKÁ PENETRACE

akce : Valašská Polanka - Horní Lideč, IG průzkum
zak.č. : 2022 - 165
lokalizace : X=1170154.81 Y=493243.91 Z=454.33

sonda : DP120

TABULKA Č. 1.1

doplňující informace :

datum provedení penetrační sondy : 11.8.2022

provedl : Luboš Holub

vyhodnotil : Luboš Holub

hmotnost beranu (kg) 30.00

výška pádu beranu 0.50 m

souřadnice :

X = 1 170 154.81

Y = 493 243.91

Z = 454.33

hladina podzemní vody pod terénem <nezastižena> m

kužel (hrot) na ztraceno

hloubka (m)	N _x	N _{xred}	q _d (MPa)	hloubka (m)	N _x	N _{xred}	q _d (MPa)	hloubka (m)	N _x	N _{xred}	q _d (MPa)	hloubka (m)	N _x	N _{xred}	q _d (MPa)	hloubka (m)	N _x	N _{xred}	q _d (MPa)
0.1	1	1.0	0.9	3.2	3	2.9	1.7	6.3	19	18.7	6.9								
0.2	2	2.0	1.5	3.3	4	3.9	2.1	6.4	12	11.7	4.5								
0.3	4	4.0	2.7	3.4	10	9.9	4.8	6.5	16	15.7	5.9								
0.4	3	3.0	2.1	3.5	2	1.9	1.3	6.6	23	22.7	8.2								
0.5	3	3.0	2.1	3.6	4	3.9	2.1	6.7	66	65.7	22.8								
0.6	1	1.0	0.9	3.7	7	6.9	3.4	6.8	200	199.7	68.3								
0.7	2	2.0	1.5	3.8	13	12.9	6.1												
0.8	1	1.0	0.9	3.9	13	12.9	6.1												
0.9	2	2.0	1.5	4.0	10	9.9	4.8												
1.0	2	2.0	1.5	4.1	4	3.9	2.0												
1.1	4	4.0	2.5	4.2	4	3.9	2.0												
1.2	3	3.0	1.9	4.3	4	3.9	2.0												
1.3	6	6.0	3.6	4.4	2	1.9	1.2												
1.4	4	4.0	2.5	4.5	2	1.9	1.2												
1.5	7	7.0	4.1	4.6	3	2.9	1.6												
1.6	1	1.0	0.9	4.7	7	6.9	3.2												
1.7	2	2.0	1.4	4.8	5	4.9	2.4												
1.8	1	1.0	0.9	4.9	9	8.9	4.0												
1.9	2	2.0	1.4	5.0	10	9.9	4.4												
2.0	3	3.0	1.9	5.1	11	10.9	4.5												
2.1	2	2.0	1.3	5.2	11	10.9	4.5												
2.2	2	2.0	1.3	5.3	11	10.9	4.5												
2.3	4	4.0	2.3	5.4	10	9.9	4.1												
2.4	3	3.0	1.8	5.5	10	9.9	4.1												
2.5	3	3.0	1.8	5.6	12	11.9	4.8												
2.6	4	4.0	2.3	5.7	13	12.9	5.2												
2.7	4	4.0	2.3	5.8	25	24.9	9.6												
2.8	2	2.0	1.3	5.9	40	39.9	15.1												
2.9	3	3.0	1.8	6.0	104	103.9	38.5												
3.0	2	2.0	1.3	6.1	76	75.7	26.2												
3.1	3	2.9	1.7	6.2	37	36.7	13.0												

DYNAMICKÁ PENETRACE

(počet redukováných úderů N_{red} ; specifický dynamický odpor q_d)

sonda : DP120

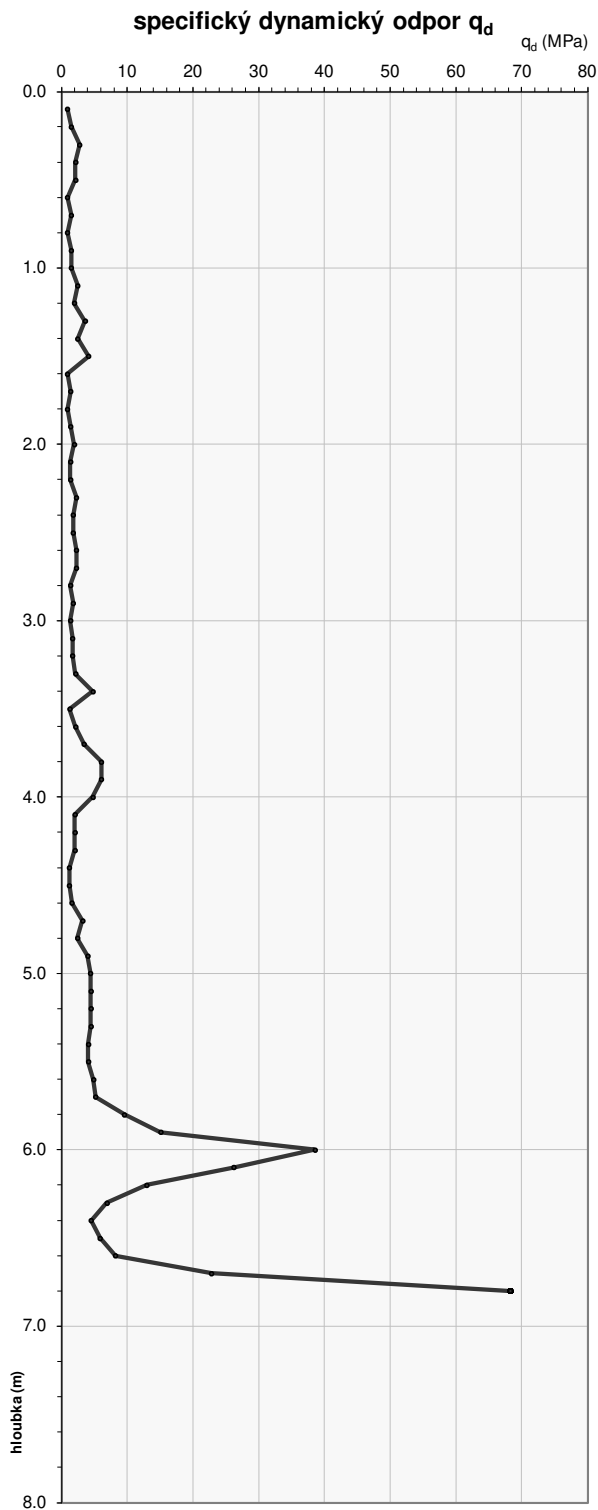
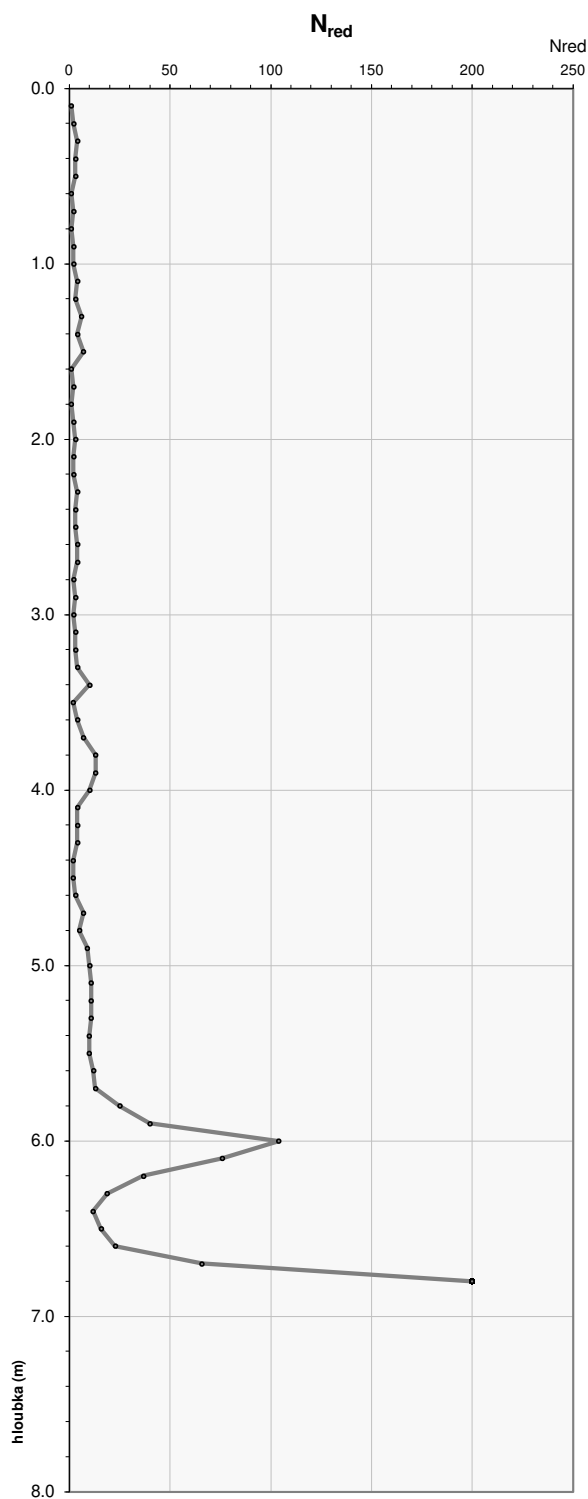
OBR. 1.1

akce : Valašská Polanka - Horní Lideč, IG průzkum
zak.č. : 2022 - 165
lokalizace : X=1170154.81 Y=493243.91 Z=454.33

doplňující informace :

hladina podzemní vody pod terénem <nezastižena> m

0



KOMENTÁŘ

-

DYNAMICKÁ PENETRACE

akce : Valašská Polanka - Horní Lideč, IG průzkum
zak.č. : 2022 - 165
lokalizace : X=1170162.97 Y=493215.86 Z=459.86

sonda : DP121

TABULKA Č. 1.1

doplňující informace :

datum provedení penetrační sondy : 28.7.2022

provedl : Luboš Holub

vyhodnotil : Luboš Holub

hmotnost beranu (kg) 50.00

výška pádu beranu 0.50 m

souřadnice :

X = 1 170 162.97

Y = 493 215.86

Z = 459.86

hladina podzemní vody pod terénem <nezastižena> m

kužel (hrot) na ztraceno

hloubka (m)	N _x	N _{xred}	q _d (MPa)	hloubka (m)	N _x	N _{xred}	q _d (MPa)	hloubka (m)	N _x	N _{xred}	q _d (MPa)	hloubka (m)	N _x	N _{xred}	q _d (MPa)	hloubka (m)	N _x	N _{xred}	q _d (MPa)
0.1	2	1.9	2.7	3.2	8	7.9	7.9	6.3	14	13.8	11.2	9.4	38	37.7	25.1				
0.2	5	4.9	6.2	3.3	7	6.9	6.9	6.4	15	14.8	11.9	9.5	34	33.7	22.5				
0.3	7	6.9	8.6	3.4	6	5.9	6.0	6.5	22	21.8	17.2	9.6	35	34.7	23.1				
0.4	7	6.9	8.6	3.5	6	5.9	6.0	6.6	22	21.8	17.2	9.7	44	43.7	28.9				
0.5	8	7.9	9.8	3.6	8	7.9	7.9	6.7	24	23.8	18.8	9.8	34	33.7	22.5				
0.6	20	19.9	24.1	3.7	9	8.9	8.8	6.8	27	26.8	21.0	9.9	37	36.7	24.4				
0.7	23	22.9	27.6	3.8	11	10.9	10.6	6.9	18	17.8	14.2	10.0	48	47.7	31.5				
0.8	28	27.9	33.6	3.9	11	10.9	10.6	7.0	34	33.8	26.4	10.1	84	83.7	52.1				
0.9	24	23.9	28.8	4.0	12	11.9	11.6	7.1	35	34.7	25.6	10.2	110	109.7	68.1				
1.0	20	19.9	24.1	4.1	12	11.8	10.8	7.2	27	26.7	19.9								
1.1	10	9.9	11.2	4.2	15	14.8	13.4	7.3	25	24.7	18.4								
1.2	7	6.9	7.9	4.3	16	15.8	14.3	7.4	25	24.7	18.4								
1.3	7	6.9	7.9	4.4	24	23.8	21.2	7.5	24	23.7	17.7								
1.4	8	7.9	9.0	4.5	23	22.8	20.3	7.6	26	25.7	19.1								
1.5	9	8.9	10.1	4.6	24	23.8	21.2	7.7	30	29.7	22.0								
1.6	8	7.9	9.0	4.7	23	22.8	20.3	7.8	42	41.7	30.6								
1.7	5	4.9	5.8	4.8	22	21.8	19.4	7.9	33	32.7	24.2								
1.8	5	4.9	5.8	4.9	23	22.8	20.3	8.0	30	29.7	22.0								
1.9	3	2.9	3.6	5.0	23	22.8	20.3	8.1	19	18.7	13.4								
2.0	7	6.9	7.9	5.1	23	22.8	19.0	8.2	33	32.7	22.9								
2.1	3	2.9	3.4	5.2	25	24.8	20.7	8.3	22	21.7	15.4								
2.2	4	3.9	4.4	5.3	26	25.8	21.5	8.4	30	29.7	20.9								
2.3	3	2.9	3.4	5.4	40	39.8	32.8	8.5	34	33.7	23.6								
2.4	9	8.9	9.4	5.5	32	31.8	26.3	8.6	88	87.7	60.2								
2.5	8	7.9	8.4	5.6	28	27.8	23.1	8.7	41	40.7	28.3								
2.6	7	6.9	7.4	5.7	28	27.8	23.1	8.8	25	24.7	17.5								
2.7	7	6.9	7.4	5.8	22	21.8	18.2	8.9	26	25.7	18.2								
2.8	7	6.9	7.4	5.9	23	22.8	19.0	9.0	19	18.7	13.4								
2.9	7	6.9	7.4	6.0	20	19.8	16.6	9.1	22	21.7	14.8								
3.0	8	7.9	8.4	6.1	24	23.8	18.8	9.2	22	21.7	14.8								
3.1	7	6.9	6.9	6.2	19	18.8	15.0	9.3	29	28.7	19.3								

DYNAMICKÁ PENETRACE

(počet redukováných úderů N_{red} ; specifický dynamický odpor q_d)

sonda : DP121

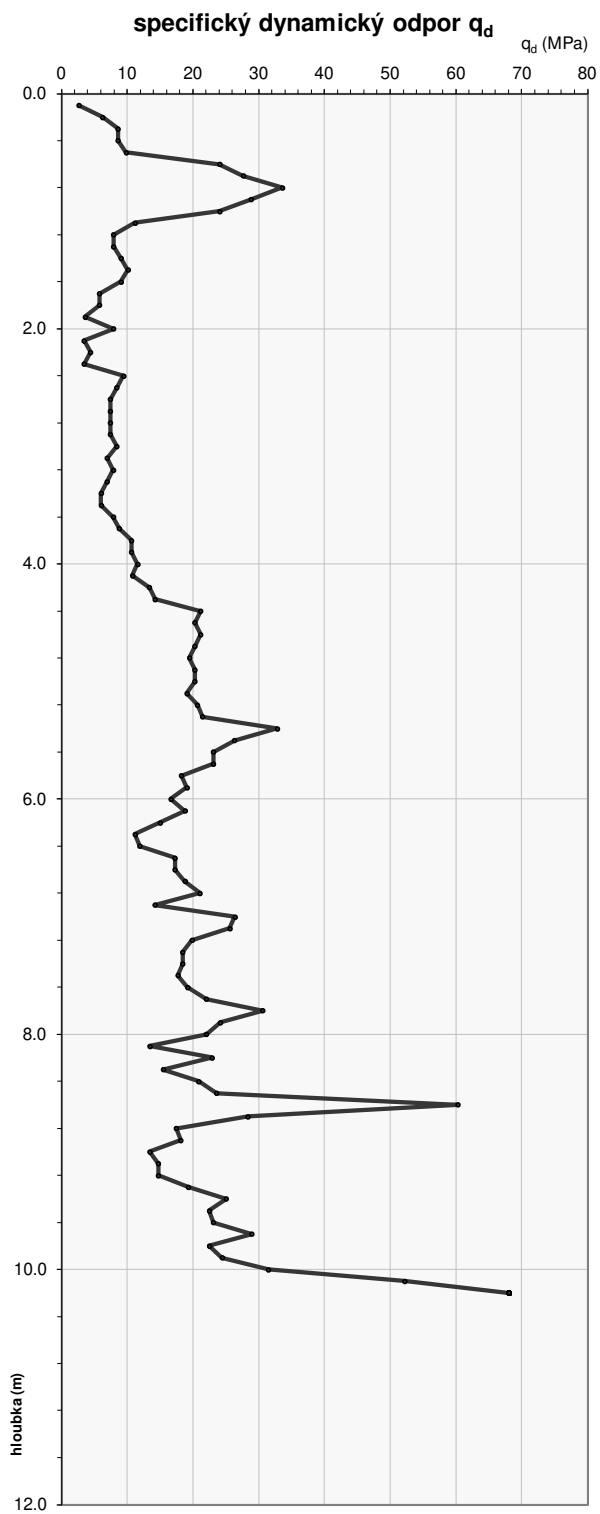
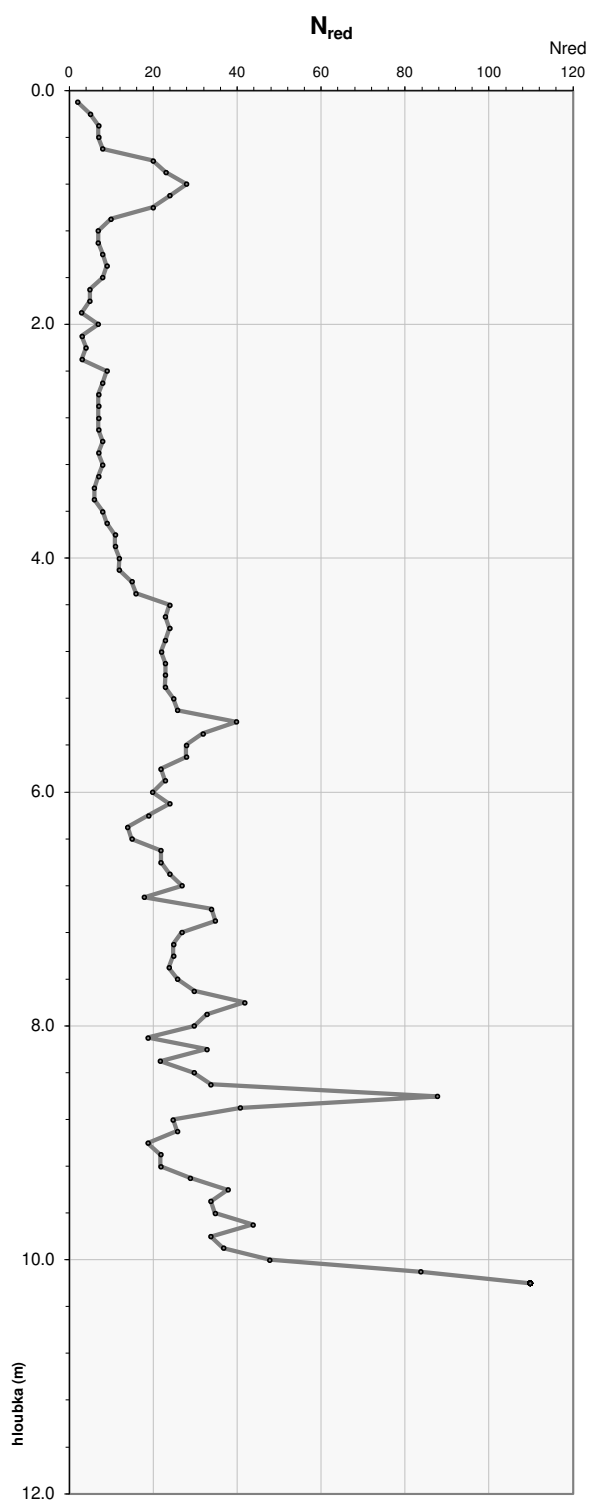
OBR. 1.1

akce : Valašská Polanka - Horní Lideč, IG průzkum
zak.č. : 2022 - 165
lokalizace : X=1170162.97 Y=493215.86 Z=459.86

doplňující informace :

hladina podzemní vody pod terénem <nezastižena> m

0



KOMENTÁŘ

-

DYNAMICKÁ PENETRACE

akce : Valašská Polanka - Horní Lideč, IG průzkum
zak.č. : 2022 - 165
lokalizace : X=1170139.12 Y=493233.11 Z=458.3

sonda : DP123

TABULKA Č. 1.1

doplňující informace :

datum provedení penetrační sondy : 11.8.2022

provedl : Luboš Holub

vyhodnotil : Luboš Holub

hmotnost beranu (kg) 50.00

výška pádu beranu 0.50 m

souřadnice :

X = 1 170 139.12
0 Y = 493 233.11
Z = 458.30
hladina podzemní vody pod terénem <nezastižena> m
kužel (hrot) na ztraceno

hloubka (m)	N _x	N _{xred}	q _d (MPa)	hloubka (m)	N _x	N _{xred}	q _d (MPa)	hloubka (m)	N _x	N _{xred}	q _d (MPa)	hloubka (m)	N _x	N _{xred}	q _d (MPa)	hloubka (m)	N _x	N _{xred}	q _d (MPa)
0.1	1	1.0	1.6	3.2	1	0.9	1.4	6.3	11	10.9	8.9	9.4	10	9.8	7.1	12.5	14	13.8	8.6
0.2	1	1.0	1.6	3.3	1	0.9	1.4	6.4	5	4.9	4.3	9.5	7	6.8	5.1	12.6	14	13.8	8.6
0.3	1	1.0	1.6	3.4	2	1.9	2.3	6.5	6	5.9	5.1	9.6	9	8.8	6.4	12.7	14	13.8	8.6
0.4	1	1.0	1.6	3.5	2	1.9	2.3	6.6	7	6.9	5.9	9.7	10	9.8	7.1	12.8	14	13.8	8.6
0.5	1	1.0	1.6	3.6	2	1.9	2.3	6.7	10	9.9	8.1	9.8	11	10.8	7.7	12.9	14	13.8	8.6
0.6	1	1.0	1.6	3.7	2	1.9	2.3	6.8	7	6.9	5.9	9.9	11	10.8	7.7	13.0	15	14.8	9.1
0.7	1	1.0	1.6	3.8	2	1.9	2.3	6.9	6	5.9	5.1	10.0	11	10.8	7.7	13.1	14	13.8	8.3
0.8	1	1.0	1.6	3.9	2	1.9	2.3	7.0	6	5.9	5.1	10.1	16	15.9	10.6	13.2	11	10.8	6.7
0.9	1	1.0	1.6	4.0	6	5.9	6.0	7.1	8	7.8	6.3	10.2	12	11.9	8.1	13.3	15	14.8	8.8
1.0	2	2.0	2.8	4.1	2	2.0	2.3	7.2	12	11.8	9.2	10.3	12	11.9	8.1	13.4	13	12.8	7.8
1.1	1	1.0	1.5	4.2	2	2.0	2.3	7.3	17	16.8	12.8	10.4	13	12.9	8.7	13.5	15	14.8	8.8
1.2	1	1.0	1.5	4.3	2	2.0	2.3	7.4	7	6.8	5.6	10.5	14	13.9	9.3	13.6	23	22.8	13.1
1.3	2	2.0	2.6	4.4	2	2.0	2.3	7.5	4	3.8	3.4	10.6	12	11.9	8.1	13.7	22	21.8	12.6
1.4	2	2.0	2.6	4.5	2	2.0	2.3	7.6	7	6.8	5.6	10.7	12	11.9	8.1	13.8	17	16.8	9.9
1.5	1	1.0	1.5	4.6	2	2.0	2.3	7.7	7	6.8	5.6	10.8	10	9.9	6.9	13.9	18	17.8	10.4
1.6	2	2.0	2.6	4.7	2	2.0	2.3	7.8	7	6.8	5.6	10.9	10	9.9	6.9	14.0	20	19.8	11.5
1.7	2	2.0	2.6	4.8	3	3.0	3.1	7.9	4	3.8	3.4	11.0	11	10.9	7.5	14.1	17	16.8	9.6
1.8	3	3.0	3.7	4.9	3	3.0	3.1	8.0	5	4.8	4.2	11.1	13	12.8	8.3	14.2	16	15.8	9.1
1.9	3	3.0	3.7	5.0	2	2.0	2.3	8.1	4	3.8	3.3	11.2	13	12.8	8.3	14.3	11	10.8	6.5
2.0	3	3.0	3.7	5.1	2	1.9	2.2	8.2	6	5.8	4.7	11.3	11	10.8	7.2	14.4	13	12.8	7.5
2.1	3	3.0	3.5	5.2	4	3.9	3.8	8.3	6	5.8	4.7	11.4	13	12.8	8.3	14.5	21	20.8	11.6
2.2	4	4.0	4.5	5.3	3	2.9	3.0	8.4	8	7.8	6.0	11.5	14	13.8	8.9	14.6	26	25.8	14.2
2.3	3	3.0	3.5	5.4	4	3.9	3.8	8.5	7	6.8	5.4	11.6	14	13.8	8.9	14.7	35	34.8	18.8
2.4	4	4.0	4.5	5.5	4	3.9	3.8	8.6	8	7.8	6.0	11.7	16	15.8	10.1	14.8	50	49.8	26.5
2.5	4	4.0	4.5	5.6	3	2.9	3.0	8.7	5	4.8	4.0	11.8	23	22.8	14.2				
2.6	11	11.0	11.5	5.7	3	2.9	3.0	8.8	8	7.8	6.0	11.9	22	21.8	13.6				
2.7	12	12.0	12.5	5.8	6	5.9	5.4	8.9	10	9.8	7.4	12.0	18	17.8	11.3				
2.8	3	3.0	3.5	5.9	6	5.9	5.4	9.0	9	8.8	6.7	12.1	21	20.8	12.5				
2.9	3	3.0	3.5	6.0	3	2.9	3.0	9.1	12	11.8	8.4	12.2	19	18.8	11.4				
3.0	3	3.0	3.5	6.1	7	6.9	5.9	9.2	10	9.8	7.1	12.3	16	15.8	9.7				
3.1	1	0.9	1.4	6.2	11	10.9	8.9	9.3	10	9.8	7.1	12.4	14	13.8	8.6				

DYNAMICKÁ PENETRACE

(počet redukováných úderů N_{red} ; specifický dynamický odpor q_d)

sonda : DP123

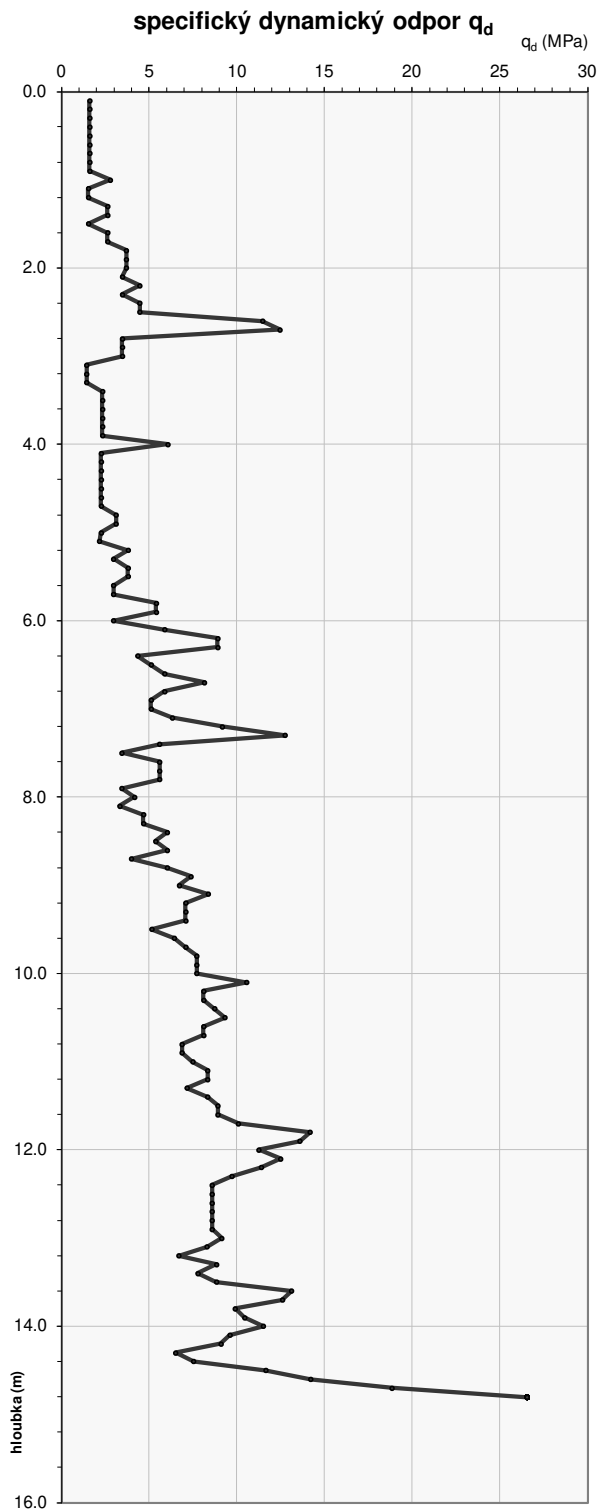
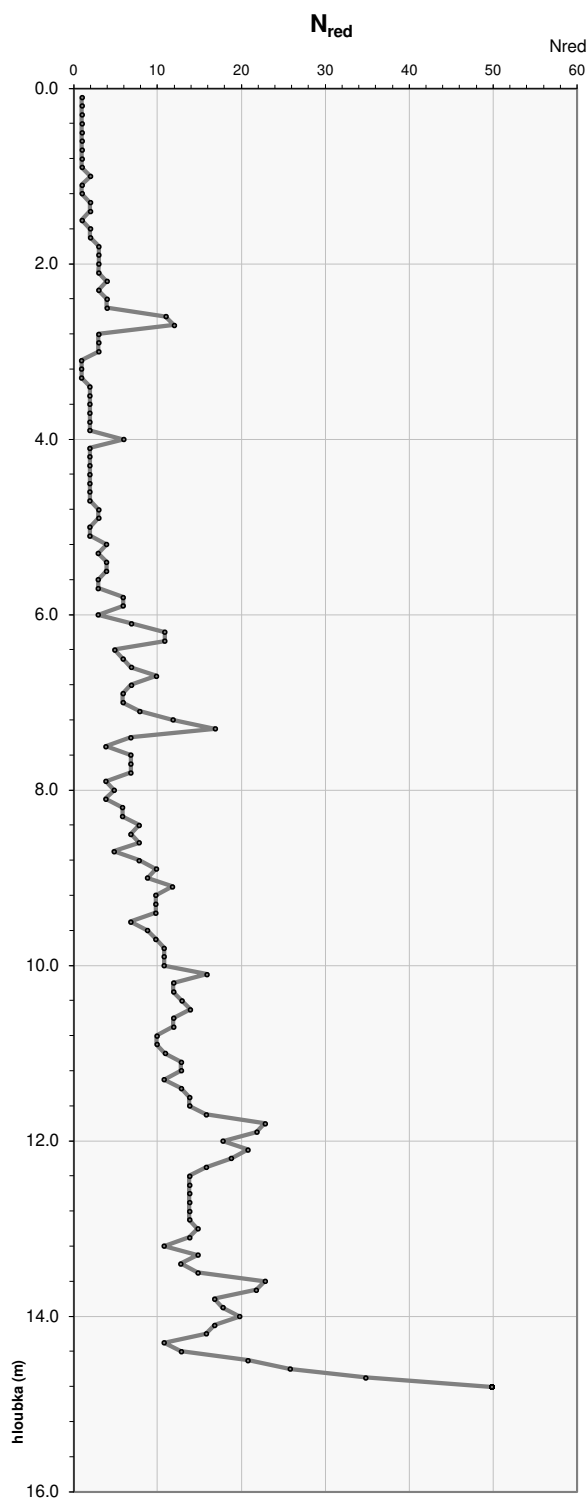
OBR. 1.1

akce : Valašská Polanka - Horní Lideč, IG průzkum
zak.č. : 2022 - 165
lokalizace : X=1170139.12 Y=493233.11 Z=458.3

doplňující informace :

hladina podzemní vody pod terénem <nezastižena> m

0



KOMENTÁŘ

-

DYNAMICKÁ PENETRACE

akce : Valašská Polanka - Horní Lideč, IG průzkum
zak.č. : 2022 - 165
lokalizace : X=1170141.87 Y=493223.39 Z=458.6

sonda : DP124

TABULKA Č. 1.1

doplňující informace :

datum provedení penetrační sondy : 11.8.2022

provedl : Luboš Holub

vyhodnotil : Luboš Holub

hmotnost beranu (kg) 50.00

výška pádu beranu 0.50 m

souřadnice :

X = 1 170 141.87
0 Y = 493 223.39
Z = 458.60

hladina podzemní vody pod terénem <nezastižena> m

kužel (hrot) na ztraceno

hloubka (m)	N _x	N _{xred}	q _d (MPa)	hloubka (m)	N _x	N _{xred}	q _d (MPa)	hloubka (m)	N _x	N _{xred}	q _d (MPa)	hloubka (m)	N _x	N _{xred}	q _d (MPa)	hloubka (m)	N _x	N _{xred}	q _d (MPa)
0.1	1	1.0	1.6	3.2	2	1.9	2.3	6.3	9	8.9	7.4	9.4	34	33.9	22.6				
0.2	2	2.0	2.8	3.3	2	1.9	2.3	6.4	8	7.9	6.7	9.5	33	32.9	22.0				
0.3	2	2.0	2.8	3.4	2	1.9	2.3	6.5	18	17.9	14.3	9.6	70	69.9	45.8				
0.4	2	2.0	2.8	3.5	2	1.9	2.3	6.6	28	27.9	21.9								
0.5	1	1.0	1.6	3.6	6	5.9	6.0	6.7	26	25.9	20.3								
0.6	2	2.0	2.8	3.7	9	8.9	8.8	6.8	20	19.9	15.8								
0.7	1	1.0	1.6	3.8	3	2.9	3.2	6.9	13	12.9	10.5								
0.8	1	1.0	1.6	3.9	3	2.9	3.2	7.0	12	11.9	9.7								
0.9	2	2.0	2.8	4.0	3	2.9	3.2	7.1	13	12.9	9.9								
1.0	1	1.0	1.6	4.1	2	1.9	2.2	7.2	13	12.9	9.9								
1.1	2	2.0	2.6	4.2	2	1.9	2.2	7.3	15	14.9	11.4								
1.2	4	4.0	4.8	4.3	3	2.9	3.1	7.4	17	16.9	12.8								
1.3	3	3.0	3.7	4.4	2	1.9	2.2	7.5	15	14.9	11.4								
1.4	2	2.0	2.6	4.5	3	2.9	3.1	7.6	16	15.9	12.1								
1.5	2	2.0	2.6	4.6	3	2.9	3.1	7.7	16	15.9	12.1								
1.6	1	1.0	1.5	4.7	3	2.9	3.1	7.8	14	13.9	10.7								
1.7	1	1.0	1.5	4.8	3	2.9	3.1	7.9	15	14.9	11.4								
1.8	2	2.0	2.6	4.9	3	2.9	3.1	8.0	20	19.9	15.0								
1.9	1	1.0	1.5	5.0	2	1.9	2.2	8.1	28	27.9	19.7								
2.0	1	1.0	1.5	5.1	3	2.9	2.9	8.2	27	26.9	19.0								
2.1	2	2.0	2.5	5.2	4	3.9	3.8	8.3	20	19.9	14.2								
2.2	1	1.0	1.5	5.3	4	3.9	3.8	8.4	18	17.9	12.9								
2.3	1	1.0	1.5	5.4	6	5.9	5.4	8.5	25	24.9	17.6								
2.4	1	1.0	1.5	5.5	5	4.9	4.6	8.6	23	22.9	16.3								
2.5	1	1.0	1.5	5.6	5	4.9	4.6	8.7	23	22.9	16.3								
2.6	1	1.0	1.5	5.7	5	4.9	4.6	8.8	30	29.9	21.0								
2.7	7	7.0	7.5	5.8	5	4.9	4.6	8.9	23	22.9	16.3								
2.8	10	10.0	10.5	5.9	6	5.9	5.4	9.0	20	19.9	14.2								
2.9	3	3.0	3.5	6.0	7	6.9	6.2	9.1	22	21.9	14.9								
3.0	2	2.0	2.5	6.1	7	6.9	5.9	9.2	32	31.9	21.3								
3.1	2	1.9	2.3	6.2	7	6.9	5.9	9.3	39	38.9	25.8								

DYNAMICKÁ PENETRACE

(počet redukovaných úderů N_{red} ; specifický dynamický odpor q_d)

sonda : DP124

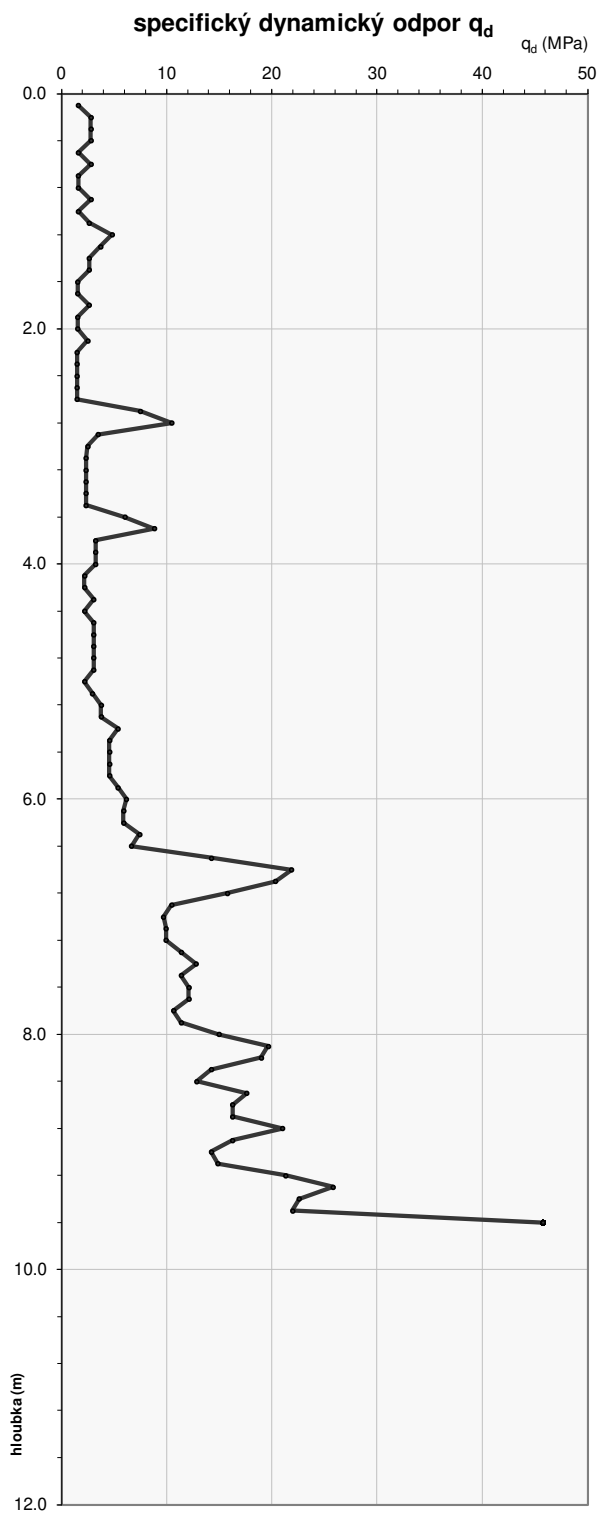
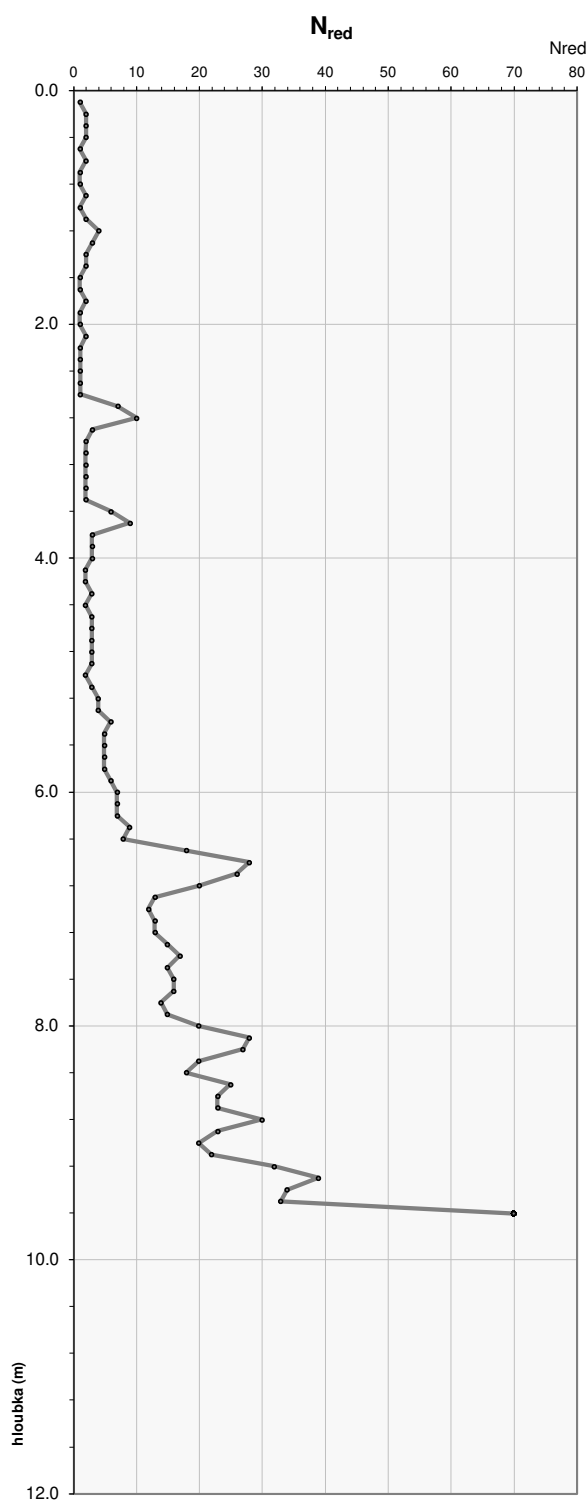
OBR. 1.1

akce : Valašská Polanka - Horní Lideč, IG průzkum
zak.č. : 2022 - 165
lokalizace : X=1170141.87 Y=493223.39 Z=458.6

doplňující informace :

hladina podzemní vody pod terénem <nezastižena> m

0



KOMENTÁŘ

-

DYNAMICKÁ PENETRACE

akce : Valašská Polanka - Horní Lideč, IG průzkum
zak.č. : 2022 - 165
lokalizace : X=1170146.9 Y=493213.37 Z=458.57

sonda : DP125

TABULKA Č. 1.1

doplňující informace :

datum provedení penetrační sondy : 28.7.2022

provedl : Luboš Holub

vyhodnotil : Luboš Holub

hmotnost beranu (kg) 50.00

výška pádu beranu 0.50 m

souřadnice :

X = 1 170 146.90

Y = 493 213.37

Z = 458.57

hladina podzemní vody pod terénem <nezastižena> m

kužel (hrot) na ztraceno

hloubka (m)	N _x	N _{xred}	q _d (MPa)	hloubka (m)	N _x	N _{xred}	q _d (MPa)	hloubka (m)	N _x	N _{xred}	q _d (MPa)	hloubka (m)	N _x	N _{xred}	q _d (MPa)	hloubka (m)	N _x	N _{xred}	q _d (MPa)
0.1	2	2.0	2.8	3.2	10	9.9	9.7	6.3	19	18.7	14.9								
0.2	8	8.0	9.9	3.3	20	19.9	19.0	6.4	36	35.7	27.8								
0.3	8	8.0	9.9	3.4	37	36.9	34.7	6.5	36	35.7	27.8								
0.4	4	4.0	5.2	3.5	20	19.9	19.0	6.6	50	49.7	38.5								
0.5	3	3.0	4.0	3.6	18	17.9	17.1	6.7	32	31.7	24.8								
0.6	4	4.0	5.2	3.7	17	16.9	16.2	6.8	27	26.7	21.0								
0.7	4	4.0	5.2	3.8	14	13.9	13.4	6.9	26	25.7	20.2								
0.8	4	4.0	5.2	3.9	15	14.9	14.3	7.0	25	24.7	19.5								
0.9	5	5.0	6.4	4.0	13	12.9	12.5	7.1	20	19.7	14.8								
1.0	6	6.0	7.5	4.1	13	12.9	11.7	7.2	27	26.7	19.8								
1.1	7	7.0	8.0	4.2	12	11.9	10.8	7.3	29	28.7	21.3								
1.2	6	6.0	7.0	4.3	11	10.9	10.0	7.4	26	25.7	19.1								
1.3	6	6.0	7.0	4.4	13	12.9	11.7	7.5	27	26.7	19.8								
1.4	6	6.0	7.0	4.5	13	12.9	11.7	7.6	29	28.7	21.3								
1.5	5	5.0	5.9	4.6	15	14.9	13.4	7.7	29	28.7	21.3								
1.6	6	6.0	7.0	4.7	16	15.9	14.3	7.8	29	28.7	21.3								
1.7	5	5.0	5.9	4.8	15	14.9	13.4	7.9	30	29.7	22.0								
1.8	7	7.0	8.0	4.9	19	18.9	16.9	8.0	42	41.7	30.6								
1.9	10	10.0	11.3	5.0	19	18.9	16.9	8.1	20	19.7	14.1								
2.0	11	11.0	12.4	5.1	22	21.9	18.3												
2.1	14	14.0	14.5	5.2	22	21.9	18.3												
2.2	13	13.0	13.5	5.3	18	17.9	15.1												
2.3	11	11.0	11.5	5.4	25	24.9	20.7												
2.4	9	9.0	9.5	5.5	24	23.9	19.9												
2.5	8	8.0	8.5	5.6	23	22.9	19.1												
2.6	11	11.0	11.5	5.7	19	18.9	15.9												
2.7	12	12.0	12.5	5.8	11	10.9	9.4												
2.8	12	12.0	12.5	5.9	29	28.9	24.0												
2.9	14	14.0	14.5	6.0	40	39.9	32.9												
3.0	12	12.0	12.5	6.1	30	29.7	23.3												
3.1	14	13.9	13.4	6.2	40	39.7	30.9												

DYNAMICKÁ PENETRACE

(počet redukováných úderů N_{red} ; specifický dynamický odpor q_d)

sonda : DP125

OBR. 1.1

akce : Valašská Polanka - Horní Lideč, IG průzkum

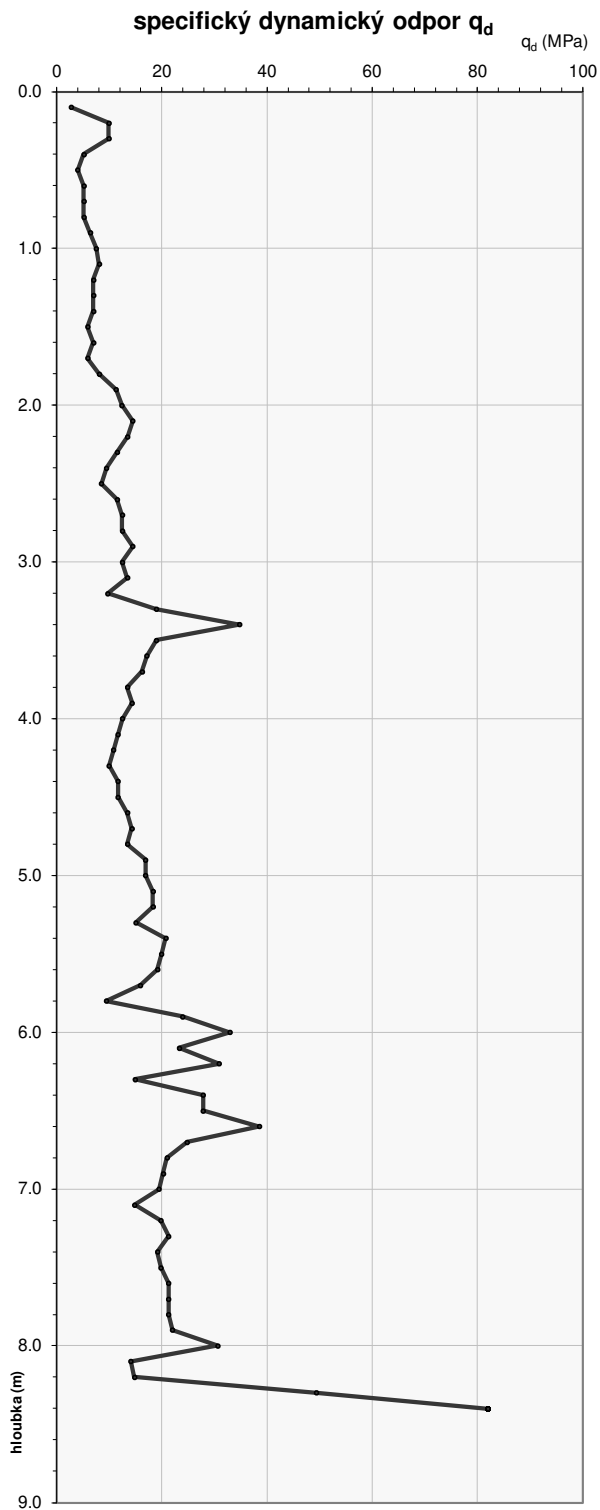
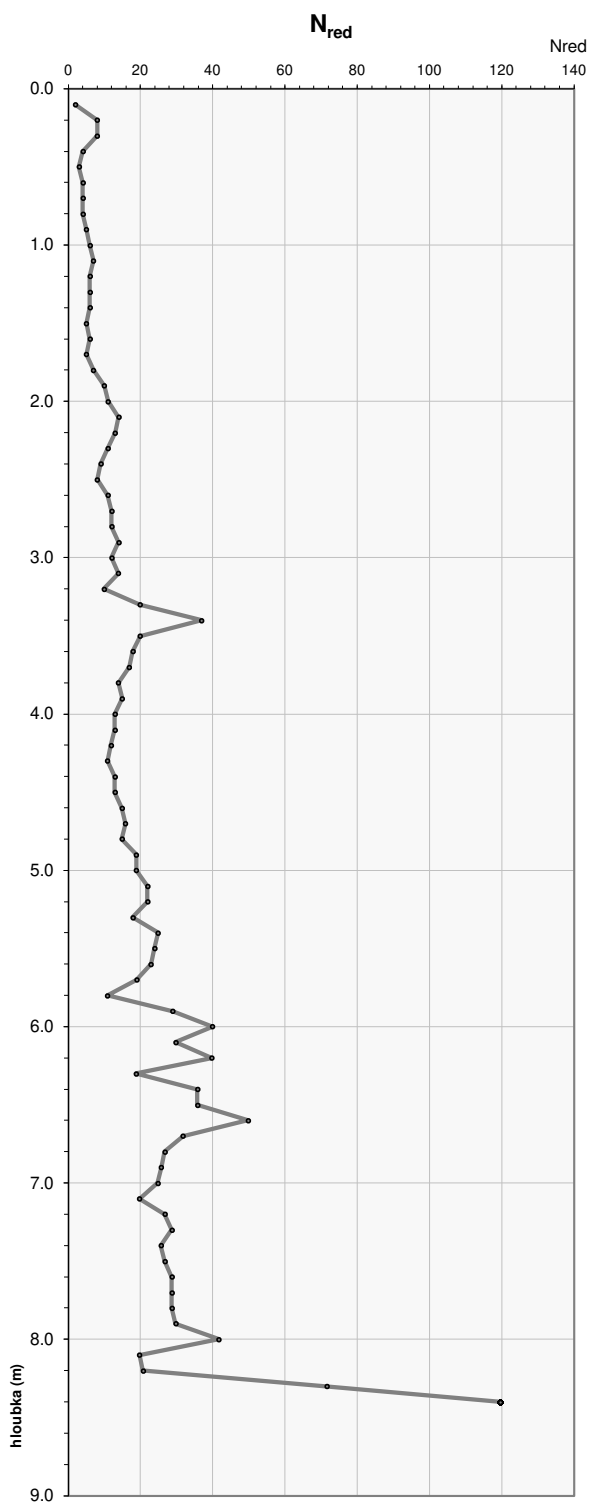
zak.č. : 2022 - 165

lokalizace : X=1170146.9 Y=493213.37 Z=458.57

doplňující informace :

hladina podzemní vody pod terénem <nezastižena> m

0



KOMENTÁŘ

-

DYNAMICKÁ PENETRACE

akce : Valašská Polanka - Horní Lideč, IG průzkum
zak.č. : 2022 - 165
lokalizace : X=1170081.72 Y=493204.8 Z=458.32

sonda : DP128

TABULKA Č. 1.1

doplňující informace :

datum provedení penetrační sondy : 9.8.2022

provedl : Luboš Holub

vyhodnotil : Luboš Holub

hmotnost beranu (kg) 50.00

výška pádu beranu 0.50 m

souřadnice :

X = 1 170 081.72

Y = 493 204.80

Z = 458.32

hladina podzemní vody pod terénem <nezastižena> m

kužel (hrot) na ztraceno

hloubka (m)	N _x	N _{xred}	q _d (MPa)	hloubka (m)	N _x	N _{xred}	q _d (MPa)	hloubka (m)	N _x	N _{xred}	q _d (MPa)	hloubka (m)	N _x	N _{xred}	q _d (MPa)	hloubka (m)	N _x	N _{xred}	q _d (MPa)
0.1	4	4.0	5.2	3.2	4	3.9	4.2	6.3	6	5.9	5.1	9.4	13	12.7	8.9				
0.2	6	6.0	7.5	3.3	3	2.9	3.2	6.4	4	3.9	3.6	9.5	13	12.7	8.9				
0.3	13	13.0	15.9	3.4	4	3.9	4.2	6.5	6	5.9	5.1	9.6	11	10.7	7.6				
0.4	10	10.0	12.3	3.5	4	3.9	4.2	6.6	6	5.9	5.1	9.7	11	10.7	7.6				
0.5	15	15.0	18.2	3.6	3	2.9	3.2	6.7	6	5.9	5.1	9.8	15	14.7	10.2				
0.6	16	16.0	19.4	3.7	3	2.9	3.2	6.8	5	4.9	4.3	9.9	13	12.7	8.9				
0.7	8	8.0	9.9	3.8	3	2.9	3.2	6.9	4	3.9	3.6	10.0	13	12.7	8.9				
0.8	10	10.0	12.3	3.9	3	2.9	3.2	7.0	6	5.9	5.1	10.1	13	12.7	8.6				
0.9	11	11.0	13.5	4.0	5	4.9	5.1	7.1	9	8.8	7.0	10.2	13	12.7	8.6				
1.0	13	13.0	15.9	4.1	4	3.9	3.9	7.2	8	7.8	6.3	10.3	18	17.7	11.7				
1.1	16	15.9	17.8	4.2	4	3.9	3.9	7.3	7	6.8	5.6	10.4	17	16.7	11.1				
1.2	16	15.9	17.8	4.3	3	2.9	3.1	7.4	7	6.8	5.6	10.5	17	16.7	11.1				
1.3	14	13.9	15.6	4.4	3	2.9	3.1	7.5	6	5.8	4.9	10.6	17	16.7	11.1				
1.4	7	6.9	8.0	4.5	3	2.9	3.1	7.6	6	5.8	4.9	10.7	16	15.7	10.5				
1.5	3	2.9	3.6	4.6	5	4.9	4.8	7.7	6	5.8	4.9	10.8	17	16.7	11.1				
1.6	2	1.9	2.6	4.7	3	2.9	3.1	7.8	6	5.8	4.9	10.9	17	16.7	11.1				
1.7	2	1.9	2.6	4.8	3	2.9	3.1	7.9	5	4.8	4.2	11.0	17	16.7	11.1				
1.8	2	1.9	2.6	4.9	3	2.9	3.1	8.0	4	3.8	3.4								
1.9	2	1.9	2.6	5.0	4	3.9	3.9	8.1	4	3.8	3.3								
2.0	1	0.9	1.5	5.1	3	2.9	2.9	8.2	4	3.8	3.3								
2.1	3	2.9	3.4	5.2	4	3.9	3.7	8.3	5	4.8	4.0								
2.2	2	1.9	2.4	5.3	3	2.9	2.9	8.4	5	4.8	4.0								
2.3	2	1.9	2.4	5.4	4	3.9	3.7	8.5	5	4.8	4.0								
2.4	2	1.9	2.4	5.5	5	4.9	4.5	8.6	7	6.8	5.3								
2.5	2	1.9	2.4	5.6	6	5.9	5.4	8.7	6	5.8	4.7								
2.6	2	1.9	2.4	5.7	5	4.9	4.5	8.8	6	5.8	4.7								
2.7	2	1.9	2.4	5.8	4	3.9	3.7	8.9	7	6.8	5.3								
2.8	2	1.9	2.4	5.9	4	3.9	3.7	9.0	9	8.8	6.7								
2.9	3	2.9	3.4	6.0	5	4.9	4.5	9.1	8	7.7	5.7								
3.0	2	1.9	2.4	6.1	7	6.9	5.9	9.2	9	8.7	6.4								
3.1	4	3.9	4.2	6.2	5	4.9	4.3	9.3	11	10.7	7.6								

DYNAMICKÁ PENETRACE

(počet redukovaných úderů N_{red} ; specifický dynamický odpor q_d)

sonda : DP128

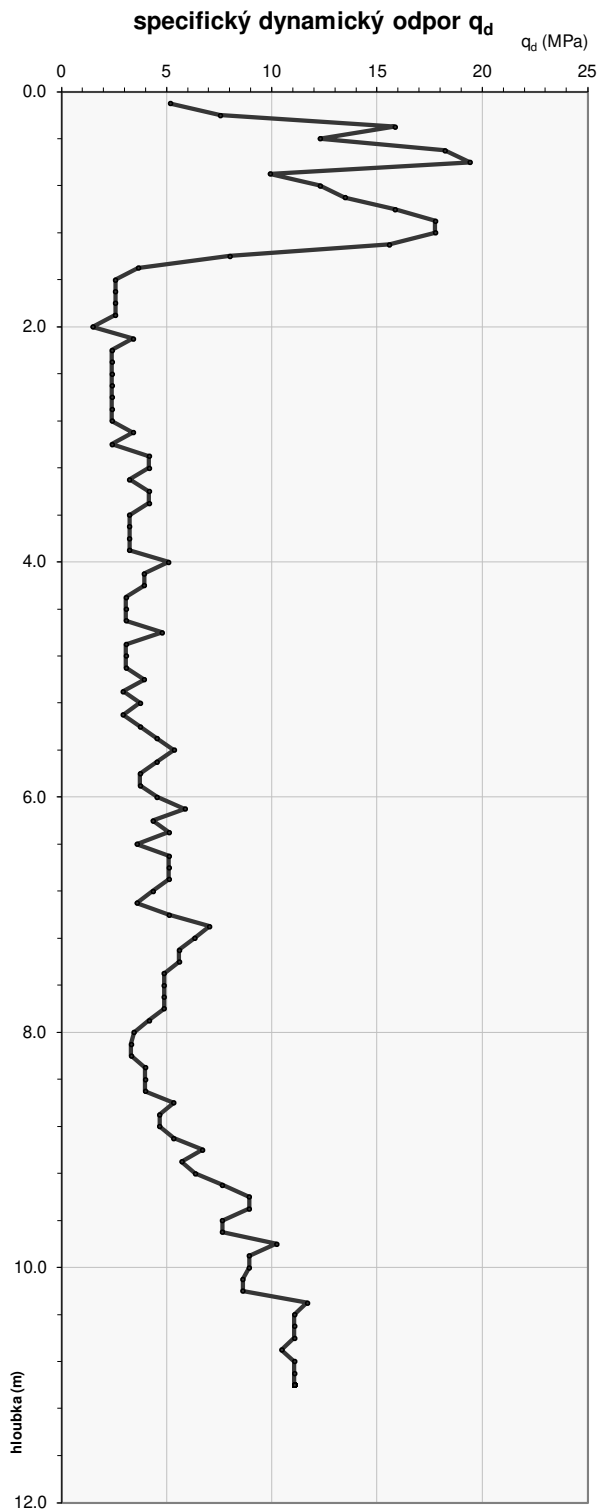
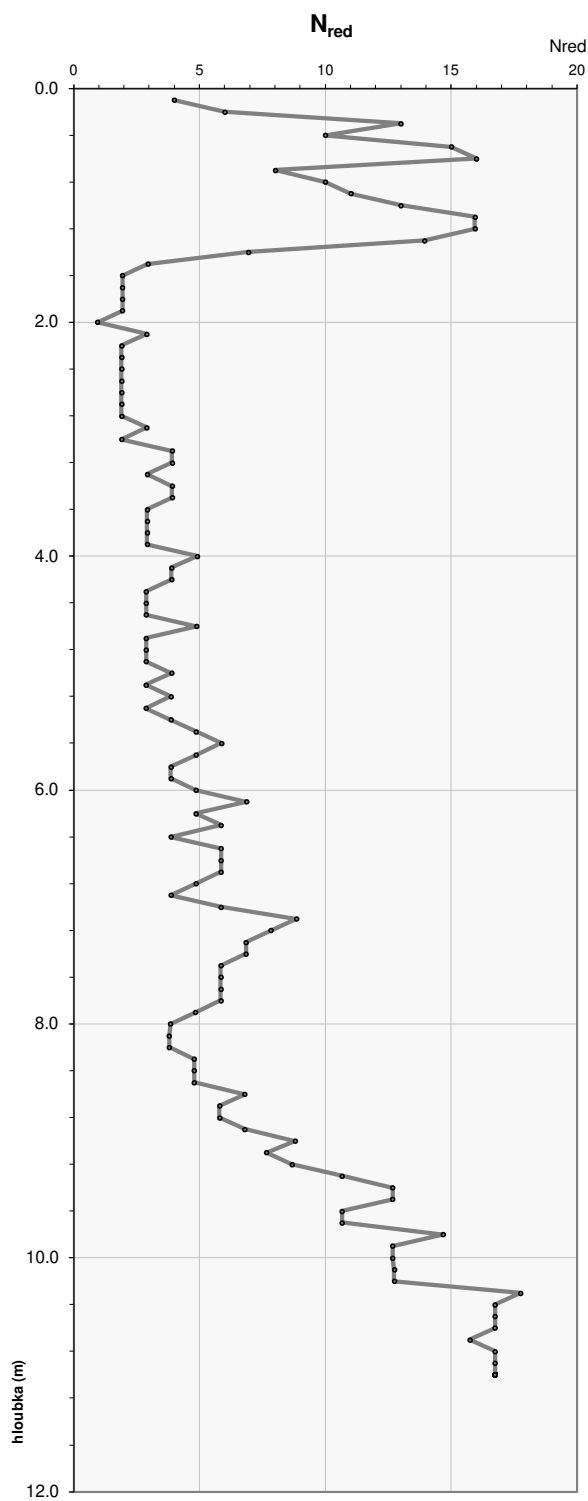
OBR. 1 .1

akce : Valašská Polanka - Horní Lideč, IG průzkum
zak.č. : 2022 - 165
lokalizace : X=1170081.72 Y=493204.8 Z=458.32

doplňující informace :

hladina podzemní vody pod terénem <nezastižena> m

0



KOMENTÁŘ

-

DYNAMICKÁ PENETRACE

akce : Valašská Polanka - Horní Lideč, IG průzkum
zak.č. : 2022 - 165
lokalizace : X=1169993 Y=493194.3 Z=457.88

sonda : DP132

TABULKA Č. 1.1

doplňující informace :

datum provedení penetrační sondy : 9.8.2022

provedl : Luboš Holub

vyhodnotil : Luboš Holub

hmotnost beranu (kg) 50.00

výška pádu beranu 0.50 m

souřadnice :

X = 1 169 993.00

0 Y = 493 194.30

Z = 457.88

hladina podzemní vody pod terénem <nezastižena> m

kužel (hrot) na ztraceno

hloubka (m)	N _x	N _{xred}	q _d (MPa)	hloubka (m)	N _x	N _{xred}	q _d (MPa)	hloubka (m)	N _x	N _{xred}	q _d (MPa)	hloubka (m)	N _x	N _{xred}	q _d (MPa)	hloubka (m)	N _x	N _{xred}	q _d (MPa)
0.1	3	3.0	3.9	3.2	6	5.8	5.9	6.3	26	25.6	20.1								
0.2	4	4.0	5.1	3.3	17	16.8	16.1	6.4	23	22.6	17.8								
0.3	16	16.0	19.4	3.4	12	11.8	11.5	6.5	28	27.6	21.6								
0.4	36	36.0	43.1	3.5	10	9.8	9.6	6.6	29	28.6	22.4								
0.5	46	46.0	55.0	3.6	7	6.8	6.8	6.7	22	21.6	17.1								
0.6	59	59.0	70.4	3.7	12	11.8	11.5	6.8	24	23.6	18.6								
0.7	40	40.0	47.9	3.8	8	7.8	7.8												
0.8	30	30.0	36.0	3.9	9	8.8	8.7												
0.9	7	7.0	8.7	4.0	7	6.8	6.8												
1.0	4	4.0	5.1	4.1	7	6.8	6.4												
1.1	4	3.9	4.7	4.2	7	6.8	6.4												
1.2	3	2.9	3.6	4.3	7	6.8	6.4												
1.3	1	0.9	1.5	4.4	8	7.8	7.3												
1.4	1	0.9	1.5	4.5	8	7.8	7.3												
1.5	2	1.9	2.6	4.6	7	6.8	6.4												
1.6	2	1.9	2.6	4.7	7	6.8	6.4												
1.7	4	3.9	4.7	4.8	7	6.8	6.4												
1.8	2	1.9	2.6	4.9	7	6.8	6.4												
1.9	3	2.9	3.6	5.0	11	10.8	9.9												
2.0	2	1.9	2.6	5.1	11	10.7	9.3												
2.1	4	3.9	4.4	5.2	11	10.7	9.3												
2.2	4	3.9	4.4	5.3	14	13.7	11.7												
2.3	4	3.9	4.4	5.4	16	15.7	13.3												
2.4	4	3.9	4.4	5.5	10	9.7	8.5												
2.5	4	3.9	4.4	5.6	10	9.7	8.5												
2.6	3	2.9	3.4	5.7	20	19.7	16.6												
2.7	6	5.9	6.4	5.8	18	17.7	14.9												
2.8	14	13.9	14.4	5.9	16	15.7	13.3												
2.9	11	10.9	11.4	6.0	18	17.7	14.9												
3.0	10	9.9	10.4	6.1	18	17.6	14.0												
3.1	10	9.8	9.6	6.2	20	19.6	15.5												

DYNAMICKÁ PENETRACE

(počet redukovaných úderů N_{red} ; specifický dynamický odpor q_d)

sonda : DP132

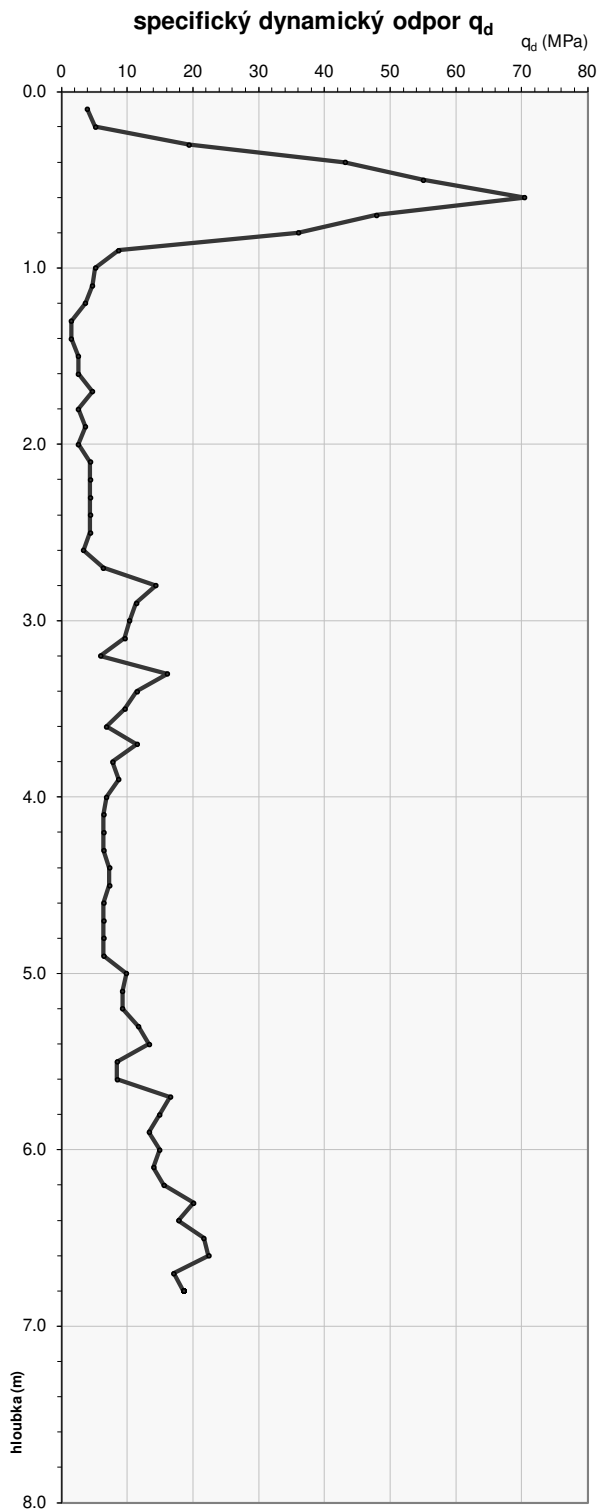
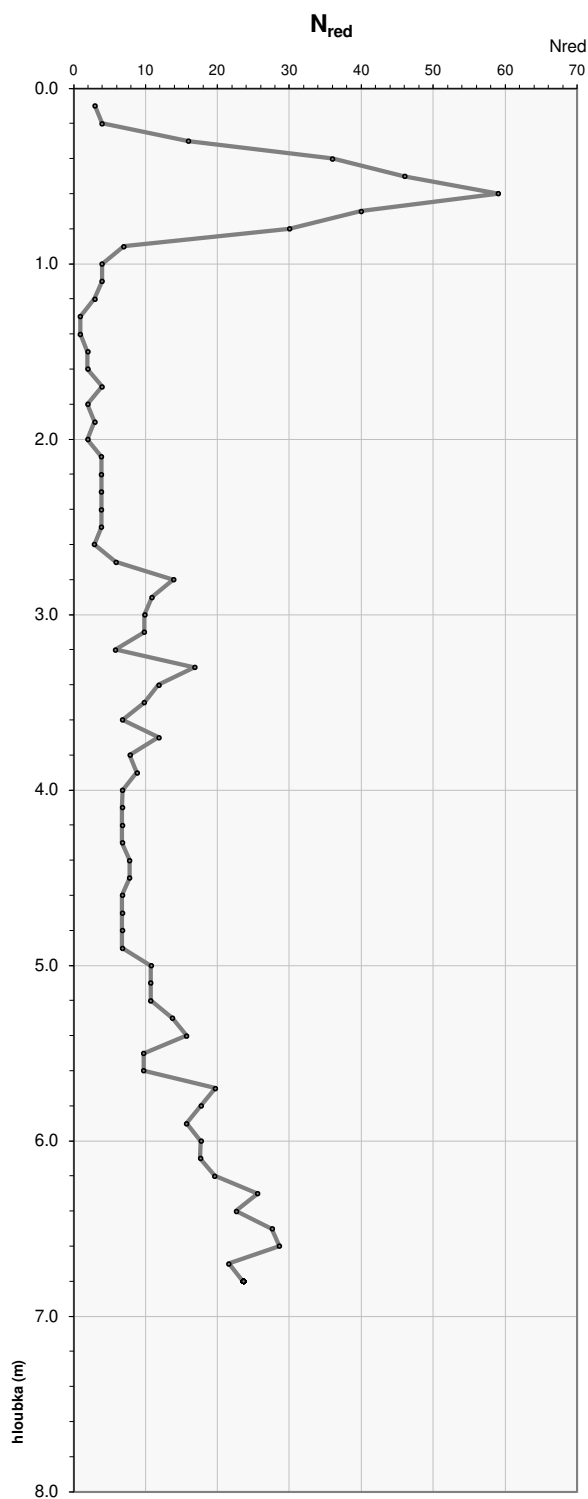
OBR. 1.1

akce : Valašská Polanka - Horní Lideč, IG průzkum
zak.č. : 2022 - 165
lokalizace : X=1169993 Y=493194.3 Z=457.88

doplňující informace :

hladina podzemní vody pod terénem <nezastižena> m

0



KOMENTÁŘ

-

DYNAMICKÁ PENETRACE

akce : Valašská Polanka - Horní Lideč, IG průzkum
zak.č. : 2022 - 165
lokalizace : X=1170029.19 Y=493219.61 Z=446.55

sonda : DP134

TABULKA Č. 1.1

doplňující informace :

datum provedení penetrační sondy : 27.7.2022

provedl : Luboš Holub

vyhodnotil : Luboš Holub

hmotnost beranu (kg) 50.00

výška pádu beranu 0.50 m

souřadnice :

X = 1 170 029.19

0 Y = 493 219.61

Z = 446.55

hladina podzemní vody pod terénem <nezastižena> m

kužel (hrot) na ztraceno

hloubka (m)	N _x	N _{xred}	q _d (MPa)	hloubka (m)	N _x	N _{xred}	q _d (MPa)	hloubka (m)	N _x	N _{xred}	q _d (MPa)	hloubka (m)	N _x	N _{xred}	q _d (MPa)	hloubka (m)	N _x	N _{xred}	q _d (MPa)
0.1	1	1.0	1.6																
0.2	2	2.0	2.8																
0.3	2	2.0	2.8																
0.4	2	2.0	2.8																
0.5	2	2.0	2.8																
0.6	2	2.0	2.8																
0.7	2	2.0	2.8																
0.8	2	2.0	2.8																
0.9	3	3.0	4.0																
1.0	2	2.0	2.8																
1.1	3	3.0	3.7																
1.2	3	3.0	3.7																
1.3	3	3.0	3.7																
1.4	4	4.0	4.8																
1.5	4	4.0	4.8																
1.6	5	5.0	5.9																
1.7	5	5.0	5.9																
1.8	5	5.0	5.9																
1.9	7	7.0	8.0																
2.0	16	16.0	17.8																
2.1	8	7.9	8.4																
2.2	18	17.9	18.4																
2.3	7	6.9	7.4																
2.4	11	10.9	11.4																
2.5	10	9.9	10.4																
2.6	9	8.9	9.4																
2.7	3	2.9	3.4																
2.8	25	24.9	25.4																
2.9	30	29.9	30.4																
3.0	80	79.9	80.4																

DYNAMICKÁ PENETRACE

(počet redukováných úderů N_{red} ; specifický dynamický odpor q_d)

sonda : DP134

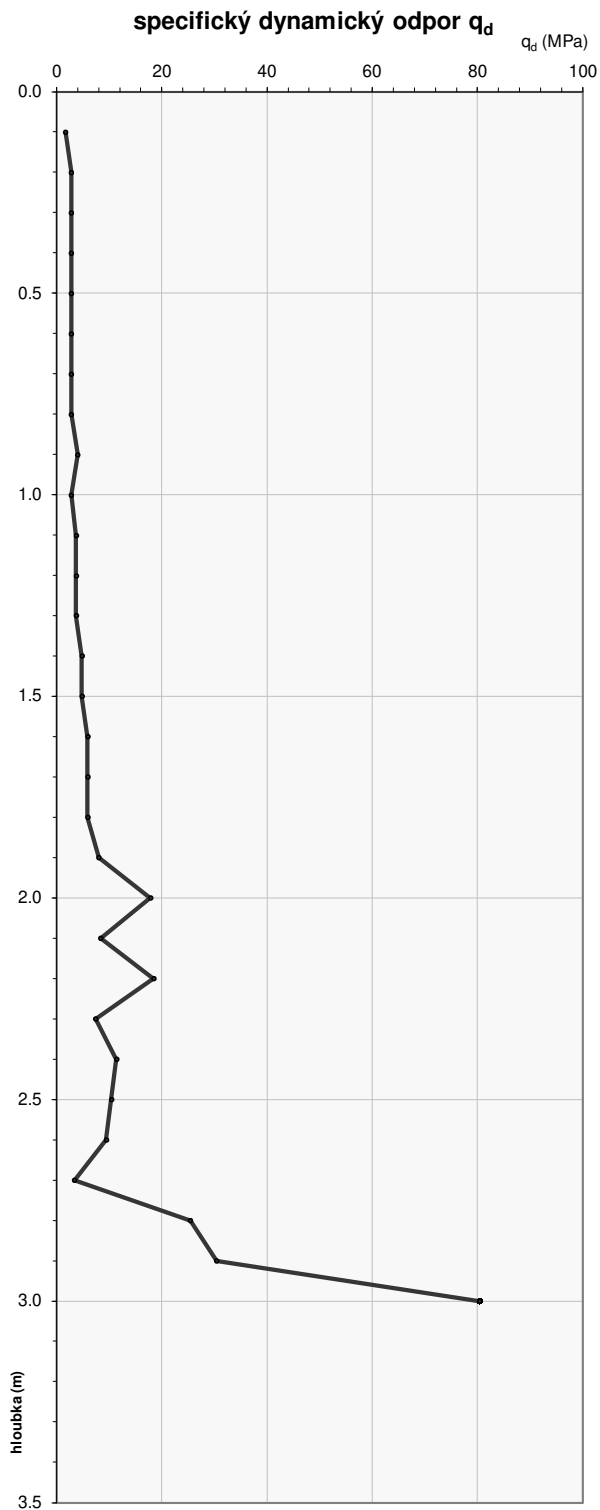
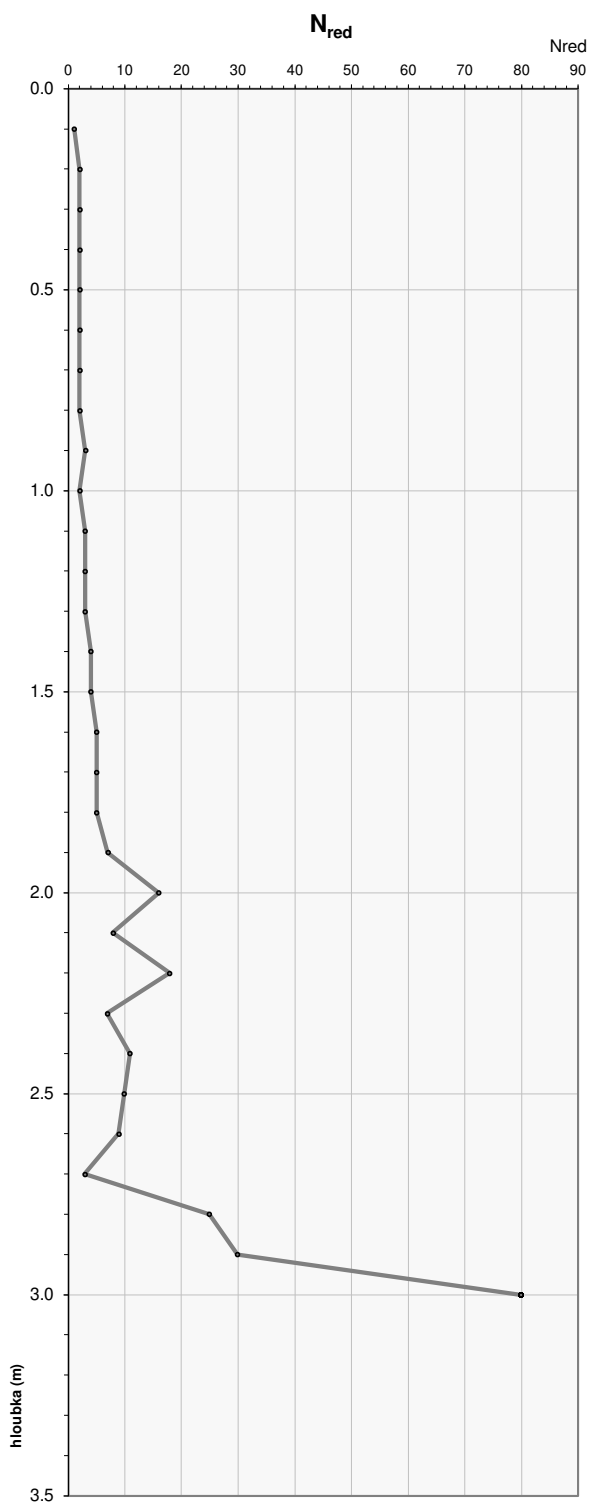
OBR. 1.1

akce : Valašská Polanka - Horní Lideč, IG průzkum
zak.č. : 2022 - 165
lokalizace : X=1170029.19 Y=493219.61 Z=446.55

doplňující informace :

hladina podzemní vody pod terénem <nezastižena> m

0



KOMENTÁŘ

-

DYNAMICKÁ PENETRACE

akce : Valašská Polanka - Horní Lideč, IG průzkum
zak.č. : 2022 - 165
lokalizace : X=1170033.58 Y=493200.91 Z=458.24

sonda : DP135

TABULKA Č. 1.1

souřadnice :

X = 1 170 033.58
0 Y = 493 200.91
Z = 458.24

doplňující informace :

datum provedení penetrační sondy : 9.8.2022

provedl : Luboš Holub

vyhodnotil : Luboš Holub

hmotnost beranu (kg) 50.00

výška pádu beranu 0.50 m

hladina podzemní vody pod terénem <nezastižena> m
kužel (hrot) na ztraceno

hloubka (m)	N _x	N _{xred}	q _d (MPa)	hloubka (m)	N _x	N _{xred}	q _d (MPa)	hloubka (m)	N _x	N _{xred}	q _d (MPa)	hloubka (m)	N _x	N _{xred}	q _d (MPa)	hloubka (m)	N _x	N _{xred}	q _d (MPa)
0.1	4	4.0	5.2	3.2	3	2.9	3.2	6.3	11	10.7	8.8								
0.2	7	7.0	8.7	3.3	4	3.9	4.1	6.4	11	10.7	8.8								
0.3	10	10.0	12.3	3.4	4	3.9	4.1	6.5	13	12.7	10.3								
0.4	25	25.0	30.1	3.5	4	3.9	4.1	6.6	14	13.7	11.0								
0.5	30	30.0	36.0	3.6	5	4.9	5.0	6.7	14	13.7	11.0								
0.6	34	34.0	40.8	3.7	5	4.9	5.0	6.8	18	17.7	14.1								
0.7	30	30.0	36.0	3.8	5	4.9	5.0	6.9	18	17.7	14.1								
0.8	28	28.0	33.7	3.9	7	6.9	6.9	7.0	20	19.7	15.6								
0.9	13	13.0	15.9	4.0	8	7.9	7.8	7.1	20	19.6	14.7								
1.0	8	8.0	9.9	4.1	7	6.8	6.5	7.2	19	18.6	14.0								
1.1	8	8.0	9.1	4.2	7	6.8	6.5	7.3	18	17.6	13.3								
1.2	5	5.0	5.9	4.3	8	7.8	7.3	7.4	18	17.6	13.3								
1.3	5	5.0	5.9	4.4	7	6.8	6.5	7.5	20	19.6	14.7								
1.4	6	6.0	6.9	4.5	7	6.8	6.5	7.6	19	18.6	14.0								
1.5	4	4.0	4.8	4.6	8	7.8	7.3	7.7	24	23.6	17.6								
1.6	2	2.0	2.6	4.7	7	6.8	6.5	7.8	23	22.6	16.9								
1.7	1	1.0	1.5	4.8	7	6.8	6.5	7.9	23	22.6	16.9								
1.8	1	1.0	1.5	4.9	8	7.8	7.3	8.0	22	21.6	16.2								
1.9	1	1.0	1.5	5.0	8	7.8	7.3	8.1	20	19.5	14.0								
2.0	3	3.0	3.7	5.1	8	7.8	6.9	8.2	19	18.5	13.3								
2.1	2	1.9	2.4	5.2	9	8.8	7.7	8.3	22	21.5	15.3								
2.2	1	0.9	1.4	5.3	9	8.8	7.7	8.4	20	19.5	14.0								
2.3	1	0.9	1.4	5.4	9	8.8	7.7	8.5	20	19.5	14.0								
2.4	2	1.9	2.4	5.5	10	9.8	8.5	8.6	21	20.5	14.7								
2.5	2	1.9	2.4	5.6	10	9.8	8.5	8.7	19	18.5	13.3								
2.6	2	1.9	2.4	5.7	10	9.8	8.5	8.8	20	19.5	14.0								
2.7	3	2.9	3.4	5.8	11	10.8	9.3												
2.8	4	3.9	4.4	5.9	11	10.8	9.3												
2.9	3	2.9	3.4	6.0	11	10.8	9.3												
3.0	3	2.9	3.4	6.1	10	9.7	8.0												
3.1	4	3.9	4.1	6.2	11	10.7	8.8												

DYNAMICKÁ PENETRACE

(počet redukovaných úderů N_{red} ; specifický dynamický odpor q_d)

sonda : DP135

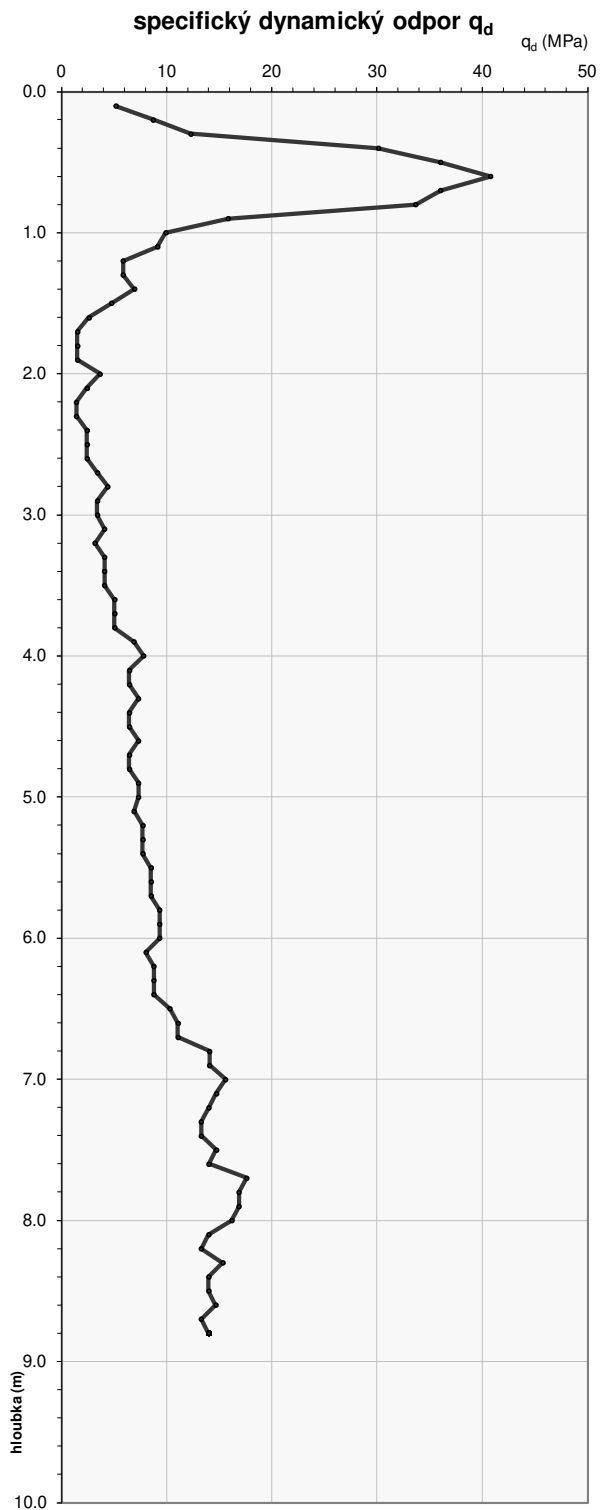
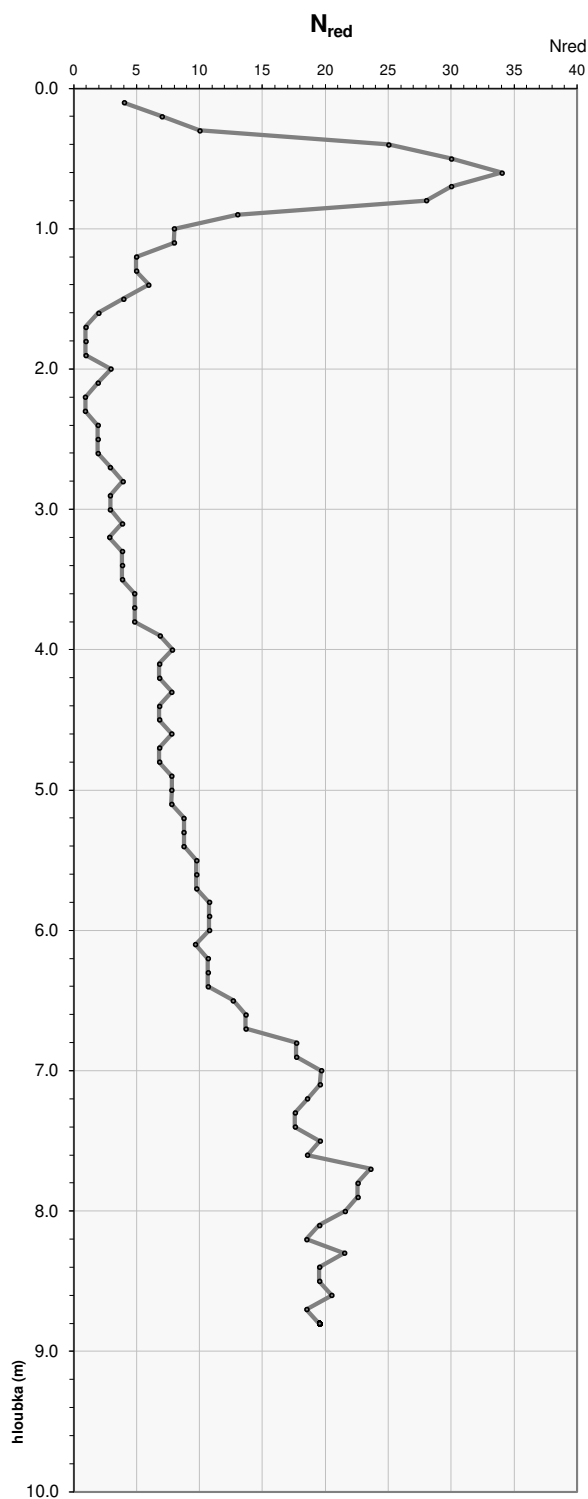
OBR. 1.1

akce : Valašská Polanka - Horní Lideč, IG průzkum
zak.č. : 2022 - 165
lokalizace : X=1170033.58 Y=493200.91 Z=458.24

doplňující informace :

hladina podzemní vody pod terénem <nezastižena> m

0



KOMENTÁŘ

-

DYNAMICKÁ PENETRACE

akce : Valašská Polanka - Horní Lideč, IG průzkum
zak.č. : 2022 - 165
lokalizace : X=1170009.2 Y=493196.72 Z=457.99

sonda : DP138

TABULKA Č. 1.1

doplňující informace :

datum provedení penetrační sondy : 9.8.2022

provedl : Luboš Holub

vyhodnotil : Luboš Holub

hmotnost beranu (kg) 50.00

výška pádu beranu 0.50 m

souřadnice :

X = 1 170 009.20

0 Y = 493 196.72

Z = 457.99

hladina podzemní vody pod terénem <nezastižena> m

kužel (hrot) na ztraceno

hloubka (m)	N _x	N _{xred}	q _d (MPa)	hloubka (m)	N _x	N _{xred}	q _d (MPa)	hloubka (m)	N _x	N _{xred}	q _d (MPa)	hloubka (m)	N _x	N _{xred}	q _d (MPa)	hloubka (m)	N _x	N _{xred}	q _d (MPa)
0.1	4	4.0	5.2	3.2	6	5.9	6.0												
0.2	8	8.0	9.9	3.3	9	8.9	8.8												
0.3	20	20.0	24.2	3.4	6	5.9	6.0												
0.4	20	20.0	24.2	3.5	8	7.9	7.8												
0.5	48	48.0	57.4	3.6	8	7.9	7.8												
0.6	26	26.0	31.3	3.7	10	9.9	9.7												
0.7	10	10.0	12.3	3.8	6	5.9	6.0												
0.8	7	7.0	8.7	3.9	18	17.9	17.1												
0.9	5	5.0	6.4	4.0	14	13.9	13.4												
1.0	5	5.0	6.4	4.1	12	11.8	10.8												
1.1	5	5.0	5.8	4.2	34	33.8	29.8												
1.2	4	4.0	4.8	4.3	35	34.8	30.7												
1.3	5	5.0	5.8	4.4	130	129.8	112.7												
1.4	3	3.0	3.7	4.5	150	149.8	130.0												
1.5	3	3.0	3.7																
1.6	4	4.0	4.8																
1.7	3	3.0	3.7																
1.8	3	3.0	3.7																
1.9	1	1.0	1.5																
2.0	2	2.0	2.6																
2.1	2	1.9	2.4																
2.2	2	1.9	2.4																
2.3	2	1.9	2.4																
2.4	3	2.9	3.4																
2.5	5	4.9	5.4																
2.6	5	4.9	5.4																
2.7	4	3.9	4.4																
2.8	5	4.9	5.4																
2.9	8	7.9	8.4																
3.0	9	8.9	9.4																
3.1	8	7.9	7.8																

DYNAMICKÁ PENETRACE

(počet redukovaných úderů N_{red} ; specifický dynamický odpor q_d)

sonda : DP138

OBR. 1.1

akce : Valašská Polanka - Horní Lideč, IG průzkum

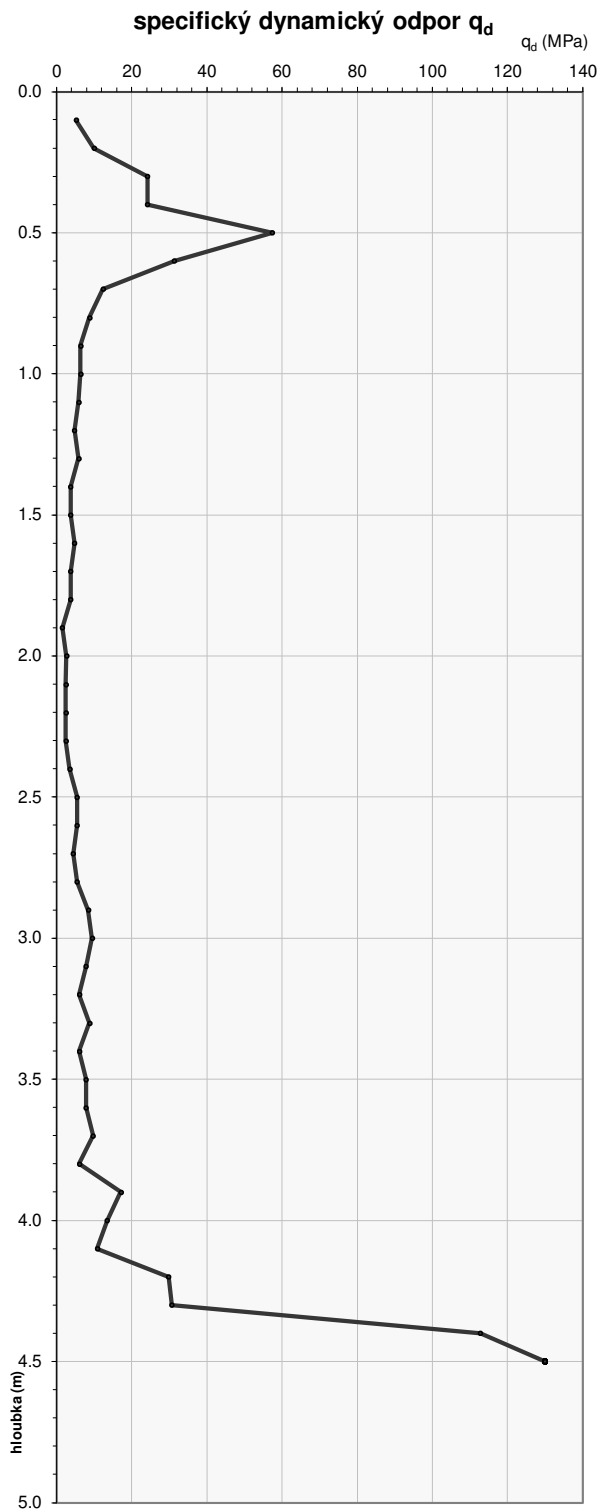
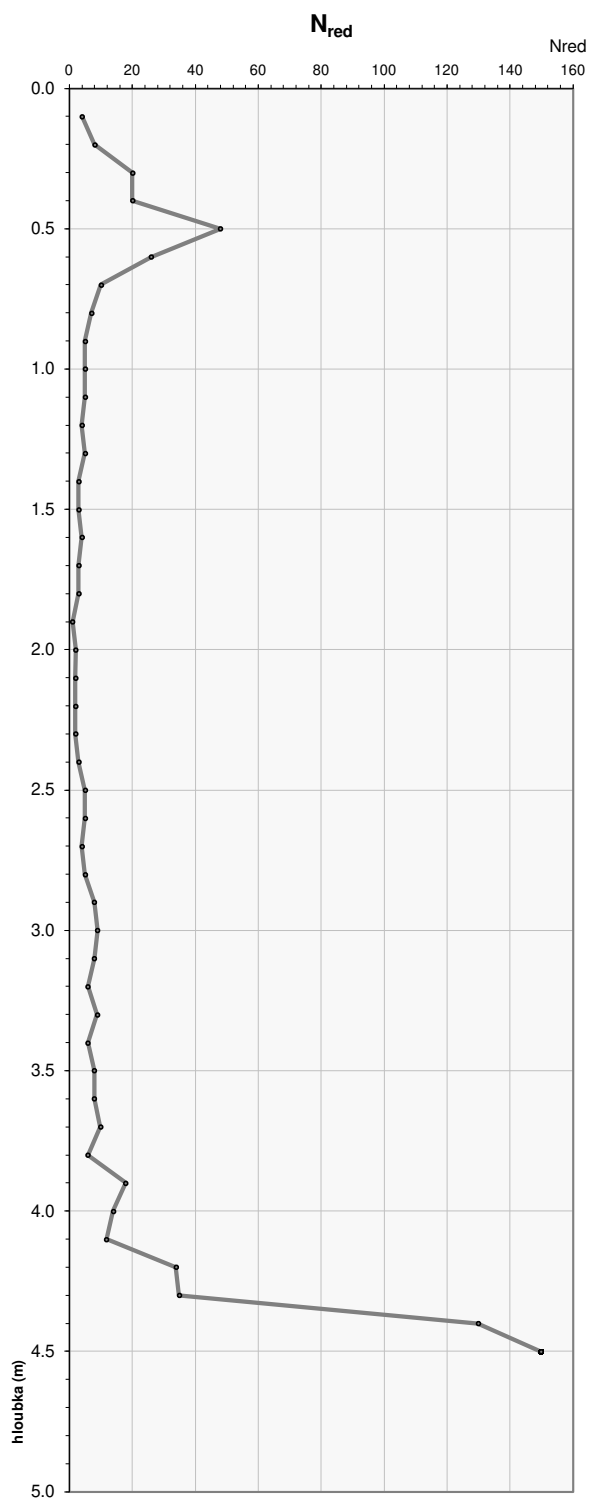
zak.č. : 2022 - 165

lokalizace : X=1170009.2 Y=493196.72 Z=457.99

doplňující informace :

hladina podzemní vody pod terénem <nezastižena> m

0



KOMENTÁŘ

-

DYNAMICKÁ PENETRACE

akce : Valašská Polanka - Horní Lideč, IG průzkum
zak.č. : 2022 - 165
lokalizace : X=1170009.2 Y=493196.72 Z=457.99

sonda : DP138a

TABULKA Č. 1.1

doplňující informace :

datum provedení penetrační sondy : 9.8.2022

provedl : Luboš Holub

vyhodnotil : Luboš Holub

hmotnost beranu (kg) 50.00

výška pádu beranu 0.50 m

souřadnice :

X = 1 170 009.20
0 Y = 493 196.72
Z = 457.99

hladina podzemní vody pod terénem <nezastižena> m

kužel (hrot) na ztraceno

hloubka (m)	N _x	N _{xred}	q _d (MPa)	hloubka (m)	N _x	N _{xred}	q _d (MPa)	hloubka (m)	N _x	N _{xred}	q _d (MPa)	hloubka (m)	N _x	N _{xred}	q _d (MPa)	hloubka (m)	N _x	N _{xred}	q _d (MPa)
0.1	2	2.0	2.8	3.2	5	4.8	4.9												
0.2	5	5.0	6.3	3.3	5	4.8	4.9												
0.3	23	23.0	27.7	3.4	4	3.8	4.0												
0.4	28	28.0	33.6	3.5	5	4.8	4.9												
0.5	40	40.0	47.9	3.6	6	5.8	5.9												
0.6	40	40.0	47.9	3.7	7	6.8	6.8												
0.7	47	47.0	56.2	3.8	8	7.8	7.7												
0.8	20	20.0	24.1	3.9	8	7.8	7.7												
0.9	14	14.0	17.0	4.0	8	7.8	7.7												
1.0	9	9.0	11.1	4.1	10	9.7	8.9												
1.1	6	5.9	6.9	4.2	20	19.7	17.6												
1.2	3	2.9	3.6	4.3	14	13.7	12.4												
1.3	2	1.9	2.5	4.4	15	14.7	13.2												
1.4	2	1.9	2.5	4.5	25	24.7	21.9												
1.5	2	1.9	2.5	4.6	22	21.7	19.3												
1.6	1	0.9	1.4	4.7	22	21.7	19.3												
1.7	2	1.9	2.5	4.8	23	22.7	20.2												
1.8	2	1.9	2.5	4.9	24	23.7	21.0												
1.9	3	2.9	3.6	5.0	22	21.7	19.3												
2.0	3	2.9	3.6	5.1	28	27.5	22.9												
2.1	3	2.8	3.3	5.2	24	23.5	19.6												
2.2	4	3.8	4.3	5.3	29	28.5	23.7												
2.3	3	2.8	3.3	5.4	28	27.5	22.9												
2.4	7	6.8	7.3	5.5	44	43.5	35.8												
2.5	12	11.8	12.3	5.6	40	39.5	32.6												
2.6	12	11.8	12.3	5.7	44	43.5	35.8												
2.7	14	13.8	14.3	5.8	37	36.5	30.1												
2.8	13	12.8	13.3																
2.9	20	19.8	20.3																
3.0	33	32.8	33.3																
3.1	17	16.8	16.1																

DYNAMICKÁ PENETRACE

(počet redukováných úderů N_{red} ; specifický dynamický odpor q_d)

sonda : DP138a

OBR. 1.1

akce : Valašská Polanka - Horní Lideč, IG průzkum

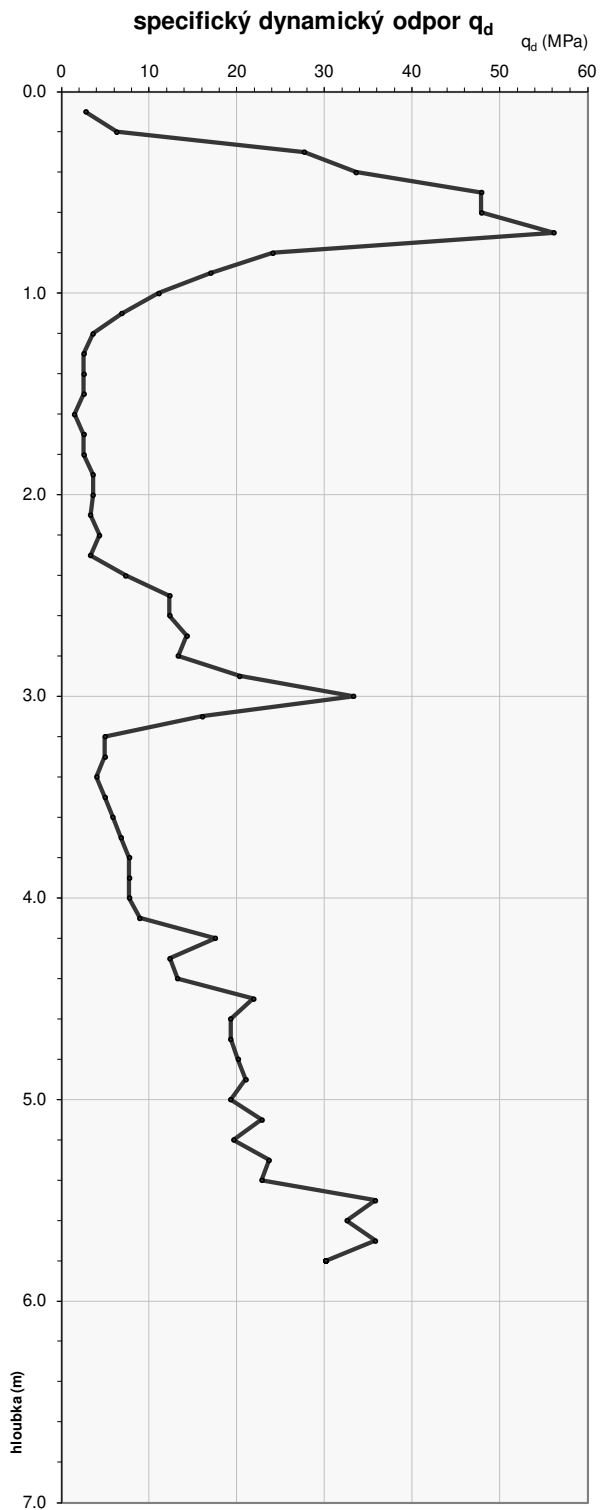
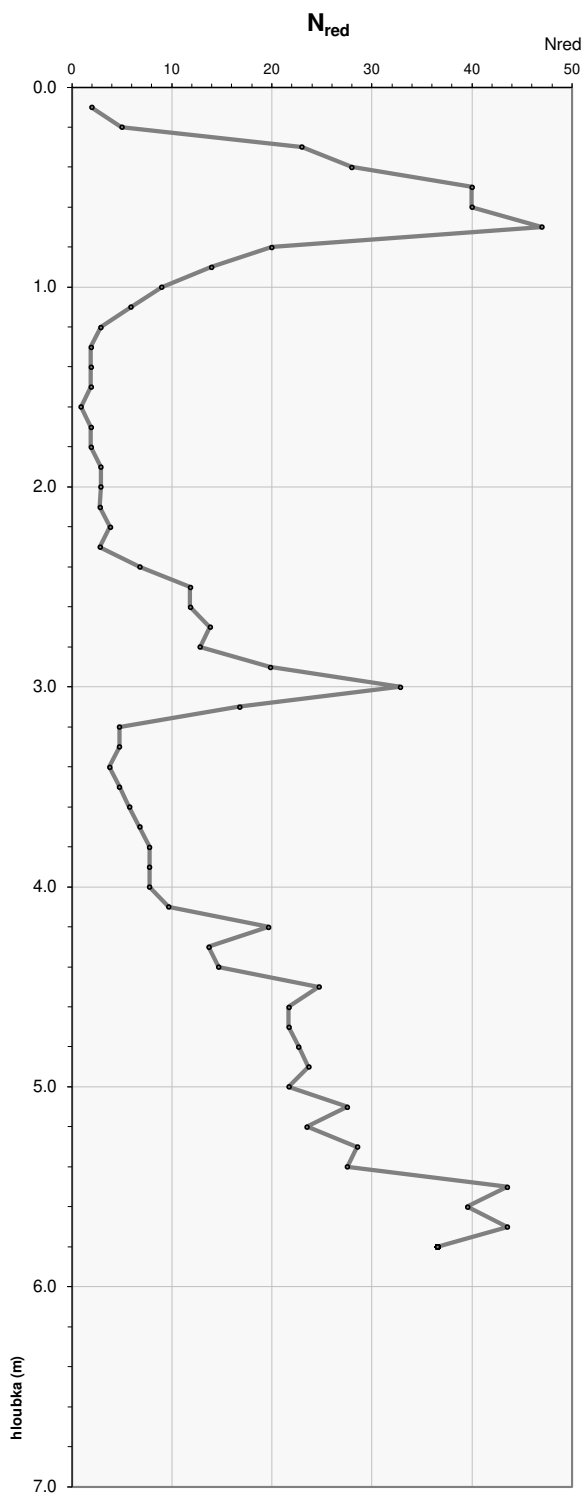
zak.č. : 2022 - 165

lokalizace : X=1170009.2 Y=493196.72 Z=457.99

doplňující informace :

hladina podzemní vody pod terénem <nezastižena> m

0



KOMENTÁŘ

-

DYNAMICKÁ PENETRACE

akce : Valašská Polanka - Horní Lideč, IG průzkum
zak.č. : 2022 - 165
lokalizace : X=1170015.97 Y=493176.18 Z=459.61

sonda : DP139

TABULKA Č. 1.1

souřadnice :

X = 1 170 015.97
0 Y = 493 176.18
Z = 459.61

doplňující informace :

datum provedení penetrační sondy : 28.7.2022

provedl : Luboš Holub

vyhodnotil : Luboš Holub

hmotnost beranu (kg) 50.00

výška pádu beranu 0.50 m

hladina podzemní vody pod terénem <nezastižena> m
kužel (hrot) na ztraceno

hloubka (m)	N _x	N _{xred}	q _d (MPa)	hloubka (m)	N _x	N _{xred}	q _d (MPa)	hloubka (m)	N _x	N _{xred}	q _d (MPa)	hloubka (m)	N _x	N _{xred}	q _d (MPa)	hloubka (m)	N _x	N _{xred}	q _d (MPa)
0.1	2	2.0	2.8	3.2	9	8.8	8.7	6.3	12	11.8	9.6	9.4	22	21.8	14.8				
0.2	3	3.0	4.0	3.3	9	8.8	8.7	6.4	11	10.8	8.9	9.5	22	21.8	14.8				
0.3	4	4.0	5.2	3.4	11	10.8	10.6	6.5	13	12.8	10.4	9.6	24	23.8	16.1				
0.4	4	4.0	5.2	3.5	11	10.8	10.6	6.6	13	12.8	10.4	9.7	24	23.8	16.1				
0.5	4	4.0	5.2	3.6	11	10.8	10.6	6.7	14	13.8	11.2	9.8	21	20.8	14.2				
0.6	4	4.0	5.2	3.7	13	12.8	12.4	6.8	14	13.8	11.2	9.9	23	22.8	15.5				
0.7	5	5.0	6.4	3.8	13	12.8	12.4	6.9	17	16.8	13.4	10.0	24	23.8	16.1				
0.8	3	3.0	4.0	3.9	14	13.8	13.3	7.0	37	36.8	28.6	10.1	28	27.9	17.9				
0.9	4	4.0	5.2	4.0	14	13.8	13.3	7.1	34	33.8	25.0	10.2	30	29.9	19.1				
1.0	3	3.0	4.0	4.1	14	13.8	12.5	7.2	27	26.8	19.9	10.3	28	27.9	17.9				
1.1	2	1.9	2.5	4.2	13	12.8	11.7	7.3	20	19.8	14.9	10.4	29	28.9	18.5				
1.2	2	1.9	2.5	4.3	9	8.8	8.2	7.4	20	19.8	14.9	10.5	14	13.9	9.3				
1.3	2	1.9	2.5	4.4	8	7.8	7.3	7.5	25	24.8	18.5	10.6	19	18.9	12.4				
1.4	2	1.9	2.5	4.5	9	8.8	8.2	7.6	21	20.8	15.6	10.7	23	22.9	14.8				
1.5	2	1.9	2.5	4.6	9	8.8	8.2	7.7	19	18.8	14.2	10.8	22	21.9	14.2				
1.6	16	15.9	17.7	4.7	12	11.8	10.8	7.8	16	15.8	12.0								
1.7	11	10.9	12.3	4.8	14	13.8	12.5	7.9	16	15.8	12.0								
1.8	5	4.9	5.8	4.9	21	20.8	18.6	8.0	12	11.8	9.2								
1.9	5	4.9	5.8	5.0	22	21.8	19.4	8.1	16	15.8	11.5								
2.0	5	4.9	5.8	5.1	20	19.8	16.6	8.2	19	18.8	13.5								
2.1	4	3.8	4.3	5.2	19	18.8	15.8	8.3	18	17.8	12.8								
2.2	5	4.8	5.3	5.3	24	23.8	19.9	8.4	19	18.8	13.5								
2.3	5	4.8	5.3	5.4	21	20.8	17.4	8.5	18	17.8	12.8								
2.4	11	10.8	11.3	5.5	16	15.8	13.4	8.6	24	23.8	16.9								
2.5	18	17.8	18.3	5.6	15	14.8	12.6	8.7	32	31.8	22.3								
2.6	22	21.8	22.3	5.7	16	15.8	13.4	8.8	30	29.8	21.0								
2.7	11	10.8	11.3	5.8	16	15.8	13.4	8.9	22	21.8	15.5								
2.8	6	5.8	6.3	5.9	16	15.8	13.4	9.0	26	25.8	18.3								
2.9	8	7.8	8.3	6.0	13	12.8	11.0	9.1	30	29.8	20.0								
3.0	8	7.8	8.3	6.1	14	13.8	11.2	9.2	34	33.8	22.6								
3.1	9	8.8	8.7	6.2	12	11.8	9.6	9.3	25	24.8	16.8								

DYNAMICKÁ PENETRACE

(počet redukovaných úderů N_{red} ; specifický dynamický odpor q_d)

sonda : DP139

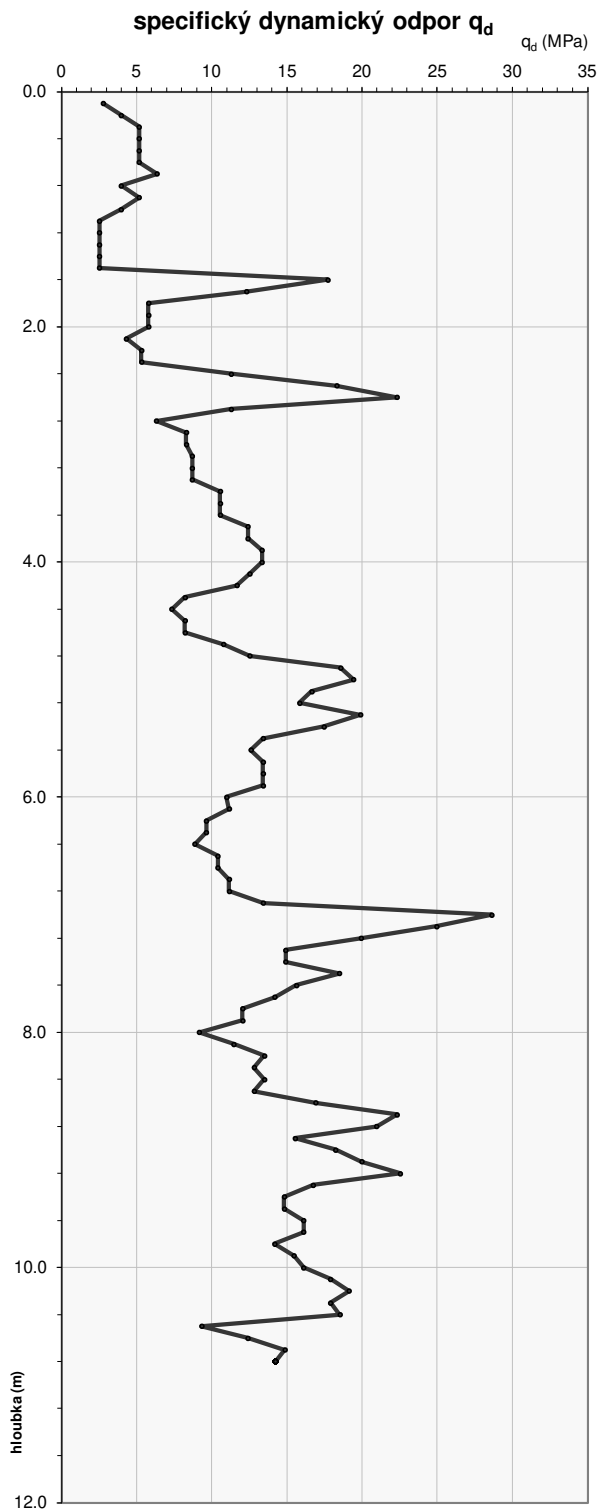
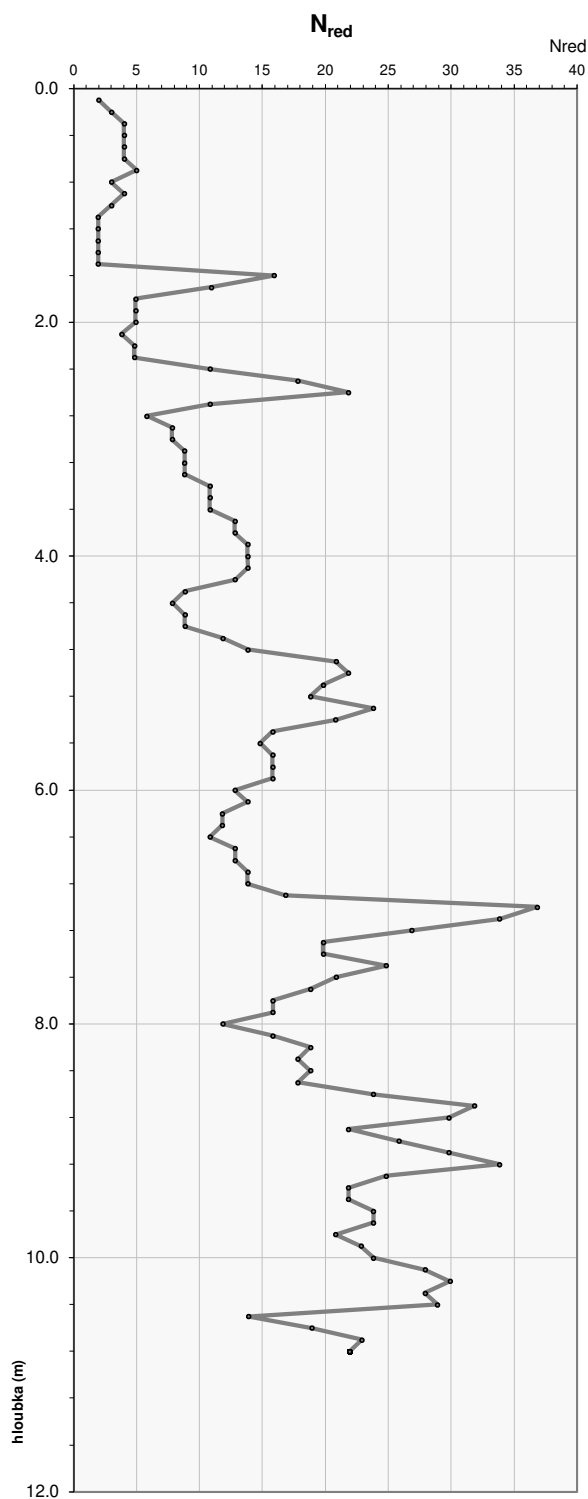
OBR. 1.1

akce : Valašská Polanka - Horní Lideč, IG průzkum
zak.č. : 2022 - 165
lokalizace : X=1170015.97 Y=493176.18 Z=459.61

doplňující informace :

hladina podzemní vody pod terénem <nezastižena> m

0



KOMENTÁŘ

-

DYNAMICKÁ PENETRACE

akce : Valašská Polanka - Horní Lideč, IG průzkum
zak.č. : 2022 - 165
lokalizace : X=1169991.95 Y=493213.3 Z=450.01

sonda : DP140

TABULKA Č. 1.1

doplňující informace :

datum provedení penetrační sondy : 10.8.2022

provedl : Luboš Holub

vyhodnotil : Luboš Holub

hmotnost beranu (kg) 50.00

výška pádu beranu 0.50 m

souřadnice :

X = 1 169 991.95
0 Y = 493 213.30
Z = 450.01

hladina podzemní vody pod terénem <nezastižena> m
kužel (hrot) na ztraceno

hloubka (m)	N _x	N _{xred}	q _d (MPa)	hloubka (m)	N _x	N _{xred}	q _d (MPa)	hloubka (m)	N _x	N _{xred}	q _d (MPa)	hloubka (m)	N _x	N _{xred}	q _d (MPa)	hloubka (m)	N _x	N _{xred}	q _d (MPa)
0.1	1	1.0	1.6																
0.2	2	2.0	2.8																
0.3	3	3.0	4.0																
0.4	10	10.0	12.3																
0.5	5	5.0	6.4																
0.6	7	7.0	8.7																
0.7	5	5.0	6.4																
0.8	4	4.0	5.2																
0.9	6	6.0	7.5																
1.0	7	7.0	8.7																
1.1	6	6.0	6.9																
1.2	7	7.0	8.0																
1.3	9	9.0	10.2																
1.4	8	8.0	9.1																
1.5	11	11.0	12.4																
1.6	12	12.0	13.5																
1.7	12	12.0	13.5																
1.8	9	9.0	10.2																
1.9	10	10.0	11.3																
2.0	9	9.0	10.2																
2.1	13	12.8	13.3																
2.2	13	12.8	13.3																
2.3	20	19.8	20.3																
2.4	20	19.8	20.3																
2.5	26	25.8	26.3																
2.6	22	21.8	22.3																
2.7	27	26.8	27.3																
2.8	23	22.8	23.3																
2.9	40	39.8	40.3																
3.0	100	99.8	100.3																

DYNAMICKÁ PENETRACE

(počet redukovaných úderů N_{red} ; specifický dynamický odpor q_d)

sonda : DP140

OBR. 1.1

akce : Valašská Polanka - Horní Lideč, IG průzkum

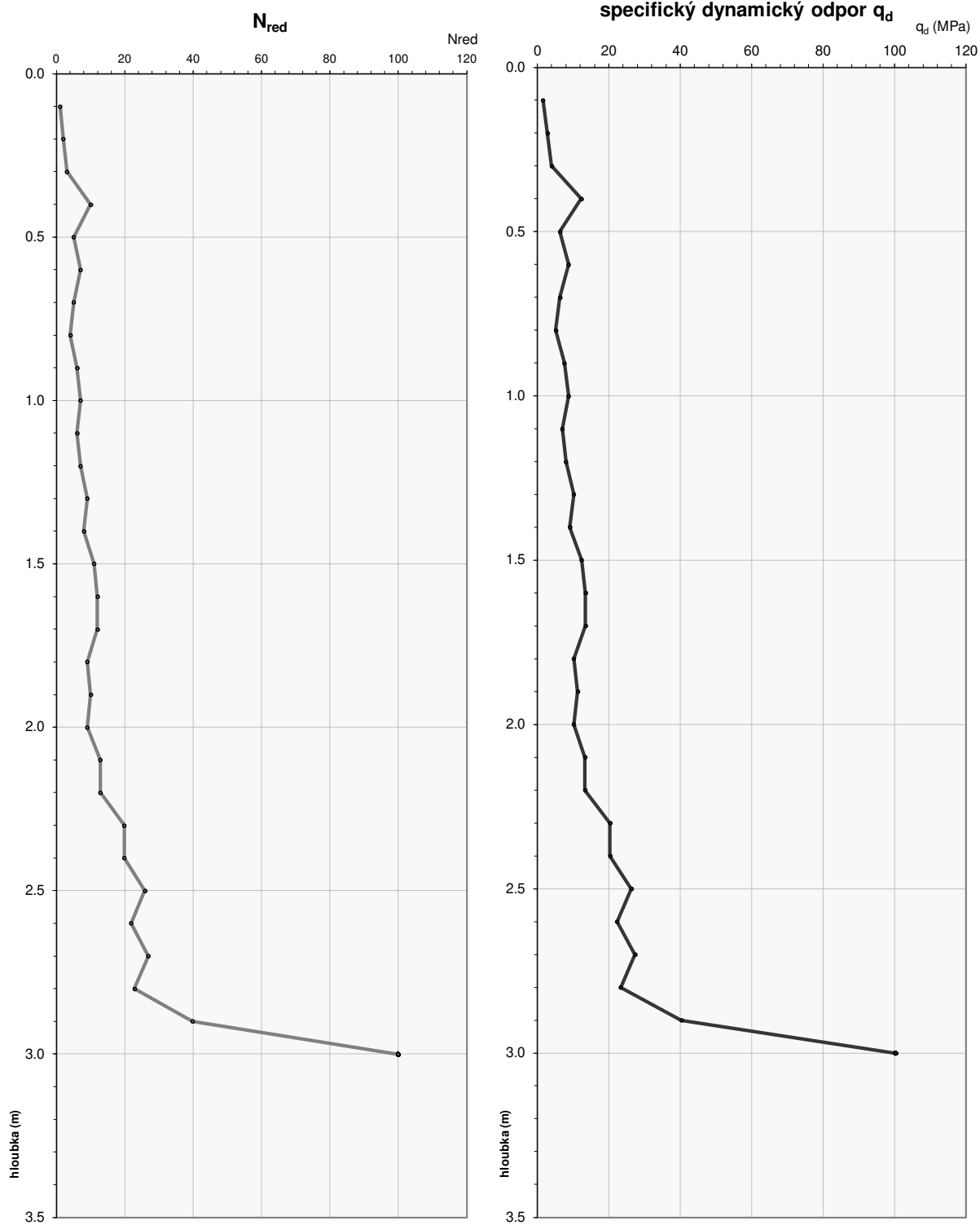
zak.č. : 2022 - 165

lokalizace : X=1169991.95 Y=493213.3 Z=450.01

doplňující informace :

hladina podzemní vody pod terénem <nezastižena> m

0



KOMENTÁŘ

-

DYNAMICKÁ PENETRACE

akce : Valašská Polanka - Horní Lideč, IG průzkum
zak.č. : 2022 - 165
lokalizace : X=1169928.44 Y=493191.73 Z=457.46

sonda : DP142

TABULKA Č. 1.1

doplňující informace :

datum provedení penetrační sondy : 10.8.2022

provedl : Luboš Holub

vyhodnotil : Luboš Holub

hmotnost beranu (kg) 50.00

výška pádu beranu 0.50 m

souřadnice :

X = 1 169 928.44
0 Y = 493 191.73
Z = 457.46

hladina podzemní vody pod terénem <nezastižena> m
kužel (hrot) na ztraceno

hloubka (m)	N _x	N _{xred}	q _d (MPa)	hloubka (m)	N _x	N _{xred}	q _d (MPa)	hloubka (m)	N _x	N _{xred}	q _d (MPa)	hloubka (m)	N _x	N _{xred}	q _d (MPa)	hloubka (m)	N _x	N _{xred}	q _d (MPa)
0.1	2	2.0	2.8																
0.2	4	4.0	5.2																
0.3	8	8.0	9.9																
0.4	9	9.0	11.1																
0.5	14	14.0	17.0																
0.6	8	8.0	9.9																
0.7	6	6.0	7.5																
0.8	5	5.0	6.4																
0.9	5	5.0	6.4																
1.0	6	6.0	7.5																
1.1	4	3.9	4.7																
1.2	4	3.9	4.7																
1.3	7	6.9	8.0																
1.4	10	9.9	11.2																
1.5	16	15.9	17.7																
1.6	10	9.9	11.2																
1.7	7	6.9	8.0																
1.8	10	9.9	11.2																
1.9	10	9.9	11.2																
2.0	10	9.9	11.2																
2.1	17	16.8	17.3																
2.2	10	9.8	10.3																
2.3	8	7.8	8.3																
2.4	11	10.8	11.3																
2.5	17	16.8	17.3																
2.6	70	69.8	70.3																
2.7	78	77.8	78.3																
2.8	100	99.8	100.3																

DYNAMICKÁ PENETRACE

(počet redukovaných úderů N_{red} ; specifický dynamický odpor q_d)

sonda : DP142

OBR. 1.1

akce : Valašská Polanka - Horní Lideč, IG průzkum

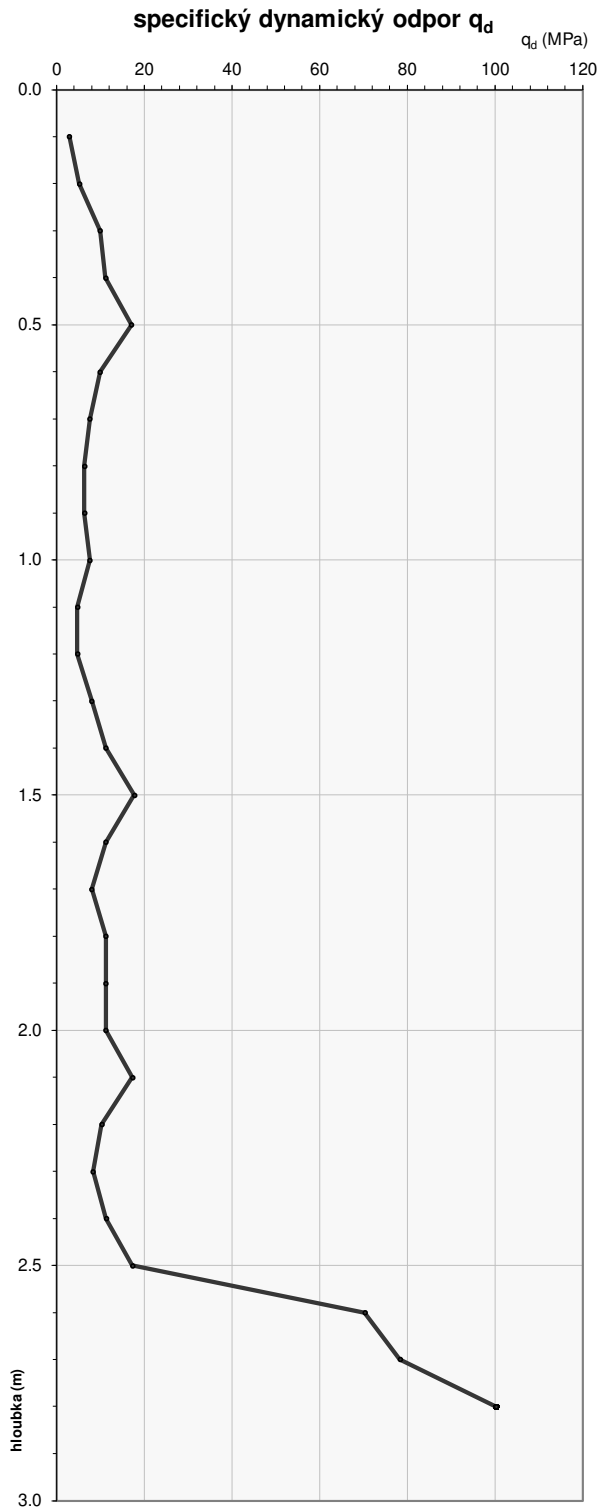
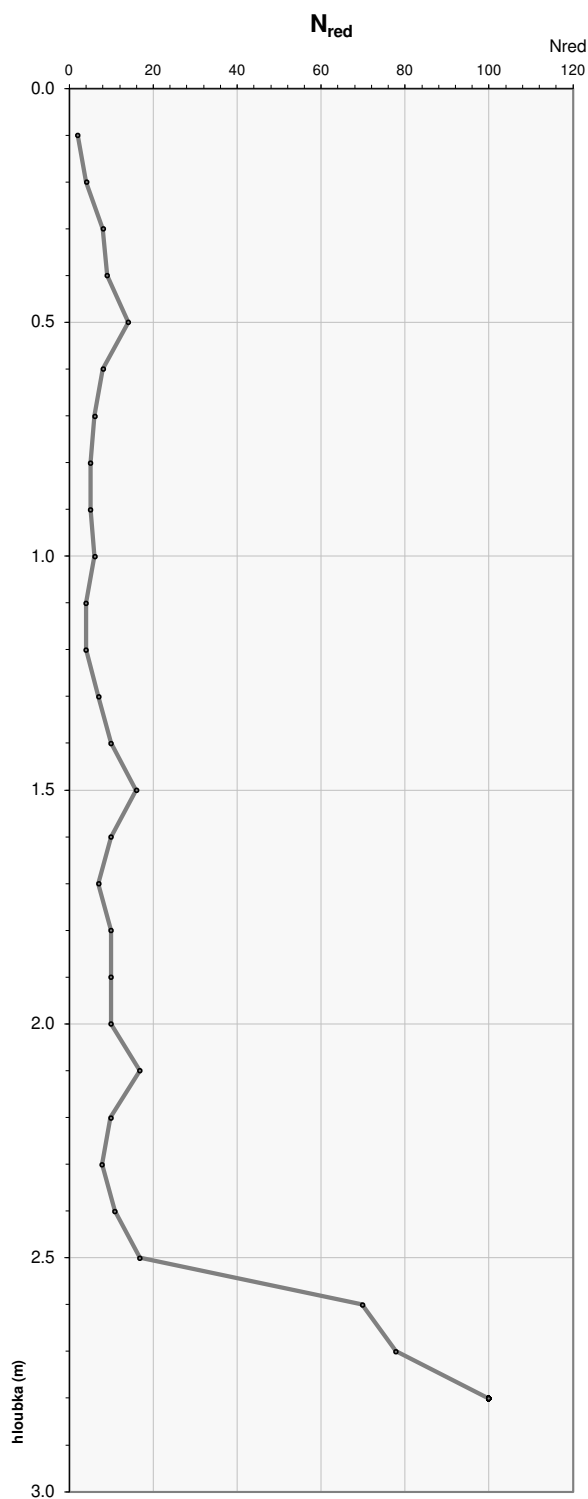
zak.č. : 2022 - 165

lokalizace : X=1169928.44 Y=493191.73 Z=457.46

doplňující informace :

hladina podzemní vody pod terénem <nezastižena> m

0



KOMENTÁŘ

-

DYNAMICKÁ PENETRACE

akce : Valašská Polanka - Horní Lideč, IG průzkum
zak.č. : 2022 - 165
lokalizace : X=1169831.04 Y=493197.58 Z=456.89

sonda : DP143

TABULKA Č. 1.1

doplňující informace :

datum provedení penetrační sondy : 10.8.2022

provedl : Luboš Holub

vyhodnotil : Luboš Holub

hmotnost beranu (kg) 50.00

výška pádu beranu 0.50 m

souřadnice :

X = 1 169 831.04
0 Y = 493 197.58
Z = 456.89

hladina podzemní vody pod terénem 3.50 m

kužel (hrot) na ztraceno

hloubka (m)	N _x	N _{xred}	q _d (MPa)	hloubka (m)	N _x	N _{xred}	q _d (MPa)	hloubka (m)	N _x	N _{xred}	q _d (MPa)	hloubka (m)	N _x	N _{xred}	q _d (MPa)	hloubka (m)	N _x	N _{xred}	q _d (MPa)
0.1	4	4.0	5.1	3.2	30	29.6	27.9												
0.2	5	5.0	6.3	3.3	10	9.6	9.4												
0.3	11	11.0	13.4	3.4	14	13.6	13.1												
0.4	15	15.0	18.2	3.5	12	11.6	11.3												
0.5	15	15.0	18.2	3.6	14	13.6	13.1												
0.6	16	16.0	19.4	3.7	14	13.6	13.1												
0.7	39	39.0	46.7	3.8	17	16.6	15.9												
0.8	16	16.0	19.4																
0.9	6	6.0	7.5																
1.0	3	3.0	3.9																
1.1	3	2.8	3.5																
1.2	3	2.8	3.5																
1.3	3	2.8	3.5																
1.4	3	2.8	3.5																
1.5	7	6.8	7.8																
1.6	6	5.8	6.7																
1.7	7	6.8	7.8																
1.8	7	6.8	7.8																
1.9	10	9.8	11.1																
2.0	10	9.8	11.1																
2.1	11	10.6	11.1																
2.2	11	10.6	11.1																
2.3	12	11.6	12.1																
2.4	13	12.6	13.1																
2.5	10	9.6	10.1																
2.6	10	9.6	10.1																
2.7	14	13.6	14.1																
2.8	14	13.6	14.1																
2.9	12	11.6	12.1																
3.0	28	27.6	28.1																
3.1	20	19.6	18.7																

DYNAMICKÁ PENETRACE

(počet redukovaných úderů N_{red} ; specifický dynamický odpor q_d)

sonda : DP143

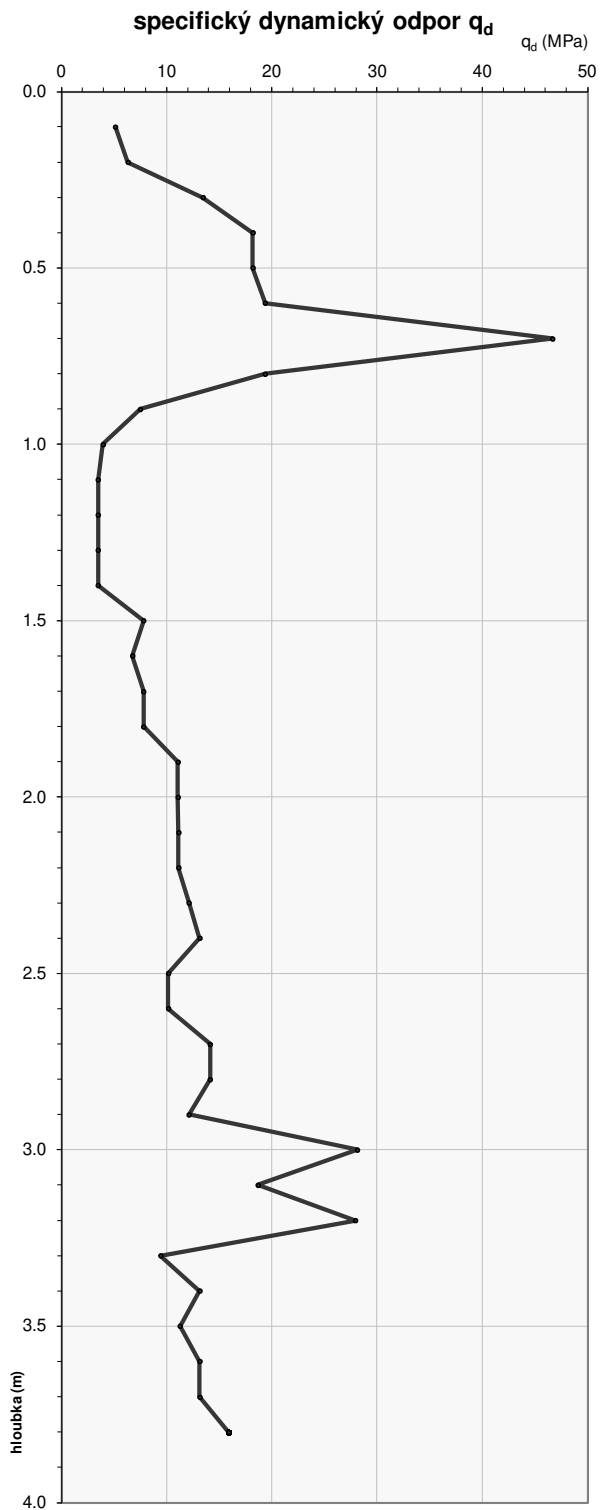
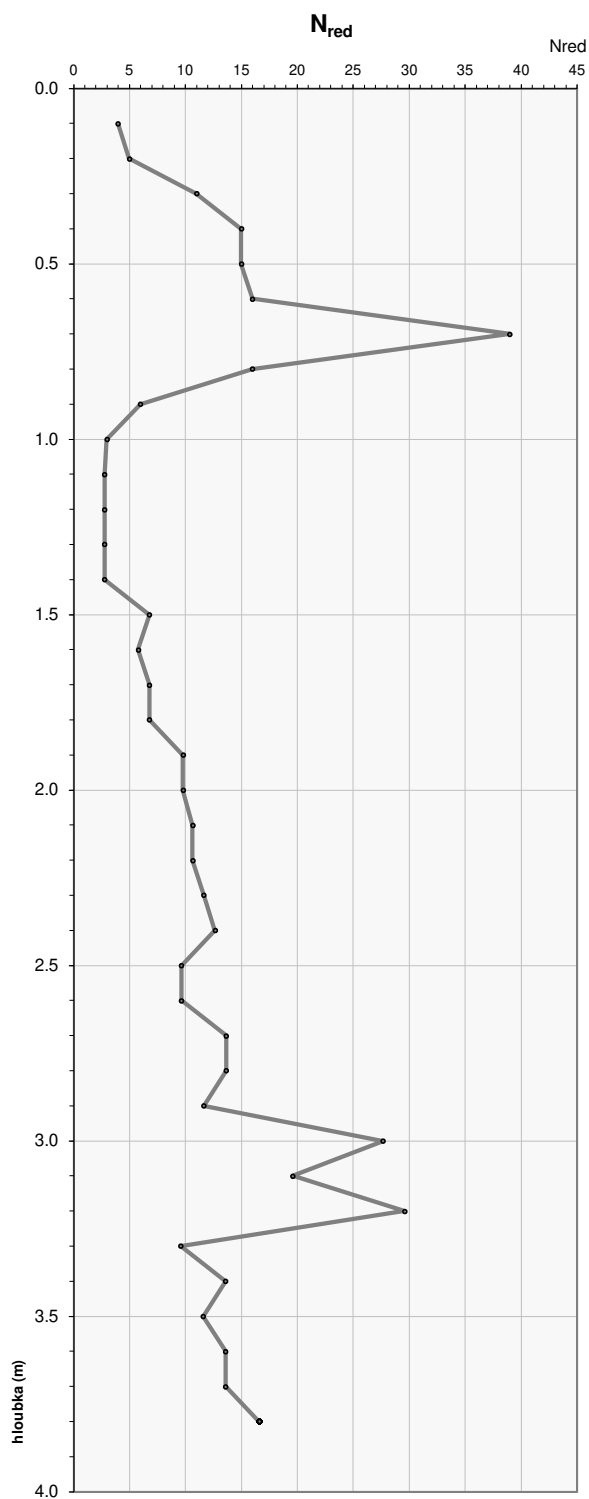
OBR. 1.1

akce : Valašská Polanka - Horní Lideč, IG průzkum
zak.č. : 2022 - 165
lokalizace : X=1169831.04 Y=493197.58 Z=456.89

doplňující informace :

hladina podzemní vody pod terénem 3.50 m

0



KOMENTÁŘ

-

DYNAMICKÁ PENETRACE

akce : Valašská Polanka - Horní Lideč, IG průzkum
zak.č. : 2022 - 165
lokalizace : X=1169742.12 Y=493204.13 Z=456.32

sonda : DP144

TABULKA Č. 1.1

doplňující informace :

datum provedení penetrační sondy : 10.8.2022

provedl : Luboš Holub

vyhodnotil : Luboš Holub

hmotnost beranu (kg) 50.00

výška pádu beranu 0.50 m

souřadnice :

X = 1 169 742.12
0 Y = 493 204.13
Z = 456.32

hladina podzemní vody pod terénem <nezastižena> m
kužel (hrot) na ztraceno

hloubka (m)	N _x	N _{xred}	q _d (MPa)	hloubka (m)	N _x	N _{xred}	q _d (MPa)	hloubka (m)	N _x	N _{xred}	q _d (MPa)	hloubka (m)	N _x	N _{xred}	q _d (MPa)	hloubka (m)	N _x	N _{xred}	q _d (MPa)
0.1	6	6.0	7.5																
0.2	7	7.0	8.7																
0.3	13	13.0	15.8																
0.4	12	12.0	14.6																
0.5	13	13.0	15.8																
0.6	56	56.0	66.8																
0.7	13	13.0	15.8																
0.8	10	10.0	12.2																
0.9	8	8.0	9.9																
1.0	11	11.0	13.4																
1.1	10	9.8	11.1																
1.2	15	14.8	16.6																
1.3	13	12.8	14.4																
1.4	13	12.8	14.4																
1.5	14	13.8	15.5																
1.6	13	12.8	14.4																
1.7	13	12.8	14.4																
1.8	12	11.8	13.3																
1.9	15	14.8	16.6																
2.0	29	28.8	31.7																
2.1	38	37.6	38.1																
2.2	37	36.6	37.1																
2.3	38	37.6	38.1																
2.4	44	43.6	44.1																
2.5	35	34.6	35.1																
2.6	34	33.6	34.1																
2.7	40	39.6	40.1																
2.8	30	29.6	30.1																

DYNAMICKÁ PENETRACE

(počet redukovaných úderů N_{red} ; specifický dynamický odpor q_d)

sonda : DP144

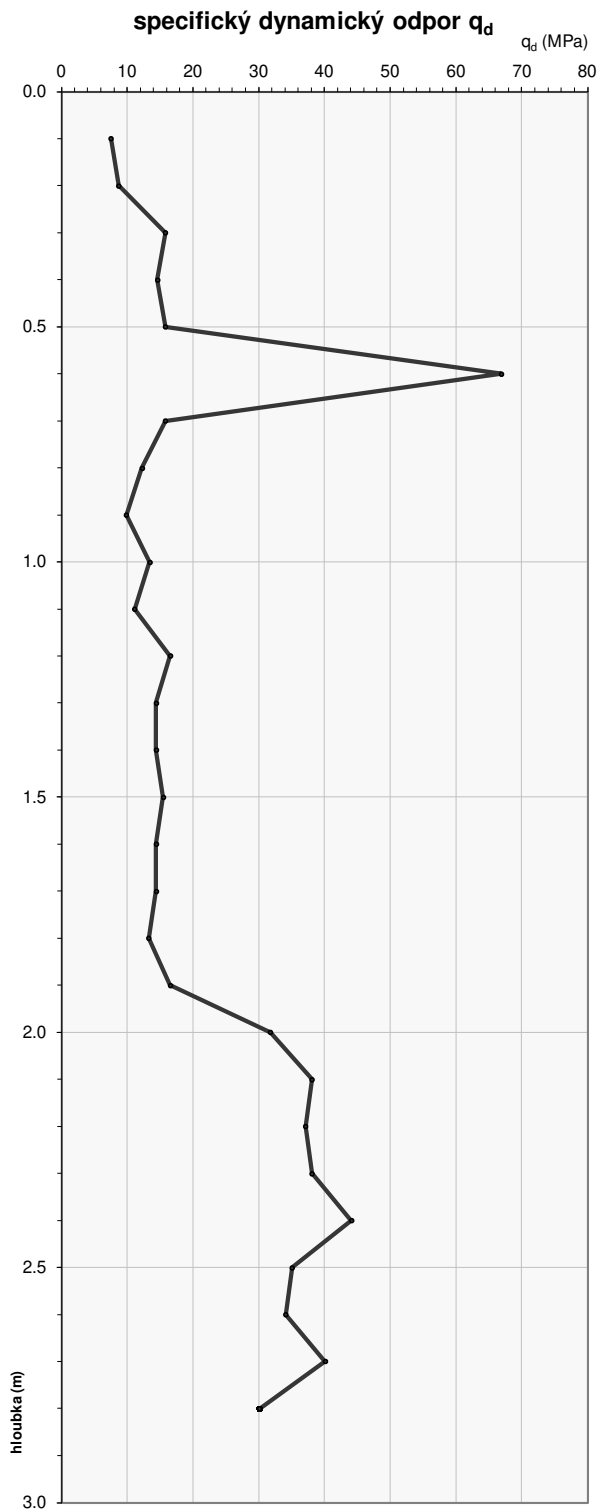
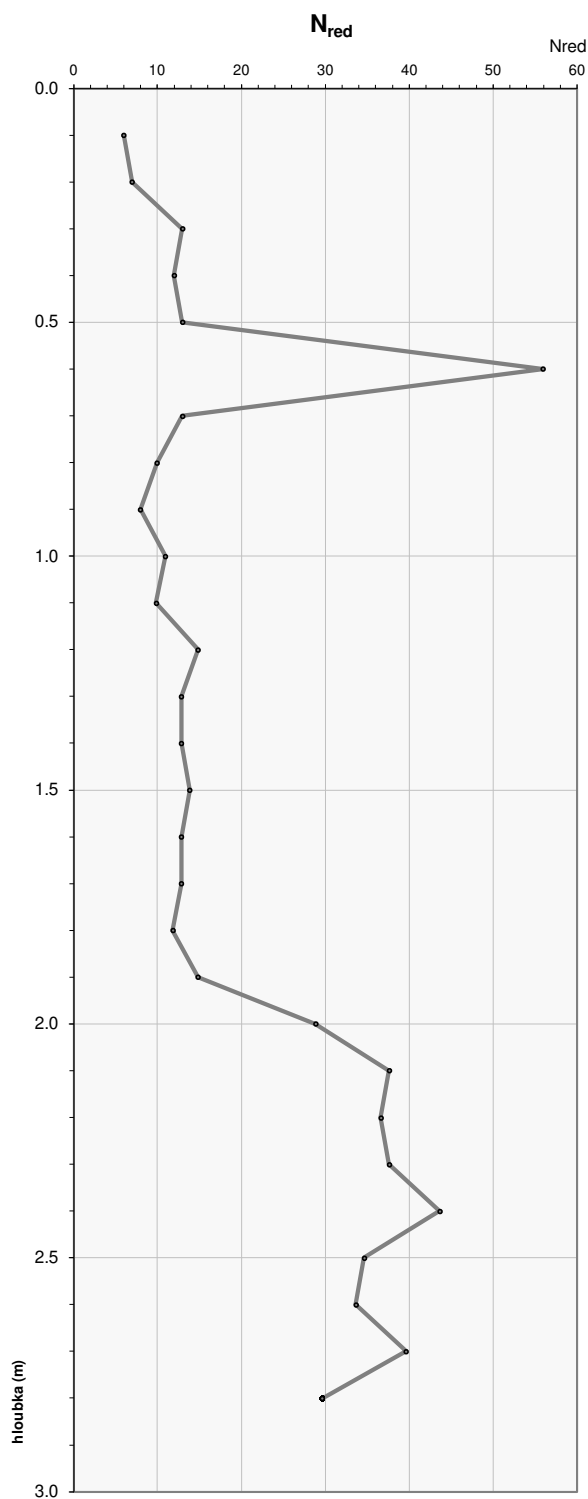
OBR. 1.1

akce : Valašská Polanka - Horní Lideč, IG průzkum
zak.č. : 2022 - 165
lokalizace : X=1169742.12 Y=493204.13 Z=456.32

doplňující informace :

hladina podzemní vody pod terénem <nezastižena> m

0



KOMENTÁŘ

-

DYNAMICKÁ PENETRACE

akce : Valašská Polanka - Horní Lideč, IG průzkum
zak.č. : 2022 - 165
lokalizace : X=1169966.13 Y=493208.51 Z=454.25

sonda : DP145

TABULKA Č. 1.1

doplňující informace :

datum provedení penetrační sondy : 10.8.2022

provedl : Luboš Holub

vyhodnotil : Luboš Holub

hmotnost beranu (kg) 50.00

výška pádu beranu 0.50 m

souřadnice :

X = 1 169 966.13

0 Y = 493 208.51

Z = 454.25

hladina podzemní vody pod terénem <nezastižena> m

kužel (hrot) na ztraceno

hloubka (m)	N _x	N _{xred}	q _d (MPa)	hloubka (m)	N _x	N _{xred}	q _d (MPa)	hloubka (m)	N _x	N _{xred}	q _d (MPa)	hloubka (m)	N _x	N _{xred}	q _d (MPa)	hloubka (m)	N _x	N _{xred}	q _d (MPa)
0.1	0	0.0	0.4	3.2	5	4.9	5.1												
0.2	1	1.0	1.6	3.3	6	5.9	6.0												
0.3	4	4.0	5.2	3.4	8	7.9	7.8												
0.4	4	4.0	5.2	3.5	11	10.9	10.6												
0.5	5	5.0	6.4	3.6	13	12.9	12.5												
0.6	4	4.0	5.2	3.7	13	12.9	12.5												
0.7	5	5.0	6.4	3.8	14	13.9	13.4												
0.8	6	6.0	7.5	3.9	13	12.9	12.5												
0.9	6	6.0	7.5	4.0	21	20.9	19.9												
1.0	6	6.0	7.5	4.1	25	24.8	22.0												
1.1	8	8.0	9.1	4.2	30	29.8	26.3												
1.2	5	5.0	5.9	4.3	47	46.8	41.0												
1.3	8	8.0	9.1	4.4	60	59.8	52.2												
1.4	12	12.0	13.5	4.5	84	83.8	72.9												
1.5	12	12.0	13.5	4.6	100	99.8	86.8												
1.6	11	11.0	12.4																
1.7	6	6.0	6.9																
1.8	7	7.0	8.0																
1.9	8	8.0	9.1																
2.0	12	12.0	13.5																
2.1	11	10.9	11.4																
2.2	14	13.9	14.4																
2.3	15	14.9	15.4																
2.4	14	13.9	14.4																
2.5	14	13.9	14.4																
2.6	14	13.9	14.4																
2.7	11	10.9	11.4																
2.8	13	12.9	13.4																
2.9	11	10.9	11.4																
3.0	9	8.9	9.4																
3.1	7	6.9	6.9																

DYNAMICKÁ PENETRACE

(počet redukovaných úderů N_{red} ; specifický dynamický odpor q_d)

sonda : DP145

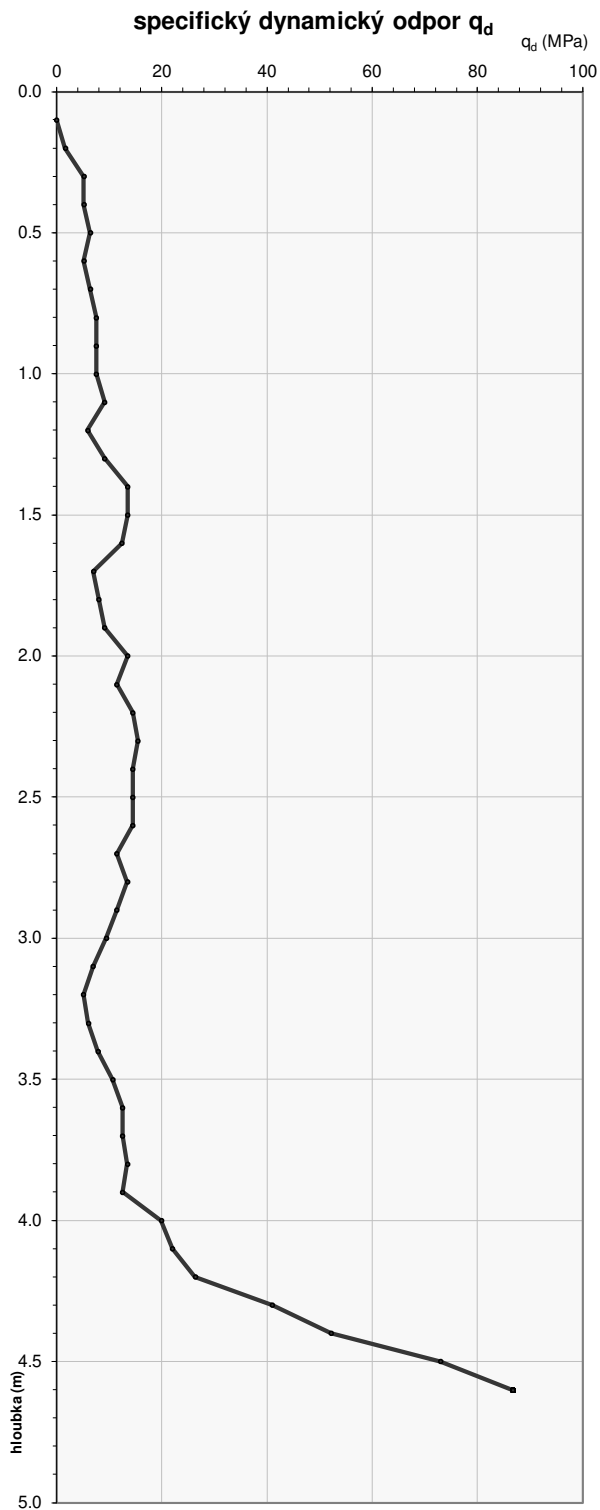
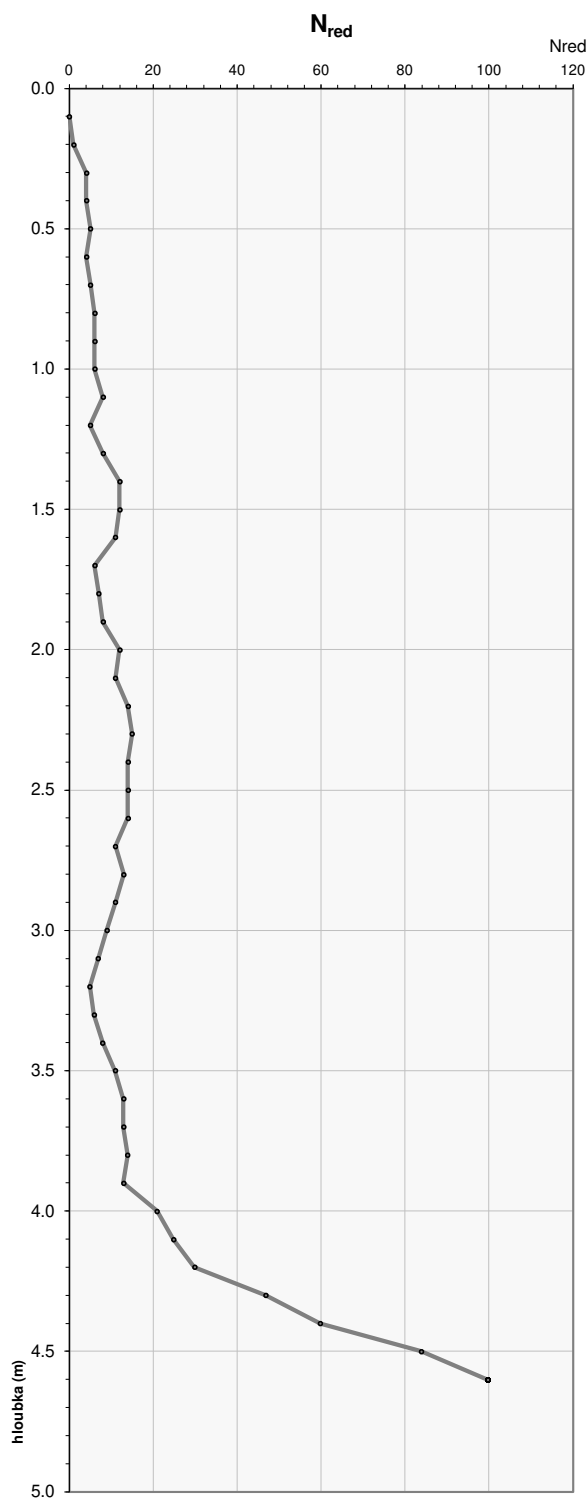
OBR. 1.1

akce : Valašská Polanka - Horní Lideč, IG průzkum
zak.č. : 2022 - 165
lokalizace : X=1169966.13 Y=493208.51 Z=454.25

doplňující informace :

hladina podzemní vody pod terénem <nezastižena> m

0



KOMENTÁŘ

-

akce : Valašská Polanka - Horní Lideč, IG průzkum
zak.č. : 2022 - 165
lokalizace : X=1170232.41 Y=493268.48 Z=454.13

TABULKA Č. 1.1

X =	1 170 232.41
Y =	493 268.48
Z =	454.13

hladina podzemní vody pod terénem <nezastižena> m
kužel (hrot) na ztraceno

hmotnost beranu (kg)

50.00

výška pádu beranu 0.50 m

GeoTec-GS,a.s.

DYNAMICKÁ PENETRACE

(počet redukováných úderů N_{red} ; specifický dynamický odpor q_d)

sonda : DP146

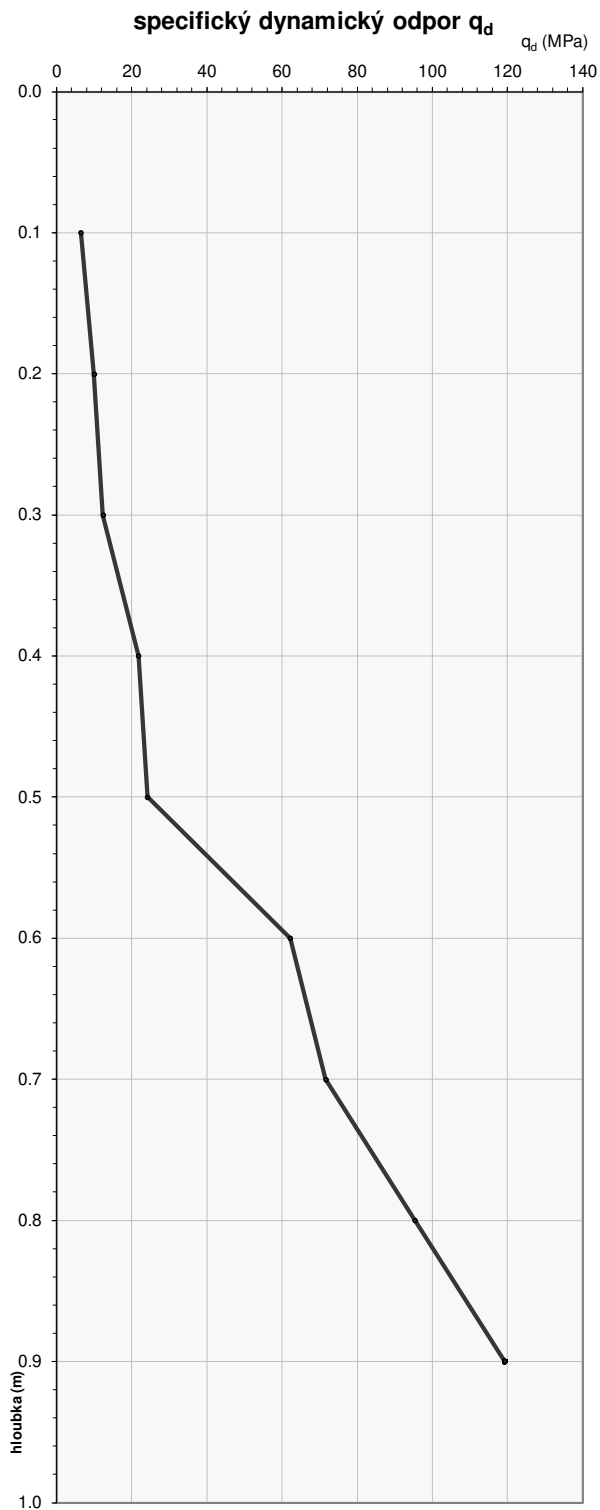
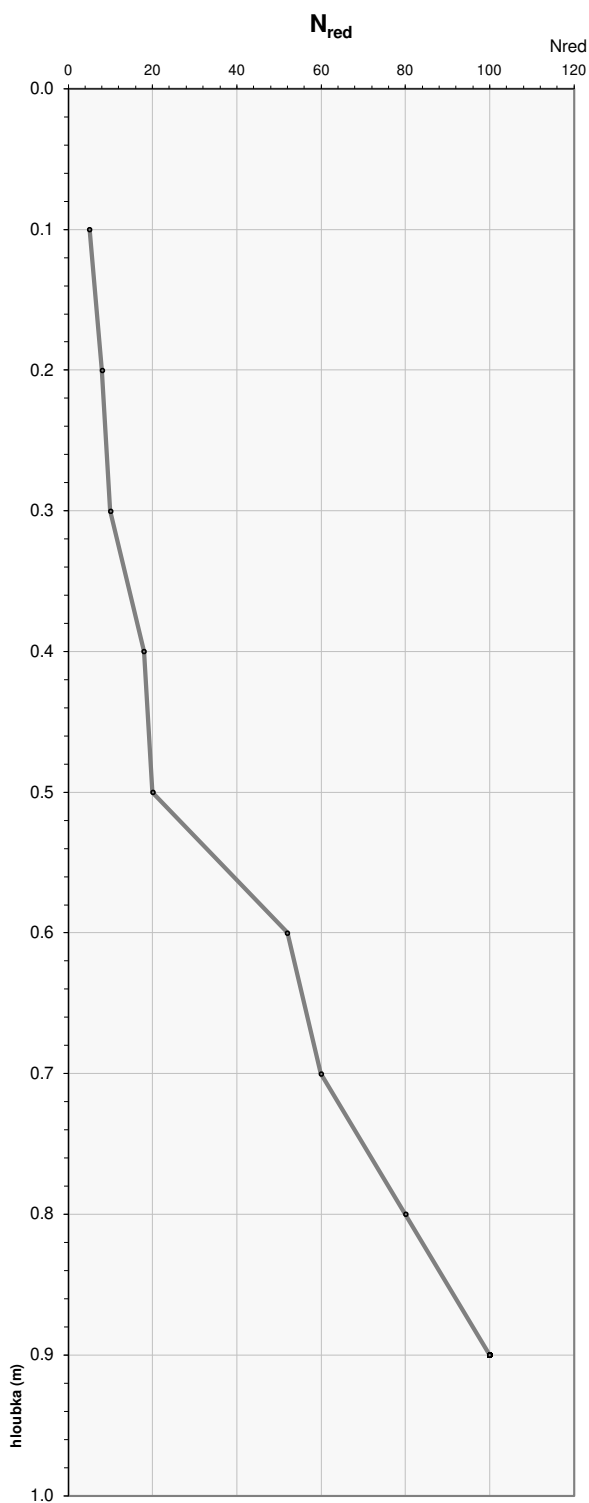
OBR. 1.1

akce : Valašská Polanka - Horní Lideč, IG průzkum
zak.č. : 2022 - 165
lokalizace : X=1170232.41 Y=493268.48 Z=454.13

doplňující informace :

hladina podzemní vody pod terénem <nezastižena> m

0



KOMENTÁŘ
0

DYNAMICKÁ PENETRACE

akce : Valašská Polanka - Horní Lideč, IG průzkum
zak.č. : 2022 - 165
lokalizace : X=1170243.97 Y=493279.13 Z=453.45

sonda : DP147

TABULKA Č. 1.1

doplňující informace :

datum provedení penetrační sondy : 28.7.2022

provedl : Luboš Holub

vyhodnotil : Luboš Holub

hmotnost beranu (kg) 50.00

výška pádu beranu 0.50 m

souřadnice :

X = 1 170 243.97
0 Y = 493 279.13
Z = 453.45

hladina podzemní vody pod terénem <nezastižena> m

kužel (hrot) na ztraceno

hloubka (m)	N _x	N _{xred}	q _d (MPa)	hloubka (m)	N _x	N _{xred}	q _d (MPa)	hloubka (m)	N _x	N _{xred}	q _d (MPa)	hloubka (m)	N _x	N _{xred}	q _d (MPa)	hloubka (m)	N _x	N _{xred}	q _d (MPa)
0.1	3	3.0	4.0	3.2	25	24.9	23.6												
0.2	4	4.0	5.2	3.3	24	23.9	22.7												
0.3	6	6.0	7.5	3.4	21	20.9	19.9												
0.4	6	6.0	7.5	3.5	22	21.9	20.8												
0.5	5	5.0	6.3	3.6	30	29.9	28.2												
0.6	5	5.0	6.3	3.7	30	29.9	28.2												
0.7	6	6.0	7.5	3.8	37	36.9	34.7												
0.8	7	7.0	8.7	3.9	30	29.9	28.2												
0.9	7	7.0	8.7	4.0	25	24.9	23.6												
1.0	7	7.0	8.7	4.1	33	32.8	28.9												
1.1	8	8.0	9.1	4.2	30	29.8	26.3												
1.2	9	9.0	10.2	4.3	54	53.8	47.0												
1.3	9	9.0	10.2	4.4	88	87.8	76.4												
1.4	9	9.0	10.2	4.5	120	119.8	104.0												
1.5	7	7.0	8.0																
1.6	7	7.0	8.0																
1.7	7	7.0	8.0																
1.8	5	5.0	5.9																
1.9	6	6.0	6.9																
2.0	6	6.0	6.9																
2.1	6	6.0	6.5																
2.2	6	6.0	6.5																
2.3	7	7.0	7.5																
2.4	8	8.0	8.5																
2.5	9	9.0	9.5																
2.6	10	10.0	10.5																
2.7	12	12.0	12.5																
2.8	10	10.0	10.5																
2.9	8	8.0	8.5																
3.0	8	8.0	8.5																
3.1	17	16.9	16.2																

DYNAMICKÁ PENETRACE

(počet redukovaných úderů N_{red} ; specifický dynamický odpor q_d)

sonda : DP147

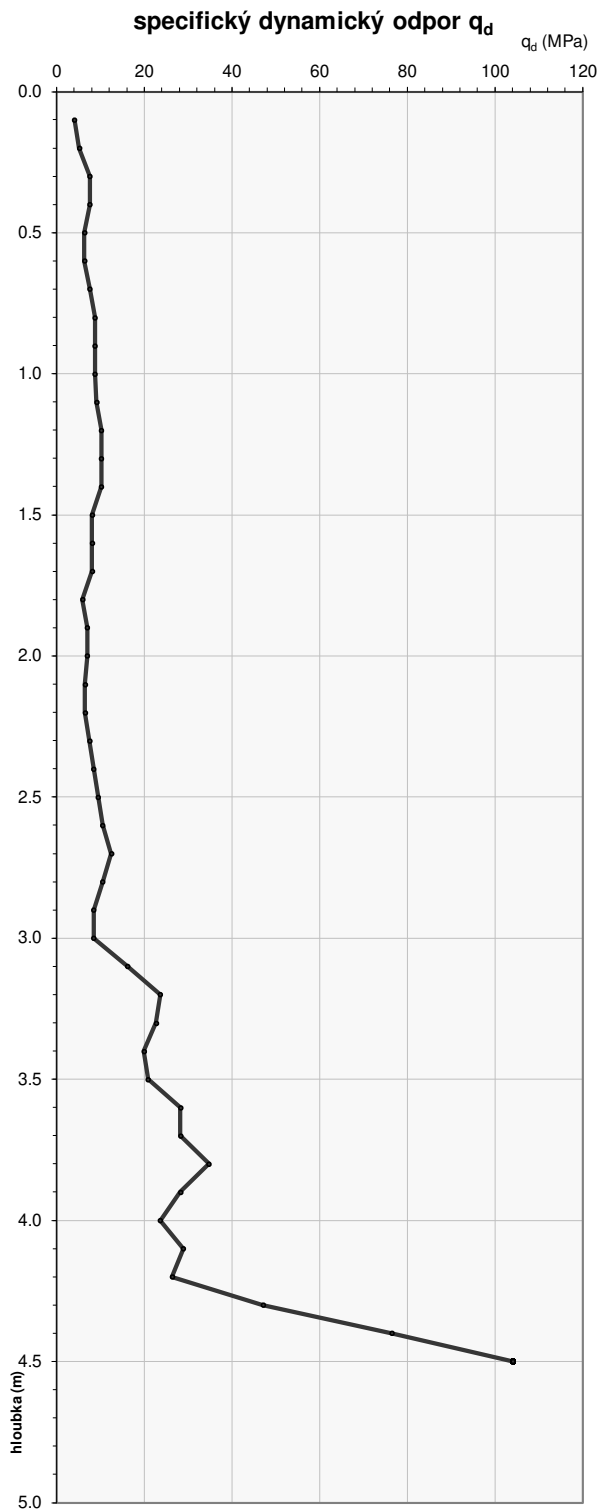
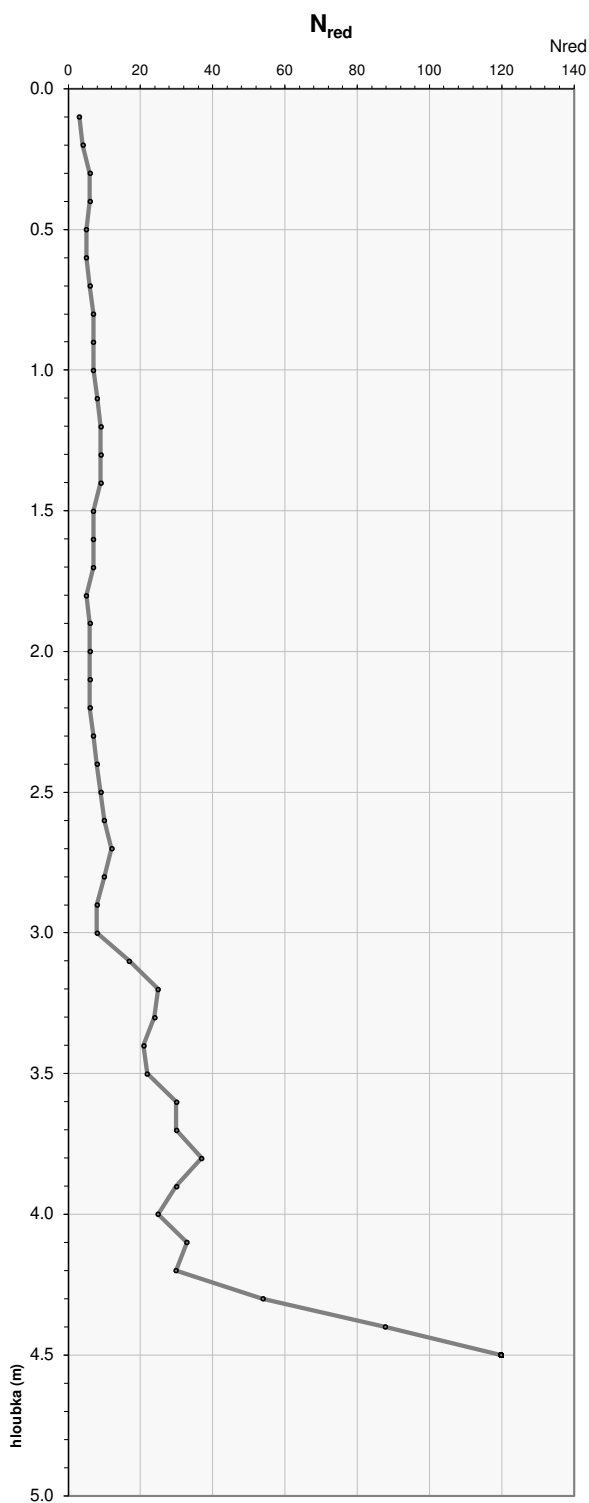
OBR. 1.1

akce : Valašská Polanka - Horní Lideč, IG průzkum
zak.č. : 2022 - 165
lokalizace : X=1170243.97 Y=493279.13 Z=453.45

doplňující informace :

hladina podzemní vody pod terénem <nezastižena> m

0



KOMENTÁŘ

0

DYNAMICKÁ PENETRACE

akce : Valašská Polanka - Horní Lideč, IG průzkum
zak.č. : 2022 - 165
lokalizace : X=1170178.78 Y=493253.54 Z=452.17

sonda : DP148

TABULKA Č. 1.1

doplňující informace :

datum provedení penetrační sondy : 11.8.2022

provedl : Luboš Holub

vyhodnotil : Luboš Holub

hmotnost beranu (kg) 50.00

výška pádu beranu 0.50 m

souřadnice :

X = 1 170 178.78
0 Y = 493 253.54
Z = 452.17

hladina podzemní vody pod terénem 5.20 m

kužel (hrot) na ztraceno

hloubka (m)	N _x	N _{xred}	q _d (MPa)	hloubka (m)	N _x	N _{xred}	q _d (MPa)	hloubka (m)	N _x	N _{xred}	q _d (MPa)	hloubka (m)	N _x	N _{xred}	q _d (MPa)	hloubka (m)	N _x	N _{xred}	q _d (MPa)
0.1	0	0.0	0.4	3.2	11	10.8	10.6												
0.2	3	3.0	4.0	3.3	11	10.8	10.6												
0.3	2	2.0	2.8	3.4	10	9.8	9.6												
0.4	4	4.0	5.2	3.5	11	10.8	10.6												
0.5	3	3.0	4.0	3.6	16	15.8	15.2												
0.6	4	4.0	5.2	3.7	38	37.8	35.6												
0.7	3	3.0	4.0	3.8	45	44.8	42.1												
0.8	3	3.0	4.0	3.9	26	25.8	24.5												
0.9	3	3.0	4.0	4.0	35	34.8	32.8												
1.0	3	3.0	4.0	4.1	20	19.7	17.6												
1.1	3	3.0	3.7	4.2	12	11.7	10.7												
1.2	3	3.0	3.7	4.3	19	18.7	16.8												
1.3	3	3.0	3.7	4.4	26	25.7	22.8												
1.4	4	4.0	4.8	4.5	27	26.7	23.7												
1.5	6	6.0	7.0	4.6	27	26.7	23.7												
1.6	5	5.0	5.9	4.7	28	27.7	24.5												
1.7	5	5.0	5.9	4.8	28	27.7	24.5												
1.8	5	5.0	5.9	4.9	28	27.7	24.5												
1.9	8	8.0	9.1	5.0	33	32.7	28.8												
2.0	13	13.0	14.6	5.1	41	40.8	33.6												
2.1	9	9.0	9.5	5.2	31	30.8	25.5												
2.2	9	9.0	9.5	5.3	24	23.8	19.9												
2.3	11	11.0	11.5	5.4	100	99.8	81.3												
2.4	11	11.0	11.5																
2.5	12	12.0	12.5																
2.6	12	12.0	12.5																
2.7	12	12.0	12.5																
2.8	11	11.0	11.5																
2.9	12	12.0	12.5																
3.0	11	11.0	11.5																
3.1	8	7.8	7.8																

DYNAMICKÁ PENETRACE

(počet redukovaných úderů N_{red} ; specifický dynamický odpor q_d)

sonda : DP148

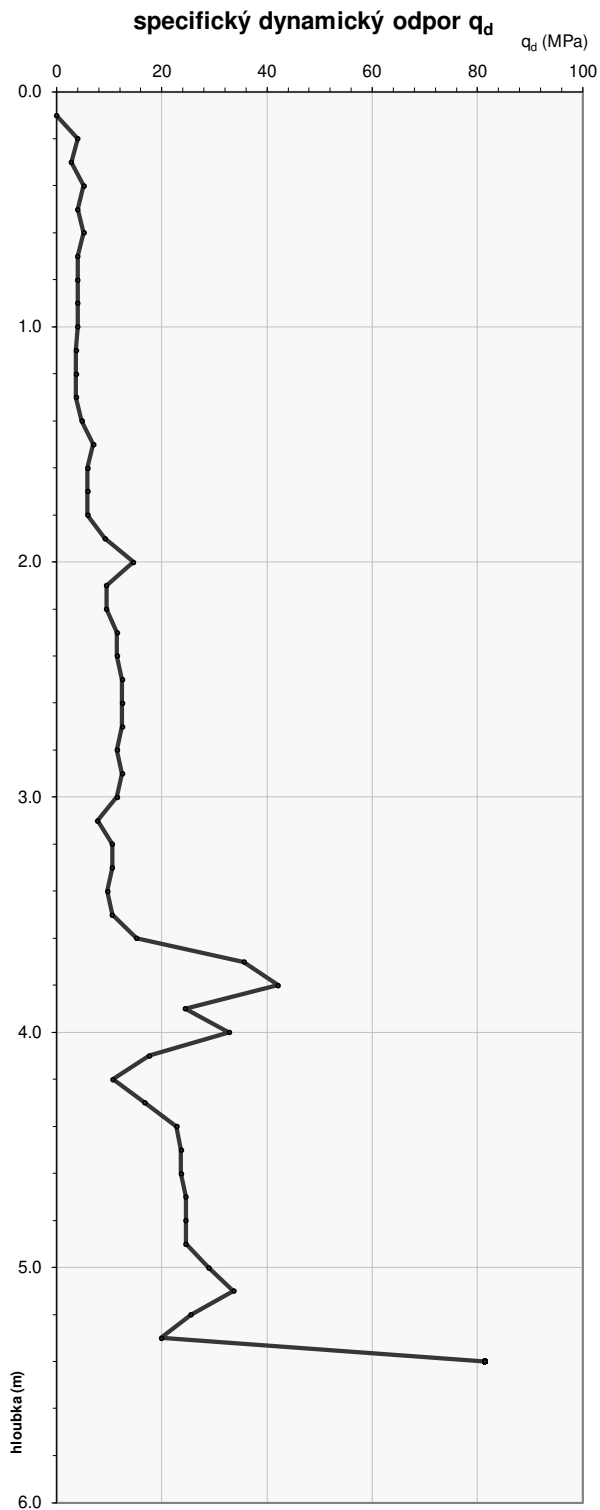
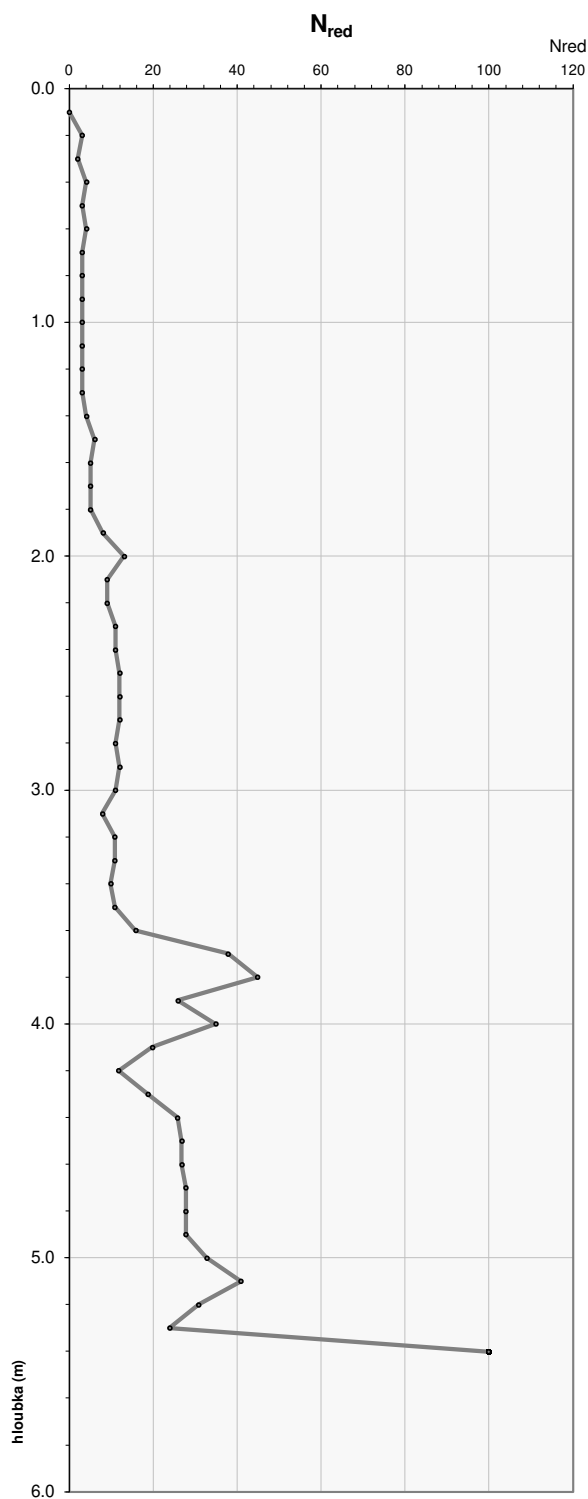
OBR. 1.1

akce : Valašská Polanka - Horní Lideč, IG průzkum
zak.č. : 2022 - 165
lokalizace : X=1170178.78 Y=493253.54 Z=452.17

doplňující informace :

hladina podzemní vody pod terénem 5.20 m

0



KOMENTÁŘ

-

DYNAMICKÁ PENETRACE

akce : Valašská Polanka - Horní Lideč, IG průzkum
zak.č. : 2022 - 165
lokalizace : X=1170205.49 Y=493266 Z=452.09

sonda : DP149

TABULKA Č. 1.1

doplňující informace :

datum provedení penetrační sondy : 11.8.2022

provedl : Luboš Holub

vyhodnotil : Luboš Holub

hmotnost beranu (kg) 50.00

výška pádu beranu 0.50 m

souřadnice :

X = 1 170 205.49
Y = 493 266.00
Z = 452.09

hladina podzemní vody pod terénem <nezastižena> m

kužel (hrot) na ztraceno

hloubka (m)	N _x	N _{xred}	q _d (MPa)	hloubka (m)	N _x	N _{xred}	q _d (MPa)	hloubka (m)	N _x	N _{xred}	q _d (MPa)	hloubka (m)	N _x	N _{xred}	q _d (MPa)	hloubka (m)	N _x	N _{xred}	q _d (MPa)
0.1	2	2.0	2.8	3.2	14	13.9	13.5												
0.2	2	2.0	2.8	3.3	13	12.9	12.5												
0.3	3	3.0	4.0	3.4	12	11.9	11.6												
0.4	2	2.0	2.8	3.5	15	14.9	14.4												
0.5	4	4.0	5.2	3.6	16	15.9	15.3												
0.6	2	2.0	2.8	3.7	18	17.9	17.2												
0.7	3	3.0	4.0	3.8	17	16.9	16.2												
0.8	2	2.0	2.8	3.9	18	17.9	17.2												
0.9	3	3.0	4.0	4.0	16	15.9	15.3												
1.0	4	4.0	5.2	4.1	16	15.9	14.3												
1.1	4	4.0	4.8	4.2	20	19.9	17.8												
1.2	6	6.0	7.0	4.3	23	22.9	20.4												
1.3	6	6.0	7.0	4.4	28	27.9	24.7												
1.4	4	4.0	4.8	4.5	29	28.9	25.6												
1.5	5	5.0	5.9	4.6	29	28.9	25.6												
1.6	7	7.0	8.0	4.7	25	24.9	22.1												
1.7	8	8.0	9.1	4.8	20	19.9	17.8												
1.8	11	11.0	12.4	4.9	20	19.9	17.8												
1.9	11	11.0	12.4	5.0	21	20.9	18.7												
2.0	8	8.0	9.1	5.1	20	19.9	16.7												
2.1	7	7.0	7.5	5.2	18	17.9	15.1												
2.2	7	7.0	7.5	5.3	15	14.9	12.7												
2.3	8	8.0	8.5	5.4	15	14.9	12.7												
2.4	10	10.0	10.5	5.5	25	24.9	20.8												
2.5	8	8.0	8.5	5.6	100	99.9	81.4												
2.6	10	10.0	10.5																
2.7	9	9.0	9.5																
2.8	11	11.0	11.5																
2.9	11	11.0	11.5																
3.0	11	11.0	11.5																
3.1	17	16.9	16.2																

DYNAMICKÁ PENETRACE

(počet redukovaných úderů N_{red} ; specifický dynamický odpor q_d)

sonda : DP149

OBR. 1.1

akce : Valašská Polanka - Horní Lideč, IG průzkum

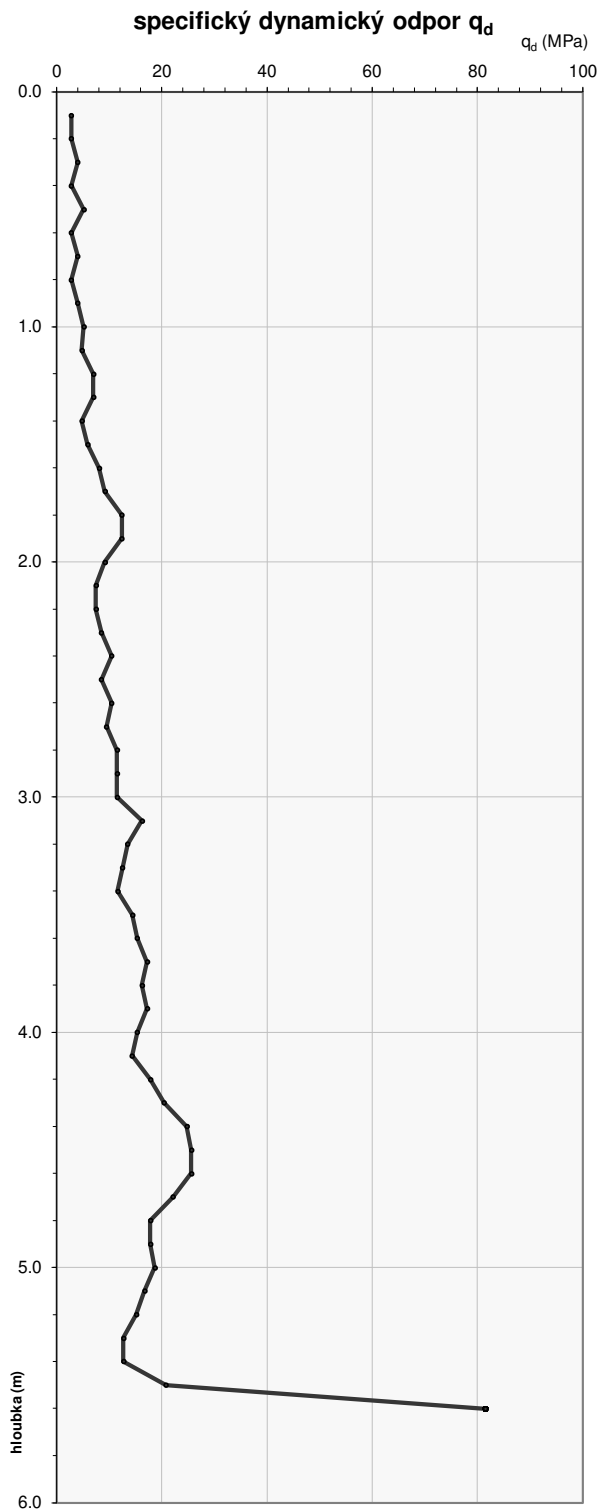
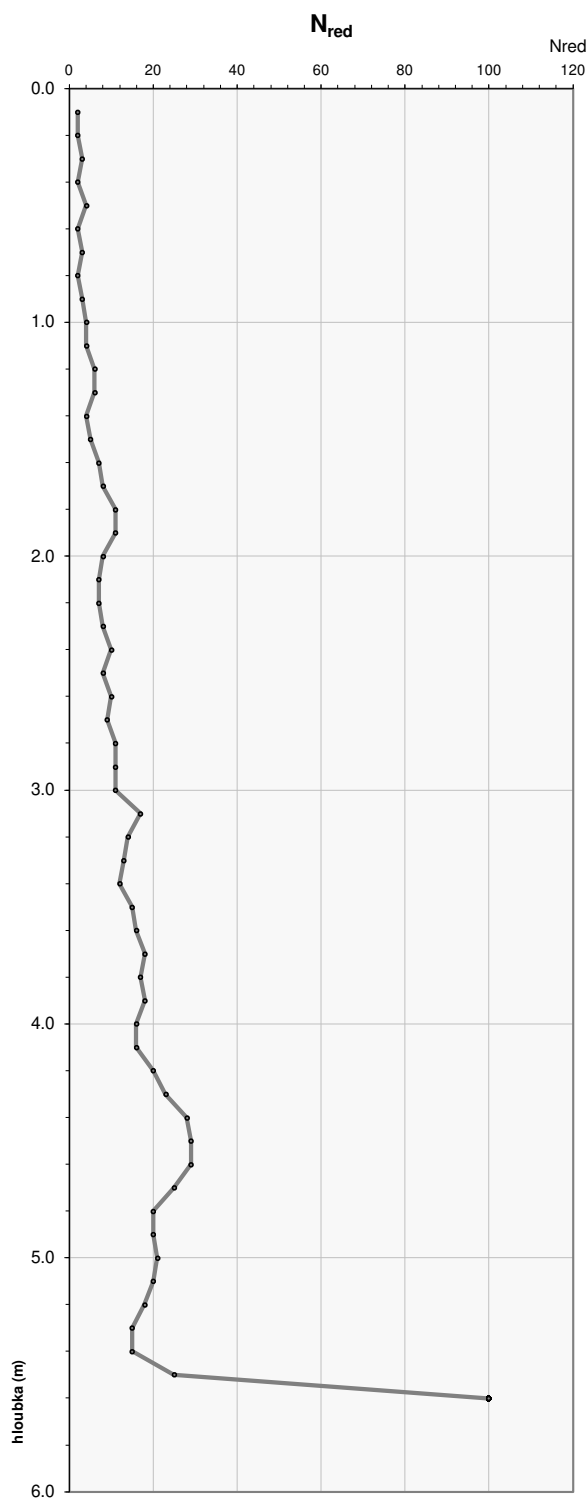
zak.č. : 2022 - 165

lokalizace : X=1170205.49 Y=493266 Z=452.09

doplňující informace :

hladina podzemní vody pod terénem <nezastižena> m

0



KOMENTÁŘ

-

DYNAMICKÁ PENETRACE

akce : Valašská Polanka - Horní Lideč, IG průzkum
zak.č. : 2022 - 165
lokalizace : X=1170059.49 Y=493231.83 Z=447.35

sonda : DP150

TABULKA Č. 1.1

doplňující informace :

datum provedení penetrační sondy : 12.8.2022

provedl : Luboš Holub

vyhodnotil : Luboš Holub

hmotnost beranu (kg) 50.00

výška pádu beranu 0.50 m

souřadnice :

X = 1 170 059.49

Y = 493 231.83

Z = 447.35

hladina podzemní vody pod terénem <nezastižena> m

kužel (hrot) na ztraceno

hloubka (m)	N _x	N _{xred}	q _d (MPa)	hloubka (m)	N _x	N _{xred}	q _d (MPa)	hloubka (m)	N _x	N _{xred}	q _d (MPa)	hloubka (m)	N _x	N _{xred}	q _d (MPa)	hloubka (m)	N _x	N _{xred}	q _d (MPa)
0.1	0	0.0	0.4	3.2	2	1.9	2.3	6.3	7	6.9	5.9								
0.2	2	2.0	2.8	3.3	1	0.9	1.4	6.4	6	5.9	5.1								
0.3	4	4.0	5.2	3.4	2	1.9	2.3	6.5	8	7.9	6.6								
0.4	6	6.0	7.5	3.5	1	0.9	1.4	6.6	7	6.9	5.9								
0.5	6	6.0	7.5	3.6	2	1.9	2.3	6.7	7	6.9	5.9								
0.6	16	16.0	19.4	3.7	2	1.9	2.3	6.8	7	6.9	5.9								
0.7	16	16.0	19.4	3.8	2	1.9	2.3	6.9	7	6.9	5.9								
0.8	19	19.0	23.0	3.9	3	2.9	3.2	7.0	11	10.9	8.9								
0.9	23	23.0	27.7	4.0	4	3.9	4.2	7.1	10	9.7	7.7								
1.0	18	18.0	21.8	4.1	10	9.9	9.1	7.2	12	11.7	9.1								
1.1	7	7.0	8.0	4.2	16	15.9	14.3	7.3	11	10.7	8.4								
1.2	4	4.0	4.8	4.3	18	17.9	16.0	7.4	12	11.7	9.1								
1.3	2	2.0	2.6	4.4	15	14.9	13.4	7.5	12	11.7	9.1								
1.4	2	2.0	2.6	4.5	14	13.9	12.5	7.6	12	11.7	9.1								
1.5	3	3.0	3.7	4.6	17	16.9	15.1	7.7	14	13.7	10.5								
1.6	3	3.0	3.7	4.7	11	10.9	10.0	7.8	17	16.7	12.7								
1.7	2	2.0	2.6	4.8	11	10.9	10.0	7.9	30	29.7	22.0								
1.8	4	4.0	4.8	4.9	14	13.9	12.5	8.0	70	69.7	50.7								
1.9	2	2.0	2.6	5.0	11	10.9	10.0	8.1	26	25.6	18.1								
2.0	3	3.0	3.7	5.1	6	5.9	5.3	8.2	27	26.6	18.8								
2.1	3	3.0	3.5	5.2	7	6.9	6.2	8.3	27	26.6	18.8								
2.2	2	2.0	2.5	5.3	6	5.9	5.3	8.4	20	19.6	14.0								
2.3	3	3.0	3.5	5.4	6	5.9	5.3	8.5	18	17.6	12.6								
2.4	2	2.0	2.5	5.5	7	6.9	6.2	8.6	19	18.6	13.3								
2.5	2	2.0	2.5	5.6	7	6.9	6.2	8.7	20	19.6	14.0								
2.6	1	1.0	1.5	5.7	7	6.9	6.2												
2.7	2	2.0	2.5	5.8	5	4.9	4.5												
2.8	1	1.0	1.5	5.9	5	4.9	4.5												
2.9	2	2.0	2.5	6.0	6	5.9	5.3												
3.0	2	2.0	2.5	6.1	6	5.9	5.1												
3.1	1	0.9	1.4	6.2	7	6.9	5.9												

DYNAMICKÁ PENETRACE

(počet redukovaných úderů N_{red} ; specifický dynamický odpor q_d)

sonda : DP150

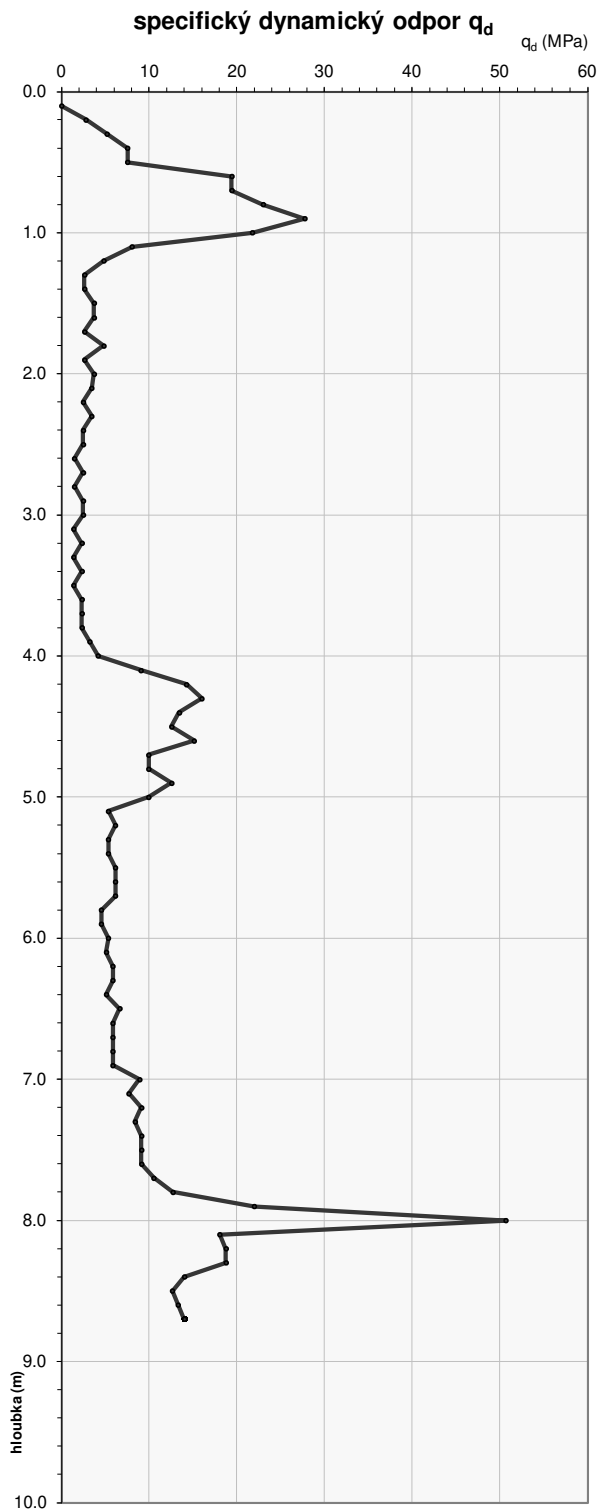
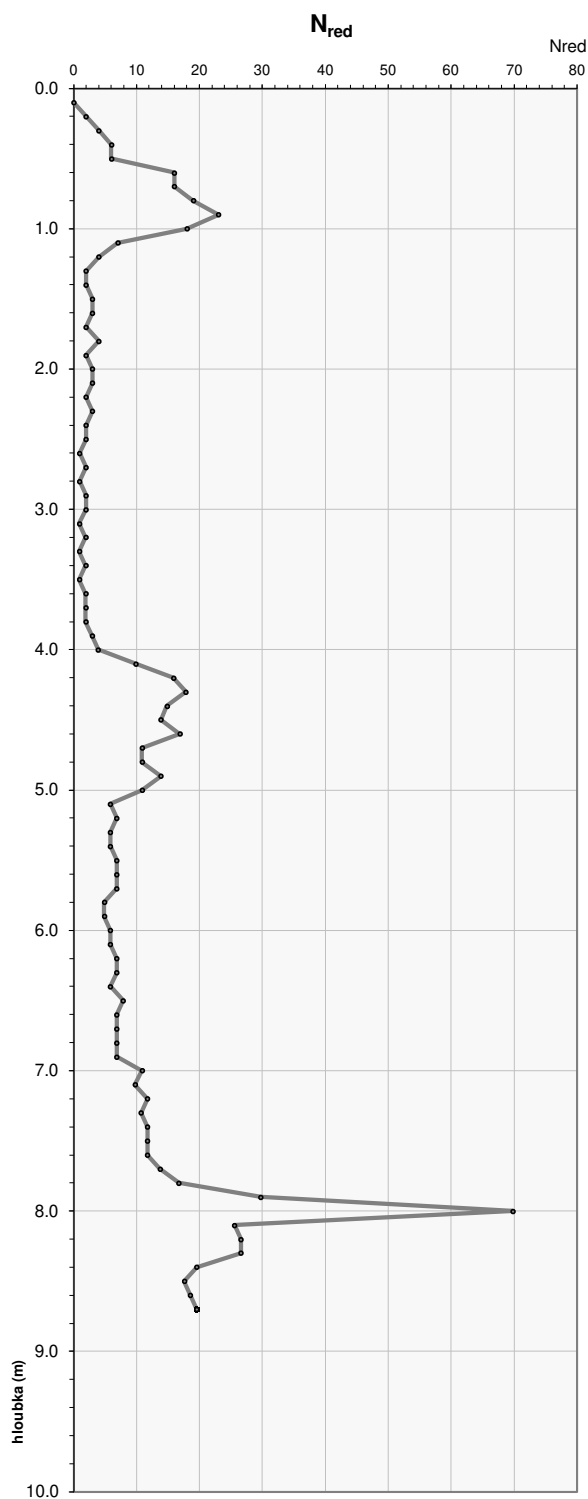
OBR. 1.1

akce : Valašská Polanka - Horní Lideč, IG průzkum
zak.č. : 2022 - 165
lokalizace : X=1170059.49 Y=493231.83 Z=447.35

doplňující informace :

hladina podzemní vody pod terénem <nezastižena> m

0



KOMENTÁŘ

-

DYNAMICKÁ PENETRACE

akce : Valašská Polanka - Horní Lideč, IG průzkum
zak.č. : 2022 - 165
lokalizace : X=1170006 Y=493210.66 Z=449.62

sonda : DP151

TABULKA Č. 1.1

doplňující informace :

datum provedení penetrační sondy : 12.8.2022

provedl : Luboš Holub

vyhodnotil : Luboš Holub

hmotnost beranu (kg) 50.00

výška pádu beranu 0.50 m

souřadnice :

X = 1 170 006.00

0 Y = 493 210.66

Z = 449.62

hladina podzemní vody pod terénem <nezastižena> m

kužel (hrot) na ztraceno

hloubka (m)	N _x	N _{xred}	q _d (MPa)	hloubka (m)	N _x	N _{xred}	q _d (MPa)	hloubka (m)	N _x	N _{xred}	q _d (MPa)	hloubka (m)	N _x	N _{xred}	q _d (MPa)	hloubka (m)	N _x	N _{xred}	q _d (MPa)
0.1	1	1.0	1.6																
0.2	2	2.0	2.8																
0.3	1	1.0	1.6																
0.4	3	3.0	4.0																
0.5	4	4.0	5.2																
0.6	6	6.0	7.5																
0.7	6	6.0	7.5																
0.8	5	5.0	6.4																
0.9	4	4.0	5.2																
1.0	5	5.0	6.4																
1.1	8	8.0	9.1																
1.2	6	6.0	6.9																
1.3	3	3.0	3.7																
1.4	3	3.0	3.7																
1.5	4	4.0	4.8																
1.6	3	3.0	3.7																
1.7	4	4.0	4.8																
1.8	5	5.0	5.9																
1.9	5	5.0	5.9																
2.0	8	8.0	9.1																
2.1	11	10.7	11.2																
2.2	19	18.7	19.2																
2.3	20	19.7	20.2																
2.4	30	29.7	30.2																
2.5	39	38.7	39.2																
2.6	36	35.7	36.2																
2.7	50	49.7	50.2																
2.8	64	63.7	64.2																

DYNAMICKÁ PENETRACE

(počet redukovaných úderů N_{red} ; specifický dynamický odpor q_d)

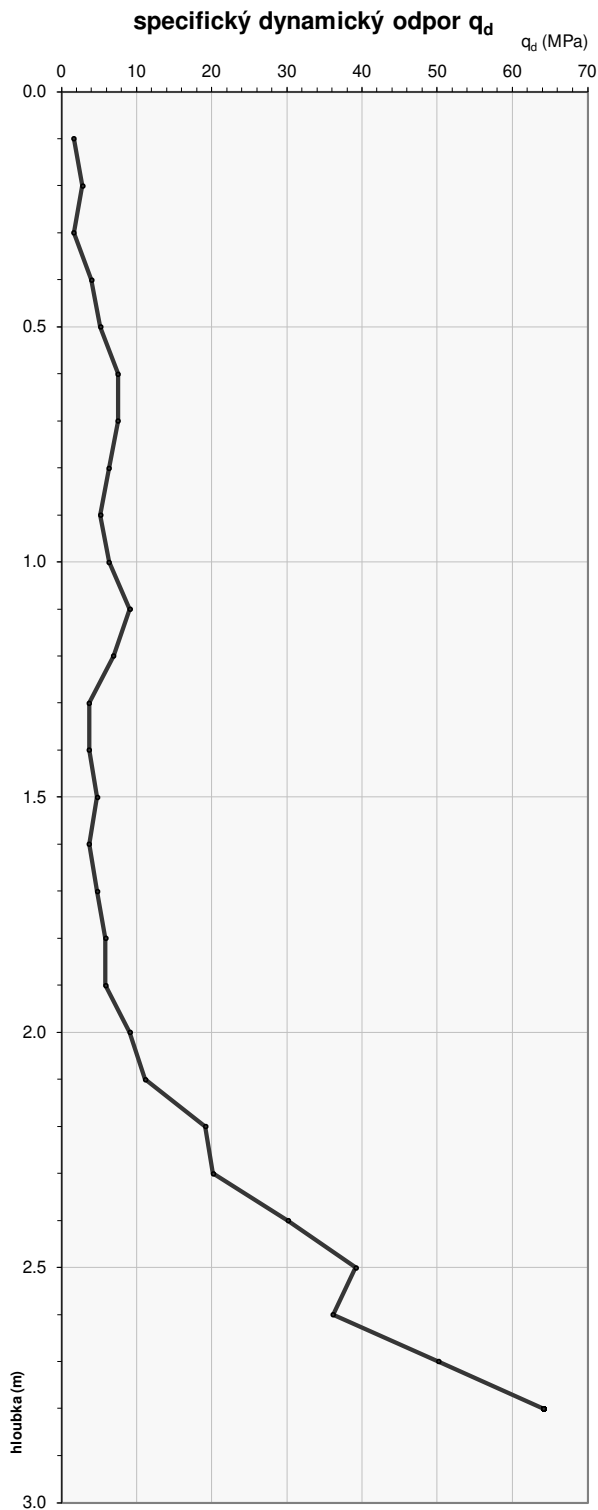
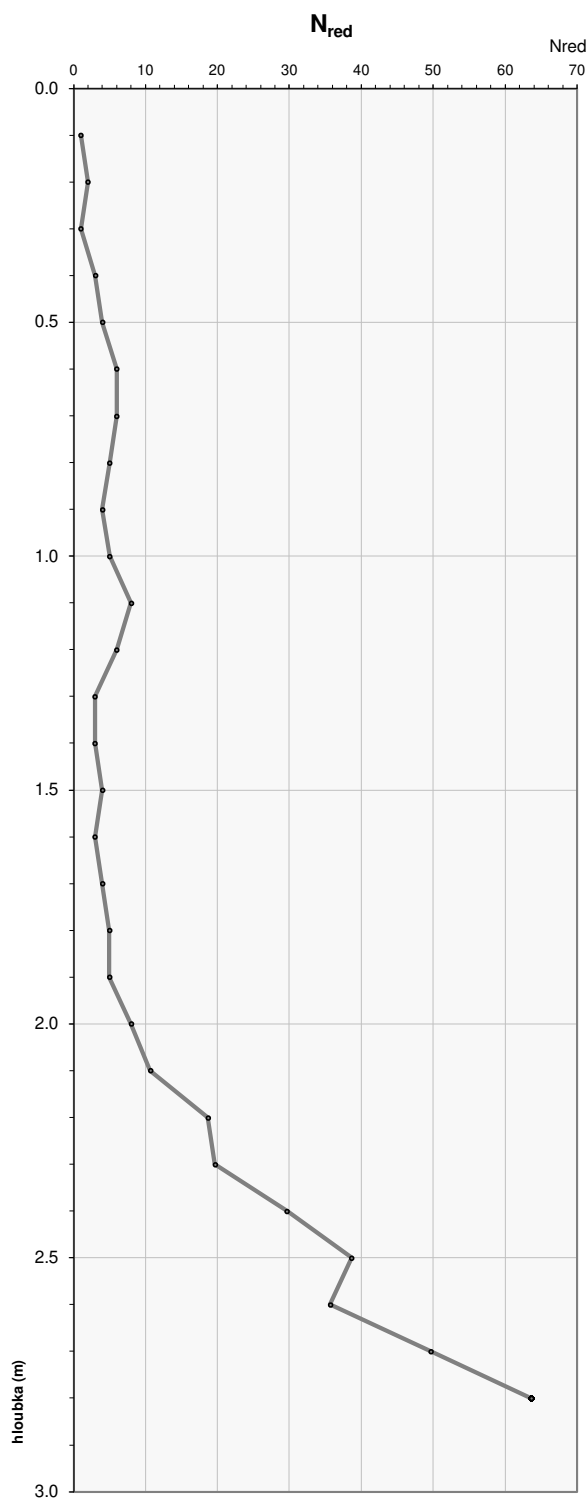
sonda : DP151
OBR. 1.1

akce : Valašská Polanka - Horní Lideč, IG průzkum
zak.č. : 2022 - 165
lokalizace : X=1170006 Y=493210.66 Z=449.62

doplňující informace :

hladina podzemní vody pod terénem <nezastižena> m

0



KOMENTÁŘ

-

DYNAMICKÁ PENETRACE

akce : Valašská Polanka - Horní Lideč, IG průzkum
zak.č. : 2022 - 165
lokalizace : X=1170006 Y=493210.66 Z=449.62

sonda : DP151a

TABULKA Č. 1.1

doplňující informace :

datum provedení penetrační sondy : 12.8.2022

provedl : Luboš Holub

vyhodnotil : Luboš Holub

hmotnost beranu (kg) 50.00

výška pádu beranu 0.50 m

souřadnice :

X = 1 170 006.00
0 Y = 493 210.66
Z = 449.62

hladina podzemní vody pod terénem <nezastižena> m

kužel (hrot) na ztraceno

hloubka (m)	N _x	N _{xred}	q _d (MPa)	hloubka (m)	N _x	N _{xred}	q _d (MPa)	hloubka (m)	N _x	N _{xred}	q _d (MPa)	hloubka (m)	N _x	N _{xred}	q _d (MPa)	hloubka (m)	N _x	N _{xred}	q _d (MPa)
0.1	1	1.0	1.6	3.2	27	26.9	25.5												
0.2	0	0.0	0.4	3.3	23	22.9	21.7												
0.3	1	1.0	1.6	3.4	23	22.9	21.7												
0.4	4	4.0	5.2	3.5	22	21.9	20.8												
0.5	4	4.0	5.2	3.6	25	24.9	23.6												
0.6	8	8.0	9.9	3.7	21	20.9	19.9												
0.7	5	5.0	6.4	3.8	25	24.9	23.6												
0.8	3	3.0	4.0	3.9	25	24.9	23.6												
0.9	4	4.0	5.2	4.0	28	27.9	26.4												
1.0	3	3.0	4.0	4.1	30	29.9	26.4												
1.1	3	3.0	3.7	4.2	90	89.9	78.3												
1.2	3	3.0	3.7	4.3	100	99.9	86.9												
1.3	3	3.0	3.7																
1.4	3	3.0	3.7																
1.5	4	4.0	4.8																
1.6	3	3.0	3.7																
1.7	4	4.0	4.8																
1.8	4	4.0	4.8																
1.9	4	4.0	4.8																
2.0	7	7.0	8.0																
2.1	7	6.9	7.4																
2.2	6	5.9	6.4																
2.3	6	5.9	6.4																
2.4	9	8.9	9.4																
2.5	14	13.9	14.4																
2.6	17	16.9	17.4																
2.7	19	18.9	19.4																
2.8	24	23.9	24.4																
2.9	23	22.9	23.4																
3.0	22	21.9	22.4																
3.1	24	23.9	22.7																

DYNAMICKÁ PENETRACE

(počet redukovaných úderů N_{red} ; specifický dynamický odpor q_d)

sonda : DP151a

OBR. 1.1

akce : Valašská Polanka - Horní Lideč, IG průzkum

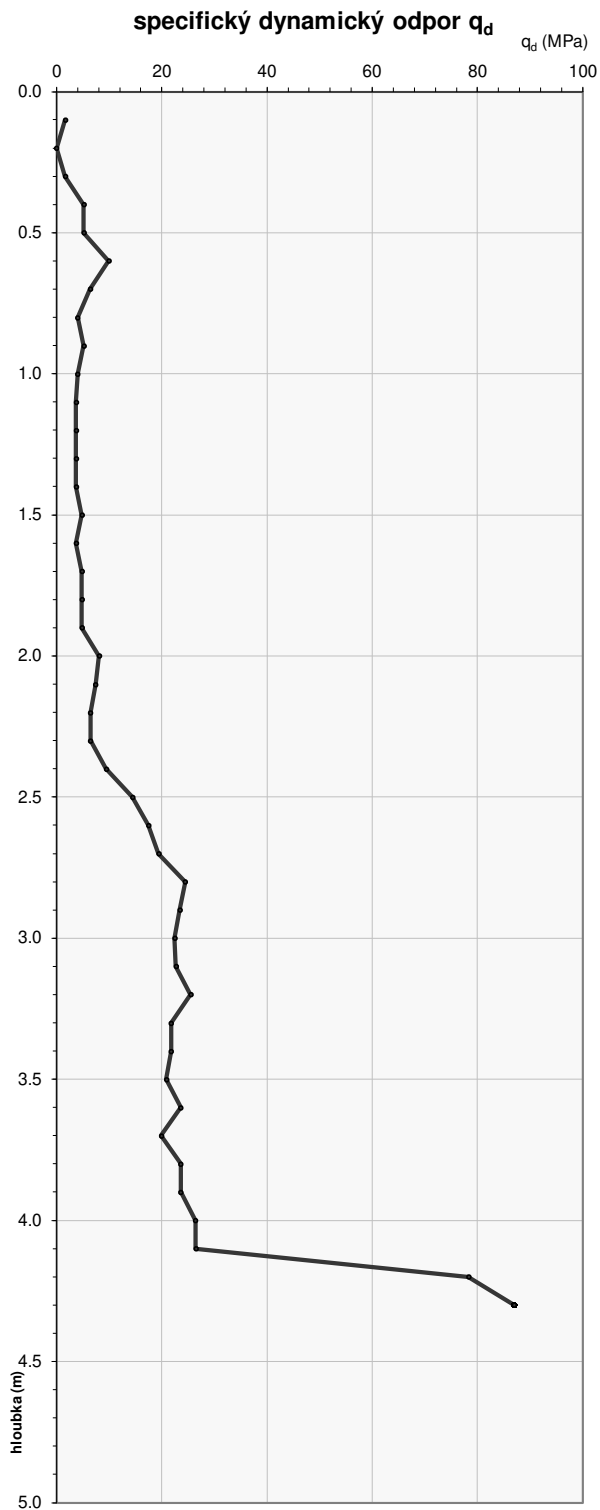
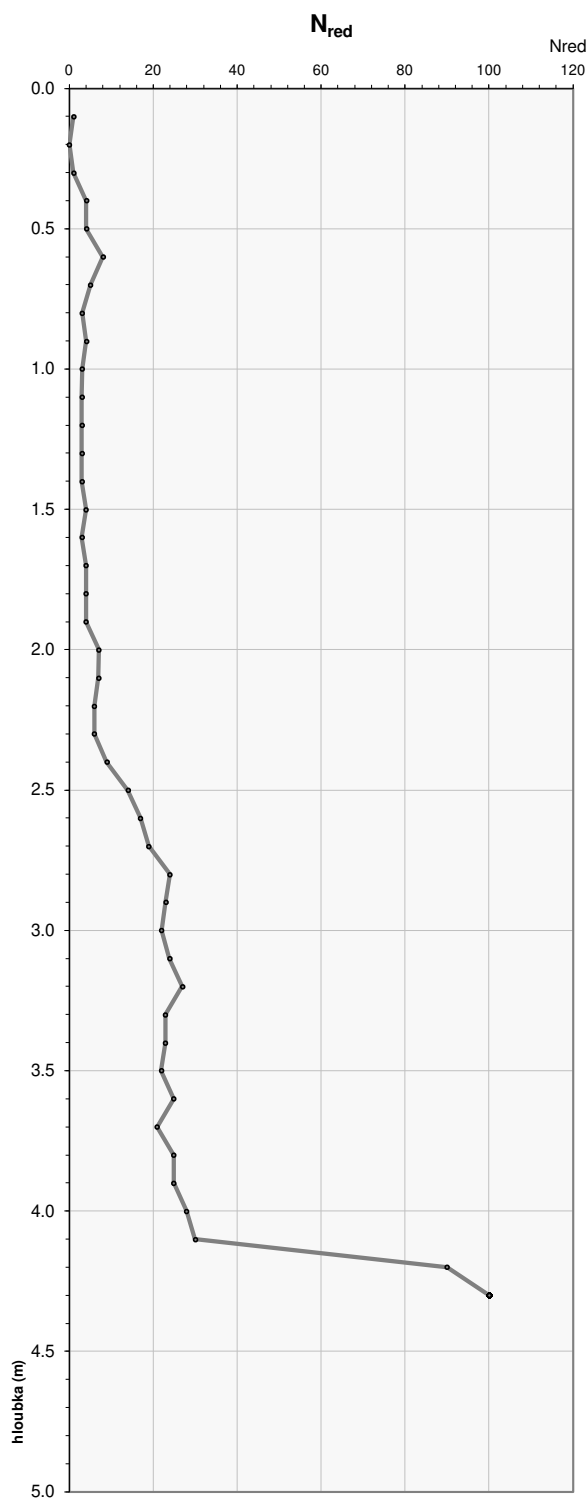
zak.č. : 2022 - 165

lokalizace : X=1170006 Y=493210.66 Z=449.62

doplňující informace :

hladina podzemní vody pod terénem <nezastižena> m

0



KOMENTÁŘ

-

GeoTec-GS, a.s.										GEOLOGICKÁ DOKUMENTACE VRTU										Označení vrtu HG4			
Název akce																							
Valašská Polanka - Horní Lideč, sanace svahu, GTM																							
Zakázka číslo				Vrtáno				Výška (m n. m.) B.p.v.				Souřadnice S-JTSK				Stránka							
2022-180				22. 07. 2022				Z = 448.02				Y = 493 255.29 X = 1170 155.99											
Objednatel								HPV naražená				HPV ustálená				1 z 1							
Správa železnic, státní organizace								6.40 m (441.62 m n. m.)				1.50 m (446.52 m n. m.)											
Stratigrafie												GEOLOGICKÝ POPIS ZEMIN A HORNIN											
Nadmořská výška (m)												Vrtný profil											
Hloubka (Mocnost) (m)												Hladina podzemní vody (m)											
Vzorek Lab. číslo												Zatřídění ČSN 73 1005											
Těžitelnost ČSN 73 6133												Konzistence /ulehlost											
Geotyp																							
0												Navážka - betonový recyklát, šedý, středně ulehlý, hrubozrnný, drcené kamenivo, kusy cihel a betonu do velikosti do 7 cm, s písčitohlinitou výplní, konstrukce přítěžovací lavice v patě náspu											
1												Ant											
2												445.92 2.10											
3												445.22 2.80											
4												443.92 4.10											
5												443.52 4.50											
6												441.82 6.20											
7												Paleogén											
8												4.10											
9																							
10												437.72 10.30											
Vrt byl ukončen v hloubce 10.30 m.																							
Legenda																							
POZNÁMKA																							
Vzorky																							
Vzorek vody																							
Porušený vzorek																							
Neporušený vzorek																							
Všechny rozměry jsou v metrech.																							
Měřítko 1 : 100																							
Souprava Vrtmistr																							
Kamaz J. Vinterlík																							
Dokumentoval(a) M. Láska																							
Zpracoval(a) M. Láska																							

GeoTec-GS, a.s.										GEOLOGICKÁ DOKUMENTACE VRTU										Označení vrtu HG5																																																																																																																																																																																																																																																																																																																																																																																																																																																																																																																																																																																																																																																																																																																																																																																																																																																																																																																																																																																																																																																																																																																																																																																																																																																																																																																																																																																																																																																																																																																																																																																																																																																																																																																																																																																																																																																																																																																																																																																																																																																																																																																																																																																																																																																																																																																																																																																																																																																																																																																																																																																																																																																																																																																																																																																																																																																																																																																																																																																																																																																																																																																																																																																																																																																																																																																																																																																																																																																																																																																																																																																																																																																																																																																																																																																																																																																																																																																																																																																																																																																																																																																																																																																																																																																																																																																																																																																																																																																																																																																																																																																																																																																																																																																																																																																																																																																																																																																																																																																																																																																																																																																																																																																																																																																	
Název akce Valašská Polanka - Horní Lideč, sanace svahu, GTM																																																																																																																																																																																																																																																																																																																																																																																																																																																																																																																																																																																																																																																																																																																																																																																																																																																																																																																																																																																																																																																																																																																																																																																																																																																																																																																																																																																																																																																																																																																																																																																																																																																																																																																																																																																																																																																																																																																																																																																																																																																																																																																																																																																																																																																																																																																																																																																																																																																																																																																																																																																																																																																																																																																																																																																																																																																																																																																																																																																																																																																																																																																																																																																																																																																																																																																																																																																																																																																																																																																																																																																																																																																																																																																																																																																																																																																																																																																																																																																																																																																																																																																																																																																																																																																																																																																																																																																																																																																																																																																																																																																																																																																																																																																																																																																																																																																																																																																																																																																																																																																																																																																																																																																																																																																																					
Zakázka číslo 2022-180				Vrtáno 17. 08. 2022 - 21. 08. 2022				Výška (m n. m.) B.p.v. Z = 463.53				Souřadnice S-JTSK Y = 493 158.68 X = 1170 076.33																																																																																																																																																																																																																																																																																																																																																																																																																																																																																																																																																																																																																																																																																																																																																																																																																																																																																																																																																																																																																																																																																																																																																																																																																																																																																																																																																																																																																																																																																																																																																																																																																																																																																																																																																																																																																																																																																																																																																																																																																																																																																																																																																																																																																																																																																																																																																																																																																																																																																																																																																																																																																																																																																																																																																																																																																																																																																																																																																																																																																																																																																																																																																																																																																																																																																																																																																																																																																																																																																																																																																																																																																																																																																																																																																																																																																																																																																																																																																																																																																																																																																																																																																																																																																																																																																																																																																																																																																																																																																																																																																																																																																																																																																																																																																																																																																																																																																																																																																																																																																																																																																																																																																																																																																																																									
Objednatel Správa železnic, státní organizace						HPV naražená 3.50 m (460.03 m n. m.)				HPV ustálená 2.60 m (460.93 m n. m.)				Stránka 1 z 1																																																																																																																																																																																																																																																																																																																																																																																																																																																																																																																																																																																																																																																																																																																																																																																																																																																																																																																																																																																																																																																																																																																																																																																																																																																																																																																																																																																																																																																																																																																																																																																																																																																																																																																																																																																																																																																																																																																																																																																																																																																																																																																																																																																																																																																																																																																																																																																																																																																																																																																																																																																																																																																																																																																																																																																																																																																																																																																																																																																																																																																																																																																																																																																																																																																																																																																																																																																																																																																																																																																																																																																																																																																																																																																																																																																																																																																																																																																																																																																																																																																																																																																																																																																																																																																																																																																																																																																																																																																																																																																																																																																																																																																																																																																																																																																																																																																																																																																																																																																																																																																																																																																																																																																																																																																							
Stratigrafie												GEOLOGICKÝ POPIS ZEMIN A HORNIN																																																																																																																																																																																																																																																																																																																																																																																																																																																																																																																																																																																																																																																																																																																																																																																																																																																																																																																																																																																																																																																																																																																																																																																																																																																																																																																																																																																																																																																																																																																																																																																																																																																																																																																																																																																																																																																																																																																																																																																																																																																																																																																																																																																																																																																																																																																																																																																																																																																																																																																																																																																																																																																																																																																																																																																																																																																																																																																																																																																																																																																																																																																																																																																																																																																																																																																																																																																																																																																																																																																																																																																																																																																																																																																																																																																																																																																																																																																																																																																																																																																																																																																																																																																																																																																																																																																																																																																																																																																																																																																																																																																																																																																																																																																																																																																																																																																																																																																																																																																																																																																																																																																																																																																																																																																									
Nadmořská výška (m)												Vrtný profil										Hloubka (Mocnost) (m)										Hladina podzemní vody (m)										Vzorek Lab. číslo										Zatřídění ČSN 73 1005										Těžitelnost ČSN 73 6133										Konzistence /úlehlost										Geotyp																																																																																																																																																																																																																																																																																																																																																																																																																																																																																																																																																																																																																																																																																																																																																																																																																																																																																																																																																																																																																																																																																																																																																																																																																																																																																																																																																																																																																																																																																																																																																																																																																																																																																																																																																																																																																																																																																																																																																																																																																																																																																																																																																																																																																																																																																																																																																																																																																																																																																																																																																																																																																																																																																																																																																																																																																																																																																																																																																																																																																																																																																																																																																																																																																																																																																																																																																																																																																																																																																																																																																																																																																																																																																																																																																																																																																																																																																																																																																																																																																																																																																																																																																																																																																																																																																																																																																																																																																																																																																																																																																																																																																																																																																																																																																																																																																																																																																																																																																																																																																																																																																																																																																																																			
0												463.33																				0.20																														F3 MSQ										I										-										Q0										Humusový povrch charakteru hlíny písčité, tmavě hnědá, pevná, suchá, seshora krytá drnem																																																																																																																																																																																																																																																																																																																																																																																																																																																																																																																																																																																																																																																																																																																																																																																																																																																																																																																																																																																																																																																																																																																																																																																																																																																																																																																																																																																																																																																																																																																																																																																																																																																																																																																																																																																																																																																																																																																																																																																																																																																																																																																																																																																																																																																																																																																																																																																																																																																																																																																																																																																																																																																																																																																																																																																																																																																																																																																																																																																																																																																																																																																																																																																																																																																																																																																																																																																																																																																																																																																																																																																																																																																																																																																																																																																																																																																																																																																																																																																																																																																																																																																																																																																																																																																																																																																																																																																																																																																																																																																																																																																																																																																																																																																																																																																																																																																																																																																																																																																																																																																																																																																																																															
1																																(2.30)																														F6 CI										I										P										Q1										Jíl se střední plasticitou, žlutohnědý, pevný, vlhký s příměsí úlomků pískovce o průměru 4-10 cm, obsahu do 20 %, jemně písčité (zvětralý pískovec); deluviální																																																																																																																																																																																																																																																																																																																																																																																																																																																																																																																																																																																																																																																																																																																																																																																																																																																																																																																																																																																																																																																																																																																																																																																																																																																																																																																																																																																																																																																																																																																																																																																																																																																																																																																																																																																																																																																																																																																																																																																																																																																																																																																																																																																																																																																																																																																																																																																																																																																																																																																																																																																																																																																																																																																																																																																																																																																																																																																																																																																																																																																																																																																																																																																																																																																																																																																																																																																																																																																																																																																																																																																																																																																																																																																																																																																																																																																																																																																																																																																																																																																																																																																																																																																																																																																																																																																																																																																																																																																																																																																																																																																																																																																																																																																																																																																																																																																																																																																																																																																																																																																																																																																																																															
2																																																																																																																																																																																																																																																																																																																																																																																																																																																																																																																																																																																																																																																																																																																																																																																																																																																																																																																																																																																																																																																																																																																																																																																																																																																																																																																																																																																																																																																																																																																																																																																																																																																																																																																																																																																																																																																																																																																																																																																																																																																																																																																																																																																																																																																																																																																																																																																																																																																																																																																																																																																																																																																																																																																																																																																																																																																																																																																																																																																																																																																																																																																																																																																																																																																																																																																																																																																																																																																																																																																																																																																																																																																																																																																																																																																																																																																																																																																																																																																																																																																																																																																																																																																																																																																																																																																																																																																																																																																																																																																																																																																																																																																																																																																																																																																																																																																																																																																																																																																																																																																																																																																																																																																																																																																																					

Valašská Polanka - Horní Lideč, sanace svahu, GTM

$$Y = 493\,241.08 \quad X = 1170\,248.26$$

171

Vrt byl ukončen v hloubce 15.30 m.

☐ Porušený vzorek

M. Lásková

GeoTec-GS, a.s.										GEOLOGICKÁ DOKUMENTACE VRTU										Označení vrtu	
Název akce																				HG7	
Valašská Polanka - Horní Lideč, sanace svahu, GTM																					
Zakázka číslo			Vrtáno			Výška (m n. m.) B.p.v.			Souřadnice S-JTSK							Stránka					
2022-180			07. 09. 2022 - 09. 09. 2022			Z = 463.69			Y = 493 241.85 X = 1170 322.26												
Objednatel						HPV naražená				HPV ustálená				1 z 1							
Správa železnic, státní organizace						6.50 m (457.19 m n. m.)				3.65 m (460.04 m n. m.)											
												GEOLOGICKÝ POPIS ZEMIN A HORNIN									
Stratigrafie																					
Nadmořská výška (m)																					
Vrtný profil																					
Hloubka (Mocnost) (m)																					
Hladina podzemní vody (m)																					
Vzorek Lab. číslo																					
Zařazení ČSN 73 1005																					
Těžitelnost ČSN 73 6133																					
Konzistence /úlehlost																					
Geotyp																					
0												Humusový povryv, pevný suchý, hnědý, seshora pokrytý drnem									
1												Jíl s nízkou plasticitou šedohnědé barvy, pevný, svrchu s drnem, prorostlý kořeny do 1 m, silně prachovitý, se slabou jemnozrnnou písčitou příměsí; deluviofluviální									
2												Jíl písčitý, světle hnědé až běžové barvy s okrově hnědým smouhováním, tmavě šedě skvrnitý, pevný s jemnozrnnou písčitou příměsí, s opracovanými klasty o velikosti až 4 cm,průměrně do velikosti 1 cm a obsahem maximálně 10-15 %; deluviofluviální sediment									
3												Hlína s vysokou plasticitou, tmavěhnědá, pevná, silně prachovitá, slabě vápnitá se střípký jílovce o velikosti do 4 mm až 1 cm, které lze drtit v prstech až lehce rozbít kladivem, místy s náznakem prohnětení - ohlazené plochy na klastech									
4												Jílovec zcela zvětralý, tmavě šedý, vápnitý, silně prachovitý, postupem vrtání rozpadavý na zeminu charakteru hlíny s vysokou plasticitou, s úlomky jílovce střípkovitěho rozpadu o velikosti maximálně 3 cm, průměr do 2 cm a obsahem do 15 %, úlomky lze lehce rozbít kladivem									
5												Jílovec silně zvětralý, tmavě šedý, vápnitý, silně prachovitý, charakteru štěrkovité hlíny silně prachovité, pravděpodobně pevné s ostrohranými úlomky horniny o velikosti do 3-4 cm, které lze lámat v ruce až lehce, místy středně těžce rozbít kladivem, o celkovém obsahu cca 30 %, od 5 m světle šedé barvy se silnou písčitou příměsí									
6												Pískovec mírně zvětralý, světle šedé barvy, místy s rezavým zoxidovaným zbarvením, jemnozrnný, rozvrtán na ostrohranné úlomky horniny velikosti až 4 cm, které lze středně až obtížně rozbít kladivem, celkového obsahu cca 60-70 %, s písčitoprachovitou, místy až jílovitou výplní									
7												Pískovec navětralý až zdravý, světle šedý, jemnozrnný až středně zrnitý, přechází až do droby, rozvrtán na úlomky horniny o velikosti až 10 cm, které lze jen otloukat, některé úlomky obtížně rozbít kladivem									
8												Jílovec navětralý, tmavě šedý, silně prachovitý, vápnitý, postupem vrtání rozvrtán na zeminu charakteru jílovitého štěrku v podobě ostrohraných úlomků horniny o velikosti až 4-5 cm, které lze středně těžce rozbít kladivem, mezerní výplň tvoří prachovitý pevný jíl, úlomky o obsahu cca 60 %									
9																					
10																					
11																					
12																					
13																					
14																					
15																					
448.29												15.40									
Vrt byl ukončen v hloubce 15.40 m.																					
Legenda																					
POZNÁMKA																					
Vzorky																					
Naražená hladina podzemní vody																					
Ustálená hladina podzemní vody																					
Porušený vzorek																					
Vzorek vody																					
Všechny rozměry jsou v metrech.																					
Měřítko 1 : 100																					
Souprava Vrtmistr																					
HVS 382 P. Rožnovjác																					
Dokumentoval(a) M. Láska, Bc. E. Žáček																					
Zpracoval(a) Bc. E. Žáček																					

GeoTec-GS, a.s.										GEOLOGICKÁ DOKUMENTACE VRTU										Označení vrtu HG8			
Název akce Valašská Polanka - Horní Lideč, sanace svahu, GTM																							
Zakázka číslo 2022-180				Vrtáno 31. 08. 2022				Výška (m n. m.) B.p.v. Z = 473.15				Souřadnice S-JTSK Y = 493 187.46 X = 1170 319.92											
Objednatel Správa železnic, státní organizace						HPV naražená 2.80 m (470.35 m n. m.)				HPV ustálená -0.25 m (473.40 m n. m.)						Stránka 1 z 1							
														GEOLOGICKÝ POPIS ZEMIN A HORNIN									
														Humózní pokryv, svrchu s drnem, hnědý, rezavě hnědý a šedě skvrnitý, charakterem hlíny se střední plasticitou, tuhé konzistence s kořeny rostlin s proměnnou písčitou příměsí, s drobnými opracovanými klasty do velikosti 3 mm a obsahem do 10 %									
														Jíl středně plastický svrchu hnědošedý, dále šedý s okrovým smouhováním, svrchu měkký, od 1,20 m tuhý, místy s písčitými proplástky; deluviofluviální									
														Jílovec silně zvětralý, šedý, prachovitý, silně vápnitý, drobnivý, charakterem jílového štěrku s ostrohrannými úlomky jílovce o velikosti až 4-5 cm a obsahem cca 30-40 %, střípkovitého rozpadu s oxidovanými rezavými plochami na úlomcích s písčitou příměsí a s vložkami pískovců									
														Jílovec navětralý, šedohnědý, okrově hnědý, jemnozrný, charakteru štěrku jílovitého s ostrohrannými úlomky pískovce místy jílovce do velikosti 5-6 cm a obsahem cca 60 %, s písčitojílovitou výplní									
														Pískovec navětralý, hnědošedé až béžové barvy, v polohách šedý s horizontálním zvrstvením, jemnozrný, místy přecházející až do vápence, svrchu se zoxidovanými plochami, postupem vrtné soupravy rozvrtán na celistvá jádra o velikosti až 15 cm a na úlomky o velikosti až 10-12 cm o průměru do 6-7 cm, s písčitou, místy jílovitou výplní v intervalu 6,4-6,6 m rozvrtáno na zeminu charakteru písku hlinitého (zcela zvětralá poloha)									

GeoTec-GS, a.s.										GEOLOGICKÁ DOKUMENTACE VRTU										Označení vrtu HG9	
Název akce Valašská Polanka - Horní Lideč, sanace svahu, GTM																					
Zakázka číslo 2022-180			Vrtáno 28. 07. 2022			Výška (m n. m.) B.p.v. Z = 470.38			Souřadnice S-JTSK Y = 493 175.55 X = 1170 195.17												
Objednatel Správa železnic, státní organizace						HPV naražená Nezastižena			HPV ustálená Nezastižena			Stránka 1 z 1									
0 1 2 3 4 5 6 7 8 9 10 11	Stratigrafie 																				

GeoTec-GS, a.s.										Označení vrtu																																																																																																																																					
GEOLOGICKÁ DOKUMENTACE VRTU										IN4																																																																																																																																					
Název akce																																																																																																																																															
Valašská Polanka - Horní Lideč, sanace svahu, GTM																																																																																																																																															
Zakázka číslo		Vrtáno		Výška (m n. m.) B.p.v.		Souřadnice S-JTSK																																																																																																																																									
2022-180		25. 07. 2022		Z = 447.85		Y = 493 252.34 X = 1170 146.79																																																																																																																																									
Objednatel				HPV naražená		HPV ustálená				Stránka																																																																																																																																					
Správa železnic, státní organizace				4.00 m (443.85 m n. m.)		Nezastižena				1 z 1																																																																																																																																					
GEOLOGICKÝ POPIS ZEMIN A HORNIN																																																																																																																																															
<table><tr><td>0</td><td>Stratigrafie</td><td>Nadmořská výška (m)</td><td>Vrtný profil</td><td>Hloubka (Mocnost) (m)</td><td>Hladina podzemní vody (m)</td><td>Vzorek Lab. číslo</td><td>Zařídění ČSN 73 1005</td><td>Těžitelnost ČSN 73 6133</td><td>Konzistence /ulehlost</td><td>Geotyp</td><td>Navážka charakteru hlinitého štěrku, betonový recyklát, hrubozrnný, s kusy cihel a stavební sutí, ojediněle obsahuje balvan přes průměr vrtu, s písčitohlinitou výplní</td></tr><tr><td>1</td><td>Ant</td><td>447.00</td><td></td><td>(0.85) 0.85</td><td></td><td></td><td>G4 GMY+Cb+b</td><td>I</td><td>-</td><td>Y4</td><td></td></tr><tr><td>2</td><td></td><td>446.65</td><td></td><td>1.20</td><td></td><td></td><td>F2 CGY</td><td>I</td><td>-</td><td>Y4</td><td>Navážka charakteru štěrkovitého jílu, hnědošedý, tuhý, nízcě plastický jíl s organickým štěrkem a drceným kamenem do velikosti 10 cm, obsahu do 20 %, obsahuje příměs stavební sutí</td></tr><tr><td>3</td><td>Q</td><td>445.15</td><td></td><td>(1.50) 2.70</td><td></td><td>⊗</td><td>F6 CL</td><td>I</td><td>T</td><td>Q1</td><td>Jíl s nízkou plasticitou, hnědý, tuhý, slabě slídnatý, v polohách silně jemně písčité, silně prachovitý s drobnými ostrohrannými klasty o vel. do 0,5 cm a s valouny o velikosti až 2 cm celkového obsahu max 15 %; od hloubky 3,0 m hnědý a šedý písčité smouhovaný; deluviofluviální</td></tr><tr><td>4</td><td></td><td>443.95</td><td></td><td>(1.20) 3.90</td><td>4.0</td><td></td><td>F6 CI</td><td>I</td><td>T</td><td>Q1</td><td>Jíl se střední plasticitou, šedohnědý, okrově hnědý šmouhovaný, tuhý, silně prachovitý, místy se silnou jemnozrnnou písčitou příměsí, s ostrohrannými úlomky o velikosti 2-3 cm a obsahem cca 20 %; deluviofluviální</td></tr><tr><td>5</td><td></td><td>443.35</td><td></td><td>4.50</td><td></td><td></td><td>S5 SC</td><td>I</td><td>-</td><td>Q2</td><td>Písek jílovitý,šedý, ulehlý, středně zrnitý s opracovaným štěrkem o velikosti do 0,5 cm a obsahem cca 15 %; fluviální</td></tr><tr><td>6</td><td></td><td>443.05</td><td></td><td>4.80</td><td></td><td>↑</td><td>R6 (F6)</td><td>I</td><td>-</td><td>P1</td><td>Jílovec zcela zvětralý, šedý, prachovitý, silně vápnitý, charakteru tuhého jílu se střípkovitě rozpadavými úlomky hornin do 1 cm, které lze drtit v prstech a obsahu cca 15-20 %; viditelné vodorovné až lehce ukloněné zvrstvení</td></tr><tr><td>7</td><td>Paleogén</td><td>441.55</td><td></td><td>(1.50) 6.30</td><td></td><td>⊗</td><td>R3</td><td>II</td><td>-</td><td>P4</td><td>Pískovec navětralý, šedý, jemnozrnný, silně vápnitý, se světle šedým žilkováním, s křemičitou příměsí, při postupu vrtné soupravy rozpadavý na úlomky a kameny hornin o vel. 5-15 cm, místy až přes průměr vrtu, které lze otloukat až těžce rozbít kladivem, v polohách s prachovitou jílovitou výplní, vodorovné zvrstvení</td></tr><tr><td>8</td><td></td><td></td><td></td><td>(3.20)</td><td></td><td></td><td>R6 (F6)</td><td>I</td><td>-</td><td>P1</td><td>Jílovec zcela zvětralý, prachovitý, silně vápnitý, šedý, vodorovně až lehce šikmě zvrstvený, se střípkovitě rozpadavými úlomky horniny o velikosti do 1-2 cm, které lze drtit v prstech až lámat rukou, celkového obsahu cca 15 %; lokálně výskyt pevnějších úlomků třídy R4, o velikosti 2-3 cm, které lze lehce až středně rozbít kladivem (interval 7,50-8,40)</td></tr><tr><td>9</td><td></td><td>438.35</td><td></td><td>9.50</td><td></td><td></td><td></td><td></td><td></td><td></td><td></td></tr><tr><td>10</td><td></td><td>437.35</td><td></td><td>(1.00) 10.50</td><td></td><td>⊗</td><td>R6 (F6)</td><td>I</td><td>-</td><td>P1</td><td>Jílovec silně zvětralý, šedý, prachovitý, silně vápnitý, charakterem silně prachovitého jílu se střípkovitými úlomky jílovce o velikosti do 2-3 cm, ojediněle až 4 cm a obsahu cca 30 - 35 %, které lze lehce rozbít kladivem; viditelné vodorovné až lehce šikmé zvrstvení</td></tr></table>												0	Stratigrafie	Nadmořská výška (m)	Vrtný profil	Hloubka (Mocnost) (m)	Hladina podzemní vody (m)	Vzorek Lab. číslo	Zařídění ČSN 73 1005	Těžitelnost ČSN 73 6133	Konzistence /ulehlost	Geotyp	Navážka charakteru hlinitého štěrku, betonový recyklát, hrubozrnný, s kusy cihel a stavební sutí, ojediněle obsahuje balvan přes průměr vrtu, s písčitohlinitou výplní	1	Ant	447.00		(0.85) 0.85			G4 GMY+Cb+b	I	-	Y4		2		446.65		1.20			F2 CGY	I	-	Y4	Navážka charakteru štěrkovitého jílu, hnědošedý, tuhý, nízcě plastický jíl s organickým štěrkem a drceným kamenem do velikosti 10 cm, obsahu do 20 %, obsahuje příměs stavební sutí	3	Q	445.15		(1.50) 2.70		⊗	F6 CL	I	T	Q1	Jíl s nízkou plasticitou, hnědý, tuhý, slabě slídnatý, v polohách silně jemně písčité, silně prachovitý s drobnými ostrohrannými klasty o vel. do 0,5 cm a s valouny o velikosti až 2 cm celkového obsahu max 15 %; od hloubky 3,0 m hnědý a šedý písčité smouhovaný; deluviofluviální	4		443.95		(1.20) 3.90	4.0		F6 CI	I	T	Q1	Jíl se střední plasticitou, šedohnědý, okrově hnědý šmouhovaný, tuhý, silně prachovitý, místy se silnou jemnozrnnou písčitou příměsí, s ostrohrannými úlomky o velikosti 2-3 cm a obsahem cca 20 %; deluviofluviální	5		443.35		4.50			S5 SC	I	-	Q2	Písek jílovitý,šedý, ulehlý, středně zrnitý s opracovaným štěrkem o velikosti do 0,5 cm a obsahem cca 15 %; fluviální	6		443.05		4.80		↑	R6 (F6)	I	-	P1	Jílovec zcela zvětralý, šedý, prachovitý, silně vápnitý, charakteru tuhého jílu se střípkovitě rozpadavými úlomky hornin do 1 cm, které lze drtit v prstech a obsahu cca 15-20 %; viditelné vodorovné až lehce ukloněné zvrstvení	7	Paleogén	441.55		(1.50) 6.30		⊗	R3	II	-	P4	Pískovec navětralý, šedý, jemnozrnný, silně vápnitý, se světle šedým žilkováním, s křemičitou příměsí, při postupu vrtné soupravy rozpadavý na úlomky a kameny hornin o vel. 5-15 cm, místy až přes průměr vrtu, které lze otloukat až těžce rozbít kladivem, v polohách s prachovitou jílovitou výplní, vodorovné zvrstvení	8				(3.20)			R6 (F6)	I	-	P1	Jílovec zcela zvětralý, prachovitý, silně vápnitý, šedý, vodorovně až lehce šikmě zvrstvený, se střípkovitě rozpadavými úlomky horniny o velikosti do 1-2 cm, které lze drtit v prstech až lámat rukou, celkového obsahu cca 15 %; lokálně výskyt pevnějších úlomků třídy R4, o velikosti 2-3 cm, které lze lehce až středně rozbít kladivem (interval 7,50-8,40)	9		438.35		9.50								10		437.35		(1.00) 10.50		⊗	R6 (F6)	I	-	P1	Jílovec silně zvětralý, šedý, prachovitý, silně vápnitý, charakterem silně prachovitého jílu se střípkovitými úlomky jílovce o velikosti do 2-3 cm, ojediněle až 4 cm a obsahu cca 30 - 35 %, které lze lehce rozbít kladivem; viditelné vodorovné až lehce šikmé zvrstvení
0	Stratigrafie	Nadmořská výška (m)	Vrtný profil	Hloubka (Mocnost) (m)	Hladina podzemní vody (m)	Vzorek Lab. číslo	Zařídění ČSN 73 1005	Těžitelnost ČSN 73 6133	Konzistence /ulehlost	Geotyp	Navážka charakteru hlinitého štěrku, betonový recyklát, hrubozrnný, s kusy cihel a stavební sutí, ojediněle obsahuje balvan přes průměr vrtu, s písčitohlinitou výplní																																																																																																																																				
1	Ant	447.00		(0.85) 0.85			G4 GMY+Cb+b	I	-	Y4																																																																																																																																					
2		446.65		1.20			F2 CGY	I	-	Y4	Navážka charakteru štěrkovitého jílu, hnědošedý, tuhý, nízcě plastický jíl s organickým štěrkem a drceným kamenem do velikosti 10 cm, obsahu do 20 %, obsahuje příměs stavební sutí																																																																																																																																				
3	Q	445.15		(1.50) 2.70		⊗	F6 CL	I	T	Q1	Jíl s nízkou plasticitou, hnědý, tuhý, slabě slídnatý, v polohách silně jemně písčité, silně prachovitý s drobnými ostrohrannými klasty o vel. do 0,5 cm a s valouny o velikosti až 2 cm celkového obsahu max 15 %; od hloubky 3,0 m hnědý a šedý písčité smouhovaný; deluviofluviální																																																																																																																																				
4		443.95		(1.20) 3.90	4.0		F6 CI	I	T	Q1	Jíl se střední plasticitou, šedohnědý, okrově hnědý šmouhovaný, tuhý, silně prachovitý, místy se silnou jemnozrnnou písčitou příměsí, s ostrohrannými úlomky o velikosti 2-3 cm a obsahem cca 20 %; deluviofluviální																																																																																																																																				
5		443.35		4.50			S5 SC	I	-	Q2	Písek jílovitý,šedý, ulehlý, středně zrnitý s opracovaným štěrkem o velikosti do 0,5 cm a obsahem cca 15 %; fluviální																																																																																																																																				
6		443.05		4.80		↑	R6 (F6)	I	-	P1	Jílovec zcela zvětralý, šedý, prachovitý, silně vápnitý, charakteru tuhého jílu se střípkovitě rozpadavými úlomky hornin do 1 cm, které lze drtit v prstech a obsahu cca 15-20 %; viditelné vodorovné až lehce ukloněné zvrstvení																																																																																																																																				
7	Paleogén	441.55		(1.50) 6.30		⊗	R3	II	-	P4	Pískovec navětralý, šedý, jemnozrnný, silně vápnitý, se světle šedým žilkováním, s křemičitou příměsí, při postupu vrtné soupravy rozpadavý na úlomky a kameny hornin o vel. 5-15 cm, místy až přes průměr vrtu, které lze otloukat až těžce rozbít kladivem, v polohách s prachovitou jílovitou výplní, vodorovné zvrstvení																																																																																																																																				
8				(3.20)			R6 (F6)	I	-	P1	Jílovec zcela zvětralý, prachovitý, silně vápnitý, šedý, vodorovně až lehce šikmě zvrstvený, se střípkovitě rozpadavými úlomky horniny o velikosti do 1-2 cm, které lze drtit v prstech až lámat rukou, celkového obsahu cca 15 %; lokálně výskyt pevnějších úlomků třídy R4, o velikosti 2-3 cm, které lze lehce až středně rozbít kladivem (interval 7,50-8,40)																																																																																																																																				
9		438.35		9.50																																																																																																																																											
10		437.35		(1.00) 10.50		⊗	R6 (F6)	I	-	P1	Jílovec silně zvětralý, šedý, prachovitý, silně vápnitý, charakterem silně prachovitého jílu se střípkovitými úlomky jílovce o velikosti do 2-3 cm, ojediněle až 4 cm a obsahu cca 30 - 35 %, které lze lehce rozbít kladivem; viditelné vodorovné až lehce šikmé zvrstvení																																																																																																																																				
Vrt byl ukončen v hloubce 10.50 m.																																																																																																																																															
Legenda										POZNÁMKA																																																																																																																																					
<div><div>↓ Naražená hladina podzemní vody</div><div>↓ Ustálená hladina podzemní vody</div><div>Vzorky</div><div>⊗ Porušený vzorek</div><div>↑ ↓ Jádrový vzorek horniny</div></div>																																																																																																																																															
Všechny rozměry jsou v metrech.		Souprava Vrtmistr		Kamaz J. Vinterlík		Dokumentoval(a) M. Láska		Zpracoval(a) M. Láska																																																																																																																																							
Měřítko 1 : 100																																																																																																																																															

GeoTec-GS, a.s.										GEOLOGICKÁ DOKUMENTACE VRTU										Označení vrtu IN5	
Název akce Valašská Polanka - Horní Lideč, sanace svahu, GTM																					
Zakázka číslo 2022-180				Vrtáno 22. 08. 2022 - 24. 08. 2022				Výška (m n. m.) B.p.v. Z = 463.51				Souřadnice S-JTSK Y = 493 158.53 X = 1170 071.67									
Objednatel Správa železnic, státní organizace						HPV naražená 2.40 m (461.11 m n. m.)				HPV ustálená 1.70 m (461.81 m n. m.)				Stránka 1 z 1							
												GEOLOGICKÝ POPIS ZEMIN A HORNIN									
Stratigrafie	Nadmořská výška (m)	Vrtný profil	Hloubka (Mocnost) (m)	Hladina podzemní vody (m)	Vzorek Lab. číslo	Zařídění ČSN 73 1005	Těžitelnost ČSN 73 6133	Konzistence /úlehlost	Geotyp												
0	463.31		0.20			F3 MS	I	-	Q0		Humusový										
											pokryv										
											charakteru										
											hlíny										
											písčité,										
											tmavě										
											hnědá,										
											pevná,										
											vlhká,										
											seshora										
											krytá										
											drnem										
1	462.71		0.80			F6 CI	I	P	Q1		Jíl s										
											nízkou										
											plasticitou,										
											hnědý,										
											pevný,										
											suchý,										
											rozpadavý,										
											slabě										
											písčité,										
											nevápnitý										
											s										
											ojedinělými										
											úlomk										
											y hornin										
											o průměru										
											0,5-1 cm										
2	461.91		1.60			F2 CG	I	P	Q1		Jíl										
											štěrkovitý,										
											světle										
											hnědý,										
											pevný,										
											suchý,										
											štěrk										
											do 40 %,										
											úlomk										
											y ostrohranné										
											a										
											poloostrohranné										
											o velikosti										
											1-3 cm,										
											zcela										
											zvětralé										
											úlomk										
											y pískovce,										
											písčité;										
											deluviofluvialní										
											sediment										
3	461.21		2.30			F6 CI	I	P	Q1		Jíl										
											se										
											střední										
											plasticitou,										
											světle										
											hnědý,										
											pevný,										
											šedorezavě										
											smouhovaný,										
											slabě										
											a jemně										
											písčité,										
											nevápnitý										
											s										
											ojedinělými										
											úlomk										
											y pískovce										
											F2 CG										
											I										
											T										
											Q1										
4	460.41		3.10			F2 CG	I	T	Q1		Jíl										
											se										
											střední										
											plasticitou,										
											světle										
											hnědý,										
											pevný,										
											šedorezavě										
											smouhovaný,										
											slabě										
											a jemně										
											písčité,										
											nevápnitý										
											s										
											ojedinělými										
											úlomk										
											y pískovce										
											F5 MI										
											I										
											P										
											P1										
5	459.31		4.20			F5 MI	I	P	P1		Jíl										
											štěrkovitý,										
											tmavě										
											šedohnědý,										
											nižší										
											tuhé										
											konzistence,										
											nevápnitý,										
											mokřý										
											štěrk										
											do 40 %,										
											zcela										
											zvětralé										
											až silně										
											zvětralé										
											ostrohranné										
											úlomk										
											y jílovce										
											o										
											velikosti										
											0,5-1 cm,										
											jádro										
											rozvrtné										
											na										
											nebezpečnou										
											zeminu										
6	458.21		5.30			F5 MI	I	P	P1		Hlína										
											se										
											střední										
											plasticitou,										
											pevná,										
											šedohnědá,										
											prachovitá,										
											s										

GeoTec-GS, a.s.										GEOLOGICKÁ DOKUMENTACE VRTU										Označení vrtu					
Název akce										Valašská Polanka - Horní Lideč, sanace svahu, GTM										IN6					
Zakázka číslo			Vrtáno			Výška (m n. m.) B.p.v.			Souřadnice S-JTSK																
2022-180			25. 08. 2022 - 28. 08. 2022			Z = 459.97			Y = 493 242.00 X = 1170 237.40																
Objednatel						HPV naražená			HPV ustálená							Stránka									
Správa železnic, státní organizace						3.00 m (456.97 m n. m.)			Nezastižena							1 z 2									
												GEOLOGICKÝ POPIS ZEMIN A HORNIN													
Stratigrafie																									
Nadmořská výška (m)																									
Vrtný profil																									
Hloubka (Mocnost) (m)																									
Hladina podzemní vody (m)																									
Vzorek Lab. číslo																									
Zatřídění ČSN 73 1005																									
Těžitelnost ČSN 73 6133																									
Konzistence /úlehlost																									
Geotyp																									
0												Humózní vrstva, středně plastická hlína, tmavě hnědá, tuhá konzistence, krytá drnem se slabou písčitou příměsí													
1												F6 F6 Cl + Cb I I M-T M-T Q1 Q1 Jíl se střední plasticitou, šedohnědý, okrově hnědý vápnitý, tuhé až místy měkké konzistence, silně prachovité, při bázi s proplásky jemného okrově hnědého písku; v intervalu 1,15-1,30 kámen pískovce o vel. až 15 cm; deluviofluviální sediment													
2												F6 Cl + Cb I I M-T M-T Q1 Q1 Jíl středně plastický, šedý, tuhý, lokálně až měkký, prachovité s cca 30-35% obsahem kamenů pískovce o velikosti 4-15 cm; deluviofluviální sediment													
3												F6 Cl I I M-T M-T Q1a Q1a Jíl se střední plasticitou, převážně šedý, místy hnědý a tmavě šedý, slabě vápnitý, prachovité, do 2,70 m měkká konzistence; od 2,70 m tuhý s drobnými klasty jílovce o velikosti do 2-3 mm, které lze zcela rozmělnit v prstech o obsahu cca 40 %, svrchu ojediněle opracovaný štěr z lomu, deluviofluviální sediment													
4												R5 I - - P3 P3 Pískovec silně zvětralý, šedé barvy s zoxidovanými rezavými polohami na úlomcích charakteru štěrku jílovitého až jilu štěrkovitého s ostrohrannými úlomky horniny o velikosti až 3-4 cm, které lze lehce až středně těžce rozbít kladivem, o obsahu cca 40-50%; v intervalu od hloubky 3,70 m jílovec se znaky lesklých ohlazených ploch na úlomcích, může se jednat o prohnětenou polohu, lokálně výskyt úlomků třídy R4 do 2-3 cm													
5																									
6												Jílovec zcela zvětralý, tmavě šedý, silně vápnitý, prachovité, charakteru jílu s nízkou plasticitou, tuhý až jilu štěrkovitého s ostrohrannými úlomky horniny střípkovitého rozpadu velikosti do 2-3 cm, průměru 1-2 cm, které lze lámat v prstech až lehce rozbít kladivem; od hloubky 4,70 s četnými ohlasy na klastických částicích - leklé ohlazené plochy - pravděpodobně se jedná o prohnětenou polohu, viditelné různorodé směry úlomků (znaky prohnětení do hl. 9,0 m, vlhké); od 9,0 m výnos v podobě prachu a pevného jílu nízké plasticity, s úlomky jílovce velikosti do 3 cm, které lze lehce rozbít kladivem, pravděpodobně silný přítok vody; od 9,5 m výnos v podobě jílu štěrkovitého - tuhého (26.8.2022)													
7																									
8												R6 I - - P1 P1 Jílovec silně zvětralý, šedý, silně vápnitý, prachovité, rozvrtán na zeminu charakteru štěrku (ostrohranné střípky jílovce o velikosti až 4-5 cm, průměrně do 2-3 cm), lze lehce rozbít kladivem o obsahu cca 50 %, výplň tvoří prach a drť úlomků													
9																									
10																									
11												R5 I - - P2 P2 Jílovec silně zvětralý, šedý, vápnitý, silně prachovité charakteru štěrku s příměsí jemnozrnné zeminy, s ostrohrannými úlomky horniny o velikosti až 6-7 cm, o obsahu cca 70 %, které lze lehce až středně těžce rozbít kladivem; s prachovitou výplní a s drobnými střípky jílovce s lasturnatým lomem													
12												R5 I - - P2 P2 Jílovec silně zvětralý, šedý, silně vápnitý, prachovité, postupem vrtání rozvrtán na drobné střípky a úlomky o velikosti až 3 cm s drtí úlomků, lze jen lehce rozbít kladivem až lámat v prstech, o celkovém obsahu cca 40-50 %, mezerní výplň tvoří prach a drobné střípky, celkový obsah klastů je 60 %													
13												R5 I - - P2 P2 Jílovec silně zvětralý, šedý, silně vápnitý, prachovité, postupem vrtání rozvrtán na drobné střípky a úlomky o velikosti až 3 cm s drtí úlomků, lze jen lehce rozbít kladivem až lámat v prstech, o celkovém obsahu cca 40-50 %, mezerní výplň tvoří prach a drobné střípky, celkový obsah klastů je 60 %													
14												R3 II - - P4 P4 Pískovec navětralý, šedý, středně zrnitý, postupem vrtné soupravy rozvrtán na úlomky horniny velikosti až přes průměr jádra a o obsahu 60-70 %, lze jen lehce až středně těžce těžce rozbít kladivem s drobnými úlomky, které lze drolit v prstech, mezerní výplň je písek a prach, místy s výskytem křemičitých zrn o velikosti 1-2 mm; v intervalu 13,70-14,00 silně zvětralá poloha charakteru štěrku jílovitého, tuhá konzistence (v intervalu 13,10-14,00 pískovec zdravý)													
15																									
16																									
17												R2 II - - P4 P4 Pískovec zdravý, šedozelený, rozvrtaný v kusy jader o délce 10-20 cm, slabě vápnitý, některé polohy zelené (glaukonit??), slídnatý, ojediněle pískovec uzavírá závalky tvrdého šedého jílu o průměru 0,5 cm, jádro lze rozbít 2 až 3 silnými údery kladiva nebo jen otloukat													
												Legenda										POZNÁMKA			
												Vzorky													
												Naražená hladina podzemní vody													
												Ustálená hladina podzemní vody													
												Jádrový vzorek horniny													
Všechny rozměry jsou v metrech.												Souprava HVS 382										Dokumentoval(a)		Zpracoval(a)	
Měřítko 1 : 100												Vrtmistr P. Rožnovjác, A. Vyshnyakov										M. Láska, Bc. E. Žáček		Bc. E. Žáček	

GeoTec-GS, a.s.										GEOLOGICKÁ DOKUMENTACE VRTU										Označení vrtu IN6																																						
Název akce Valašská Polanka - Horní Lideč, sanace svahu, GTM																																																										
Zakázka číslo 2022-180				Vrtáno 25. 08. 2022 - 28. 08. 2022				Výška (m n. m.) B.p.v. Z = 459.97				Souřadnice S-JTSK Y = 493 242.00 X = 1170 237.40																																														
Objednatel Správa železnic, státní organizace						HPV naražená 3.00 m (456.97 m n. m.)				HPV ustálená Nezastižena				Stránka 2 z 2																																												
<table><tr><td>Stratigrafie</td><td>Nadmořská výška (m)</td><td>Vrtný profil</td><td>Hloubka (Mocnost) (m)</td><td>Hladina podzemní vody (m)</td><td>Vzorek Lab. číslo</td><td>Zatřídění ČSN 73 1005</td><td>Těžitelnost ČSN 73 6133</td><td>Konzistence /ulehllost</td><td>Geotyp</td><td colspan="3" rowspan="3">GEOLOGICKÝ POPIS ZEMIN A HORNIN</td></tr><tr><td>18 Paleogén</td><td></td><td></td><td></td><td></td><td></td><td></td><td></td><td></td><td></td></tr><tr><td>19</td><td>439.97</td><td></td><td>20.00</td><td></td><td></td><td></td><td></td><td></td><td></td></tr><tr><td>20</td><td colspan="10"></td><td colspan="3">Vrt byl ukončen v hloubce 20.00 m.</td></tr></table>												Stratigrafie	Nadmořská výška (m)	Vrtný profil	Hloubka (Mocnost) (m)	Hladina podzemní vody (m)	Vzorek Lab. číslo	Zatřídění ČSN 73 1005	Těžitelnost ČSN 73 6133	Konzistence /ulehllost	Geotyp	GEOLOGICKÝ POPIS ZEMIN A HORNIN			18 Paleogén										19	439.97		20.00							20											Vrt byl ukončen v hloubce 20.00 m.		
Stratigrafie	Nadmořská výška (m)	Vrtný profil	Hloubka (Mocnost) (m)	Hladina podzemní vody (m)	Vzorek Lab. číslo	Zatřídění ČSN 73 1005	Těžitelnost ČSN 73 6133	Konzistence /ulehllost	Geotyp	GEOLOGICKÝ POPIS ZEMIN A HORNIN																																																
18 Paleogén																																																										
19	439.97		20.00																																																							
20											Vrt byl ukončen v hloubce 20.00 m.																																															
<div><div><div><div><div></div><div>↓</div></div><div>Naražená hladina podzemní vody</div></div><div><div><div></div><div>↓</div></div><div>Ustálená hladina podzemní vody</div></div></div><div><div>Vzorky</div><div><div><div><div></div></div><div>Porušený vzorek</div></div><div><div><div></div></div><div>Jádrový vzorek horniny</div></div></div></div><div>POZNÁMKA</div></div>																																																										
Všechny rozměry jsou v metrech. Měřítka 1 : 100																																																										
Souprava Vrtmistr				HVS 382 P. Rožnovják, A. Vyshnyakov				Dokumentoval(a) M. Láska, Bc. E. Žáček				Zpracoval(a) Bc. E. Žáček																																														

GeoTec-GS, a.s.										GEOLOGICKÁ DOKUMENTACE VRTU										Označení vrtu			
Název akce										Valašská Polanka - Horní Lideč, sanace svahu, GTM										IN7			
Zakázka číslo				Vrtáno				Výška (m n. m.) B.p.v.				Souřadnice S-JTSK											
2022-180				12. 09. 2022 - 14. 09. 2022				Z = 463.49				Y = 493 240.36 X = 1170 314.68											
Objednatel						HPV naražená				HPV ustálená				Stránka									
Správa železnic, státní organizace						4.00 m (459.49 m n. m.)				Nezastižena				1 z 2									
														GEOLOGICKÝ POPIS ZEMIN A HORNIN									
0														Humusový pokryv, pevný suchý, hnědý, seshora pokrytý dnem									
1														Jíl s vysokou plasticitou, pevný, světle hnědý, místy rezavě smouhovaný, nevápnitý, v hloubce 1,6m nasycený, jinak suchý, s úlomky pískovce o průměrné velikosti 1-8 cm (opracované až poloopracované), deluviofluviální sediment									
2																							
3														Jíl se střední plasticitou, pevný, šedohnědý, suchý s úlomky jílovce (polopracované až ostrohranné) o průměrné velikosti 0,5-8 cm a celkovém obsahu do 20 %, nevápnitý, v 4,0 m zvodnělá poloha s větším zastoupením úlomků jílovce R5, jílovec navětralý na povrchu se značnou oxidací									
4																							
5														Jílovec silně zvětralý, místy navětralý, tmavě šedý, ostrohranné úlomky o velikosti 0,5-8,0 cm, lze rozlomit v prstech a rýpat nehtem, vápnitý,									
6														Jílovec navětralý, tmavošedý, prachovitý, rozvrtaný s úlomky o velikosti do 8 cm, nelze lámat v ruce; od hloubky 6,0 m drobné ostrohranné úlomky do 2 cm s prachovitým jílem rozplaveným									
7														Pískovec navětralý, šedý, vápnitý, jemnozrnný až střednězrnný, rozvětrán na úlomky o velikosti do 5 cm, nelze lámat v ruce									
8														Jílovec navětralý, tmavošedý, výnos do 8,0 m, drobná drť, úlomky do 6 cm, které lze částečně obtížně lámat v ruce, částečně rozbíjet kladivem (1-2 údery), hornina je vápnitá a nepravidelně se objevují laminy a tenké desky písčité s přechodem do pískovce (o obsahu do 10 %)									
9														Jílovec silně zvětralý, prachovitý, tmavošedý, výnos v podobě střípků a drti a drobných úlomků do 3 cm, podružné pevnější a menší úlomky pískovce R5 do 5 cm; od 11 m vrtná drť s jílovitým rozplaveným pískem, s hloubkou velikost úlomků klesá									
10																							
11																							
12																							
13																							
14																							
15														Jílovec navětralý, tmavě šedý, vápnitý, charakteru úlomků o velikosti 2-8 cm, místy podružné polohy tvořené jemnou jílovcovou drtí o velikosti do 0,5 cm, jílovec lze obtížně lámat rukou a lze lépe rozbíjet 1-2 údery kladiva, úlomky rýhované, bez úlomků pískovce									
16																							
17																							
18																							
19																							
20																							
21																							
22																							
23																							
24																							
25																							
26																							
27																							
28																							
29																							
30																							
31																							
32																							
33																							
34																							
35																							
36																							
37																							
38																							
39																							
40																							
41																							
42																							
43																							
44																							
45																							
46																							
47																							
48																							
49																							
50																							
51																							
52																							
53																							
54																							
55																							
56																							
57																							
58																							
59																							
60																							
61																							
62																							
63																							
64																							
65																							
66																							
67																							
68																							
69																							
70																							
71																							
72																							
73																							
74																							
75																							
76																							
77																							
78																							
79																							
80																							
81																							
82																							
83																							
84																							
85																							
86																							
87																							
88																							
89																							
90																							
91																							
92																							
93																							
94																							
95																							
96																							
97																							
98																							
99																							
100																							
101																							
102																							
103																							
104																							
105																							
106																							
107																							
108																							
109																							
110																							
111																							
112																							
113																							
114																							
115																							
116																							
117																							
118																							
119																							
120																							
121																							
122																							
123																							
124																							
125																							
126																							
127																							
128																							
129																							
130																							
131																							
132																							
133																							
134																							
135																							
136																							
137																							
138																							
139																							
140																							
141																							
142																							
143																							
144																							
145																							
146																							
147																							
148																							
149																							
150																							
151																							
152																							
153																							
154																							
155																							
156																							
157																							
158																							
159																							
160																							
161																							
162																							
163																							
164																							
165																							
166																							
167																							
168																							
169																							
170																							
171																							
172																							
173																							
174																							
175																							
176																							
177																							
178																							
179																							
180																							
181																							
182																							
183																							
184																							
185																							
186																							
187																							
188																							
189																							
190																							
191																							
192																							
193																							
194																							
195																							
196																							
197																							
198																							
199																							
200																							
201																							
202																							
203																							
204																							
205																							
206																							
207																							
208																							
209																							
210																							
211																							
212																							
213																							
214																							
215																							
216																							
217																							
218																							
219																							
220																							
221																							
222																							
223																							
224																							
225																							
226																							
227																							
228																							
229																							
230																							
231																							
232																							
233																							
234																							
235																							
236																							
237																							
238																							
239																							
240																							
241																							
242																							
243																							
244																							
245																							
246																							
247																							
248																							
249																							
250																							
251																							
252																							
253																							
254																							
255																							
256																							
257																							
258																							
259																							
260																							
261																							
262																							
263																							
264																							
265																							
266																							
267																							
268																							
269																							
270																							
271																							
272																							
273																							
274																							
275																							
276																							
277																							
278																							
279																							
280																							
281																							
282																							
283																							
284																							
285																							
286																							
287																							
288																							
289																							
290																							
291																							
292																							
293																							
294																							
295																							
296																							
297																							
298																							
299																							
300																							
301																							
302																							
303																							
304																							
305																							
306																							
307																							
308																							
309																							
310																							
311																							
312																							
313																							
314																							
315																							
316																							
317																							
318																							
319																							
320																							
321																							
322																							
323																							
324																							
325																							
326																							
327																							
328																							
329																							
330																							
331																							
332																							
333																							
334																							
335																							
336																							
337																							
338																							
339																							
340																							
341																							
342																							
343																							
344																							
345																							
346																							
347																							
348																							
349																							
350																							
351																							
352																							
353																							
354																							
355																							
356																							
357																							
358																							
359																							
360																							
361																							
362																							
363																							
364																							
365																							
366																							
367																							
368																							
369																							
370																							
371																							
372																							
373																							
374																							
375																							
376																							
377																							
378																							
379																							
380																							
381																							
382																							
383																							
384																							
385																							
386																							
387																							
388																							
389																							
390																							
391																							
392																							
393																							
394																							
395																							
396																							
397																							
398																							
399																							
400																							
401																							
402																							
403																							
404																							
405																							
406																							
407																							
408																							
409																							
410																							
411																							
412																							
413																							
414																							
415																							
416																							
417																							
418																							
419																							
420																							
421																							
422																							
423																							
424																							
425																							
426																							
427																							
428																							
429																							
430																							
431																							
432																							
433																							
434																							
435																							
436																							
437																							
438																							
439																							
440																							
441																							
442																							
443																							
444																							
445																							
446																							
447																							
448																							
449																							
450																							
451																							
452																							
453																							
454																							
455																							
456																							
457																							
458																							
459																							
460																							
461																							
462																							
463																							
464																							
465																							
466																							
467																							
468																							

[illegible]

GeoTec-GS, a.s.										GEOLOGICKÁ DOKUMENTACE VRTU										Označení vrtu	
Název akce										Valašská Polanka - Horní Lideč, sanace svahu, GTM										IN8	
Zakázka číslo																					
2022-180										01. 09. 2022 - 06. 09. 2022		Z = 472.90				Y = 493 187.51 X = 1170 314.40					
Objednatel										HPV naražená				HPV ustálená				Stránka			
Správa železnic, státní organizace										1.80 m (471.10 m n. m.)				Nezastižena				1 z 1			
										GEOLOGICKÝ POPIS ZEMIN A HORNIN											





GeoTec-GS, a.s.										GEOLOGICKÁ DOKUMENTACE VRTU										Označení vrtu					
Název akce										Valašská Polanka - Horní Lideč, sanace svahu, GTM										IN9					
Zakázka číslo				Vrtáno				Výška (m n. m.) B.p.v.				Souřadnice S-JTSK													
2022-180				29. 07. 2022				Z = 470.26				Y = 493 178.08 X = 1170 199.75													
Objednatel						HPV naražená				HPV ustálená				Stránka											
Správa železnic, státní organizace						Nezastižena				Nezastižena				1 z 1											
														GEOLOGICKÝ POPIS ZEMIN A HORNIN											
0														Šterk s příměsí jemnozrnné zeminy, šedý, středně ulehlý, z počátku s drnem, s kořeny, úlomky pískovce velikosti do 6 cm, o obsahu 70-80%, mezerní výplň tvoří prach a jemný písek, humózní											
1														Kameny pískovce, velikosti až 12 cm, velikosti 4-10 cm, pevnosti R3, středně ulehlé, celkového obsahu cca 80-90 %, s prachovitou a písčitou výplní											
2																									
3														Hlína se střední plasticitou, hnědé, místy okrově hnědé barvy, lokálně s rezavými povlaky, pevná, silně prachovitá, se slabou písčitou příměsí, s úlomky jílovce (R5), ostrohranné se střípkovitým rozpadem, velikosti až 5 cm, obsahu cca 20-30 %; eluvium											
4														Jíl se střední plasticitou, tmavě hnědý, pevný, prachovitý, lokálně s oxidovanými, rezavými povlaky, se střípkovitě rozpadavými úlomky jílovce velikosti do 1-2 cm, o celkovém obsahu cca 10 %; eluvium											
5														Jílovec zcela zvětralý, šedý až tmavě šedý, prachovitý, charakteru jílu se střední plasticitou, pevného, se slabou písčitou příměsí, klasty jílovce, které lze lehce rozbít kladivem velikosti až 8 cm, o obsahu cca 20 %, zvrstvení lehce vodorovné a lehce šikmo laminované											
6														Pískovec/písčítý vápenec zcela až silně zvětralý, šedé až světle béžové barvy, pevný, vápnitý, s polohami rozvrtného jílovce charakteru jílu se střední plasticitou, s úlomky jílovce střípkovitě rozpadu velikosti do 3 cm, o obsahu cca 10-15 %, úlomky pískovce vodorovně laminované, které lze lámat rukou až lehce rozbít kladivem											
7														Pískovec/písčítý vápenec navětralý až mírně zvětralý, šedé a rezavé barvy, s rezavými zoxidovanými povlaky na úlomcích, vápnitý, úlomky mají místy až černé zbarvení, postupem vrtné soupravy rozvrtná na na zeminu charakteru šterku s příměsí jemnozrnné zeminy (menší polohy jílovce), v podobně ostrohranných úlomků horniny velikosti od 1 do 8 cm, obsahu cca 70 %, s drobnými střípkami a prachem, v intervalu 8,30 - 9,00 m silně zvětralá poloha třídy R5, lokálně výskyt úlomků třídy až R3 - z celkového obsahu do 10 %											
8																									
9																									
10																									
11																									
12																									
13														Jílovec navětralý, lasturnatý lom, tmavě šedý, prachovitý, silně vápnitý, rozvrtný na úlomky až 6 cm, obsahu do 60-70%, s prachovitou až jemnozrnné písčitou výplní, úlomky lze lehce rozbíjet kladivem											
14																									
15																									
Vrt byl ukončen v hloubce 15.00 m.																									
Legenda																									
POZNÁMKA																									
Vzorky																									
Naražená hladina podzemní vody																									
Ustálená hladina podzemní vody																									
Porušený vzorek																									
Jádrový vzorek horniny																									
Všechny rozměry jsou v metrech.																									
Měřítko 1 : 100																									
Souprava Vrtmistr																									
HVS 248 P.Bžatek																									
Dokumentoval(a) M. Láska																									
Zpracoval(a) M. Láska																									

GeoTec-GS, a.s.										GEOLOGICKÁ DOKUMENTACE VRTU										Označení vrtu	
Název akce										HG1											
Lidečko - násep, oprava havarijního stavu																					
Zakázka číslo			Vrtáno			Výška (m n. m.) B.p.v.			Souřadnice S-JTSK						Stránka						
2022-055			14. 03. 2022 - 15. 03. 2022			Z = 459.10			Y = 493 228.73 X = 1170 144.71												
Objednatel						HPV naražená			HPV ustálená						1 z 1						
Správa železnic, státní organizace						9.80 m (449.30 m n. m.)			Nezastižena												
Stratigrafie												GEOLOGICKÝ POPIS ZEMIN A HORNIN									
Ant																					
Paleogén																					
0												Navážka - štěrkové lože frakce 32/63									
1												Navážka - štěrk s příměsí škváry a černého jílu, jíl měkký až tuhý, mokry, středně ulehlý									
2												Navážka charakteru jílu písčitého, tuhý, hnědé až okrově hnědé barvy, písčitá příměs jemnně zrnitá, s ostrohrannými úlomky pískovce do 3 cm, obsahu do 30%									
3												Navážka charakteru jílu s vysokou plasticitou, tuhý, hnědý, v polohách okrově hnědý, s příměsí ostrohranných úlomků cca 20% jílovce do velikosti 3-4 cm, ojedinělé úlomky pískovce, v hloubce 6,6 m balvan zdravého vápence velikosti přes průměr vrtu - silná reakce na HCl									
4																					
5																					
6																					
7																					
8																					
9																					
10																					
11																					
12																					
13																					
14																					
15																					
Vrt byl ukončen v hloubce 15.00 m.																					
Legenda																					
POZNÁMKA																					
Vzorky																					
1 Naražená hladina podzemní vody																					
2 Ustálená hladina podzemní vody																					
Všechny rozměry jsou v metrech.																					
Měřítko 1 : 100																					
Souprava Vrtmistr																					
Wellco Drill 90 J. Černý																					
Dokumentoval(a) M. Láska																					
Zpracoval(a) Mgr. P. Karlín																					







GeoTec-GS, a.s.											Označení vrtu HG2																																																																																																																																																																																																																																																																																																																																																																																																																																																																																																																																																																																																																																																																																																																																																																																																																																																																																																																																																																																																																																																																																																	
Název akce																																																																																																																																																																																																																																																																																																																																																																																																																																																																																																																																																																																																																																																																																																																																																																																																																																																																																																																																																																																																																																																																																																												
Lidečko - násep, oprava havarijního stavu																																																																																																																																																																																																																																																																																																																																																																																																																																																																																																																																																																																																																																																																																																																																																																																																																																																																																																																																																																																																																																																																																																												
Zakázka číslo			Vrtáno			Výška (m n. m.) B.p.v.			Souřadnice S-JTSK																																																																																																																																																																																																																																																																																																																																																																																																																																																																																																																																																																																																																																																																																																																																																																																																																																																																																																																																																																																																																																																																																																			
2022-055			12. 03. 2022			Z = 459.36			Y = 493 234.46 X = 1170 164.30																																																																																																																																																																																																																																																																																																																																																																																																																																																																																																																																																																																																																																																																																																																																																																																																																																																																																																																																																																																																																																																																																																			
Objednatel						HPV naražená			HPV ustálená						Stránka																																																																																																																																																																																																																																																																																																																																																																																																																																																																																																																																																																																																																																																																																																																																																																																																																																																																																																																																																																																																																																																																																													
Správa železnic, státní organizace						13.00 m (446.36 m n. m.)			10.40 m (448.96 m n. m.)						1 z 1																																																																																																																																																																																																																																																																																																																																																																																																																																																																																																																																																																																																																																																																																																																																																																																																																																																																																																																																																																																																																																																																																													
GEOLOGICKÝ POPIS ZEMIN A HORNIN																																																																																																																																																																																																																																																																																																																																																																																																																																																																																																																																																																																																																																																																																																																																																																																																																																																																																																																																																																																																																																																																																																												
<table><tr><td>0</td><td rowspan="16">Ant</td><td rowspan="16"></td><td rowspan="16"></td><td rowspan="16"></td><td rowspan="16"></td><td rowspan="16"></td><td rowspan="16"></td><td rowspan="16"></td><td rowspan="16"></td><td rowspan="16"></td><td rowspan="16"></td><td rowspan="16"></td><td rowspan="16"></td><td rowspan="16"></td><td rowspan="16"></td><td rowspan="16"></td><td rowspan="16"></td><td rowspan="16"></td><td rowspan="16"></td><td rowspan="16"></td><td rowspan="16"></td><td rowspan="16"></td><td rowspan="16"></td><td rowspan="16"></td><td rowspan="16"></td><td rowspan="16"></td><td rowspan="16"></td><td rowspan="16"></td><td rowspan="16"></td><td rowspan="16"></td><td rowspan="16"></td><td rowspan="16"></td><td rowspan="16"></td><td rowspan="16"></td><td rowspan="16"></td><td rowspan="16"></td><td rowspan="16"></td><td rowspan="16"></td><td rowspan="16"></td><td rowspan="16"></td><td rowspan="16"></td><td rowspan="16"></td><td rowspan="16"></td><td rowspan="16"></td><td rowspan="16"></td><td rowspan="16"></td><td rowspan="16"></td><td rowspan="16"></td><td rowspan="16"></td><td rowspan="16"></td><td rowspan="16"></td><td rowspan="16"></td><td rowspan="16"></td><td rowspan="16"></td><td rowspan="16"></td><td rowspan="16"></td><td rowspan="16"></td><td rowspan="16"></td><td rowspan="16"></td><td rowspan="16"></td><td rowspan="16"></td><td rowspan="16"></td><td rowspan="16"></td><td rowspan="16"></td><td rowspan="16"></td><td rowspan="16"></td><td rowspan="16"></td><td rowspan="16"></td><td rowspan="16"></td><td rowspan="16"></td><td rowspan="16"></td><td rowspan="16"></td><td rowspan="16"></td><td rowspan="16"></td><td rowspan="16"></td><td rowspan="16"></td><td rowspan="16"></td><td rowspan="16"></td><td rowspan="16"></td><td rowspan="16"></td><td rowspan="16"></td><td rowspan="16"></td><td rowspan="16"></td><td rowspan="16"></td><td rowspan="16"></td><td rowspan="16"></td><td rowspan="16"></td><td rowspan="16"></td><td rowspan="16"></td><td rowspan="16"></td><td rowspan="16"></td><td rowspan="16"></td><td rowspan="16"></td><td rowspan="16"></td><td rowspan="16"></td><td rowspan="16"></td><td rowspan="16"></td><td rowspan="16"></td><td rowspan="16"></td><td rowspan="16"></td><td rowspan="16"></td><td rowspan="16"></td><td rowspan="16"></td><td rowspan="16"></td><td rowspan="16"></td><td rowspan="16"></td><td rowspan="16"></td><td rowspan="16"></td><td rowspan="16"></td><td rowspan="16"></td><td rowspan="16"></td><td rowspan="16"></td><td rowspan="16"></td><td rowspan="16"></td><td rowspan="16"></td><td rowspan="16"></td><td rowspan="16"></td><td rowspan="16"></td><td rowspan="16"></td><td rowspan="16"></td><td rowspan="16"></td><td rowspan="16"></td><td rowspan="16"></td><td rowspan="16"></td><td rowspan="16"></td><td rowspan="16"></td><td rowspan="16"></td><td rowspan="16"></td><td rowspan="16"></td><td rowspan="16"></td><td rowspan="16"></td><td rowspan="16"></td><td rowspan="16"></td><td rowspan="16"></td><td rowspan="16"></td><td rowspan="16"></td><td rowspan="16"></td><td rowspan="16"></td><td rowspan="16"></td><td rowspan="16"></td><td rowspan="16"></td><td rowspan="16"></td><td rowspan="16"></td><td rowspan="16"></td><td rowspan="16"></td><td rowspan="16"></td><td rowspan="16"></td><td rowspan="16"></td><td rowspan="16"></td><td rowspan="16"></td><td rowspan="16"></td><td rowspan="16"></td><td rowspan="16"></td><td rowspan="16"></td><td rowspan="16"></td><td rowspan="16"></td><td rowspan="16"></td><td rowspan="16"></td><td rowspan="16"></td><td rowspan="16"></td><td rowspan="16"></td><td rowspan="16"></td><td rowspan="16"></td><td rowspan="16"></td><td rowspan="16"></td><td rowspan="16"></td><td rowspan="16"></td><td rowspan="16"></td><td rowspan="16"></td><td rowspan="16"></td><td rowspan="16"></td><td rowspan="16"></td><td rowspan="16"></td><td rowspan="16"></td><td rowspan="16"></td><td rowspan="16"></td><td rowspan="16"></td><td rowspan="16"></td><td rowspan="16"></td><td rowspan="16"></td><td rowspan="16"></td><td rowspan="16"></td><td rowspan="16"></td><td rowspan="16"></td><td rowspan="16"></td><td rowspan="16"></td><td rowspan="16"></td><td rowspan="16"></td><td rowspan="16"></td><td rowspan="16"></td><td rowspan="16"></td><td rowspan="16"></td><td rowspan="16"></td><td rowspan="16"></td><td rowspan="16"></td><td rowspan="16"></td><td rowspan="16"></td><td rowspan="16"></td><td rowspan="16"></td><td rowspan="16"></td><td rowspan="16"></td><td rowspan="16"></td><td rowspan="16"></td><td rowspan="16"></td><td rowspan="16"></td><td rowspan="16"></td><td rowspan="16"></td><td rowspan="16"></td><td rowspan="16"></td><td rowspan="16"></td><td rowspan="16"></td><td rowspan="16"></td><td rowspan="16"></td><td rowspan="16"></td><td rowspan="16"></td><td rowspan="16"></td><td rowspan="16"></td><td rowspan="16"></td><td rowspan="16"></td><td rowspan="16"></td><td rowspan="16"></td><td rowspan="16"></td><td rowspan="16"></td><td rowspan="16"></td><td rowspan="16"></td><td rowspan="16"></td><td rowspan="16"></td><td rowspan="16"></td><td rowspan="16"></td><td rowspan="16"></td><td rowspan="16"></td><td rowspan="16"></td><td rowspan="16"></td><td rowspan="16"></td><td rowspan="16"></td><td rowspan="16"></td><td rowspan="16"></td><td rowspan="16"></td><td rowspan="16"></td><td rowspan="16"></td><td rowspan="16"></td><td rowspan="16"></td><td rowspan="16"></td><td rowspan="16"></td><td rowspan="16"></td><td rowspan="16"></td><td rowspan="16"></td><td rowspan="16"></td><td rowspan="16"></td><td rowspan="16"></td><td rowspan="16"></td><td rowspan="16"></td><td rowspan="16"></td><td rowspan="16"></td><td rowspan="16"></td><td rowspan="16"></td><td rowspan="16"></td><td rowspan="16"></td><td rowspan="16"></td><td rowspan="16"></td><td rowspan="16"></td><td rowspan="16"></td><td rowspan="16"></td><td rowspan="16"></td><td rowspan="16"></td><td rowspan="16"></td><td rowspan="16"></td><td rowspan="16"></td><td rowspan="16"></td><td rowspan="16"></td><td rowspan="16"></td><td rowspan="16"></td><td rowspan="16"></td><td rowspan="16"></td><td rowspan="16"></td><td rowspan="16"></td><td rowspan="16"></td><td rowspan="16"></td><td rowspan="16"></td><td rowspan="16"></td><td rowspan="16"></td><td rowspan="16"></td><td rowspan="16"></td><td rowspan="16"></td><td rowspan="16"></td><td rowspan="16"></td><td rowspan="16"></td><td rowspan="16"></td><td rowspan="16"></td><td rowspan="16"></td><td rowspan="16"></td><td rowspan="16"></td><td rowspan="16"></td><td rowspan="16"></td><td rowspan="16"></td><td rowspan="16"></td><td rowspan="16"></td><td rowspan="16"></td><td rowspan="16"></td><td rowspan="16"></td><td rowspan="16"></td><td rowspan="16"></td><td rowspan="16"></td><td rowspan="16"></td><td rowspan="16"></td><td rowspan="16"></td><td rowspan="16"></td><td rowspan="16"></td><td rowspan="16"></td><td rowspan="16"></td><td rowspan="16"></td><td rowspan="16"></td><td rowspan="16"></td><td rowspan="16"></td><td rowspan="16"></td><td rowspan="16"></td><td rowspan="16"></td><td rowspan="16"></td><td rowspan="16"></td><td rowspan="16"></td><td rowspan="16"></td><td rowspan="16"></td><td rowspan="16"></td><td rowspan="16"></td><td rowspan="16"></td><td rowspan="16"></td><td rowspan="16"></td><td rowspan="16"></td><td rowspan="16"></td><td rowspan="16"></td><td rowspan="16"></td><td rowspan="16"></td><td rowspan="16"></td><td rowspan="16"></td><td rowspan="16"></td><td rowspan="16"></td><td rowspan="16"></td><td rowspan="16"></td><td rowspan="16"></td><td rowspan="16"></td><td rowspan="16"></td><td rowspan="16"></td><td rowspan="16"></td><td rowspan="16"></td><td rowspan="16"></td><td rowspan="16"></td><td rowspan="16"></td><td rowspan="16"></td><td rowspan="16"></td><td rowspan="16"></td><td rowspan="16"></td><td rowspan="16"></td><td rowspan="16"></td><td rowspan="16"></td><td rowspan="16"></td><td rowspan="16"></td><td rowspan="16"></td><td rowspan="16"></td><td rowspan="16"></td><td rowspan="16"></td><td rowspan="16"></td><td rowspan="16"></td><td rowspan="16"></td><td rowspan="16"></td><td rowspan="16"></td><td rowspan="16"></td><td rowspan="16"></td><td rowspan="16"></td><td rowspan="16"></td><td rowspan="16"></td><td rowspan="16"></td><td rowspan="16"></td><td rowspan="16"></td><td rowspan="16"></td><td rowspan="16"></td><td rowspan="16"></td><td rowspan="16"></td><td rowspan="16"></td><td rowspan="16"></td><td rowspan="16"></td><td rowspan="16"></td><td rowspan="16"></td><td rowspan="16"></td><td rowspan="16"></td><td rowspan="16"></td><td rowspan="16"></td><td rowspan="16"></td><td rowspan="16"></td><td rowspan="16"></td><td rowspan="16"></td><td rowspan="16"></td><td rowspan="16"></td><td rowspan="16"></td><td rowspan="16"></td><td rowspan="16"></td><td rowspan="16"></td><td rowspan="16"></td><td rowspan="16"></td><td rowspan="16"></td><td rowspan="16"></td><td rowspan="16"></td><td rowspan="16"></td><td rowspan="16"></td><td rowspan="16"></td><td rowspan="16"></td><td rowspan="16"></td><td rowspan="16"></td><td rowspan="16"></td><td rowspan="16"></td><td rowspan="16"></td><td rowspan="16"></td><td rowspan="16"></td><td rowspan="16"></td><td rowspan="16"></td><td rowspan="16"></td><td rowspan="16"></td><td rowspan="16"></td><td rowspan="16"></td><td rowspan="16"></td><td rowspan="16"></td><td rowspan="16"></td><td rowspan="16"></td><td rowspan="16"></td><td rowspan="16"></td><td rowspan="16"></td><td rowspan="16"></td><td rowspan="16"></td><td rowspan="16"></td><td rowspan="16"></td><td rowspan="16"></td><td rowspan="16"></td><td rowspan="16"></td><td rowspan="16"></td><td rowspan="16"></td><td rowspan="16"></td><td rowspan="16"></td><td rowspan="16"></td><td rowspan="16"></td><td rowspan="16"></td><td rowspan="16"></td><td rowspan="16"></td><td rowspan="16"></td><td rowspan="16"></td><td rowspan="16"></td><td rowspan="16"></td><td rowspan="16"></td><td rowspan="16"></td><td rowspan="16"></td><td rowspan="16"></td><td rowspan="16"></td><td rowspan="16"></td><td rowspan="16"></td><td rowspan="16"></td><td rowspan="16"></td><td rowspan="16"></td><td rowspan="16"></td><td rowspan="16"></td><td rowspan="16"></td><td rowspan="16"></td><td rowspan="16"></td><td rowspan="16"></td><td rowspan="16"></td><td rowspan="16"></td><td rowspan="16"></td><td rowspan="16"></td><td rowspan="16"></td><td rowspan="16"></td><td rowspan="16"></td><td rowspan="16"></td><td rowspan="16"></td><td rowspan="16"></td><td rowspan="16"></td><td rowspan="16"></td><td rowspan="16"></td><td rowspan="16"></td><td rowspan="16"></td><td rowspan="16"></td><td rowspan="16"></td><td rowspan="16"></td><td rowspan="16"></td><td rowspan="16"></td><td rowspan="16"></td><td rowspan="16"></td><td rowspan="16"></td><td rowspan="16"></td><td rowspan="16"></td><td rowspan="16"></td><td rowspan="16"></td><td rowspan="16"></td><td rowspan="16"></td><td rowspan="16"></td><td rowspan="16"></td><td rowspan="16"></td><td rowspan="16"></td><td rowspan="16"></td><td rowspan="16"></td><td rowspan="16"></td><td rowspan="16"></td><td rowspan="16"></td><td rowspan="16"></td><td rowspan="16"></td><td rowspan="16"></td><td rowspan="16"></td><td rowspan="16"></td><td rowspan="16"></td><td rowspan="16"></td><td rowspan="16"></td><td rowspan="16"></td><td rowspan="16"></td><td rowspan="16"></td><td rowspan="16"></td><td rowspan="16"></td><td rowspan="16"></td><td rowspan="16"></td><td rowspan="16"></td><td rowspan="16"></td><td rowspan="16"></td><td rowspan="16"></td><td rowspan="16"></td><td rowspan="16"></td><td rowspan="16"></td><td rowspan="16"></td><td rowspan="16"></td><td rowspan="16"></td><td rowspan="16"></td><td rowspan="16"></td><td rowspan="16"></td><td rowspan="16"></td><td rowspan="16"></td><td rowspan="16"></td><td rowspan="16"></td><td rowspan="16"></td><td rowspan="16"></td><td rowspan="16"></td></tr></table>															0	Ant																																																																																																																																																																																																																																																																																																																																																																																																																																																																																																																																																																																																																																																																																																																																																																																																																																																																																																																																																																																																																																																																																												
0	Ant																																																																																																																																																																																																																																																																																																																																																																																																																																																																																																																																																																																																																																																																																																																																																																																																																																																																																																																																																																																																																																																																																																											

GeoTec-GS, a.s.										GEOLOGICKÁ DOKUMENTACE VRTU										Označení vrtu HG3																																																																																																																												
Název akce																																																																																																																																																
Lidečko - násep, oprava havarijního stavu																																																																																																																																																
Zakázka číslo 2022-055				Vrtáno 08. 03. 2022 - 09. 03. 2022				Výška (m n. m.) B.p.v. Z = 459.52				Souřadnice S-JTSK Y = 493 238.83 X = 1170 179.13																																																																																																																																				
Objednatel Správa železnic, státní organizace						HPV naražená 12.00 m (447.52 m n. m.)				HPV ustálená 10.40 m (449.12 m n. m.)				Stránka 1 z 1																																																																																																																																		
<table><tr><td colspan="2">Stratigrafie</td><td>Nadmořská výška (m)</td><td>Vrtný profil</td><td>Hloubka (Mocnost) (m)</td><td>Hladina podzemní vody (m)</td><td>Vzorek Lab. číslo</td><td>Zařídění ČSN 73 1005</td><td>Těžitelnost ČSN 73 6133</td><td>Konzistence /ulehlost</td><td>Geotyp</td><td colspan="3" rowspan="2">GEOLOGICKÝ POPIS ZEMIN A HORNIN</td></tr><tr><td>0</td><td rowspan="5">Ant</td><td></td><td></td><td>(1.10)</td><td></td><td></td><td>G2 GPY</td><td>I</td><td>0</td><td>Y3</td></tr><tr><td>1</td><td>458.42</td><td></td><td>1.10</td><td></td><td></td><td>G3 G-FY</td><td>I</td><td>0</td><td>Y3</td></tr><tr><td>2</td><td>457.52</td><td></td><td>2.00</td><td>1 2.0</td><td></td><td rowspan="2">F6 CIY</td><td rowspan="2">I</td><td rowspan="2">T</td><td rowspan="2">Y2</td></tr><tr><td>3</td><td></td><td></td><td>(3.50)</td><td></td></tr><tr><td>4</td><td></td><td></td><td></td><td></td></tr><tr><td>5</td><td></td><td>454.02</td><td></td><td>5.50</td><td></td><td rowspan="2">F8 CHY</td><td rowspan="2">I</td><td rowspan="2">T</td><td rowspan="2">Y2a</td></tr><tr><td>6</td><td></td><td></td><td></td><td>(2.00)</td><td></td></tr><tr><td>7</td><td></td><td>452.02</td><td></td><td>7.50</td><td></td><td rowspan="5">R6 (F6)</td><td rowspan="5">I</td><td rowspan="5"></td><td rowspan="5"></td><td rowspan="5">P1</td></tr><tr><td>8</td><td rowspan="5">Paleogén</td><td></td><td></td><td></td><td></td></tr><tr><td>9</td><td></td><td></td><td></td><td></td></tr><tr><td>10</td><td></td><td></td><td>(4.50)</td><td>1 10.40</td></tr><tr><td>11</td><td></td><td></td><td></td><td></td></tr><tr><td>12</td><td>447.52</td><td></td><td>12.00</td><td>2 12.0</td></tr><tr><td>13</td><td></td><td></td><td></td><td>(3.00)</td><td></td><td rowspan="3">R5</td><td rowspan="3">I</td><td rowspan="3"></td><td rowspan="3"></td><td rowspan="3">P2</td></tr><tr><td>14</td><td></td><td></td><td></td><td></td></tr><tr><td>15</td><td>444.52</td><td></td><td>15.00</td><td></td></tr></table>														Stratigrafie		Nadmořská výška (m)	Vrtný profil	Hloubka (Mocnost) (m)	Hladina podzemní vody (m)	Vzorek Lab. číslo	Zařídění ČSN 73 1005	Těžitelnost ČSN 73 6133	Konzistence /ulehlost	Geotyp	GEOLOGICKÝ POPIS ZEMIN A HORNIN			0	Ant			(1.10)			G2 GPY	I	0	Y3	1	458.42		1.10			G3 G-FY	I	0	Y3	2	457.52		2.00	1 2.0		F6 CIY	I	T	Y2	3			(3.50)		4					5		454.02		5.50		F8 CHY	I	T	Y2a	6				(2.00)		7		452.02		7.50		R6 (F6)	I			P1	8	Paleogén					9					10			(4.50)	1 10.40	11					12	447.52		12.00	2 12.0	13				(3.00)		R5	I			P2	14					15	444.52		15.00		Vrt byl ukončen v hloubce 15.00 m.	
Stratigrafie		Nadmořská výška (m)	Vrtný profil	Hloubka (Mocnost) (m)	Hladina podzemní vody (m)	Vzorek Lab. číslo	Zařídění ČSN 73 1005	Těžitelnost ČSN 73 6133	Konzistence /ulehlost	Geotyp	GEOLOGICKÝ POPIS ZEMIN A HORNIN																																																																																																																																					
0	Ant			(1.10)			G2 GPY	I	0	Y3																																																																																																																																						
1		458.42		1.10			G3 G-FY	I	0	Y3																																																																																																																																						
2		457.52		2.00	1 2.0		F6 CIY	I	T	Y2																																																																																																																																						
3				(3.50)																																																																																																																																												
4																																																																																																																																																
5		454.02		5.50		F8 CHY	I	T	Y2a																																																																																																																																							
6				(2.00)																																																																																																																																												
7		452.02		7.50		R6 (F6)	I			P1																																																																																																																																						
8	Paleogén																																																																																																																																															
9																																																																																																																																																
10				(4.50)	1 10.40																																																																																																																																											
11																																																																																																																																																
12		447.52		12.00	2 12.0																																																																																																																																											
13				(3.00)		R5	I			P2																																																																																																																																						
14																																																																																																																																																
15	444.52		15.00																																																																																																																																													
Legenda												POZNÁMKA																																																																																																																																				
<div><div><div><div><div></div><div></div></div><div>Naražená hladina podzemní vody</div></div><div><div><div></div><div></div></div><div>Ustálená hladina podzemní vody</div></div></div><div>Vzorky</div></div>																																																																																																																																																
Všechny rozměry jsou v metrech. Měřítko 1 : 100				Souprava Vrtmistr				Wellco Drill 90 J. Černý				Dokumentoval(a) M. Láska				Zpracoval(a) Mgr. P. Karlín																																																																																																																																

GeoTec-GS, a.s.											Označení vrtu IN1																																																																																																																																																																																																										
Název akce																																																																																																																																																																																																																					
Lidečko - násep, oprava havarijního stavu																																																																																																																																																																																																																					
Zakázka číslo 2022-055		Vrtáno 16. 03. 2022 - 17. 03. 2022		Výška (m n. m.) B.p.v. Z = 459.27		Souřadnice S-JTSK Y = 493 228.00 X = 1170 142.54																																																																																																																																																																																																															
Objednatel Správa železnic, státní organizace				HPV naražená 10.00 m (449.27 m n. m.)		HPV ustálená Nezastižena			Stránka 1 z 2																																																																																																																																																																																																												
GEOLOGICKÝ POPIS ZEMIN A HORNIN																																																																																																																																																																																																																					
<table><tr><td rowspan="10">Ant</td><td>0</td><td></td><td></td><td></td><td></td><td></td><td></td><td></td><td></td><td></td><td></td><td>Navážka - štěrkové lože frakce 32/63</td></tr><tr><td>1</td><td>458.27</td><td></td><td>(1.00)</td><td></td><td></td><td>G2 GPY</td><td>I</td><td></td><td>Y3</td><td></td><td rowspan="3">Navážka - štěrk s příměsí škváry a jílu, černý, jíl měkký až tuhý, mokry, středně ulehlý</td></tr><tr><td>2</td><td>456.97</td><td></td><td>(1.30)</td><td></td><td></td><td>G3 G-FY</td><td>I</td><td>SU</td><td>Y3</td><td></td></tr><tr><td>3</td><td>455.87</td><td></td><td>(1.10)</td><td></td><td></td><td>F4 CSY</td><td>I</td><td>T</td><td>Y2</td><td></td></tr><tr><td>4</td><td></td><td></td><td></td><td></td><td></td><td></td><td></td><td></td><td></td><td></td><td rowspan="2">Navážka charakteru jílu s vysokou plasticitou, tuhý, hnědý, v polohách okrově hnědý, s příměsí ostrohranných úlomků cca 20% jílovce do velikosti 3-4 cm, ojedinělé úlomky pískovce, v hloubce 6,6 m poloha zdravého vápence/pískovce velikosti přes průměr vrtu - silná reakce na HCl</td></tr><tr><td>5</td><td></td><td></td><td>(3.60)</td><td></td><td></td><td>F8 CHY</td><td>I</td><td>T</td><td>Y2a</td><td></td></tr><tr><td>7</td><td>452.27</td><td></td><td>7.00</td><td></td><td></td><td></td><td></td><td></td><td></td><td></td><td></td></tr><tr><td>8</td><td>451.77</td><td></td><td>7.50</td><td></td><td></td><td>R4-R5</td><td>I</td><td></td><td>P3</td><td></td><td>Mírně až silně zvětralý pískovec, tmavě šedohnědý, jemnozrný, vrstevnatý, vrtáním rozvrtán na úlomky velikosti až 8 cm, které lze lehce rozbít kladivem</td></tr><tr><td>9</td><td></td><td></td><td>(2.50)</td><td></td><td></td><td>R6 (F6)</td><td>I</td><td>0</td><td>P1</td><td></td><td>Jílovec zcela zvětralý, charakteru jílu se střední plasticitou, převážně pevné konzistence, šedý, místy vápnitý, prachovitý, s úlomky jílovce do velikosti 2 cm a obsahem do 10%, při bázi přibývá úlomků do 20%</td></tr><tr><td>10</td><td>449.27</td><td></td><td>10.00</td><td>10.0</td><td></td><td></td><td></td><td></td><td></td><td></td><td rowspan="2">Jílovec zcela až silně zvětralý, šedý, prachovitý, místy narezivělý, charakteru pevného středně plastickeho jílu s cca 20% příměsí úlomků velikosti do 2-3 cm, místy až 5 cm, které lze drtit v prstech až lehce rozbít kladivem</td></tr><tr><td>11</td><td>448.27</td><td></td><td>11.00</td><td></td><td></td><td>R5-R6</td><td>I</td><td></td><td>P1</td><td></td></tr><tr><td>12</td><td>447.77</td><td></td><td>11.50</td><td></td><td></td><td>R4</td><td>I</td><td></td><td>P2</td><td></td><td>Jílovec navětralý, šedý, místy narezivělý, prachovitý, rozvrtán na ostrohranné úlomky do 10 cm</td></tr><tr><td>13</td><td></td><td></td><td></td><td>13.0</td><td></td><td></td><td></td><td></td><td></td><td></td><td>Jílovec navětralý, šedý, místy narezivělý, prachovitý, pro povahu vrtání (rázové rotační na vzduch) obtížně dokumentovatelný</td></tr><tr><td>14</td><td></td><td></td><td></td><td></td><td></td><td></td><td></td><td></td><td></td><td></td><td></td></tr><tr><td>15</td><td></td><td></td><td></td><td></td><td></td><td></td><td></td><td></td><td></td><td></td><td></td></tr><tr><td>16</td><td></td><td></td><td>(8.50)</td><td></td><td></td><td>R4</td><td>I</td><td></td><td>P2</td><td></td><td></td></tr><tr><td>17</td><td></td><td></td><td></td><td></td><td></td><td></td><td></td><td></td><td></td><td></td><td></td></tr></table>													Ant	0											Navážka - štěrkové lože frakce 32/63	1	458.27		(1.00)			G2 GPY	I		Y3		Navážka - štěrk s příměsí škváry a jílu, černý, jíl měkký až tuhý, mokry, středně ulehlý	2	456.97		(1.30)			G3 G-FY	I	SU	Y3		3	455.87		(1.10)			F4 CSY	I	T	Y2		4											Navážka charakteru jílu s vysokou plasticitou, tuhý, hnědý, v polohách okrově hnědý, s příměsí ostrohranných úlomků cca 20% jílovce do velikosti 3-4 cm, ojedinělé úlomky pískovce, v hloubce 6,6 m poloha zdravého vápence/pískovce velikosti přes průměr vrtu - silná reakce na HCl	5			(3.60)			F8 CHY	I	T	Y2a		7	452.27		7.00									8	451.77		7.50			R4-R5	I		P3		Mírně až silně zvětralý pískovec, tmavě šedohnědý, jemnozrný, vrstevnatý, vrtáním rozvrtán na úlomky velikosti až 8 cm, které lze lehce rozbít kladivem	9			(2.50)			R6 (F6)	I	0	P1		Jílovec zcela zvětralý, charakteru jílu se střední plasticitou, převážně pevné konzistence, šedý, místy vápnitý, prachovitý, s úlomky jílovce do velikosti 2 cm a obsahem do 10%, při bázi přibývá úlomků do 20%	10	449.27		10.00	10.0							Jílovec zcela až silně zvětralý, šedý, prachovitý, místy narezivělý, charakteru pevného středně plastickeho jílu s cca 20% příměsí úlomků velikosti do 2-3 cm, místy až 5 cm, které lze drtit v prstech až lehce rozbít kladivem	11	448.27		11.00			R5-R6	I		P1		12	447.77		11.50			R4	I		P2		Jílovec navětralý, šedý, místy narezivělý, prachovitý, rozvrtán na ostrohranné úlomky do 10 cm	13				13.0							Jílovec navětralý, šedý, místy narezivělý, prachovitý, pro povahu vrtání (rázové rotační na vzduch) obtížně dokumentovatelný	14												15												16			(8.50)			R4	I		P2			17											
Ant	0											Navážka - štěrkové lože frakce 32/63																																																																																																																																																																																																									
	1	458.27		(1.00)			G2 GPY	I		Y3		Navážka - štěrk s příměsí škváry a jílu, černý, jíl měkký až tuhý, mokry, středně ulehlý																																																																																																																																																																																																									
	2	456.97		(1.30)			G3 G-FY	I	SU	Y3																																																																																																																																																																																																											
	3	455.87		(1.10)			F4 CSY	I	T	Y2																																																																																																																																																																																																											
	4											Navážka charakteru jílu s vysokou plasticitou, tuhý, hnědý, v polohách okrově hnědý, s příměsí ostrohranných úlomků cca 20% jílovce do velikosti 3-4 cm, ojedinělé úlomky pískovce, v hloubce 6,6 m poloha zdravého vápence/pískovce velikosti přes průměr vrtu - silná reakce na HCl																																																																																																																																																																																																									
	5			(3.60)			F8 CHY	I	T	Y2a																																																																																																																																																																																																											
	7	452.27		7.00																																																																																																																																																																																																																	
	8	451.77		7.50			R4-R5	I		P3		Mírně až silně zvětralý pískovec, tmavě šedohnědý, jemnozrný, vrstevnatý, vrtáním rozvrtán na úlomky velikosti až 8 cm, které lze lehce rozbít kladivem																																																																																																																																																																																																									
	9			(2.50)			R6 (F6)	I	0	P1		Jílovec zcela zvětralý, charakteru jílu se střední plasticitou, převážně pevné konzistence, šedý, místy vápnitý, prachovitý, s úlomky jílovce do velikosti 2 cm a obsahem do 10%, při bázi přibývá úlomků do 20%																																																																																																																																																																																																									
	10	449.27		10.00	10.0							Jílovec zcela až silně zvětralý, šedý, prachovitý, místy narezivělý, charakteru pevného středně plastickeho jílu s cca 20% příměsí úlomků velikosti do 2-3 cm, místy až 5 cm, které lze drtit v prstech až lehce rozbít kladivem																																																																																																																																																																																																									
11	448.27		11.00			R5-R6	I		P1																																																																																																																																																																																																												
12	447.77		11.50			R4	I		P2		Jílovec navětralý, šedý, místy narezivělý, prachovitý, rozvrtán na ostrohranné úlomky do 10 cm																																																																																																																																																																																																										
13				13.0							Jílovec navětralý, šedý, místy narezivělý, prachovitý, pro povahu vrtání (rázové rotační na vzduch) obtížně dokumentovatelný																																																																																																																																																																																																										
14																																																																																																																																																																																																																					
15																																																																																																																																																																																																																					
16			(8.50)			R4	I		P2																																																																																																																																																																																																												
17																																																																																																																																																																																																																					
Legenda											POZNÁMKA																																																																																																																																																																																																										
<div><div><div><div></div><div>Naražená hladina podzemní vody</div></div><div><div></div><div>Ustálená hladina podzemní vody</div></div></div><div>Vzorky<div><div></div><div>Porušený vzorek</div></div></div></div>																																																																																																																																																																																																																					
Všechny rozměry jsou v metrech. Měřítko 1 : 100				Souprava Vrtmistr		Wellco Drill 90 J. Černý			Dokumentoval(a) Mgr. P. Karlín		Zpracoval(a) Mgr. P. Karlín																																																																																																																																																																																																										


GeoTec-GS, a.s.										GEOLOGICKÁ DOKUMENTACE VRTU		Označení vrtu IN1
Název akce Lidečko - násep, oprava havarijního stavu												
Zakázka číslo 2022-055		Vrtáno 16. 03. 2022 - 17. 03. 2022		Výška (m n. m.) B.p.v. Z = 459.27		Souřadnice S-JTSK Y = 493 228.00 X = 1170 142.54						
Objednatel Správa železnic, státní organizace				HPV naražená 10.00 m (449.27 m n. m.)		HPV ustálená Nezastižena				Stránka 2 z 2		
18	Stratigrafie	Nadmožská výška (m)	Vrtný profil	Hloubka (Mocnost) (m)	Hladina podzemní vody (m)	Vzorek Lab. číslo	Zatřídění ČSN 73 1005	Těžitelnost ČSN 73 6133	Konzistence /ulehlost	Geotyp	GEOLOGICKÝ POPIS ZEMIN A HORNIN	
19	Paleogén	439.27		20.00							Jílovec navětralý, šedý, místy narezivělý, prachovitý, pro povahu vrtání (rázově rotační na vzduch) obtížně dokumentovatelný (pokračování z předchozí strany)	
20												
Vrt byl ukončen v hloubce 20.00 m.												
Legenda											POZNÁMKA	
<div> Naražená hladina podzemní vody</div> <div> Ustálená hladina podzemní vody</div> <div>Vzorky  Porušený vzorek</div>												
Všechny rozměry jsou v metrech. Měřítko 1 : 100		Souprava Vrtmistr		Wellco Drill 90 J. Černý		Dokumentoval(a) Mgr. P. Karlín				Zpracoval(a) Mgr. P. Karlín		




GeoTec-GS, a.s.										GEOLOGICKÁ DOKUMENTACE VRTU										Označení vrtu																																																																																																																																																																																																																																																																																																																																																																																																																																																																																																																																																																																																																																																																																																																																																																																																																																																																																																																																																																																																																																																																																																																																																																																																																																																																																																																																																																																																																																																																																																																																																																																																																																																																																																																																																																																																																																																																																																																																																																																																																																																																																																																																																																																																																																																																																																																																																																																																																																																																																																																																																																																																																																																																																																																																																																																																																																																																																																																																																																																																																																																																																																																																																																																																																																																																																																																																																																																																																																																																																																																																																																																																																																																																																																																																																																																																																																																																																																																																																																																																																																																																																																																																																																																																																																																																																																																																																			
Název akce										Lidečko - násep, oprava havarijního stavu										IN2																																																																																																																																																																																																																																																																																																																																																																																																																																																																																																																																																																																																																																																																																																																																																																																																																																																																																																																																																																																																																																																																																																																																																																																																																																																																																																																																																																																																																																																																																																																																																																																																																																																																																																																																																																																																																																																																																																																																																																																																																																																																																																																																																																																																																																																																																																																																																																																																																																																																																																																																																																																																																																																																																																																																																																																																																																																																																																																																																																																																																																																																																																																																																																																																																																																																																																																																																																																																																																																																																																																																																																																																																																																																																																																																																																																																																																																																																																																																																																																																																																																																																																																																																																																																																																																																																																																																																			
Zakázka číslo																						Vrtáno										Výška (m n. m.) B.p.v.										Souřadnice S-JTSK																																																																																																																																																																																																																																																																																																																																																																																																																																																																																																																																																																																																																																																																																																																																																																																																																																																																																																																																																																																																																																																																																																																																																																																																																																																																																																																																																																																																																																																																																																																																																																																																																																																																																																																																																																																																																																																																																																																																																																																																																																																																																																																																																																																																																																																																																																																																																																																																																																																																																																																																																																																																																																																																																																																																																																																																																																																																																																																																																																																																																																																																																																																																																																																																																																																																																																																																																																																																																																																																																																																																																																																																																																																																																																																																																																																																																																																																																																																																																																																																																																																																																																																																																																																																																																																																																																																													
2022-055										12. 03. 2022 - 13. 03. 2022										Z = 459.35										Y = 493 233.05 X = 1170 159.91																																																																																																																																																																																																																																																																																																																																																																																																																																																																																																																																																																																																																																																																																																																																																																																																																																																																																																																																																																																																																																																																																																																																																																																																																																																																																																																																																																																																																																																																																																																																																																																																																																																																																																																																																																																																																																																																																																																																																																																																																																																																																																																																																																																																																																																																																																																																																																																																																																																																																																																																																																																																																																																																																																																																																																																																																																																																																																																																																																																																																																																																																																																																																																																																																																																																																																																																																																																																																																																																																																																																																																																																																																																																																																																																																																																																																																																																																																																																																																																																																																																																																																																																																																																																																																																																																																																																									
Objednatel										HPV naražená										HPV ustálená										Stránka																																																																																																																																																																																																																																																																																																																																																																																																																																																																																																																																																																																																																																																																																																																																																																																																																																																																																																																																																																																																																																																																																																																																																																																																																																																																																																																																																																																																																																																																																																																																																																																																																																																																																																																																																																																																																																																																																																																																																																																																																																																																																																																																																																																																																																																																																																																																																																																																																																																																																																																																																																																																																																																																																																																																																																																																																																																																																																																																																																																																																																																																																																																																																																																																																																																																																																																																																																																																																																																																																																																																																																																																																																																																																																																																																																																																																																																																																																																																																																																																																																																																																																																																																																																																																																																																																																																																									
Správa železnic, státní organizace										13.00 m (446.35 m n. m.)										Nezastižena										1 z 2																																																																																																																																																																																																																																																																																																																																																																																																																																																																																																																																																																																																																																																																																																																																																																																																																																																																																																																																																																																																																																																																																																																																																																																																																																																																																																																																																																																																																																																																																																																																																																																																																																																																																																																																																																																																																																																																																																																																																																																																																																																																																																																																																																																																																																																																																																																																																																																																																																																																																																																																																																																																																																																																																																																																																																																																																																																																																																																																																																																																																																																																																																																																																																																																																																																																																																																																																																																																																																																																																																																																																																																																																																																																																																																																																																																																																																																																																																																																																																																																																																																																																																																																																																																																																																																																																																																																									
Stratigrafie										Nadmořská výška (m)										Vrtný profil										Hloubka (Mocnost) (m)										Hladina podzemní vody (m)										Vzorek Lab. číslo										Zatřídění ČSN 73 1005										Těžitelnost ČSN 73 6133										Konzistence /ulehlost										Geotyp										GEOLOGICKÝ POPIS ZEMIN A HORNIN																																																																																																																																																																																																																																																																																																																																																																																																																																																																																																																																																																																																																																																																																																																																																																																																																																																																																																																																																																																																																																																																																																																																																																																																																																																																																																																																																																																																																																																																																																																																																																																																																																																																																																																																																																																																																																																																																																																																																																																																																																																																																																																																																																																																																																																																																																																																																																																																																																																																																																																																																																																																																																																																																																																																																																																																																																																																																																																																																																																																																																																																																																																																																																																																																																																																																																																																																																																																																																																																																																																																																																																																																																																																																																																																																																																																																																																																																																																																																																																																																																																																																																																																																																																																																																																																			
0																														(0.80)																																																																																										Navážka - štěrkové lože frakce 32/63																																																																																																																																																																																																																																																																																																																																																																																																																																																																																																																																																																																																																																																																																																																																																																																																																																																																																																																																																																																																																																																																																																																																																																																																																																																																																																																																																																																																																																																																																																																																																																																																																																																																																																																																																																																																																																																																																																																																																																																																																																																																																																																																																																																																																																																																																																																																																																																																																																																																																																																																																																																																																																																																																																																																																																																																																																																																																																																																																																																																																																																																																																																																																																																																																																																																																																																																																																																																																																																																																																																																																																																																																																																																																																																																																																																																																																																																																																																																																																																																																																																																																																																																																																																																																																															
1										458.55																				0.80																																																																																G2 GPY										I																				Y3										Navážka - štěrk s příměsí škváry a jílu, černý, jíl měkký až tuhý, mokry, středně uhlý																																																																																																																																																																																																																																																																																																																																																																																																																																																																																																																																																																																																																																																																																																																																																																																																																																																																																																																																																																																																																																																																																																																																																																																																																																																																																																																																																																																																																																																																																																																																																																																																																																																																																																																																																																																																																																																																																																																																																																																																																																																																																																																																																																																																																																																																																																																																																																																																																																																																																																																																																																																																																																																																																																																																																																																																																																																																																																																																																																																																																																																																																																																																																																																																																																																																																																																																																																																																																																																																																																																																																																																																																																																																																																																																																																																																																																																																																																																																																																																																																																																																																																																																																																																																																	
2										458.25																				1.10																																																																																										G3 G-FY										I										SU										Y3										Navážka charakteru štěrkovitého jílu, okrově hnědý, tuhý, s příměsí ostrohranných úlomků pískovce a jílovce do velikosti 3 cm a do celkového obsahu 40%, ojediněle větší, slabá reakce na HCl																																																																																																																																																																																																																																																																																																																																																																																																																																																																																																																																																																																																																																																																																																																																																																																																																																																																																																																																																																																																																																																																																																																																																																																																																																																																																																																																																																																																																																																																																																																																																																																																																																																																																																																																																																																																																																																																																																																																																																																																																																																																																																																																																																																																																																																																																																																																																																																																																																																																																																																																																																																																																																																																																																																																																																																																																																																																																																																																																																																																																																																																																																																																																																																																																																																																																																																																																																																																																																																																																																																																																																																																																																																																																																																																																																																																																																																																																																																																																																																																																																																																																																																																																																																																							
3										457.35																				2.00																																																																																										F2 CGY										I										T										Y4										Navážka - štěrk s příměsí škváry, uhlá, černá																																																																																																																																																																																																																																																																																																																																																																																																																																																																																																																																																																																																																																																																																																																																																																																																																																																																																																																																																																																																																																																																																																																																																																																																																																																																																																																																																																																																																																																																																																																																																																																																																																																																																																																																																																																																																																																																																																																																																																																																																																																																																																																																																																																																																																																																																																																																																																																																																																																																																																																																																																																																																																																																																																																																																																																																																																																																																																																																																																																																																																																																																																																																																																																																																																																																																																																																																																																																																																																																																																																																																																																																																																																																																																																																																																																																																																																																																																																																																																																																																																																																																																																																																																																																							
4										457.05																				2.30																																																																																										G3 G-FY										I										UL										Y3										Navážka charakteru jílu s vysokou plasticitou, tuhý, šedohnědé barvy, prachovitý, v polohách s písčitou příměsí, reaguje na HCL - vápnitý, s ostrohrannými úlomky pískovce do 4 cm a 20% celkového obsahu																																																																																																																																																																																																																																																																																																																																																																																																																																																																																																																																																																																																																																																																																																																																																																																																																																																																																																																																																																																																																																																																																																																																																																																																																																																																																																																																																																																																																																																																																																																																																																																																																																																																																																																																																																																																																																																																																																																																																																																																																																																																																																																																																																																																																																																																																																																																																																																																																																																																																																																																																																																																																																																																																																																																																																																																																																																																																																																																																																																																																																																																																																																																																																																																																																																																																																																																																																																																																																																																																																																																																																																																																																																																																																																																																																																																																																																																																																																																																																																																																																																																																																																																																																																																							
5																																																																																																																																																																																																																																																																																																																																																																																																																																																																																																																																																																																																																																																																																																																																																																																																																																																																																																																																																																																																																																																																																																																																																																																																																																																																																																																																																																																																																																																																																																																																																																																																																																																																																																																																																																																																																																																																																																																																																																																																																																																																																																																																																																																																																																																																																																																																																																																																																																																																																																																																																																																																																																																																																																																																																																																																																																																																																																																																																																																																																																																																																																																																																																																																																																																																																																																																																																																																																																																																																																																																																																																																																																																																																																																																																																																																																																																																																																																																																																																																																																																																																																																																																																																																																																																																																																																																																																							

GeoTec-GS, a.s.										GEOLOGICKÁ DOKUMENTACE VRTU										Označení vrtu IN2																											
Název akce Lidečko - násep, oprava havarijního stavu																																															
Zakázka číslo 2022-055		Vrtáno 12. 03. 2022 - 13. 03. 2022		Výška (m n. m.) B.p.v. Z = 459.35		Souřadnice S-JTSK Y = 493 233.05 X = 1170 159.91																																									
Objednatel Správa železnic, státní organizace				HPV naražená 13.00 m (446.35 m n. m.)		HPV ustálená Nezastižena				Stránka 2 z 2																																					
<table><tr><td>Stratigrafie</td><td>Nadmožská výška (m)</td><td>Vrtný profil</td><td>Hloubka (Mocnost) (m)</td><td>Hladina podzemní vody (m)</td><td>Vzorek Lab. číslo</td><td>Zatřídění ČSN 73 1005</td><td>Těžitelnost ČSN 73 6133</td><td>Konzistence /ulehlost</td><td>Geotyp</td><td colspan="4">GEOLOGICKÝ POPIS ZEMIN A HORNIN</td></tr><tr><td>18</td><td rowspan="3">439.35</td><td rowspan="3"></td><td rowspan="3">20.00</td><td rowspan="3"></td><td rowspan="3"></td><td rowspan="3"></td><td rowspan="3"></td><td rowspan="3"></td><td rowspan="3"></td><td colspan="4" rowspan="3">Jílovec zcela až silně zvětralý, šedý, prachovitý, místy narezivělý, pro povahu vrtání (rázově rotační na vzduch) obtížně dokumentovatelný (pokračování z předchozí strany)</td></tr><tr><td>19</td></tr><tr><td>20</td></tr></table>														Stratigrafie	Nadmožská výška (m)	Vrtný profil	Hloubka (Mocnost) (m)	Hladina podzemní vody (m)	Vzorek Lab. číslo	Zatřídění ČSN 73 1005	Těžitelnost ČSN 73 6133	Konzistence /ulehlost	Geotyp	GEOLOGICKÝ POPIS ZEMIN A HORNIN				18	439.35		20.00							Jílovec zcela až silně zvětralý, šedý, prachovitý, místy narezivělý, pro povahu vrtání (rázově rotační na vzduch) obtížně dokumentovatelný (pokračování z předchozí strany)				19	20	Vrt byl ukončen v hloubce 20.00 m.			
Stratigrafie	Nadmožská výška (m)	Vrtný profil	Hloubka (Mocnost) (m)	Hladina podzemní vody (m)	Vzorek Lab. číslo	Zatřídění ČSN 73 1005	Těžitelnost ČSN 73 6133	Konzistence /ulehlost	Geotyp	GEOLOGICKÝ POPIS ZEMIN A HORNIN																																					
18	439.35		20.00							Jílovec zcela až silně zvětralý, šedý, prachovitý, místy narezivělý, pro povahu vrtání (rázově rotační na vzduch) obtížně dokumentovatelný (pokračování z předchozí strany)																																					
19																																															
20																																															
Legenda										POZNÁMKA																																					
<div><div> Naražená hladina podzemní vody</div><div> Ustálená hladina podzemní vody</div></div> <div>Vzorky  Porušený vzorek</div>																																															
Všechny rozměry jsou v metrech. Měřítko 1 : 100		Souprava Vrtmistr		Wellco Drill 90 J. Černý		Dokumentoval(a) M. Láska				Zpracoval(a) Mgr. P. Karlín																																					

GeoTec-GS, a.s.										GEOLOGICKÁ DOKUMENTACE VRTU										Označení vrtu																																							
Název akce										Lidečko - násep, oprava havarijního stavu										IN3																																							
Zakázka číslo																						Vrtáno										Výška (m n. m.) B.p.v.										Souřadnice S-JTSK																	
2022-055										10. 03. 2022 - 11. 03. 2022										Z = 459.48										Y = 493 238.25 X = 1170 176.85																													
Objednatel										HPV naražená										HPV ustálená										Stránka																													
Správa železnic, státní organizace										12.00 m (447.48 m n. m.)										10.50 m (448.98 m n. m.)										1 z 2																													
												GEOLOGICKÝ POPIS ZEMIN A HORNIN																																															
0												Navážka - štěrkové lože frakce 32/63																																															
1												G2 GPY I Y3																																															
2												G2 GPY I SU Y3																																															
3												F6 CIY I T Y2																																															
4												F2 CGY I T Y4																																															
5												F8 CHY I T Y2a																																															
6												F2 CG I P P1																																															
7												R6 (F6) I P1																																															
8												R5 I P2																																															
9																																																											
10																																																											
11																																																											
12																																																											
13																																																											
14																																																											
15																																																											
16																																																											
17																																																											
Legenda												POZNÁMKA																																															
Vzorky												Porušený vzorek																																															
Naražená hladina podzemní vody																																																											
Ustálená hladina podzemní vody																																																											
Všechny rozměry jsou v metrech.												Souprava												Wellco Drill 90												Dokumentoval(a)												Zpracoval(a)											
Měřítko 1 : 100												Vrtmistr												J. Černý												M. Láska												Mgr. P. Karlín											

GeoTec-GS, a.s.										GEOLOGICKÁ DOKUMENTACE VRTU										Označení vrtu IN3			
Název akce																							
Lidečko - násep, oprava havarijního stavu																							
Zakázka číslo 2022-055				Vrtáno 10. 03. 2022 - 11. 03. 2022				Výška (m n. m.) B.p.v. Z = 459.48				Souřadnice S-JTSK Y = 493 238.25 X = 1170 176.85											
Objednatel Správa železnic, státní organizace						HPV naražená 12.00 m (447.48 m n. m.)				HPV ustálená 10.50 m (448.98 m n. m.)				Stránka 2 z 2									

	Stratigrafie	Nadmožská výška (m)	Vrtný profil	Hloubka (Mocnost) (m)	Hladina podzemní vody (m)	Vzorek Lab. číslo	Zatřídění ČSN 73 1005	Těžitelnost ČSN 73 6133	Konzistence /ulehlost	Geotyp	GEOLOGICKÝ POPIS ZEMIN A HORNIN
18	Paleogén	439.48		20.00							Jílovec silně zvětralý, prachovitý, rozpadavý na střípky, pro povahu vrtání (rázově rotační na vzduch) obtížně dokumentovatelný (pokračování z předchozí strany)
19											
20											
Vrt byl ukončen v hloubce 20.00 m.											

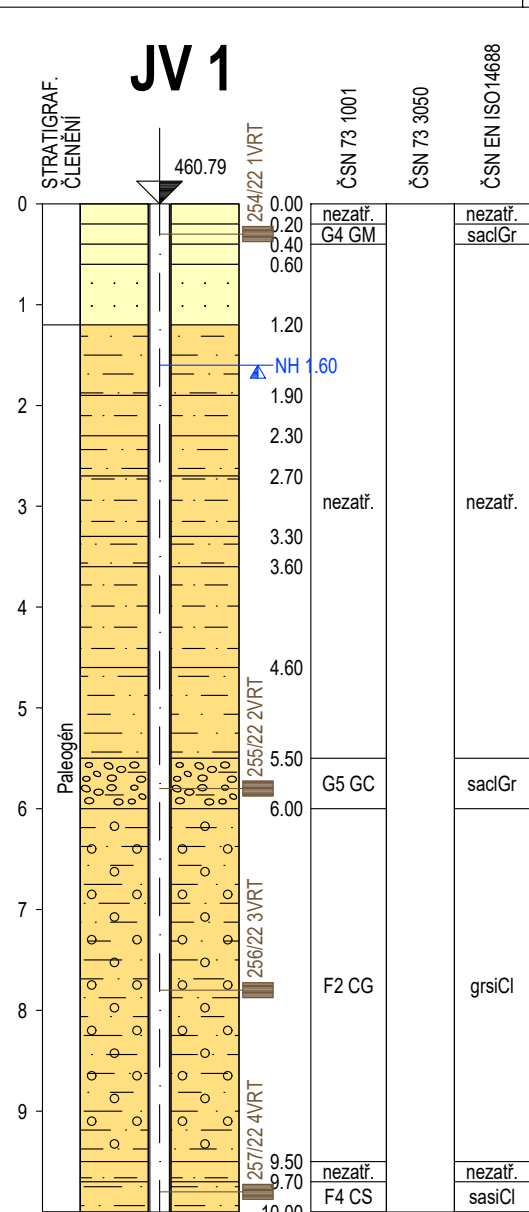
Legenda <div>  Naražená hladina podzemní vody  Ustálená hladina podzemní vody </div> <div> Vzorky  Porušený vzorek </div>										POZNÁMKA 	

Všechny rozměry jsou v metrech. Měřítko 1 : 100	Souprava Vrtmistr Wellco Drill 90 J. Černý	Dokumentoval(a) M. Láska	Zpracoval(a) Mgr. P. Karlín
---	---	------------------------------------	---------------------------------------

Vrtmistr: Friak
Typ soupravy: HVS
Datum provedení - od: 24.05.2022
- do: 24.05.2022Hloubka sondy [m]: 10.00
Hladina podz. vody:
naražená [m]: Hl. = 1.60, Z = 459.19
ustálená [m]:Y= 493 254.95
X= 1 170 380.87
Z= 460.79
Souř.systémy: JTSK / Balt

od: [m] do: [m] vrtáno DN [mm]

od: [m] do: [m] paženo DN [mm]

Okres: Vsetín
Katastr.území: Lidečko
Mapa 1:25000: 12-333

do GEOLOGICKÝ POPIS ZEMIN A HORNIN

- 0.20 Štěrť špatně zrněný, kolejové lože - štěrť fr. 32/63 mm
- 0.40 Štěrť hlinitý, tmavě šedý až hnědý, plastický až tuhý
- 0.60 Písek hlinitý se štěrtem, neopracované úlomky pískovce 5 - 15 cm
- 1.20 Pískovec navětralý, šedohnědý až okrový, kompaktní, deluvium
- 1.90 Jíl písčité, šedý, plastický až tuhý
- 2.30 Jílovec písčité, šedý, vrstevnatý, rozpadavý, šmouhovitý
- 2.70 Jíl písčité, světle šedý, vrstevnatý, tuhý
- 3.30 Jílovec písčité, světle šedý, vrstevnatý, rozpadavý, šmouhovitý
- 3.60 Jíl písčité, plastický až tuhý, klasty pískovce 3 - 10 cm
- 4.60 Pískovec až jílovec, šedý, drobný / jíl písčité, plastický
- 5.50 Jíl písčité, tmavě šedý, měkký až plastický, klasty cca 5 cm
- 6.00 Štěrť jílovitý, tmavě šedý, silně provlhlý, klasty jílovce 3 - 10 cm
- 9.50 Jíl štěrťovitý, světle šedý, vlhký, plastický až tuhý
- 9.70 Jílovec písčité, tmavě šedý, vrstevnatý, šmouhovitý
- 10.00 Jíl písčité, tmavě šedý, plastický až tuhý, klasty jílovce 3 - 10 cm

KOLEJCONSULT & servis,
spol. s r.o.602 00 Brno, Křenová 131/35
tel-fax: +420 543 254 144
tel: +420 543 254 278IČO: 25301110
DIČ: CZ25301110
e-mail: info@kcas.cz

Legenda: Vzorky s číslem laboratorního rozboru. Podzemní voda s číslem zvodně.

■ neporušený ■ porušený ■ jádro ■ technolog. ■ skalní □ jiný

● voda ▲ naražená hladina ▼ ustálená hladina

Poznámka:

- jádrový vrt u koleje č. 1 v km 20.554

Název akce: Státní hranice Slovenská republika (Střelná) – Vsetín (mimo) – konverze

Objednatel: SUDOP BRNO, spol. s r.o.

Měřítko: 1: 75

Dokumentoval: Vít Růžička, Mgr.

Vyhodnotil: Vít Růžička, Mgr.

Zpracoval: Ing.M.Laichman

Příloha č.: 01

KOLEJCONSULT & servis, spol. s r.o. 602 00 Brno, Křenová 131/35		GEOLOGICKÁ DOKUMENTACE VRTU		JV 1	
Vrtmistr: Friak		Hloubka sondy [m]: 8.40		Y=	493 234.788
Typ soupravy: HVS		Hladina podz. vody: nebyla zastižena		X=	1 170 157.060
Datum provedení - od: 21.04.2021		naražená [m]:		Z=	459.082
- do: 21.04.2021		ustálená [m]:		Souř.systémy:	JTSK / Balt
od: 0.00 [m] do: 8.40 [m] vrtáno DN 330 [mm]		od: [m] do: [m] paženo DN [mm]		Okres:	Vsetín
				Katastr.území:	Lidečko

do				GEOLOGICKÝ POPIS ZEMIN A HORNIN	
1.40	62:	Štěrť špatně zrněný, koleťové lože - čistě, štěrť fr. 32/63 mm			
2.60	63:	Štěrť s příměsí jemnozrně zeminy, ulehľý, znečištěný štěrť jílem a škvárou			
4.80	15:	Jíl s vysokou plasticitou, tuhý až pevný, hnědožlutý s příměsí štěrťu do velikosti 60 mm			
5.00	11:	Jíl štěrťkovitý, tuhý až pevný, hnědožlutý s příměsí štěrťu do velikosti 32 mm			
5.60	15:	Jíl s vysokou plasticitou, tuhý až pevný, hnědozelený			
7.60	15:	Jíl s vysokou plasticitou, tuhý až pevný, hnědozelený místy šedý			
8.40	15:	Jíl s vysokou plasticitou, pevný, hnědočervený			

STRATIGRAF. ČLENĚNÍ		ČSN 73 1001		ČSN 73 3050	KONZISTENCE	ČSN EN ISO 14688
0	459.082	G2 GP		2-3	UL	Gr
1						
2		G3 G-F				
	2.20	Z 22				
3						
4		F8 CH		2		Cl
	4.70 Z 23					
	4.90 Z 24, GEO 1					
5	4.80	F2 CG		3		grCl
	5.00				T-P	
6						
7		F8 CH		2		Cl
8					P	
	7.60					
	8.40					

Legenda: Vzorky s číslem laboratorního rozboru. Podzemní voda s číslem zvodně.

neporušený
 porušený
 jádro
 technolog.
 skalní
 jiný
 voda
 naražená hladina
 ustálená hladina

Poznámka:
- jádrový vrt v koleji č. 1 v km 20.790



KOLEJCONSULT & servis,
spol.s r.o.

602 00 Brno, Křenová 131/35
tel-fax: +420 543 254 144
tel: +420 543 254 278

IČO: 25301110
DIČ: CZ25301110
e-mail: info@kcas.cz

Název akce: Inženýrskogeologický průzkum traťového úseku Valašská Polanka - Horní Lideč km 21,000 - 20,550

Objednatel: Správa železnic, oblastní ředitelství Olomouc, Nerudova 1

Dokumentoval: Ing.L.Minář,CSc Vyhodnotil: Ing.L.Minář,CSc Zpracoval: Ing.M.Laichman Příloha č.: 01

KOLEJCONSULT & servis, spol. s r.o. 602 00 Brno, Křenová 131/35		GEOLOGICKÁ DOKUMENTACE VRTU		JV 2
Vrtmistr:	Friak	Hloubka sondy [m]: 8.00	Y=	493 239.642
Typ soupravy:	HVS	Hladina podz. vody: nebyla zastižena	X=	1 170 189.279
Datum provedení - od:	22.04.2021	naražená [m]:	Z=	459.201
- do:	22.04.2021	ustálená [m]:	Souř.systémy:	JTSK / Balt
od: 0.00 [m] do: 8.00 [m] vrtáno DN 330 [mm]		od: [m] do: [m] paženo DN [mm]	Okres: Vsetín Katastr.území: Lidečko	

JV 2				do	GEOLOGICKÝ POPIS ZEMIN A HORNIN
<div> <div>STRATIGRAF. ČLENĚNÍ</div> <div> <div>0</div> <div>1</div> <div>2</div> <div>3</div> <div>4</div> <div>5</div> <div>6</div> <div>7</div> <div>8</div> </div> <div> <div>Těleso - náspu</div> <div>Paleogén</div> </div> <div> <div>459.201</div> <div>2.80</div> <div>4.50</div> <div>7.50</div> <div>7.80</div> <div>8.00</div> </div> <div> <div>ČSN 73 1001</div> <div>ČSN 73 3050</div> <div>KONZISTENCE</div> <div>ČSN EN ISO 14688</div> </div> <div> <div>G2 GP</div> <div>G3 G-F</div> <div>F2 CG</div> <div>F4 CS</div> <div>F6 CI</div> <div>F8 CH</div> </div> <div> <div>2-3</div> <div>3</div> <div>2</div> </div> <div> <div>UL</div> <div>P</div> <div>T-P</div> <div>T</div> </div> <div> <div>Gr</div> <div>sagrcIS</div> <div>saCl</div> <div>CI</div> </div> </div>				0.40	62: Štěrk špatně zrněný, kolejové lože - čisté, štěrk fr. 32/63 mm
				1.00	63: Štěrk s příměsí jemnozrnné zeminy, ulehý, znečištěný štěrk jílem a škvárou
				3.00	11: Jíl štěrkovitý, pevný, hnědožlutý s příměsí štěrku do velikosti 60 mm
				4.00	12: Jíl písčitý, tuhý až pevný, žlutozelený
				5.20	14: Jíl se střední plasticitou, tuhý, žlutozelený
				7.50	14: Jíl se střední plasticitou, tuhý, hnědý
				8.00	15: Jíl s vysokou plasticitou, tuhý, hnědožlutý
				<div> <div>fail</div> <div> <div>KOLEJCONSULT & servis, spol.s r.o.</div> <div> <div>602 00 Brno, Křenová 131/35</div> <div>IČO: 25301110</div> </div> <div> <div>tel-fax: +420 543 254 144</div> <div>DIČ: CZ25301110</div> </div> <div> <div>tel: +420 543 254 278</div> <div>e-mail: info@kcas.cz</div> </div> </div> </div>	
				Legenda: Vzorky s číslem laboratorního rozboru. Podzemní voda s číslem zvodně. <div> <div>neporušený</div> <div>porušený</div> <div>jádro</div> <div>technolog.</div> <div>skalní</div> <div>jiný</div> </div> <div> <div>voda</div> <div>naražená hladina</div> <div>ustálená hladina</div> </div>	
				Poznámka: - jádrový vrt v koleji č. 2 v km 20.750	

Název akce:	Inženýrskogeologický průzkum traťového úseku Valašská Polanka - Horní Lideč km 21,000 - 20,550			
Objednatel:	Správa železnic, oblastní ředitelství Olomouc, Nerudova 1			
Dokumentoval: Ing.L.Minář,CSc	Vyhodnotil: Ing.L.Minář,CSc	Zpracoval: Ing.M.Laichman	Příloha č.: 02	

KOLEJCONSULT & servis, spol. s r.o. 602 00 Brno, Křenová 131/35		GEOLOGICKÁ DOKUMENTACE VRTU		JV 3	
Vrtmistr: Friak		Hloubka sondy [m]: 5.00		Y=	493 251.254
Typ soupravy: HVS		Hladina podz. vody: nebyla zastižena		X=	1 170 239.295
Datum provedení - od: 22.04.2021		naražená [m]:		Z=	459.621
- do: 22.04.2021		ustálená [m]:		Souř.systémy:	JTSK / Balt
od: 0.00 [m] do: 5.00 [m] vrtáno DN 330 [mm]		od: [m] do: [m] paženo DN [mm]		Okres:	Vsetín
				Katastr.území:	Lidečko

JV 3				GEOLOGICKÝ POPIS ZEMIN A HORNIN	
STRATIGRAF. ČLENĚNÍ				do	
0				0.20	62: Štěrť špatně zrněný, kolejové lože - čisté, štěrť fr. 32/63 mm
1				1.60	63: Štěrť s příměsí jemnozrné zeminy, ulehlý, znečištěný štěrť škvárou
2				2.00	63: Štěrť s příměsí jemnozrné zeminy, ulehlý, škvára
3				2.50	15: Jíl s vysokou plasticitou, tuhý až pevný, hnědožlutý
4				3.00	12: Jíl písčitý, tuhý, šedozeleň s úlomky do 16 mm
5				4.40	15: Jíl s vysokou plasticitou, tuhý až pevný, hnědožlutý
				4.80	15: Jíl s vysokou plasticitou, pevný, hnědý
				5.00	15: Jíl s vysokou plasticitou, tvrdý, tmavě hnědý
</					


Název akce:	Inženýrskogeologický průzkum traťového úseku Valašská Polanka - Horní Lideč km 21,000 - 20,550				
Objednatel:	Správa železnic, oblastní ředitelství Olomouc, Nerudova 1				
Dokumentoval:	Ing.L.Minář,CSc	Vyhodnotil:	Ing.L.Minář,CSc	Zpracoval:	Ing.M.Laichman
				Příloha č.:	03

Souprava: typ DPM, WILL GTCH ev.č. Z558, M559
Beran: výška pádu [m]: 0.50 hmotnost [kg]: 30.00
Kovadlina pevná: hmotnost s vodící tyčí [kg]: 6.00
Hrot pevný: průměr [mm]: 43.70
Další tyč: délka [m]: 1.00 hmotnost [kg]: 6.20
Součinitel pláště tření [°]: 0.040

Zkouška podle ČSN EN ISO 22476-2
Hloubka sondy [m]: 9.80
Hlad.podz.vody [m]: nebyla zastižena
Zvýšení Qd pod HPV u S a G [%]: 25
Krok penetrování [m]: 0.10

Měřil: Ing.Grabec, Ing.Louma, Ing.Minář, Ing.Nováková, Ing.Volf
Datum zkoušky: 20.4.2021 Počet red.úderů [°]:
Y= 493236.028 Krouticí moment [Nm]:
X= 1170165.197
Z= 459.219 Dynam.odpor Qd[MPa]:
Souř.systémy: JTSK / Balt


Hloubka [m]	Počet úderů		Qd [MPa]	Hl. [m]	Graf penetrace											Poznámka
	měř.	red.			10	20	30	40	50	60	70	80				
0.1	1	1.0	0.7													- km 20.775 - 1,16 m vlevo od osy koleje č.1 - v úrovni horní hrany pražců - přechodnice L
0.2	4	4.0	2.8													
0.3	9	8.9	6.2													
0.4	6	5.9	4.1													
0.5	7	6.9	4.8													
0.6	5	4.9	3.4													
0.7	3	2.8	2.0													
0.8	5	4.8	3.3													
0.9	5	5.8	4.0													
1.0	8	7.7	5.4	1.0												
1.1	5	4.7	2.9													zastižený materiál: - 32/63 štěr - od hl. 4,20 m vlhké tyče
1.2	6	5.7	3.5													
1.3	4	3.6	2.2													
1.4	4	3.6	2.2													
1.5	4	3.5	2.1													
1.6	4	3.2	1.9													
1.7	10	8.9	5.4													
1.8	7	5.5	3.3													
1.9	7	5.2	3.2													
2.0	10	7.9	4.8	2.0												
2.1	12	10.2	5.5													
2.2	7	5.5	3.0													
2.3	5	3.8	2.0													
2.4	3	2.1	1.1													
2.5	3	2.4	1.3													
2.6	3	2.4	1.3													
2.7	3	2.4	1.3													
2.8	3	2.4	1.3													
2.9	2	1.4	0.8													
3.0	3	2.4	1.3	3.0												
3.1	3	1.3	0.6													
3.2	2	1.3	0.6													
3.3	4	3.3	1.6													
3.4	5	4.3	2.1													
3.5	7	6.3	3.0													
3.6	5	4.1	2.0													
3.7	6	5.0	2.4													
3.8	7	5.9	2.9													
3.9	7	5.7	2.8													
4.0	6	4.6	2.2													
4.1	5	3.7	1.6													
4.2	6	4.7	2.1													
4.3	5	3.8	1.7													
4.4	6	4.9	2.2													
4.5	6	4.9	2.2													
4.6	7	5.9	2.6													
4.7	5	3.9	1.7													
4.8	5	3.8	1.7													
4.9	7	5.8	2.5													
5.0	10	8.8	3.9	5.0												
5.1	5	3.8	1.5													
5.2	5	3.7	1.5													
5.3	6	4.7	1.9													
5.4	6	4.7	1.9													
5.5	6	4.7	1.9													
5.6	5	3.5	1.4													
5.7	6	4.3	1.7													
5.8	7	5.2	2.1													
5.9	10	8.0	3.2													
6.0	10	7.9	3.2													
6.1	7	5.0	1.9													
6.2	9	7.1	2.6													
6.3	8	6.2	2.3													
6.4	8	6.3	2.3													
6.5	9	7.4	2.7													
6.6	7	5.4	2.0													
6.7	9	7.3	2.7													
6.8	9	7.3	2.7													
6.9	9	7.2	2.7													
7.0	10	8.2	3.0													
7.1	12	10.0	3.4													
7.2	16	13.8	4.7													
7.3	14	11.6	4.0													
7.4	16	13.4	4.6													
7.5	19	16.3	5.6													
7.6	16	12.9	4.4													
7.7	18	14.6	5.0													
7.8	22	18.2	6.3													
7.9	32	27.9	9.6													
8.0	40	35.5	12.2													
8.1	32	27.7	8.9													
8.2	30	25.8	8.3													
8.3	26	21.9	7.0													
8.4	26	22.1	7.1													
8.5	25	21.2	6.8													
8.6	24	20.2	6.5													
8.7	29	25.3	8.1													
8.8	35	31.3	10.0													
8.9	34	30.3	9.7													
9.0	26	22.4	7.2													
9.1	20	16.3	4.9													
9.2	26	22.1	6.6													
9.3	25	21.0	6.3													
9.4	33	28.9	8.7													
9.5	35	30.8	9.2													
9.6	38	34.0	10.2													
9.7	43	39.2	11.8													
9.8	38	34.4	10.3													



KOLEJCONSULT & servis,
spol.s r.o.

602 00 Brno, Křenová 131/35
tel-fax: +420 543 254 144
tel: +420 543 254 278

IČO: 25301110
DIČ: CZ25301110
e-mail: info@kcas.cz





KOLEJCONSULT & servis,
spol.s r.o.

602 00 Brno, Křenová 131/35
tel-fax: +420 543 254 144
tel: +420 543 254 278

IČO: 25301110
DIČ: CZ25301110
e-mail: info@kcas.cz

Název akce: Inženýrskogeologický průzkum traťového úseku Valašská Polanka - Horní Lideč km 21,000 - 20,550

Objednatel: Správa železnic, oblastní ředitelství Olomouc, Nerudova 1 Měřítko: 1:50 Zak. číslo: T-0303/21

Vyhodnotil: Ing.M.Laichman Zpracoval: Ing.M.Laichman Příloha č.: 1

Souprava: typ DPM, WILL GTCH ev.č. Z558, M559
Beran: výška pádu [m]: 0.50 hmotnost [kg]: 30.00
Kovadlina pevná: hmotnost s vodící tyčí [kg]: 6.00
Hrot pevný: průměr [mm]: 43.70
Další tyč: délka [m]: 1.00 hmotnost [kg]: 6.20
Součinitel pláště tření [°]: 0.040

Zkouška podle ČSN EN ISO 22476-2
Hloubka sondy [m]: 9.50
Hlad.podz.vody [m]: nebyla zastižena
Zvýšení Qd pod HPV u S a G [%]: 25
Krok penetrování [m]: 0.10

Měřil: Ing.Grabec, Ing.Louma, Ing.Minář, Ing.Nováková, Ing.Volf
Datum zkoušky: 20.4.2021 Počet red.úderů [°]:
Y= 493233.760 Krouticí moment [Nm]:
X= 1170157.391
Z= 459.107 Dynam.odpor Qd[MPa]:
Souř.systémy: JTSK / Balt

Hloubka [m]	Počet úderů měř.	red.	Qd [MPa]	Hl. [m]	Graf penetrace	Poznámka
0.1	1	0.8	0.6			
0.2	6	5.6	3.9			
0.3	10	9.5	6.6			
0.4	19	18.3	12.8			
0.5	12	11.1	7.7			
0.6	9	8.3	5.8			
0.7	7	6.4	4.5			
0.8	4	3.6	2.5			
0.9	4	3.8	2.7			
1.0	5	4.9	3.4			
1.1	8	7.8	4.7			
1.2	10	9.6	5.8			
1.3	9	8.4	5.1			
1.4	11	10.2	6.2			
1.5	12	11.0	6.7			
1.6	10	9.1	5.5			
1.7	12	11.1	6.7			
1.8	10	9.2	5.6			
1.9	3	2.3	1.4			
2.0	1	0.3	0.2			
2.1	4	3.3	1.8			
2.2	16	15.2	8.2			
2.3	9	8.1	4.4			
2.4	6	5.1	2.7			
2.5	3	2.0	1.1			
2.6	4	2.9	1.6			
2.7	4	2.8	1.5			
2.8	4	2.7	1.5			
2.9	3	1.6	0.9			
3.0	2	0.5	0.3			
3.1	4	1.5	0.7			
3.2	4	2.6	1.3			
3.3	7	5.6	2.7			
3.4	4	2.7	1.3			
3.5	3	1.7	0.8			
3.6	2	0.7	0.3			
3.7	2	0.7	0.3			
3.8	3	1.7	0.8			
3.9	4	2.7	1.3			
4.0	4	2.7	1.3			
4.1	3	1.7	0.7			
4.2	4	2.7	1.2			
4.3	4	2.7	1.2			
4.4	4	2.8	1.2			
4.5	4	2.8	1.2			
4.6	3	1.8	0.8			
4.7	3	2.9	1.3			
4.8	3	1.9	0.8			
4.9	3	2.0	0.9			
5.0	3	2.1	0.9			
5.1	3	1.8	0.7			
5.2	3	1.6	0.6			
5.3	4	2.4	1.0			
5.4	6	4.1	1.6			
5.5	10	7.9	3.2			
5.6	7	4.2	1.7			
5.7	10	6.5	2.6			
5.8	10	5.9	2.4			
5.9	12	7.2	2.9			
6.0	75	69.5	27.9			
6.1	28	23.1	8.6			
6.2	12	7.6	2.8			
6.3	11	7.1	2.6			
6.4	12	8.7	3.2			
6.5	13	10.2	3.8			
6.6	12	9.1	3.4			
6.7	12	9.0	3.3			
6.8	15	11.9	4.4			
6.9	15	11.8	4.4			
7.0	14	10.7	4.0			
7.1	15	11.7	4.0			
7.2	19	15.6	5.4			
7.3	19	15.5	5.3			
7.4	19	15.5	5.3			
7.5	20	16.4	5.6			
7.6	20	16.3	5.6			
7.7	30	26.2	9.0			
7.8	27	23.1	7.9			
7.9	35	31.0	10.7			
8.0	33	28.9	9.9			
8.1	19	14.7	4.7			
8.2	15	10.4	3.3			
8.3	19	14.1	4.5			
8.4	23	17.9	5.7			
8.5	36	30.6	9.8			
8.6	36	30.5	9.8			
8.7	52	46.4	14.9			
8.8	37	31.3	10.0			
8.9	33	27.1	8.7			
9.0	42	36.0	11.5			
9.1	47	41.3	12.4			
9.2	43	37.7	11.3			
9.3	30	25.0	7.5			
9.4	33	28.3	8.5			
9.5	30	25.7	7.7			

- km 20.783
- 1,10 m vlevo od osy koleje č.1
- v úrovni horní hrany pražců
- přechodnice L

zastižený materiál: - 32/63 štěr
- od hl. 2,00 m vlhké tyče
- od hl. 2,50 m mokré tyče



KOLEJCONSULT & servis,
spol.s r.o.

602 00 Brno, Křenová 131/35
tel-fax: +420 543 254 144
tel: +420 543 254 278

IČO: 25301110
DIČ: CZ25301110
e-mail: info@kcas.cz

Název akce: Inženýrskogeologický průzkum traťového úseku Valašská Polanka - Horní Lideč km 21,000 - 20,550

Objednatel: Správa železnic, oblastní ředitelství Olomouc, Nerudova 1 Měřítko: 1:50 Zak. číslo: T-0304/21

Vyhodnotil: Ing.M.Laichman Zpracoval: Ing.M.Laichman Příloha č.: 2

Souprava: typ DPM, WILL GTCH ev.č. Z558, M559
Beran: výška pádu [m]: 0.50 hmotnost [kg]: 30.00
Kovadlina pevná: hmotnost s vodící tyčí [kg]: 6.00
Hrot pevný: průměr [mm]: 43.70
Další tyč: délka [m]: 1.00 hmotnost [kg]: 6.20
Součinitel pláště tření [°]: 0.040

Zkouška podle ČSN EN ISO 22476-2
Hloubka sondy [m]: 4.50
Hlad.podz.vody [m]: nebyla zastižena
Zvýšení Qd pod HPV u S a G [%]: 25
Krok penetrování [m]: 0.10

Měřil: Ing.Grabec, Ing.Louma, Ing.Minář, Ing.Nováková, Ing.Volf
Datum zkoušky: 21.4.2021 Počet red.úderů [°]:
Y= 493240.999 Krouticí moment [Nm]:
X= 1170273.610
Z= 461.055 Dynam.odpor Qd[MPa]:
Souř.systémy: JTSK / Balt

Hloubka [m]	Počet úderů měř.	red.	Qd [MPa]	Hl. [m]	Graf penetrace	Poznámka
0.1	1	0.8	0.6			
0.2	3	2.6	1.8			
0.3	3	2.4	1.7			
0.4	3	2.3	1.6			
0.5	2	1.1	0.8			
0.6	3	2.0	1.4			
0.7	6	4.9	3.4			
0.8	11	9.8	6.8			
0.9	19	17.8	12.4			
1.0	19	17.7	12.3			
1.1	20	18.6	11.3			
1.2	17	15.6	9.5			
1.3	8	6.6	4.0			
1.4	10	8.5	5.2			
1.5	28	26.5	16.1			
1.6	22	20.6	12.5			
1.7	7	5.6	3.4			
1.8	14	12.7	7.7			
1.9	12	10.7	6.5			
2.0	9	7.8	4.7			
2.1	6	4.4	2.4			
2.2	16	14.0	7.5			
2.3	33	30.6	16.5			
2.4	19	16.1	8.7			
2.5	18	14.7	7.9			
2.6	11	6.7	3.6			
2.7	43	37.6	20.3			
2.8	42	35.5	19.1			
2.9	36	28.5	15.4			
3.0	47	38.4	20.7			
3.1	50	41.3	20.0			
3.2	70	61.2	29.6			
3.3	60	51.1	24.7			
3.4	41	31.9	15.4			
3.5	36	26.8	13.0			
3.6	16	7.0	3.4			
3.7	15	6.2	3.0			
3.8	21	12.3	6.0			
3.9	21	12.5	6.1			
4.0	30	21.6	10.5			
4.1	32	23.5	10.3			
4.2	34	25.3	11.1			
4.3	41	32.2	14.1			
4.4	32	23.0	10.1			
4.5	54	44.9	19.7			

- km 20.666
- 15,3 m vpravo od koleje č. 2,
svah nad kolejí
- geofyzikální profil "ERT 3"
metráž 29.8 m

zastižený materiál: - ornice
- tyče mokré po celé délce



KOLEJCONSULT & servis,
spol.s r.o.

602 00 Brno, Křenová 131/35
tel-fax: +420 543 254 144
tel: +420 543 254 278

IČO: 25301110
DIČ: CZ25301110
e-mail: info@kcas.cz

Název akce: Inženýrskogeologický průzkum traťového úseku Valašská Polanka - Horní Lideč km 21,000 - 20,550

Objednatel: Správa železnic, oblastní ředitelství Olomouc, Nerudova 1 Měřítka: 1:25 Zak. číslo: T-0305/21

Vyhodnotil: Ing.M.Laichman Zpracoval: Ing.M.Laichman Příloha č.: 3

Souprava: typ DPM, WILL GTCH ev.č. Z558, M559
Beran: výška pádu [m]: 0.50 hmotnost [kg]: 30.00
Kovadlina pevná: hmotnost s vodící tyčí [kg]: 6.00
Hrot pevný: průměr [mm]: 43.70
Další tyč: délka [m]: 1.00 hmotnost [kg]: 6.20
Součinitel pláště tření []: 0.040

Zkouška podle ČSN EN ISO 22476-2
Hloubka sondy [m]: 5.50
Hlad.podz.vody [m]: nebyla zastižena
Zvýšení Qd pod HPV u S a G [%]: 25
Krok penetrování [m]: 0.10

Měřil: Ing.Grabec, Ing.Louma, Ing.Minář, Ing.Nováková, Ing.Volf
Datum zkoušky: 21.4.2021 Počet red.úderů []: ————
Y= 493212.868 Krouticí moment [Nm]: ————
X= 1170316.886
Z= 468.291 Dynam.odpor Qd[MPa]: ————
Souř.systémy: JTSK / Balt

Hloubka [m]	Počet úderů měř.	red.	Qd [MPa]	Hl. [m]	Graf penetrace	Poznámka
0.1	1	0.9	0.6			
0.2	1	0.7	0.5			
0.3	1	0.6	0.4			
0.4	2	1.5	1.0			
0.5	2	1.3	0.9			
0.6	2	1.4	1.0			
0.7	3	2.4	1.7			
0.8	4	3.4	2.4			
0.9	2	1.5	1.0			
1.0	5	4.5	3.1			
1.1	3	2.4	1.5			
1.2	3	2.4	1.5			
1.3	4	3.3	2.0			
1.4	4	3.2	1.9			
1.5	4	3.1	1.9			
1.6	5	3.9	2.4			
1.7	5	3.7	2.2			
1.8	6	4.5	2.7			
1.9	8	6.2	3.8			
2.0	13	11.0	6.7			
2.1	19	16.6	8.9			
2.2	20	17.2	9.3			
2.3	22	18.8	10.1			
2.4	24	20.4	11.0			
2.5	24	20.0	10.8			
2.6	21	17.3	9.3			
2.7	26	22.6	12.2			
2.8	28	24.9	13.4			
2.9	16	13.2	7.1			
3.0	17	14.5	7.8			
3.1	15	12.4	6.0			
3.2	18	15.4	7.5			
3.3	24	21.4	10.4			
3.4	18	15.3	7.4			
3.5	18	15.3	7.4			
3.6	18	15.4	7.5			
3.7	16	13.5	6.5			
3.8	17	14.6	7.1			
3.9	14	11.7	5.7			
4.0	16	13.7	6.6			
4.1	16	13.7	6.0			
4.2	15	12.6	5.5			
4.3	15	12.5	5.5			
4.4	16	13.4	5.9			
4.5	20	17.3	7.6			
4.6	16	13.3	5.8			
4.7	19	16.2	7.1			
4.8	22	19.2	8.4			
4.9	23	20.1	8.8			
5.0	28	25.1	11.0			
5.1	32	28.8	11.6			
5.2	40	36.4	14.6			
5.3	60	56.1	22.6			
5.4	47	42.8	17.2			
5.5	36	31.5	12.7			

- km 20.622
- 45,5 m vpravo od koleje č. 2,
svah nad kolejí
- geofyzikální profil "ERT 2"
metráž 60,0 m

zastižený materiál: - ornice
- od hl. 0,80 m vlhké tyče
- od hl. 1,70 m mokré tyče



KOLEJCONSULT & servis,
spol.s r.o.

602 00 Brno, Křenová 131/35
tel-fax: +420 543 254 144
tel: +420 543 254 278

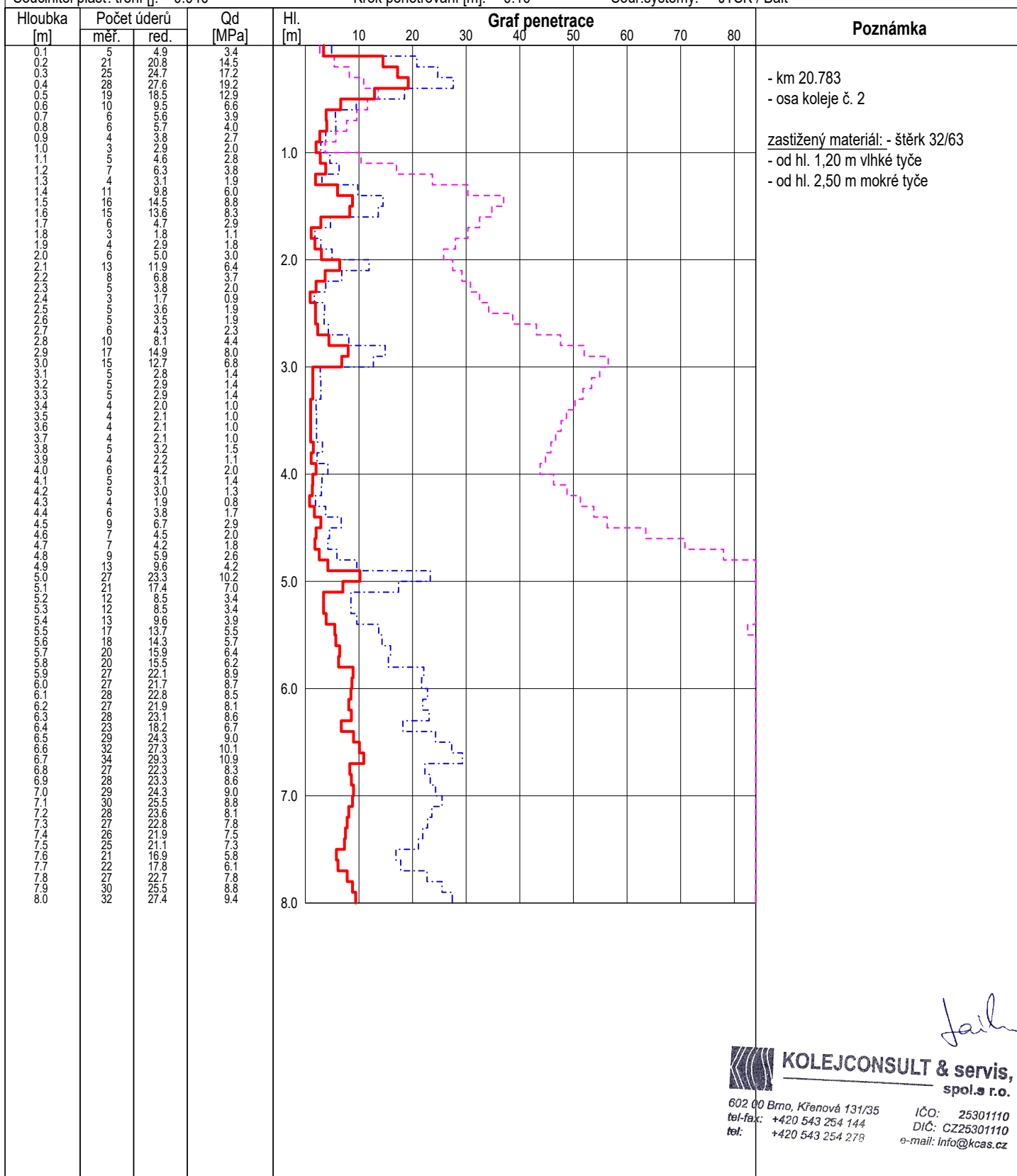
IČO: 25301110
DIČ: CZ25301110
e-mail: info@kcas.cz

Název akce: Inženýrskogeologický průzkum traťového úseku Valašská Polanka - Horní Lideč km 21,000 - 20,550

Objednatel: Správa železnic, oblastní ředitelství Olomouc, Nerudova 1 Měřítka: 1:50 Zak. číslo: T-0306/21

Vyhodnotil: Ing.M.Laichman Zpracoval: Ing.M.Laichman Příloha č.: 4

Souprava: typ DPM, WILL GTCH ev.č. Z558, M559 Zkouška podle ČSN EN ISO 22476-2 Měřil: Ing.Grabec, Ing.Laichman, Ing.Louma, Ing.Minář, Ing.Volf
Beran: výška pádu [m]: 0.50 hmotnost [kg]: 30.00 Hloubka sondy [m]: 8.00 Datum zkoušky: 22.4.2021 Počet red.úderů []: -----
Kovadlina pevná: hmotnost s vodící tyčí [kg]: 6.00 Hlad.podz.vody [m]: nebyla zastižena Y= 493230.515 Krouticí moment [Nm]: -----
Hrot pevný: průměr [mm]: 43.70 Zvýšení Qd pod HPV u S a G [%]: 25 X= 1170157.954
Další tyč: délka [m]: 1.00 hmotnost [kg]: 6.20 Krok penetrování [m]: 0.10 Z= 458.993 Dynam.odpor Qd[MPa]: -----
Součinitel pláště tření []: 0.040 Souř.systémy: JTSK / Balt



Název akce: Inženýrskogeologický průzkum traťového úseku Valašská Polanka - Horní Lideč km 21,000 - 20,550

Objednatel: Správa železnic, oblastní ředitelství Olomouc, Nerudova 1 Měřítko: 1:50 Zak. číslo: T-0307/21

Vyhodnotil: Ing.M.Laichman Zpracoval: Ing.M.Laichman Příloha č.: 5

Souprava: typ DPM, WILL GTCH ev.č. Z558, M559
Beran: výška pádu [m]: 0.50 hmotnost [kg]: 30.00
Kovadlina pevná: hmotnost s vodící tyčí [kg]: 6.00
Hrot pevný: průměr [mm]: 43.70
Další tyč: délka [m]: 1.00 hmotnost [kg]: 6.20
Součinitel pláště tření [°]: 0.040

Zkouška podle ČSN EN ISO 22476-2
Hloubka sondy [m]: 7.00
Hlad.podz.vody [m]: nebyla zastižena
Zvýšení Qd pod HPV u S a G [%]: 25
Krok penetrování [m]: 0.10

Měřil: Ing.Grabec, Ing.Laichman, Ing.Louma, Ing.Minář, Ing.Volf
Datum zkoušky: 22.4.2021 Počet red.úderů [°]:
Y= 493245.685 Krouticí moment [Nm]:
X= 1170212.993
Z= 459.452 Dynam.odpor Qd[MPa]:
Souř.systémy: JTSK / Balt

Hloubka [m]	Počet úderů měř.	red.	Qd [MPa]	Hl. [m]	Graf penetrace	Poznámka
0.1	5	4.9	3.4			
0.2	14	13.8	9.6			
0.3	21	20.7	14.4			
0.4	33	32.6	22.7			
0.5	35	34.5	24.1			
0.6	43	42.5	29.6			
0.7	17	16.5	11.5			
0.8	6	5.5	3.8			
0.9	5	4.5	3.1			
1.0	4	3.5	2.4			
1.1	7	6.5	4.0			
1.2	10	9.4	5.7			
1.3	13	12.4	7.5			
1.4	10	9.3	5.7			
1.5	16	5.3	3.2			
1.6	2	1.1	0.7			
1.7	11	10.0	6.1			
1.8	7	5.8	3.5			
1.9	6	4.7	2.9			
2.0	7	5.5	3.3			
2.1	6	4.6	2.5			
2.2	5	3.6	1.9			
2.3	4	2.7	1.5			
2.4	4	2.7	1.5			
2.5	4	2.8	1.5			
2.6	5	3.7	2.0			
2.7	5	3.7	2.0			
2.8	4	2.7	1.5			
2.9	3	1.6	0.9			
3.0	4	2.6	1.4			
3.1	4	2.4	1.2			
3.2	6	4.1	2.0			
3.3	8	5.9	2.9			
3.4	7	4.7	2.3			
3.5	8	5.5	2.7			
3.6	15	12.4	6.0			
3.7	12	9.3	4.5			
3.8	10	7.2	3.5			
3.9	11	8.1	3.9			
4.0	11	8.0	3.9			
4.1	41	37.8	16.6			
4.2	25	21.6	9.5			
4.3	15	11.5	5.1			
4.4	15	11.3	5.0			
4.5	15	11.1	4.9			
4.6	16	12.2	5.4			
4.7	15	11.2	4.9			
4.8	16	12.3	5.4			
4.9	15	11.3	5.0			
5.0	15	11.3	5.0			
5.1	15	11.0	4.4			
5.2	14	9.8	3.9			
5.3	18	13.5	5.4			
5.4	19	14.2	5.7			
5.5	25	19.9	8.0			
5.6	31	25.9	10.4			
5.7	28	22.9	9.2			
5.8	26	20.9	8.4			
5.9	28	22.8	9.2			
6.0	30	24.8	10.0			
6.1	36	30.6	11.3			
6.2	32	26.5	9.8			
6.3	30	24.3	9.0			
6.4	31	25.1	9.3			
6.5	37	30.9	11.5			
6.6	38	31.9	11.8			
6.7	34	27.9	10.3			
6.8	34	27.9	10.3			
6.9	34	27.9	10.3			
7.0	37	30.9	11.5			

- km 20.724
- osa koleje č. 2

zastižený materiál: - šterk 32/63
- od hl. 1,50 m vlhké tyče



KOLEJCONSULT & servis,
spol.s r.o.

602 00 Brno, Křenová 131/35
tel-fax: +420 543 254 144
tel: +420 543 254 278

IČO: 25301110
DIČ: CZ25301110
e-mail: info@kcas.cz

Název akce: Inženýrskogeologický průzkum traťového úseku Valašská Polanka - Horní Lideč km 21,000 - 20,550

Objednatel: Správa železnic, oblastní ředitelství Olomouc, Nerudova 1 Měřítka: 1:50 Zak. číslo: T-0308/21

Vyhodnotil: Ing.M.Laichman Zpracoval: Ing.M.Laichman Příloha č.: 6

Obr. č. 1 - **JV100** (10,0 m)



Obr. č. 2 - **JV103** (10,0 m)



Obr. č. 3 - **JV104** (15,0 m)



Obr. č. 4 - **JV107** (10,2 m)



Obr. č. 5 - **JV108** (9,0 m)



Obr. č. 6 - **JV112** (15,0 m)



Obr. č. 7 - **HG116** (15,0 m)



Obr. č. 8 - **IG118** (4,2 m)



Obr. č. 9 - **JV122** (7,0 m)



Obr. č. 10 - **JV126** (7,0 m)



Obr. č. 11 - **JV127** (20,0 m)



Obr. č. 12 - **JV129** (6,0 m)



Obr. č. 13 - **JV130** (11,0 m)



Obr. č. 14 - **JV131** (18,0 m)



Obr. č. 15 - **HG133** (10,0 m)



Obr. č. 16 - **JV136** (6,0 m)



Obr. č. 17 - **JV 137** (12,3 m)



Obr. č. 18 - **JV141** (6,0 m)



Obr. č. 19 - **HG4** (10,3 m)



Obr. č. 20 - **HG5** (11,8 m)



Obr. č. 21 - **HG6** (15,3 m)



Obr. č. 22 - **HG7** (15,4 m)



Obr. č. 23 - **HG8** (9,7 m)



Obr. č. 24 - **HG9** (11,0 m)



Obr. č. 25 - IN4 (10,5 m)



Obr. č. 26 - **IN5** (14,2 m)



Obr. č. 27 - **IN6** (20,0 m)



Obr. č. 28 - **IN8** (15 m)



Obr. č. 29 - **IN9** (15,0 m)

